

# 学会用

第53回講演会

## 講 演 予 稿 集

昭和48年4月28日～5月1日

於 電 氣 通 信 大 学

日本地球電氣磁氣学会

# 日本地球電気磁気学会

## 第53回総会並びに講演会プログラム

期日 昭和48年4月28日(土)～5月1日(火)  
 会場 電気通信大学 (調布市調布ヶ丘1-5-1)  
 Tel 0424-83-2161

時 日	10 9:30	11	12 12:30	13 13:30	14	15	16	17 17:30	18	19
4月28日(土)	第1 会場	磁 気 圈 I			磁 気 圈 II					
	第2 会場								運 営 委 員 會	
4月29日(日)	第1 会場	電 離 圈 I			磁 気 圈 III					
	第2 会場	岩石磁気	古地磁気		古 地 磁 気 II				評 議 員 會	
4月30日(月)	第1 会場	電 離 圈 II			特 別 講 演 · 総 会				懇 親 會	
	第2 会場	地 球 内 部								
5月 1日(火)	第1 会場	電離圈III	磁 気 圈 IV		電 縮 圈 IV					
	第2 会場	磁 気 圈 V			宇 宙 線					

第 1 日 4月28日(土)

磁 気 圈 I 於 第1会場(9:30-12:30)

### 開会の辞

- I-1 宮崎光旗(東大理) On Power Spectral Density of Geomagnetic Micropulsations at Low and Middle Latitudes (10分)
- I-2 宮崎光旗, 十市 勉(東大理) Characteristics of Pc5 near the Polar Cusp (10分)
- I-3 鈴木 正, 北村泰一(九大理) Pc1 ray pathsに及ぼすHe<sup>+</sup>とPlasma Pauseの効果 (15分)
- I-4 北村泰一(九大理) ULF(Pc1) 非線型現象 (15分)

- I - 5 桜井 亨(東北大理) P c 1 型地磁気脈動の特性 (12分)  
I - 6 佐藤夏雄(東大理) SI時におけるQP emissionの周期の変化 (15分)  
I - 7 林 幹治(東大理) Auroral hiss を伴う ELF 単色放射 (Lion's roar?) (15分)  
I - 8 中村正治, 伊東正貴, 中村良治, 伊藤富造(東大宇宙研) 電子ビームによるイオン音波の励起 (15分)  
I - 9 南部充宏(杏林大進学課程物理) The Generation Mechanism of the ELF Hiss Emissions during the Auroral Substorm. (15分)  
I - 10 南部充宏(杏林大進学課程物理) Negative Pressure Effect on the Ordinary Mode. (15分)  
I - 11 野田 彰, 玉尾 孝(東大理) Cerenkov Hiss 計算における Model 依存性について (15分)

### 磁気圏 II 於 第1会場(13:30-17:30)

- I - 12 渡辺成昭, 高部政雄(電波研) 太陽風磁場の Dynamic Spectra (10分)  
I - 13 坂 翁介, 北村泰一(九大理) 太陽風中で観測された低周波プラズマ波動 (15分)  
I - 14 渡辺 売, 柴崎清登, 小島正宜, 柿沼隆清(名大空電研) 太陽の高緯度帯より流出する高速の太陽風について (15分)  
I - 15 斎藤尚生(東北大理) 太陽及び惑星間磁場構造と回帰性地磁気擾乱 (15分)  
I - 16 村山 喬(名大理) Interplanetary Condition と AEJ の発達(II) (15分)  
I - 17 前沢 利(東大宇宙研) 惑星間空間磁場と磁気圏の変形 (15分)  
I - 18 前沢 利(東大宇宙研) 磁気圏尾部境界面の位置と運動 (15分)  
I - 19 金田栄祐(東大理) オーロラル・サブストーム発生過程の解析-1 (15分)  
I - 20 飯島 健(東大理) Auroral Mini-Electrojet During the Substorm-Growth Phase (15分)  
I - 21 小口 高, 飯島 健(東大理) Auroral Breck-up の特性-1 (15分)  
I - 22 長山直弘, 西田篤弘(東大宇宙研) 磁気圏で見た field-aligned current (15分)  
I - 23 河島信樹, 大藪修義, 岡村昇一(東大宇宙研) Neutral Sheet のモデル実験 (15分)  
I - 24 青木孝夫, 村山 喬(名大理) Kp の半年変化 (15分)  
I - 25 早川幸男, 河野 純, 長瀬文昭, 田中靖郎(名大理) 放射線帯下部の高速電子について (15分)  
I - 26 上山 弘<sup>※</sup>, 武井恵雄<sup>※</sup>, 白畠 洋<sup>※※</sup>(※東北大理, ※※東北大工) Radiation Belt からの Scattering Flux (15分)

### 第 2 日 4月29日(日)

#### 電離圏 I 於 第1会場(9:30-12:30)

- I - 27 満保正喜, 長野 勇(金沢大工) 二乗分布D層よりの反射について (10分)  
I - 28 中村純二, 菊沼直志(東大教養) K-9M-42号機による発光雲の観測 (12分)  
I - 29 山岸正明, 渡谷邦彦(鳥取大) O I  $\lambda$  5577 を発光する Xe 放電管内の電流に対するスペクトル線強度の依存性 (10分)  
I - 30 松浦延夫(電波研) 热圏の電気力学 (12分)

- I - 31 米沢利之(電波研)電離層における半年変化 IV. F2層ピークの高さの半年変化 統報 (12分)
- I - 32 堤 四郎, 鈴木 裕, 福原敏行, 竹屋芳夫(阪市立大工)大山治男(電波研山川)  
K-9M-42号機によるセシウム雲実験 (10分)
- I - 33 藤高和信(東大理)熱圏下部の風のモデル(II) (12分)
- I - 34 小川忠彦(電波研)クロス・フィールド型プラズマ不安定による非線形波 (12分)
- I - 35 竹之下裕五郎, 越前谷喜松, 小泉徳次, 大山治男(※電波研秋田, ※※電波研, ※※電波研山川) foF2に現れるT.I.D. (12分)
- I - 36 北村泰一(九大理)E領域赤道ケルビン波に及ぼすHM効果 (12分)
- I - 37 高橋忠利(東北大)Photoelectronのプラズマ圏における輸送(II) (10分)
- I - 38 岩坂泰信, 堀井晴雄(名大理)中間圏のCO<sub>2</sub>分布モデル (12分)
- I - 39 岩坂泰信(名大理)RRKM法によるO(<sup>1</sup>D)+N<sub>2</sub>→O(<sup>3</sup>P)+N<sub>2</sub>の検討 (10分)

### 磁 気 圏 III 於 第1会場 (13:30—17:30)

- I - 40 倉橋克典, 鎌田哲夫(名大空電研)低密度異方性プラズマ中におかれたアンテナによる  
静電波の放射 (I) イオン波 (12分)
- I - 41 倉橋克典, 鎌田哲夫(名大空電研)低密度異方性プラズマ中におかれたアンテナによる  
静電波の放射 (II) 電子波 (12分)
- I - 42 柴田 喬, 白田 繁(電通大)赤道越え標準電波(NWC 22.3KHz)の日出没時  
フェイディングについて (10分)
- I - 43 柏木瑞夫(名大空電研)母子里における高域ホイスラーの降下緯度について (10分)
- I - 44 田中義人, 早川正士(名大空電研)低緯度ホイスラーの分散について (12分)
- I - 45 驚見治一(名大空電研)ダクト伝播及び波動の自己集束効果について (12分)
- I - 46 鎌田哲夫(名大空電研)VLF南北伝搬波の位相観測結果 (10分)
- I - 47 広田 実, 奥沢隆志(電通大)小さな分散のホイスラについて (10分)
- I - 48 岩瀬光男, 山中 韶, 奥沢隆志(※電通大, ※※名大プラ研)A Study of Ducted  
Whistler Propagation (12分)
- I - 49 黒田健二郎, 高橋雅行, 奥沢隆志, 芳野赳夫(電通大)VLF標準電波(NWC)の  
ホイスラモード検出実験 (10分)
- I - 50 山中 韶, 奥沢隆志(※名大プラ研, ※※電通大)拡散型ホイスラと磁気嵐との関係 (12分)
- I - 51 森 洋介(宮城教大)Whistler出現特性と電離圏擾乱(図) (10分)
- I - 52 橋本弘蔵, 木村磐根(京大工)ホットプラズマ中のホィスラーモード波の斜伝搬(図) (12分)
- I - 53 菊池 崇, 荒木 徹(京大理)近距離伝播VLF標準電波の地上波と空間波の分離 (12分)
- I - 54 麻生武彦(京大工)電離層プラズマ中のVLF帯プローブインピーダンス(II) (12分)
- I - 55 大林辰蔵, 芳野赳夫, 鶴田浩一郎, 江尻全機(※東大宇宙研, ※※電通大)  
K-9M-41号機による電離層のVLF反射率測定 I速報 (12分)
- I - 56 半田 駿(京大理)地磁気長周期成分の解析 (II) (12分)
- I - 57 並川富一, 高島正樹(阪市大理)高温プラズマと地磁気脈動 (12分)

## 岩石磁気 於 第2会場(9:30-10:45)

- II-1 室井 黙(大阪府科学教育センター)帯磁率異方性の測定 (15分)  
 II-2 ※ 島田昌彦, 小泉光恵, 久米昭一, 諏訪兼位, J. E. Borner (※阪大産研, ※※阪大教養  
     ※※※名大理, ※※※ Identim Laboratories) キンバレー岩の磁性 (10分)  
 II-3 堂面春雄(山口大教育)化学消磁に関する一実験 (10分)  
 II-4 永田 武(東大理)Apollo 16号月岩石の磁性 (15分)  
 II-5 永田 武(東大理)月岩石のPiezoremanent Magnetization (15分)

## 古地磁気 I 於 第2会場(11:00-12:30)

- II-6 中島正志, 安川克巳, 川井直人(阪大基礎工)琵琶湖における地磁気永年変化 (15分)  
 II-7 安川克巳, 中島正志, 川井直人(阪大基礎工)60000年BP以新の reversed eventについて (15分)  
 II-8 安川克巳, 中島正志, 夏原信義, 川井直人(阪大基礎工)鳥居雅之(阪市大理), 堀江正治  
     (京大理)琵琶湖底堆積物の磁化(その1) (15分)  
 II-9 水谷滋樹, 小林和男(東大洋研)海底堆積物の残留磁化バタン (10分)  
 II-10 河野 長(コロラド大 東大理)デカソ玄武岩より求めた古地球磁場強度 (15分)

## 古地磁気 II 於 第2会場(13:30-16:30)

- II-11 伊藤晴明, 時枝克安(島根大文理)茨木花崗岩体の古地磁気 (12分)  
 II-12 乗富一雄, 鈴村忠男(秋田大鉱山)佐渡における新第三紀火山岩による古地磁気 (10分)  
 II-13 笹嶋貞雄(京大理)久米島(沖縄)鮮新統安山岩の古地磁気 (15分)  
 II-14 安川克巳, 中島正志(阪大基礎工)古地磁気学的にみた白亜紀における東北日本と西南日本 (15分)  
 II-15 中島正志, 浅井 至, 今川孝仁, 夏原信義, 安川克巳(阪大基礎工)広岡公夫(福井大教育)  
     鳥居雅之(阪市大理)東北地方火山岩類の古地磁気(その1) (15分)  
 II-16 浅井 至, 今川孝仁, 夏原信義, 中島正志, 安川克巳(阪大基礎工)広岡公夫(福井大教育)  
     東北地方の考古地磁気(その1) (10分)  
 II-17 友田好文, 小林和男, 瀬川爾朗, 野村雅史, 宇田川雄司(東大洋研)四国海盆の磁気異常縞模様 (15分)  
 II-18 行武 毅(東大震研)1900-1965年間の観測所のデータによる地球磁場の球面数解析 (15分)  
 II-19 渡辺秀文(東大理), 行武 毅(東大震研)地球内核を考慮に入れた核-マントルの定常電磁結合 (15分)  
 II-20 堂面春雄, 宗岡 浩(山口大教育)山口県下における一・二の古代遺跡の考古地磁気年代学 (10分)  
 II-21 河野 長(コロラド大 東大理)連続溶岩の年代間隔推定の古地磁気的方法 (15分)  
 II-22 小嶋 稔, 斎藤和男(東大理)"海底岩石の $^{39}\text{Ar}$ - $^{40}\text{Ar}$ 年代とその地球物理学的意義" (15分)

第 3 日 4月 30日(月)

電離圏 II 於 第1会場(9:30-13:30)

- I-59 大林辰蔵(東大宇宙研)科学衛生「でんぱ」の観測結果(総括) (12分)  
※ 大林辰蔵, 大家 寛, 江尻全機, 麻生武彦(※東大宇宙研, 京大工)人工衛星REXSによる  
IPS観測 (12分)  
I-61 江尻全機, 古田 治, 大林辰蔵(東大宇宙研)REXS-IPSによる電離層電子密度測定結果 (12分)  
I-62 木村磐根, 松本 紘, 宮武貞夫(京大工)REXS(でんぱ)によるCyclotron  
Instability Experimentの結果について (12分)  
I-63 大津仁助, 早川正士, 岩井 章(名大空電研)人工衛星「でんぱ」によるVLF帯送信電波の観測(10分)  
I-64 木村磐根, 麻生武彦, 富本哲雄, 加藤 進(京大工)VLF ドップラー法と人工電離雲の  
相乗り実験(速報) (12分)  
I-65 岩井 章, 岡田敏美(名大空電研)K-9M-41号機によるWhistler のベクトル測定 (10分)  
I-66 江尻全機, 渡辺勇三, 佐伯 元(東大宇宙研, 理科大理)キャパシタンスプローブによる電子密  
度測定法 (12分)  
I-67 竹屋芳夫, 南 繁行(阪市大工)低周波イオンプローブの実験 (12分)  
I-68 森 弘隆(電波研), 江尻全機(宇宙研), 麻生武彦(京大工)高周波プローブ特性に及ぼす  
プラズマ波の影響 (12分)  
I-69 小山孝一郎, 平尾邦雄(東大宇宙研)衛星におけるイオン, 電子温度測定の問題点について (10分)  
I-70 平尾邦雄, 松村正三(東大宇宙研)稀薄ガスの温度計(II) (10分)  
I-71 田中高史, 平尾邦雄(東大宇宙研)Trial manufacture of the monopole spectrometer  
(10分)  
I-72 深尾昌一郎, 三輪正康(京大工)F2領域の超長周期擾乱 (10分)  
I-73 前田憲一, 深尾昌一郎(京都産業大理, 京大工)Daytime Electron Density Profiles  
of the E and F1 Regions at Mid-latitudes (12分)

地球内部 於 第2会場(9:30-12:00)

- II-23 久保木忠夫, 仲谷 清, 小池捷春, 中島新三郎, 原田晴男(地磁気観)柿岡周辺のCA観測 (10分)  
II-24 大島章一, 近藤 忠, 本藏義守(水路部, 東大震研)八丈島における地磁気変化異常 (10分)  
II-25 山下 浩, 横山 泉(北大理)津軽海狭の両岸における地磁気短周期変化の観測 (15分)  
II-26 富田 宏(東大理)柿岡等における△Z/△H変動より見た地磁気抱束面パラメーターの日変化  
についての統計的推測 (15分)  
II-27 富田 宏(東大理)Induction 理論に於ける一, 二の数学的モデルについて (10分)  
II-28 久保木忠夫, 小池捷春, 原田晴男(地磁気観), 谷口 武(吉城高校)中部地方の地電流について(10分)  
II-29 宮腰潤一郎(鳥取大教養)Easter Island における地磁気変化の特性 (II) (15分)  
II-30 加藤愛雄, 遠山文雄, 石川 守:瀬戸正弘, 早坂 孝(東海大工:東北工大)大気球による  
東北地方の磁場測定 (10分)

- II-31 柳原一夫(地磁気観) 地磁気経年変化と外部磁場の影響 (15分)  
II-32 水野浩雄(国土地理院) 日本の磁気異常分布について(II) (15分)

総会および特別講演 於 第1会場 (13:30-17:30)

小田 稔(東大宇宙研) 「X線星とブラックホール」

松尾耕士(東教大) 「大気中における酸素の消長」

第4日 5月1日(火)

電離圏 III 於 第1会場 (9:30-10:30)

- I-74 竹之下裕五郎, 竹内鉄雄, 越前谷善松(電波研秋田) LFによるSID時のD領域測定 (12分)  
I-75 半田 駿, 荒木 徹(京大理) VLF標準電波による下部電離層長周期変動の周波数解析 (12分)  
I-76 德田八郎衛, 石原昌幸, 田中敬史(防衛庁技術研究本部第1研究所飯岡支所)  
斜入射電離層サウンダーによる電波予報 (10分)  
I-77 筒井 稔, 小川 徹(京大工) HFドップラー法によるF領域の周期変動 (12分)  
I-78 恩藤忠典, 西崎 良, 相京和弘, 永山幹敏(電波研) 上部電離層で観測されるNarrow Band Hiss (12分)

磁気圏 IV 於 第1会場 (10:45-12:30)

- I-79 松本 紘, 横井省吾, 安田 豊, 木村磐根(京大工) トリガード・エミッションの計算機シミュレーション (12分)  
I-80 松本 紘, 宮武貞夫, 長尾 朋, 木村磐根(京大工) K-9M-41ロケットによる低周波波動励起実験 (12分)  
I-81 大家 寛(京大工) Stimulated Plasma Waves in Rocket (K-9M-41) Experiments - 1 (12分)  
I-82 卷田和男(東大理) 磁気圏内(10~20RE)のVLF, LF帯のemission (12分)  
I-83 津田孝夫, 深尾昌一郎, 鵜飼正行(※北大工, ※※京大工, ※※愛媛大工)  
Current Sheet Perturbed by Magnetosonic Waves (10分)  
I-84 津田孝夫, 深尾昌一郎, 広瀬敏治(※北大工, ※※京大工)  
磁気中性面におけるプラズマの電気伝導度 (10分)  
I-85 大家 寛(京大工) Plasma Waves in Magnetospheric Tail Region -4. (12分)  
I-86 大家 寛(京大工) Origin of Jupiter Decameter Wave - 3. (12分)

### 電離圏Ⅳ 於 第1会場(13:30-17:00)

- I-87 牧野行雄, 広野求和(九大理)上層大気中における流星金属元素の密度分布(Ⅲ) (12分)  
 I-88 大塙光夫(電波研)1972年8月上旬の太陽X線フレアと電離層突然擾乱 (12分)  
 I-89 前田 坦(京大理)非対称ダイナモによる  $J_{\mathrm{H}}$  (10分)  
 I-90 川平浩二, 山元竜三郎(京大理)電離圏下部の大規模擾乱(Ⅰ) (12分)  
 I-91 堀内俊洋, 加藤 進(京工大)Tidal Wave Transmission in realistic lower and Upper atmosphere. (12分)  
 I-92 荒木 徹(京大理)磁気嵐時の低緯度下部電離層の変動(Ⅱ) (12分)  
 I-93 上山 弘, 森岡 昭, 荒木 喬(東北大理)Tweekの伝播特性から推定した磁気嵐時の下部電離層 (10分)  
 I-94 羽倉幸雄, 石井隆広雄, 脇倉敏彦, 寺島良子(電波研)VLF電波の極冠擾乱 (12分)  
 I-95 佐藤輝夫(兵庫医大物理)ソフトエレクトロンによる極地方上部電離層の生成の可能性Ⅱ (10分)  
 I-96 上山 弘(東北大理)比較的低エネルギーの電子降下によるF2層の生成 (12分)  
 I-97 向井利典, 平尾邦雄(東大宇宙研)電離層光電子のエネルギー分布 (12分)  
 I-98 斎藤文一(新潟大理)赤道地域の大気光 (12分)  
 I-99 奥田光直(弘前大教育)酸素緑線大気光強度の空間分布 (12分)  
 I-100 等松隆夫, 近藤 豊(東大理)6300 Å 薄明大気光の観測と熱圈大気構造 (10分)  
 I-101 渡辺 隆, 等松隆夫(※東教大理, 東大理)OH Meinel band の季節変化 (12分)  
 I-102 等松隆夫(東大理)S 210-JA2による紫外オーロラの観測結果 (10分)  
 I-103 上山 弘(東北大理)X線で眺めるオーロラの形 (12分)  
 I-104 等松隆夫, 小川利紘, 渡辺 隆(東大理, ※東教大理)K-9M-38 およびK-10-9による大気オゾン観測結果 (10分)  
 I-105 藤原玄夫, 内野 修, 板部敏和, 広野求和(九大理)レーザーレーダーによる成層圏エアロゾルの観測 (10分)

### 磁気圏Ⅴ 於 第2会場(9:30-12:30)

- II-33 山口又新(地磁気観測別)日本の地磁気日変化 (12分)  
 II-34 永井正男(地磁気観)柿岡における擾乱日変化について (12分)  
 II-35 太田征次郎(岐阜歯科大)地磁気静穏日の夜間変化について(Ⅱ) (10分)  
 II-36 白木正規, 柳原一夫(地磁気観)地磁気日変化等価電流系の変動(続報) (12分)  
 II-37 上出洋介, 福島 直(東大理)1971年1月の地磁気PC, AE, DR-indices 比較 (10分)  
 II-38 一ノ瀬琢美, 小川 徹(同志社大工, 京大工)HF フッラー観測による電離層擾乱と地磁気擾乱との相関 (10分)  
 II-39 橋野 賢, 北村泰一(九大理)RF-SQUID磁力計 (12分)  
 II-40 柳原一夫, 河村 諭, 佐野幸三, 久保木忠夫(地磁気観)柿岡における新標準地磁気観測システム KASMMERについて (12分)  
 II-41 久保木忠夫, 今 実(地磁気観)新標準磁気儀KASSMME Rの角度測定器D1-72について (10分)

- II-42 青山 巍, 遠山文雄(東海大工)最近の観測ロケットの姿勢変化 (10分)  
 II-43 遠山文雄, 青山 巍, 加藤愛雄(東海大工)ロケットによる磁場の偏角測定 (12分)  
 II-44 高橋隆男, 遠山文雄, 青山 巍(東海大工)衛星による磁場観測における磁気干渉 (10分)  
 II-45 小川 徹, 筒井 稔, 蔡崎 努(京大工)K-9M-42号機による磁場観測(速報) (10分)

### 宇宙線 於 第2会場(13:30-17:30)

- II-46 小玉正弘(理研), 北村正亟, 池上比呂志(気象研)宇宙線短周期変動と大気波動 (10分)  
 II-47 小玉正弘(理研), 境 孝祐, 玉井英次(日大習志野), 井上 葵(理研)気球による宇宙線短周期変動の観測Ⅱ (12分)  
 II-48 小玉正弘(理研)宇宙線強度の Long - term variation と多重中性子スペクトル (10分)  
 II-49 石田喜雄, 菅野常吉, 齋藤俊子(※福島大教育, ※※福島医大教養)  
     宇宙線1/3日変化について V (12分)  
 II-50 須田友重(気象研)宇宙線太陽時日変化 (12分)  
 II-51 三島 靖, 村上一昭, 和田雅美, 宮崎友喜雄(※愛媛大理, 理研)  
     地下54m.w.e.における宇宙線嵐 (12分)  
 II-52 村上一昭, 和田雅美, 三島 靖, 宮崎友喜雄(理研, ※愛媛大理)  
     地下54m.w.e.における宇宙線日変化 (12分)  
 II-53 森, 一之瀬, 安江, 鶯坂, 赤羽(信大理, ※信大教養)  
     長野県三郷村地下トンネル(30m.w.e.)における宇宙線強度の観測 (12分)  
 II-54 一之瀬, 森, 鶯坂, 安江(信大理, 信大教養※)  
     地下50m.w.e.における宇宙線強度変化の観測 (V) (12分)  
 II-55 長島一男, 上野裕幸, 藤本和彦, 近藤一郎, 藤井善次郎, 柳原志津子(名大理)  
     乗鞍における Small air shower の観測 (12分)  
 II-56 長島一男, 上野裕幸, 藤本和彦, 近藤一郎, 柳原志津子, 藤井善次郎(名大理)  
     Nature of Local Shower (12分)  
 II-57 安江新一, 森 覚, 長島一男(信大理, 名大理※)  
     汎世界中性子計データによる宇宙線3次元異方性の逐次解析 (12分)  
 II-58 森 覚(信大理)宇宙線強度日変化の年周変化と宇宙線三次元異方性 (12分)  
 II-59 長島一男, 高橋八郎, 矢作直弘(※名大理, 岩手大)惑星間空間に於る, 宇宙線の Spherical Zonal harmonic components (10分)  
 II-60 藤本和彦, 上野裕幸, 近藤一郎, 長島一男(名大理)宇宙線の異方性と惑星間空間磁場(II) (10分)  
 II-61 藤井善次郎, 近藤一郎, 長島一男(名大理) Power Spectrum of the Cosmic Ray Intensity Variation (10分)  
 II-62 千葉敏躬, 高橋八郎, 小玉正弘(岩手大教育, 理研)盛岡における宇宙線強度変化の観測 (12分)  
 II-63 和田雅美, 奥谷晶子(理研)1968年2月5, 6, 7日の宇宙線強度減少の解釈 (12分)  
 II-64 和田雅美, 小玉正弘, 村上一昭(理研)1972年8月上旬の宇宙線現象 (12分)

閉会の辞

# 第 1 会 場

*On Power Spectral Density of Geomagnetic  
Micropulsations at low and Middle Latitudes*

宮崎光旗

東大・理

Geomagnetic Micropulsations の実験手法として、周波数解析は強力な手段である。  
ここでは、各緯度での地上観測装置 (induction magnetometer) をスペクトル解析し、  
脈動のパワー・スペクトルを求める。

使用する音記録は、低緯度 (赤道 ~  $26^{\circ}\text{N}$ , 程内 ~  $35^{\circ}\text{N}$ ) 及び中緯度 (Logan ~  $50^{\circ}\text{N}$ )  
の磁気テープに収められたもので、ADコンバーターにより直接 digit化し、計算処理する。

統計的変動をできるだけ小さくする為に、ここでは観測場 = 緯度と、磁気活動度の  
2つのみにパラメタをしほって解析する。

宮崎光旗\* + 市島\*\*

\* 東大・理    \*\* エネルギー経済研究所

前回の講演で報告した、<高緯度  $Pc5$ >の補充である。補足して主な点は、

- (1) 対象として、午後側の  $Pc5$  も含めた。
- (2) ミ成分も出来るだけ解説
- (3) 同時観測記録の位相差を表わすのに相関をとった。

用いた data は、前回と同様の観測所、1965年に観測された現象である。なお rapid-run data による解説は、1965年一年間の Godhavn, Sukkertoppen and Julianehaab の記録を用いて、 $2.05 \pm 0.81 \text{ mHz}$  ( $\pi - 7 \sim 500 \text{ sec}$ , 帯  $808 \sim 349 \text{ sec}$ ) のバンドパス フィルター処理をほどこして行った。

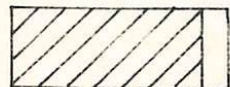
その結果、高緯度極地方  $Pc5$  の特長は以下のとくとなる。

- (1) 発生範囲： 磁気緯度  $80^\circ$  より下、08-13 GLT にかけても、ヒモ多く発生し、夜はない。
- (2) 周期： 同じ  $< 80^\circ$  でも、て約10分の周期を有する
- (3) Polarization： 緯度に依存する。地方時による傾向は dawn-side では北、ヨリして北が、dusk-side は不明瞭である。ある緯度を境にしての逆転は dawn-side では H 成分の位相差によるが、dusk-side の逆転はそれだけではない。
- (4) 振幅：  $K_p$  の増加により水平成分振幅最大となる緯度は下る。又 polarization の逆転する近くではミ成分振幅が大きい。

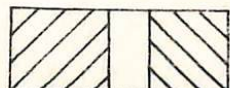
#### 緯度による polarization sense の割合

Morning

Evening



GDH



SKT



JLN

Clockwise

Counter-C.

鈴木 正, 北村泰一  
九大物理學部

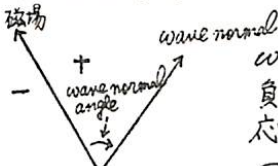
先に、北村らにより、プラズマのイオン成分がプロトンのみによって成立っている場合につき、密度として gyrofrequency model (密度  $\propto \frac{1}{r^3}$  但レアは地球半径単位での radial distance) を用いて PC I の磁気圏における Ray Path が求められたが、その結果によると脈動は、その伝播経路上で wave normal angle が磁場に垂直になり resonance を起しあらわすことになる。

そこで、我々は、次の 2 点を考えてみた。

オーナーには、 $\text{He}^+$  イオンの効果を入れると、PC I 脉動の場合も、VLF と同様にして、resonance を起さずに、直角方向の伝播が可能になると考えられる。実際、OGO 5 の観測によれば、 $\text{He}^+$  が全イオンの 1% 程度存在しているようである。

オーナーには、plasmapause の存在を考えて、実測に即した密度分布を配慮する。

上の 2 点を考慮しつつ PC I wave の Ray Tracing を試みた。



wave normal のとり方を左図の様に(磁場に対し右側を正、左側を負)とすることにする。又、OGO 5 の観測結果を、 $K_p$  大、中、小 に対して plasmapause の位置を地球からみてそれぞれ、低、中、高の 3 つに、大きく分け、それぞれにつき計算を行った。

2, 3 の結果を列挙すると、

①  $H^+ 99\%$ ,  $\text{He}^+ 1\%$  で gyrofrequency model を用いたときの tracing を下図に記す。

② gyrofrequency model (密度  $\propto \frac{1}{r^3}$ ) では、wave normal angle は、赤道平面から磁力線に沿って地球へ伝播する際、やがて、 $+90^\circ$  に達し resonate するが、plasmapause のような密度勾配が大きい(例えば、密度  $\propto \frac{1}{r^2}$ ) 所では、逆に、減少する。その複合は、plasmapause の勾配と厚さに depend すると考えられる。

以下、 $H^+ 100\%$  の場合を、考える。

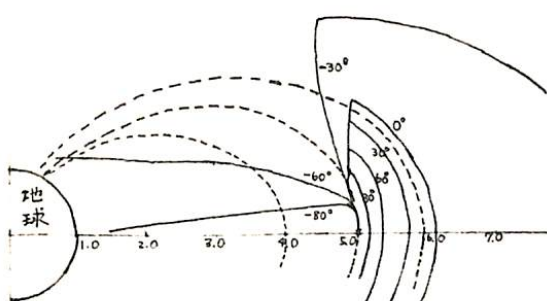
③ plasmapause の位置が「中」の場合、②によると、wave normal angle は、plasmapause 通過の際、減少するが、OGO 5 の観測に即して計算した限りでは、 $H^+ 100\%$  であっても、resonance を起さず(特殊な initial wave normal angle は除く)

電離層上空まで伝播する。その場合でも、higher frequency 程、途中でより早く resonate し、伝播が悪いのは、gyrofrequency model と同じである。

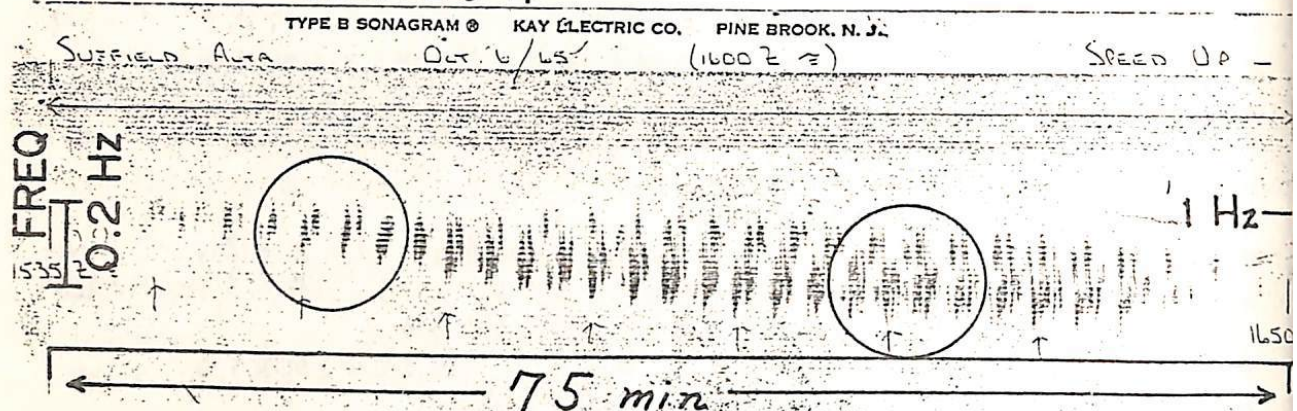
④ plasmapause の位置が低いときは、そこへ達するまでに、resonate し、又、位置が高いときは plasmapause がはつきりしなくなったりしたときは plasmapause の効果は、薄らぎ、密度も gyrofrequency model で近似出来、最初に述べた意味では伝播不可能となる。

⑤ ③と④と  $K_p$  とを組びつけて考えると、 $K_p$  小、大では、観測頻度は、 $K_p$  中に凸し、小さくなる傾向をもつであろう。

詳しくは、当日、述べることにしたい。以上



北村泰一  
九大物理學部



Pc1 のダイナミックスペクトラムは dotty character で特徴づけられるが、1つのdot は実は数ヶの sub-dot から成立する現象が存在することは大分以前に報告した。しかし当時は1例のみであったが、最近もう1例見出したのでこの現象は確かなものと今は考えていい。例を上に示すが event の初期には sub-dot も少ないが、時間が経つにつれて dot の数が多く複雑となる。これらの sub-dot には次のような規則がある。

- ① 親波(ほじ1Hz)は何度か磁力線をbounce する間に子波を生み、1拍ごとに消滅する。子波も同様に数bounce の間に子波を生みやがて消滅する。この間隔は10世代以上も続く。
- ② 子波は親波より若干周波数(今の場合 0.03 Hz)が低くなる。

この現象は波と波の非線型相互作用による decay instability によると考えらる。この decay instability は isotropic plasma 且 high freq. の場合によく TSytovich (1970) 等により詳しく述べられており、anisotropic plasma 且 low freq. の場合は前者程の明らかな形では取扱われておらずようである。

この現象は、本質的には three wave interaction であり、mother ioncyclotron wave が daughter ioncyclotron wave と ion acoustic wave とに分解されやすくプロセスであると考える。簡単のために Fixed Phase interaction とお取扱い。相互作用中は mother wave は充分強くて強度は余り変化しないと考えると現象は次の式で記述される (Wilhelmsen 1969)。

$$\frac{\partial \alpha_1}{\partial t} - i\omega_1 \alpha_1 = C_{0L} \alpha_0 \alpha_L^* \quad \left. \begin{array}{l} \alpha_0 = \alpha_1 + \alpha_L \\ \alpha_L^* = C_{0L} \alpha_0^* \alpha_1 \end{array} \right\} \quad \omega_0 = \omega_1 + \omega_L \quad \alpha : \text{amplitude}$$

$C_{0L}$  は mother wave と ion acoustic, mother wave と daughter ion cyclotron wave との coupling const. である。

さて、これらの Wilhelmsen の取扱いを多少 modify して、現象をどう説明得るかを述べる。

## Pc1型地磁気脈動の特性

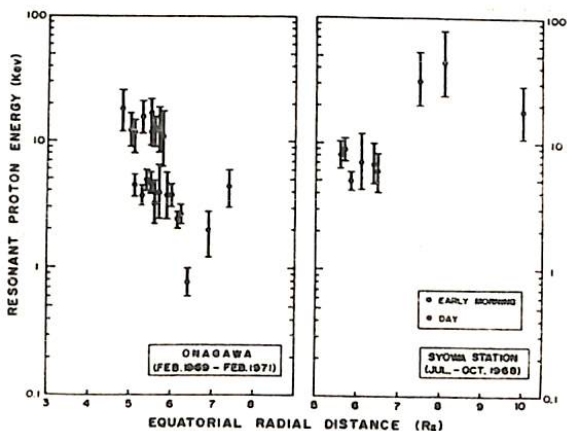
裕井亨  
(東北大理)

地上で観測されるPc1型脈動の中、Pearl型脈動の dynamic spectrum の構造を調べることにより、その発生域と若々らわれる磁気圏内での波動と粒子との相互作用について検討する。

オ一図は Pearl型脈動の発生に関与している Proton Energy とその発生領域の赤道面上における地心距離との関係を示す。この図に示される様に、我々が地上（高緯度～低緯度に亘る）で観測している Pearl型脈動の磁気圏内における発生場所が地心距離に 1.4 ～ 10 Re の領域であり、この領域で ion-cyclotron interaction している粒子の energy は 数 keV ～ 数十 keV に相当していける比較的低 energy の粒子であると言ふことが理解される。この様な低 energy 粒子と hydromagnetic Wave との相互作用によつて発生すると若々らわれる Pc1型脈動の spectrum 構造の特徴の中、以下に示す性質は、これらの波が相互作用していける粒子の diffusion によって支配されると若々られる。

- 1). Pearl型脈動（地上での振幅が数 m/s 以上）の経続時間 ( $\tau$ ) は 脈動の中心周波数 ( $f_c$ ) と比較的より負の相関を有する。即ち  $f_c$  の高さ程では長く、 $f_c$  の高さ程では短い。
- 2). 経続時間 ( $\tau$ ) は Pearl型脈動の spacing time ( $T$ ) と正の相関を有し  $T$  の大なる程では長い。

これらの性質は、相互作用していける粒子の diffusion によって波の盛衰が支配されると仮定すると、関与している粒子の Pitch angle diffusion によっておよよ其理解が得られると若々る。相互作用していける粒子の energy が比較的低 energy であるとき若々ると plasmopause の近傍の Alfvén Velocity の大なる所では



オ一図  $Pc1$  型脈動の発生に関与する  
粒子の Energy とその地心距離を示す。

粒子と波動の速度の組合せで近い値になり得る。この様な領域では粒子は Pitch angle diffusion よりむしろ Energy diffusion が支配的である。この様な energy diffusion の強く作用していけると若々らわれる dynamic spectrum の構造も思い出せる。

以上  $Pc1$  型脈動の spectrum 構造を通して、磁気圏内での粒子と波動との相互作用の物理的機構の検討を行つ。

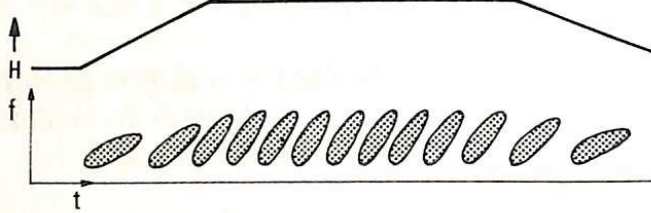
佐藤 夏雄  
東大 理

Syowa Station で観測される quasi-Periodic VLF emission には、geomagnetic pulsation activity と相関の良い type 1 QP emission と、相関の良くない type 2 QP emission とがあることが明らかになつた。QP emission を統計的におよび個々の event を解析することにより、type 別での特性が明らかになりつつある。特に、type 別での本質的な特性の違いは、周期性と、emission spectrumであるようだ。

type 1 QP emission は、地磁気脈動と相関が良いため、脈動の周期性とほぼ同じであり、QP emission の周期は舌しれている。一方、type 2 QP emission は、個々の event で固有の数十秒の一定した周期を持つ。

この type 2 QP emission の周期が、どのような地球物理学的量によって決定されているのか知り手がかりとして、QP emission が発生している時に、SI 的 地球磁場変動が起きた例が存在する。

そして、次のようは特性が明らかになつた。つまり、上図に示したように、 $SI^+$ により、QP の周期が短くなり、dispersion curve の勾配が急になり、 $SI^-$ では逆のセンスになる。



## I-7 Auroral hiss を伴う ELF 単色放電 (Lion's roar?)

東大理 林 幹治

昭和基地で観測される自然電波放電は大部分は auroral hiss, auroral chorus, daytime (polar) chorus, evening emissions に別けることができるが、これらに属さない小数例の現象もいくつある。1969年(第10次)越冬観測中に見付かた emission 現象の一つについて報告する。

この emission の特徴は。

- (1) 中心周波数は 300 Hz 内外
- (2) 帯域幅は 100 Hz 程度
- (3)  $f-t$  spectrum はほぼ monochromatic で継続時間は 10 秒程度
- (4) 観測される local time は late evening ~ pre-midnight
- (5) auroral hiss を伴って発生する
- (6) 発生頻度は、この周波数帯は空電のノイズが非常に強いこと、風によるアンテナエレメントの振動音が近いこと、現象の確認が観測中の聽音モード、300 Hz バンドでの電界強度記録によって見当をつけ、スペクトルを見るという方法でしかでぎないため確定的なことは言りにくくが現在までのところ年間を通して約 10 例と多くはない。

最近 Injun III による観測結果として、ELF noise bands associated with auroral electron precipitation という名でこの種の emission 現象が報告されている (Gurnett & Frank, 1972, JGR, 3911)。記述されてる諸特性は上記の地上観測による特徴をよく備えている。更に電離層中での波の mode が whistler mode であることが確認されてる点などから同一現象とみなしてよさそうである。

Gurnett & Frank は electron precipitation の energy-time spectrum の data と比較して inverted V 及び polar cusp の関連が強い点を指出し、polar cusp が interplanetary となるがってりるであろうと、構造上の特徴 ~~が~~ と magneto sheath で観測された (Smith et al., 1969, JGR, 3027) lion's roar と spectrum が酷似してリる点からこの emission が sheath から whistler mode で伝播して来たものであろうと推論している。この点について地上観測からは積極的判定材料は今のところ得られてないが以下の一覧は留意すべきである。

- (1) 地上観測での発生頻度がかなり低く、観測される local time が限られている。
- (2) 観測される周波数 ( $\sim 300$  Hz) が典型的な sheath 中の lion's roar ( $\sim 100$  Hz) よりや高い (?)。
- (3) auroral zone に沿った station の地磁気の data を見ると、地上で観測される場合 substorm の expansion phase の onset と関連してりるようである。

これらの点から、Gurnett & Frank も可能性として残してりる電離層内部での降下粒子に伴う何らかの不確定性による発生も打消し難い。

## 電子ビームによるイオニ音波の励起

中村正治 伊東正貴 中村良治 伊藤富造  
東大宇宙研

はじめに (電子ビーム)+(プラズマ)系では電子ビームの速さがそのプラズマの電子アラズマ波の位相速度(今回の実験条件では  $10^8 \text{ cm/sec}$ )程度の時には電子アラズマ波が励起され、イオニ音波の位相速度(今回の実験条件では  $10^5 \text{ cm/sec}$ )程度の時にはイオニ音波が励起される事が知られており、実験的にも多くの人によって調べられてきた。運ハビーム( $\sim 10^5 \text{ cm/sec}$ )によるイオニ音波の発生とその非線型的発達についてもいくつかの実験がなされてる。

從来物理的には、Field lineに沿うオーロラ粒子は数keV～数十keVに加速されたり、2のような速ハ電子ビームで低周波が励起出来るかどうかはオーロラ帶でOVI-IVによって強ハ低周波 Noiseが観測されてる事を考えあわせると興味がある。

運ハビームによるイオニ音波の励起とは別に、運ハビーム( $\sim 10^8 \text{ cm/sec}$ )によリイオニ音波の励起とハ観点から実験を行ひ、その結果につれて報告する。

実験装置 図1に実験装置の概要を示す。プラズマはArガスと用ひ、Gunからの電子ビームによる電離によって作る。プラズマの空間電位と接地電位近くにするため、AnodeとRepellerと接続する。ビームによリSpontaneous 波を減らすために2本のプローブを入めて干涉波形を書かせる。各々のプローブは磁場に平行、直角方向に動く。周波数を常にmonitorするため、Spectrum Analyzerにもう1本のプローブを接続する。このプラズマのパラメータは、 $n_0 = 3 \times 10^7 \text{ cm}^{-3}$ ,  $P(\text{Pa}) = 1 \times 10^{-4} \text{ Torr}$ ,  $B_0 = 20 \text{ gauss}$ ,  $T_e = 5 \text{ eV}$ ,  $m_p/m_e = 1/6$ ,  $\omega_{pe} = 40 \text{ MHz}$ ,  $\omega_{ce} = 50 \text{ MHz}$ 。

実験結果 ビーム密度 $n_0$ を調節して Spontaneous に発生する低周波と高周波を図2、図3に示す。40MHz( $\sim \omega_{pe}$ )の定在波が励起されてる時には低周波(23.5kHz)は大変弱い。しかしに計し 64MHz( $\sim 1.15\omega_{ce}$ )の進行波が励起されてる時には、低周波(170kHz)がかなりの強度で励起されてる。実験から求める  $\omega_L$  と  $\sqrt{\omega_L}$  の一致がより事から低周波がイオニ音波であることがわかる。そして、このイオニ音波の心と力を得て、現象的にはビームにより励起された高周波の decay instability で説明がつくが、未だ検討する点がある。

## References.

- S. M. Hamburgen et al. Phys. Rev. Lett. 25 229 (1970)
- Y. Amagishi. Phys. Rev. Lett. 29, 405. (1972)
- M. C. Kelley et al. J. Geophys. 22 9158 (1972)
- L. M. Chase. J. Geophys. 25 7128 (1970)

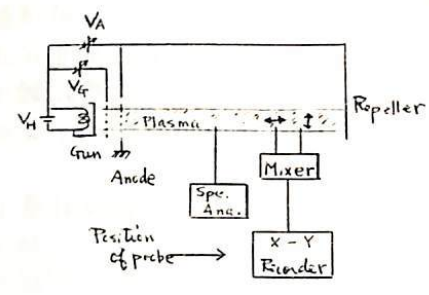


図1

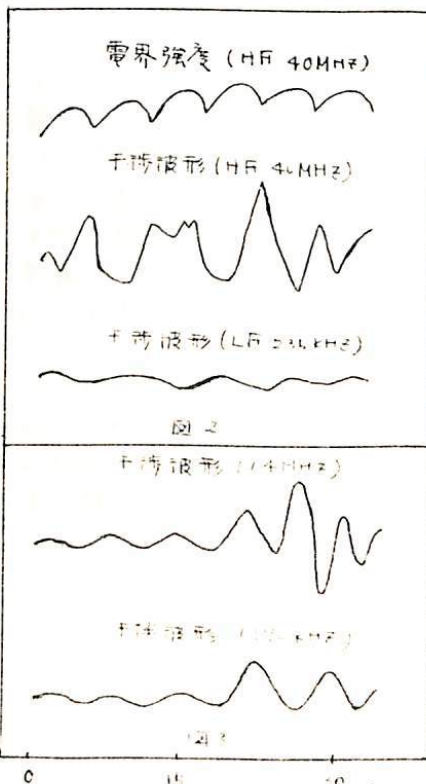


図2

The Generation Mechanism of the ELF Hiss  
Emissions during the Aurora Substorm

辻 邦 元

杏林大学医学部進学課程物理

ドリフト運動の Space に対する役割(1~4)は Space Physics における観測の細分化に伴ってますますその重要性が増加すると思われる。現在の情勢に於ては、その線型理論の範囲では、 $\text{low-}\beta$  理論、 $\nabla B$ 、 $\nabla V$  効果は解明されつづけの段階として  $\text{high-}\beta$ 、 $\nabla T$  効果が近い将来に解明されようとしている。一方 Space Physics として興味ある未解明の問題が多くあり  $\text{high-}\beta$  である事を考へると 双方は平行して進展させられねばならぬ。ある結果は期待できまいと考えられる。

本論文では ELF 波動の発生に関して一つの提案をしたい。良く知られている様に、(7) substorm の一つの段階に於てオーロラの運動速度 ( $10 \text{ km/sec}$ ) と  $10 \text{ keV}$  電子の DB ドリフト速度が一致している事実に着目する。これは新しく加速された電子の加速領域が極端化している為、強い温度勾配をつくり、その端碰撞に垂直に伝播する C mode が電子の DB ドリフト共鳴を作用の為、励起されているという仮説を立ててみる。これに耐する基礎理論は既に出来ている(8,9)これらを参考にして発生条件や電子の降下への効果等について詳論するつもりである。

電子降下を伴う ELF 波の観測例は不十分で将来的観測を待っている。(10)

尚、坂井氏、林氏、石原氏との詳論、コメントに貢うところが大きい。

REFERENCES

- |                                    |                                    |
|------------------------------------|------------------------------------|
| 1) Chamberlain, J.W.,              | J. Geophys. Res., 68, 5667, 1963.  |
| 2) Liu, C.S.,                      | J. Geophys. Res., 75, 3789, 1970.  |
| 3) Coroniti, F.V. and C.F. Kennel, | J. Geophys. Res., 75, 1863, 1970.  |
| 4) Hasegawa, A.,                   | J. Geophys. Res., 76, 5361, 1971.  |
| 5) Wu, C.S.,                       | J. Geophys. Res., 76, 4454, 1971.  |
| 6) Nambu, M.,                      | J. Geophys. Res., 78, ?, 1973.     |
| 7) Akasofu, S.-I.,                 | Planet. Space Sci., 12, 607, 1964. |
| 8) Ishihara, T.,                   | J. Plasma Physics, 9, ?, 1973.     |
| 9) Nambu, M.,                      | Physics Fluids, 16, ?, 1973.       |
| 10) Gurnett, D.A. and L.A. Frank,  | J. Geophys. Res., 77, 3411, 1972.  |

廣 部 光 宏  
東 京 大 學 医 善 部 進 學 課 程 物 理

## ABSTRACT

It is suggested that, without macroscopic current, the ordinary mode instability can occur with electron's negative pressure effect. The instability mechanism is similar, if not completely analogous, to the Jeans <sup>st</sup> inability in stellar dynamics. The negative pressure electrons reduce the critical number density of hot electrons for the onset of instability.

## REFERENCES

- 1) M.Nambu, J.Plasma Phys. 7, 503 (1972).
- 2) S.Hamasaki, Phys.Fluids 11, 2724 (1968).
- 3) R.C.Davidson and C.S.Wu, Phys.Fluids 13, 1407 (1970).
- 4) K.F.Lee and J.C.Armstrong, Phys.Rev.A 4, 2087 (1971).
- 5) N.Tzoer and T.P.Yang, Phys.Rev. A 2, 2000 (1970).
- 6) M.Bornatici and K.F.Lee, Phys.Fluids 13, 3007 (1970).
- 7) M.Nambu, Phys.Letters A 39, 347 (1972).
- 8) C.F.Kennel, R.W.Fredricks, and F.L.Scarf, in "Particles and Fields in the Magnetosphere", 257 (1970).

(To be published, July (1973) Phys. Fluids )

野田 彰, 玉尾 政

東京大学 理学部

[序] auroral hiss の発生機構として Ellis により Cerenkov radiation が提案されて以来、観測量として得られるいる power spectral density を計算出来る incoherent Cerenkov radiation の model 計算が成されて来た。<sup>1), 2), 3)</sup> しかし、これらの数値計算で得られた結果は、解析的手法で良い精度で得ることが出来、この結果 spectral density の model 依存性が明確になり、incoherent Cerenkov radiation の妥当性が議論出来る。

[基本式] power spectral density は以下の式で与えられる。

$$P(f) = \left[ \int dV d\omega n(\omega; r) \frac{dP(\omega; r; f)}{df} \right] / S_{obs}$$

f: 周波数

n: 粒子の分布関数

 $dP/df$ : 速度  $v$  を持つ荷電粒子 1 個当たりの Cerenkov power density $S_{obs}$ : 観測地点における磁力管の断面積

積分は速度空間と、今考えている周波数が観測地点で伝播可能な mode が存在する磁力管全体に渡って行われる。cold plasma 中の whistler mode への Cerenkov radiation を考えた場合でも、 $dP/df$  は、周波数、cold plasma の成分比、密度、外部磁場の強度、粒子のエネルギー、ヒッチャン角に依存し、これらに対する依存性は単純ではない。

[静電近似] しかし、VLF Hiss を発生していると考えられる数 keV 以下の電子による、whistler mode への Cerenkov radiation では、良い精度で、静電近似が成り立ち、 $(dP/df)_{stat.}$  は以下のように与えられる。<sup>4)</sup>

$$\frac{dP}{df}_{stat.} = 4\pi^2 g^2 \frac{f}{|k_z| E_i} J_0\left(\frac{f}{f_{He}} \eta_r f_p\right) \quad \tan^2 \theta = -\frac{\epsilon_1}{\epsilon_i}$$

但し、 $\eta_r$  は磁力線方向の粒子の速さ、 $J_0$  は 0 次 Bessel 関数で、今の場合  $J_0 \approx 1$  ( $\theta = 90^\circ$ ) で、 $E_i$  は誘電率テンソル 成分で  $E_i = 1 - \sum \frac{f_p^2}{f^2 - f_i^2}$  ( $f_{He} \ll f \ll f_{He}$ )

[Cerenkov Hiss] 今、粒子の pitch angle 分布を等方的と仮定すれば、分布関数、空間依存性はなくなり。Incoherent Cerenkov radiation の計算結果は以下の様になる。

$$P(f) \approx 4\pi^2 g^2 \frac{f}{|k_z| E_i} \frac{n}{\langle E_i \rangle} \cdot V(f)$$

高緯度地方における  $f_{He}, f_{pe}$  の分布は右図の様であるから、 $P(f)-f$  図は

i)  $f=f_c$  附近に peak を持つ山形のスペクトルとなる。

ii)  $P(f)$  に対する寄与は、 $f > f_c$  では遼い領域で大きく、 $f < f_c$  では  $f_c$  附近からの寄与が最大となる。

[incoherent Cerenkov Hiss 問題点] cold plasma の誘電率テンソルを用いた今迄の incoherent Cerenkov radiation の power を大きくするには、以下の方法が考えられるが、共に問題を生ずる。

i) 低エネルギー粒子を増やす。→ 静電的充満

ii) 粒子数を増やす。→ 数十 kHz 以下のスペクトルで既に model に矛盾を生じている。<sup>1), 2)</sup>

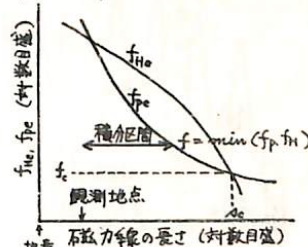
[文献]

1) T.S. Tørgersen J. Geophys. Res., 71, 1369, 1966

2) T.L. Lin and T. Laaspere J. Geophys. Res., 72, 4145, 1967

3) 相京, 思誠, 木山 日本地球電磁気学会 講演予稿集(第52回) 84頁 1970

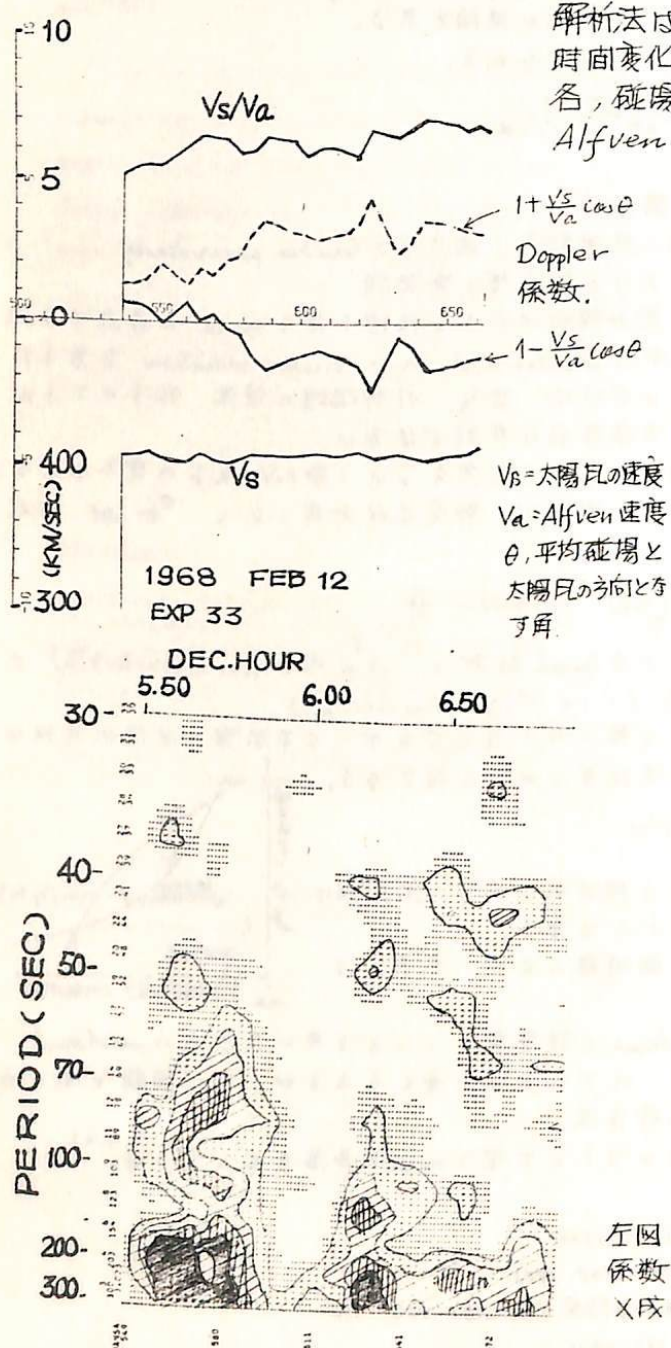
4) J. Trulsen J. Plasma Phys. 6, 367, 1971



# I-12 太陽風磁場の Dynamic Spectra

渡辺成路 高部政雄  
電波研究所

太陽風内のプラズマ変動、主として波動現象を、磁場の Digital Sonogram 解析と、同時観測されたプラズマのデータを基に論ずる。Explorer 33 及び、データ源である Exp. 34, 他も処理中である。



解析法は前回紹介したように、真道座標、又は、時間変化する平均磁場によって決られる座標系を各、磁場成分を移し、Dynamic Spectra、Alfvén 波の速度、及び、マッハ数、Doppler 係数等の算出する事によつて行なう。

太陽風と相対速度を持つ人工衛星が感ずる、波動の見かけの分散性は、真の分散性によるもの、分散性の少ない領域における HM 波が Doppler 効果によつて起るもの、Source 特性等による。

周期 50 秒以上に亘しては、前回言及したように、磁場の方向変化、とくに  $\phi$  の方向、大きく依存する。通常、モード等を除き、短時間で著しく、 $V_s$ 、密度、温度、 $|B|$  はマッハ数に大きく影響を与える程変化しない。(左図参照された)

磁場の方向が変化する時、とくに太陽風の方向に直角を向きたり、平行を向きたりと並ぶ時、Doppler 効果は急激に効いてくるが、その時、左図の如く、「く」の字型のパターンが良くみられる。これは 13~50 秒周期のものと考えられる。これは、太陽に向うものと、その逆の波との合成として考えられる。

その他、種々のパターンと磁場、その他との関連を論じる。

左図(上)は、太陽風、そのマッハ数、Doppler 係数のグラフ。(下)は、同時間の真道座標の X 成分の Dynamic Spectrum

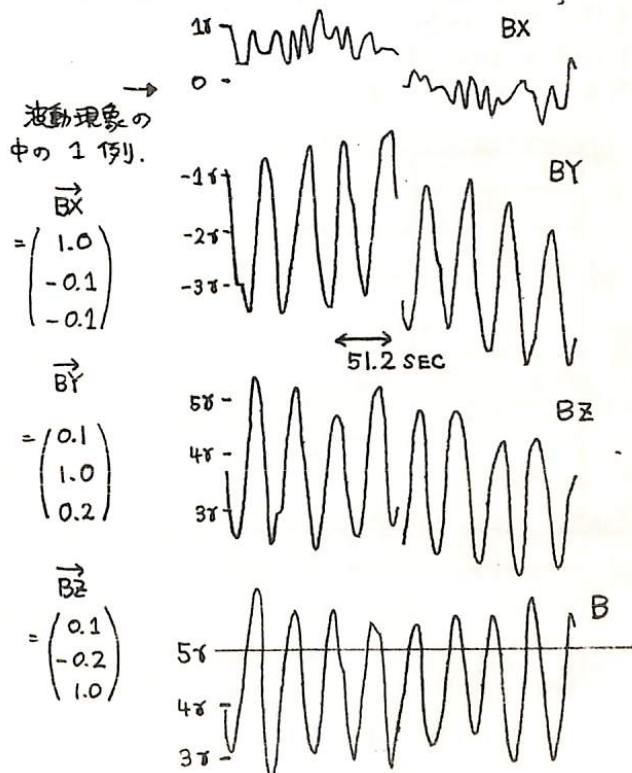
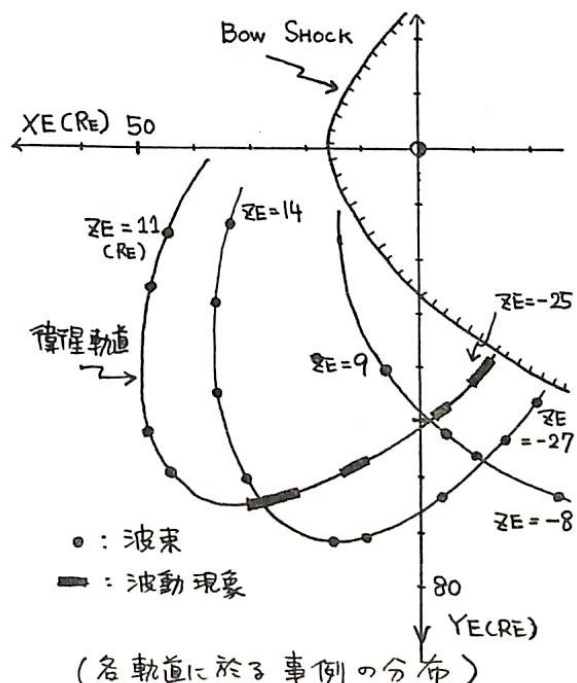
I-13 太陽風中で観測された、低周波プラズマ波動現象

坂 翁介，北村泰一  
九州大学 理学部

超音速で流れていく太陽風中に、しばしば非常に周期的な磁場の波動現象がみられるが、これがはたして地球前面の弓状衝撃波の影響であるが、どうなりかという事が問題になつてゐる。波動現象の事実は、今までに Heppner et al (1967年), Greenstadt et al (1968年), Fairfield (1969年), Russell et al (1971年) など観測されてゐる。

Fairfield は Explorer 34号を使つて、弓状衝撃波の前面最大 20RE までに 20~100 秒（衛星座標系）の周期の波が卓越してゐることを指摘し、これが弓状衝撃波からの粒子の流れによつて励起されたアルファベントン波であると推量した。一方 Russell et al は OGO-5 に由り弓状衝撃波のごく近傍（数 RE）で周期 1~5 秒の波束を観測し、これは周波数がおよそ  $2\omega_{ci}$  (イオンサイクロトロン周波数) (アラゴマ静止座標系) のホイッスラー波が弓状衝撃波からの粒子の流れによつて励起されたものであると考えた。

一方我々は Explorer 33号の磁場の Data を解析することにより、弓状衝撃波の位置より 40RE 上流（右方側）で周期 30~50 秒の時間にしづつ以上継続する非常に周期的なプラズマ波動現象と、これと同時に同じ周波数帯の波束現象を十数例観測した。特徴として、波数ベクトルの方向が 1 時間以上にわたつて磁場の方向に關係なく、ほぼ太陽—地球の線に沿つてゐて、地球から遠ざかるにつれて各事例ごとに周波数が低くなつてゐる。しかし弓状衝撃波の何らかの影響が発生に與与してゐるという積極的な理由はまだつかがつてない。

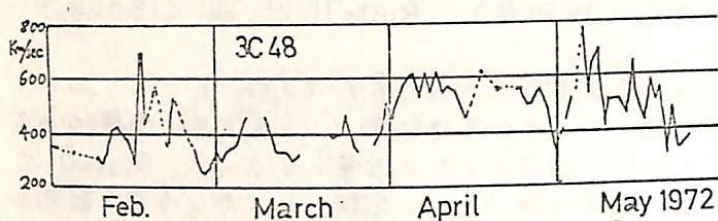


# I-14 太陽の高緯度帯から流出する高速度の太陽風に ついて

渡辺 勇、柴崎清堂、小島正宣、柿沼隆清

名古屋大学 空電研究所

3C48は4月の下旬頃最も太陽に近づき、太陽から0.36 AUのあたりの太陽風が観測出来る。しかし3C48の黄緯は約 $21^{\circ}$ であるため、4月から5月にかけて日面緯度11~22約 $40^{\circ}$ ~ $60^{\circ}$ の高緯度帯から流出する太陽風を観測する事になる。1972年2月から5月に風を得られた太陽風の速度を第1図に示す。図でもわかる通り4、5月は2



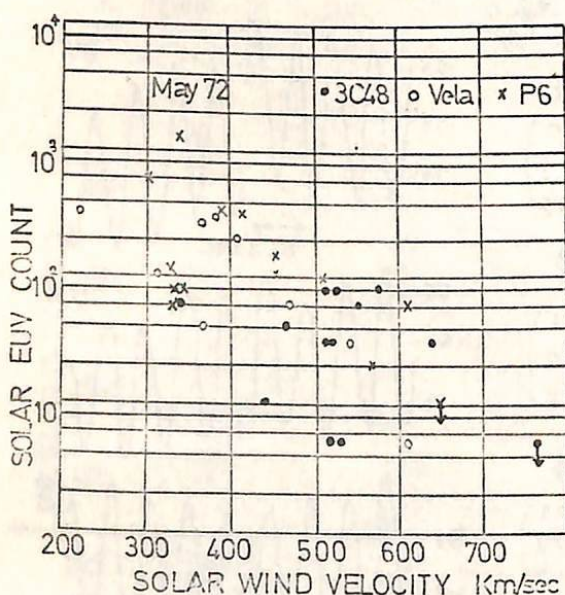
第1図

うな高速度の太陽風が出ていた事は若干奇異にも感じた。

最近、OSO-7によるEUV (extreme ultraviolet)  $284 \text{ \AA}$ に於けるコロナの絵が得られたようになつた。それを見て“Hole”とよばれるコロナの弱い穴のような場所があり、高速度の太陽風はそこから流出しているらしい事が報告されている。幸いにして1972年5月よりPolar Geophysical Dataにもその絵が出るようになつたのでそれを3C48により得られた太陽風の速度との比較を行つた。方法は従来と同様 line of sight の太陽へ最も近い点(P点)が最もシニカルーションに寄与してゐるものと考へ。太陽風は等速だから radial な流れを仮定した。参考のため同じ時期にVela 行星やPioneer 6により得られた data についても同様な解析を行つた。結果は第2図に示した。図の左Y軸は EUV の count 数で、これはコロナの表面輝度に比例する。横軸は太陽風の速度である。図を見て二大ずつは云々と右下りの傾向が見えたが、これはコロナの輝度が何程高速の太陽風が出ていたことに対応する。更に、特に高速の太陽風は極近くに生ずるコロナ中の深い谷に相当する場所から出ていた(第2図の右下の矢はそれである)。

コロナの Hole は低緯度帯では单極性の磁場を持つ古い plage 領域に対応するものが多いうるであるが、高緯度帯のものについては対応がはつきりしない。これは云々極地帯に時々出現する「極白斑」に対応してゐる可能性もある。

結局のところ3C48が太陽に接近するにつれて太陽風速度が急上昇するのは、太陽に近いところは3倍太陽風速度が上昇するためではなく(Parkerのモデルに反して)、太陽の高緯度帯からは高速の太陽風が流出してゐることだとしたらが適当である。



第2図

## 太陽及惑星間磁場構造と回帰性地磁気擾乱

齊藤尚生

(東北大学理学部)

日々の地磁気擾乱度は、数日～orderからsolar cycle～orderに至るまで、これら～time constantを有する要素が混り合って複雑な変化をしている。擾乱の根本的なsourceは太陽に存在するとは知られてはいるが、太陽面上の複雑な現象は惑星間空間を経由して伝達される過程において歪みられ、かつての情報が太陽風から磁気圏に伝達される機構も单纯ではないので、地磁気擾乱度の時間変化と太陽面現象はまだに上付のidentificationが出来ない現状である。規則的擾乱として暦々議論されるのは27日周期であるが、recurrent型擾乱の機構を解明するのにsolar rotation periodの擾乱のみに限定着目してこれは根本的な機構解明にからぬので、此題ではsolar rotation period, semiannual period, 及びsolar cycle periodの大別して、走査：機構的：深く均等とすると思われる太陽、惑星間空間、及び地磁気現象に関する主な事実（極く嘗試的などのを除く）を以下に如く総観、走査の機構を解明し、solar-terrestrial relationshipsの角度から統合的にrecurrent magnetic disturbancesを捉えようとするものである。

観測事実

(1) Solar rotation period：周連するもの。

Solar phenomena SMT及びQDF……backwards C型。

SMT……differential及びrigid rotation。

Interplanetary “ 1966-1969の期間中90%は2-sector。

Geomagnetic “ 搪乱spectrumは1/2 solar rotation period：peakをもつ。

solar rotation period：semiannual±modulation。

(2) Semiannual period：周連するもの。

Solar phenomena General fieldは2年周期で反転。

Solar Cycle No. 19では北半球がactive。

Interplanetary “ IMF intensityはstorm中～20nT、平均～5nT。

Preferred sectorはtoward(3月)及びaway(9月)。2年周期で反転。

Geomagnetic “ Semiannual activation。

之は180°位相の異なる2系列のannual variationの合成。

(3) Solar cycle period：周連するもの。

Solar phenomena Maunder's butterfly。

Intense SMF……active region。

Interplanetary “ Sector structureの回帰周期はone solar cycleで～28日→27日：変化。

Geomagnetic “ 搪乱回帰周期はone solar cycleで～28日→27日：変化。

sunspot max.：おもに回帰性最もfaint。

Model

地磁気擾乱度の基本要素として磁気圏尚を考慮し、惑星間空間磁場変化：特にsubstormの発生確率とprobableと仮定すると、計算すると、次の様なmodelが考へられる。即ち、one solar cycleでbutterfly shiftする様にsolar source surface上～active region (ARS)～配置し、より惑星間空間の磁場構造の基本が決定され、それは太陽地球間に平均的1:1の2-sectorの偏角模型立体磁場構造を形成し、ARS-SEWSM複合封界より地球磁場擾乱が発生される。

# I-16 INTERPLANETARY CONDITION と AEJ の発達

村山 高  
(名大理)

前回までの発表では、太陽風の種々の parameter が、AEJ の発達に対して、どのようなかわり合いを持つているかが定量的に解析されたが、その結果は次のようにな約される。

- (1) 地球周空間磁場 (IMF) の南向き成分の時間積分 ( $\sum B_S T$ ) は、AEJ の total current と、かなりよい比例関係を持つ。
- (2) IMF の絶対値  $|B|$  が  $4\gamma$  より小さくなると、AEJ に対する効率が悪くなる。  
例えば  $B = 2\gamma \theta = -50^\circ$  と IMF と、 $B = 5\gamma \theta = -18^\circ$  の IMF とでは同じ  $B_S = 1.53\gamma$  を与えるが、それによって生ずる AEJ の強さは約 1:2 である。
- (3) IMF の方位角が西向き ( $B_y > 0$ ) の方が、東向き ( $B_y < 0$ ) に比べて、同じ  $\sum B_S T$  でも、1.5 ~ 2 倍の AEJ をもたらす。
- (4) 太陽風の速度 ( $v$ ) は AEJ の発達に大きい影響を及ぼすもう一つの parameter である。同じ  $\sum B_S T$  の IMF が来た場合、作られる AEJ の量は、 $v^{1.5 \sim 2.0}$  に比例して、 $v$  と共に増す。これに対して太陽風密度は  $v^{0 \sim 0.5}$  と、遙かに小さい。

さて、 $v$  の効果は上述のように大きいが、 $B$  が完全北向き (例えば  $B_z > 5\gamma$ ) の場合は、たとえ  $v$  が大きくとも AEJ は発達しない。その意味で、 $B_z$  は AEJ を発達させる主因であり、 $v$  は脇役である。しかし  $B_z$  が正でも、 $0 \leq B_z \leq 3\gamma$  の範囲では、 $v$  が高いたきには、AE-index の增加がみとめられる場合がある。従って  $AE \propto B_S \cdot v^n$  の関係は、第一近似としてはよいが、更に近似を深めた場合には、もっと複雑な関係を持つ可能性がある。今回は主としてこの点に注目して解析結果を報告する予定である。

## 惑星間空間磁場と磁気圏の変形

前次 演

東京大学宇宙航空研究所

Substorm 時に昼間側の磁気圏境界面が内側に移動することは、Aubrey 等によつて観測された事実である。しかし実際に Chapman-Ferraro (C-F) モデルで予想される位置より内側に入るかどうか統計を取つて調べた例はあまりないと思われる。そこで、太陽風のデータを用ひて、観測された境界面までの距離を normalize し、惑星間空間磁場の  $B_z$  成分、及び地上の磁場データと比較してみた。ただし、太陽風のデータの得られる期間が少ないので、それを補助する意味として、境界面すぐ内側の磁場強度  $B$  と境界面地球間の距離  $R$  との関係も調べた。これは、境界面が内側にあるときは、 $B - R$  relation も Chapman-Ferraro のとることは違うだろうと考えにからである。その結果、いくらかはらつきはあるが、

- ①  $B_z < 0$  のとき、境界面は Chapman-Ferraro の Pressure balance で決まる位置より 内側にある
  - ② その際  $B$  の値は同じ  $R$  における C-F モデルの値より小さな傾向にあることがわかつた。この理由として次のものが考えられる。
    - ① Chapman-Ferraro current の一部が line-tying current として day side oval に流れこみ、その結果、境界面の電流が減り、境界が内側に移動する (Coroniti & Kennel, 1971)
    - ② Day side reconnection の結果、Tail Magnetic Flux がたまり、Tail current が増大し、昼間側の磁場を弱める。
- ここに ②は ①に付随して起るものと考えられる。これらのことについて議論するつもりである。

# I-18 磁気圏尾部境界面の位置と運動

前次例 東京大学宇宙航空研究所

太陽風と地球磁気圏の相互作用を調べる目的で、地上の磁場変動と太陽風内諸物理量変動を比較する方法が今までかなりの成功をおさめてきた。しかしながら、太陽風と直接相互作用しているのは磁気圏境界面であるから、磁気圏境界面の状態変化を知ることが、太陽風からのエネルギー取り入れの機構の解明に不可欠である。境界面観測データ解析の非常に不利な点としては、衛星と境界面双方の運動のため、時間的に連続してデータがなく、しかも時間的変化と空間的構造を分離しにくいことがある。したがって多くの場合、統計的な取り扱いが必要である。今回はこのようなことを頭にみ立て、磁気圏尾部境界面の位置と境界面の傾きの統計を取り、結果を発表する。境界面の傾きは、境界面の両側の平均磁場同志のベクトル積を boundary normal として計算した。(この方法は必然的に time scale の長い変動 ( $\geq 10$  分) に目を向けることになるが、variance matrix による方法より安定で都合が良い。) 主な結果は。

- 1)  $x = -30R_E \sim -70R_E$  において 境界面は常に運動しており、その振巾は  $10R_E$  に (大きいとき) も及ぶと思われる。
- 2) Tail の境界が内側に向って運動している時 境界面の傾きは Solar Wind に対して、より立てており、逆に外側に向って運動しているとき 境界面の傾きは sun-earth line により平行になる。
- 2) は、太陽風中の不均一性によって脇側境界面に新たに生じた変形か。Tail 境界面上を downstream に伝播してくるためと考えるのが妥当であろう。

今、簡単な Tail 境界面変形のモデルとして

$$\Delta r = a \sin(kx - \omega t)$$

の形の位置変位を考える ( $r$  は Tail 半径、 $x$  は地球からの  $x$  方向の距離)

$$\Delta \left( \frac{dr}{dx} \right) = a \sin(kx - \omega t) + a k x \cos(kx - \omega t), \quad \frac{dr}{dt} = -\omega x \cos(kx - \omega t) \text{ だから}$$

$$\Delta \left( \frac{dr}{dx} \right) = \frac{\Delta r}{x} - \frac{k}{\omega} \frac{dr}{dt}$$

境界面の傾き ( $x$  軸となす角) を  $\theta$  とすると

$$\theta = \theta_0 + \Delta \theta \approx \left( \frac{dr}{dx} \right)_0 + \Delta \left( \frac{dr}{dx} \right) = \left( \frac{dr}{dx} \right)_0 + \frac{\Delta r}{x} - \frac{k}{\omega} \frac{dr}{dt} \quad \dots \textcircled{1}$$

①の右辺第一項第二項は観測時の衛星位置  $(x, r)$  のみの関数であるから  $(\frac{dr}{dt})$  と  $\theta$  の統計を取ると消えてしまう。よって第3項のみを考えると、 $\frac{dr}{dt} < 0$ 、つまり境界が内側に入っているとき  $\theta \rightarrow \pi$ 、逆に  $(\frac{dr}{dt}) > 0$  とすと  $\theta \rightarrow 0$  となり観測と一致する。このように伝播する変形は、Tail に tangential stress を与えると思われるから、solar wind  $\rightarrow$  magnetosphere のエネルギー受け渡しの一翼を荷、といふべきである。

また、境界面の平均的位置に関しては

- 3)  $-30R_E \sim -60R_E$  で Tail 半径はあまり増大せぬ (時間的変化卓越)、 $-60R_E$  附近の Tail の断面は  $x$  方向にひずみはされていることがわかる。

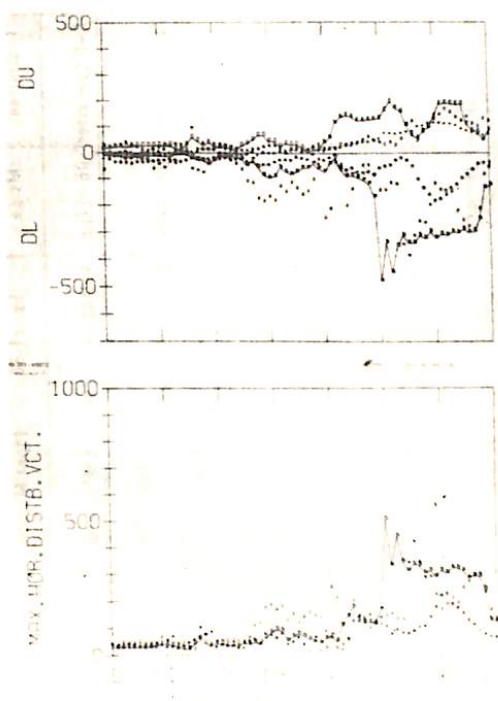
## オーロラ・サイストーム発生過程の解析 - /

金田葉蔵（東京大学理学部）

オーロラ・サイストームの発生の様相を解析する為に、サイストーム活動度のインデイケーターが先づ必要とされる。従来 AE-index がこの目的のために使用されて来たが、サイストームの発生に到る過程に関する點では必ずしも充分ではない。この様な目的に適合する様なインデイケーターを以下の方針で作成した。

極域を地磁気緯度  $60^{\circ}$ - $70^{\circ}$ ,  $70^{\circ}$ - $80^{\circ}$ ,  $80^{\circ}$  以上の三領域に分割し、夫々の領域で AE-index の AU と AL を求めたのと同一の手法で DU, DL をし、更に擾乱量の指標として  $(XH^2 + YM^2)^{1/2}$  を採り、DU を求めた方法で三領域に就いて夫々求めたものを各領域での HDV (Horizontal Disturbance Vector) とする。更に程度方向に対する情報を得る為に各領域の DU, DL, HDV などの時間帯の観測値に依って表されて居るかと同時に求めた。時間帯は 12 時、18 時、00 時、06 時を夫々中心とする 6 時間の半区間を採用した。表示は三領域の DU, DL, HDV を領域別に表示するより DU, DL, HDV の三数にまとめる。

今回はこの様にして作成した約 20 則の指標から求めたサイストーム発生時の特徴を従来解析を行って来た dayside oval の activation の際の地磁気変動と同種のものである事を報告する。更に Frank 等に依って報告されて居る 'inverted V' と呼ばれる入射電子のスペクトル特性とサイストームの段階との関係等を対応取れた約 10 例について上記の指標との同時解析から求めた結果を附して報告する。



左に 1968 年 9 月 5 日 UT 00<sup>h</sup>-07<sup>h</sup> の  
サイストーム活動度の指標例を示した。

東京大学理学部  
飯島 俊

Auroral Mini-Electrojet During the Substorm-Growth Phase

Using the Scandinavian meridian-chain of geomagnetic observatories, an investigation was made of 76 polar magnetic substorms occurring in the geomagnetically quiet background. The investigation adds the following new knowledge to the previously known morphology for the substorm-growth phase. At the auroral-zone, the growth phase of a polar magnetic substorm is characterized by the pronounced association of the auroral mini-electrojets (the weak eastward electrojet at the afternoon-to-evening auroral-zone and the weak westward electrojet at the midnight-to-early morning auroral-zone). These mini-electrojets are considered to be caused by the enhancement of the  $S_q^P$ -field which exists almost always in the polar region, even on extremely quiet time and they seem to form the base of the disturbance throughout the course of a substorm. After this basic disturbance has distinctly developed during the growth phase, it is catastrophically perturbed and shows up as the well-defined expansion phase of a polar magnetic substorm.

References

- Gurnett, D. A. and L. A. Frank (1973), Observed relationships between electric fields and auroral particle precipitation, *J. Geophys. Res.*, 78, 145.
- Iijima, T. and T. Nagata (1972), Signatures for substorm development of the growth phase and expansion phase, *Planet. Space Sci.*, 20, 1095.
- Iijima, T. (1972), Development of weak electrojets during the growth phase of magnetic substorms, *Rep. Ionos. Space Res. Japan*, 26, 267.
- Kisabeth, J. L. and G. Rostoker (1971), Development of polar electrojet during polar magnetic substorms, *J. Geophys. Res.*, 76, 6815.
- Mende, S. B., R. D. Sharp, E. G. Shelley, G. Harendel and E. W. Hones (1972), Coordinated observations of the magnetosphere: The development of a substorm, *J. Geophys. Res.*, 77, 4682.
- Snyder, A. L. and S.-I. Akasofu (1972), Observations of the auroral oval by the Alaskan meridian chain of stations, *J. Geophys. Res.*, 77, 3419.

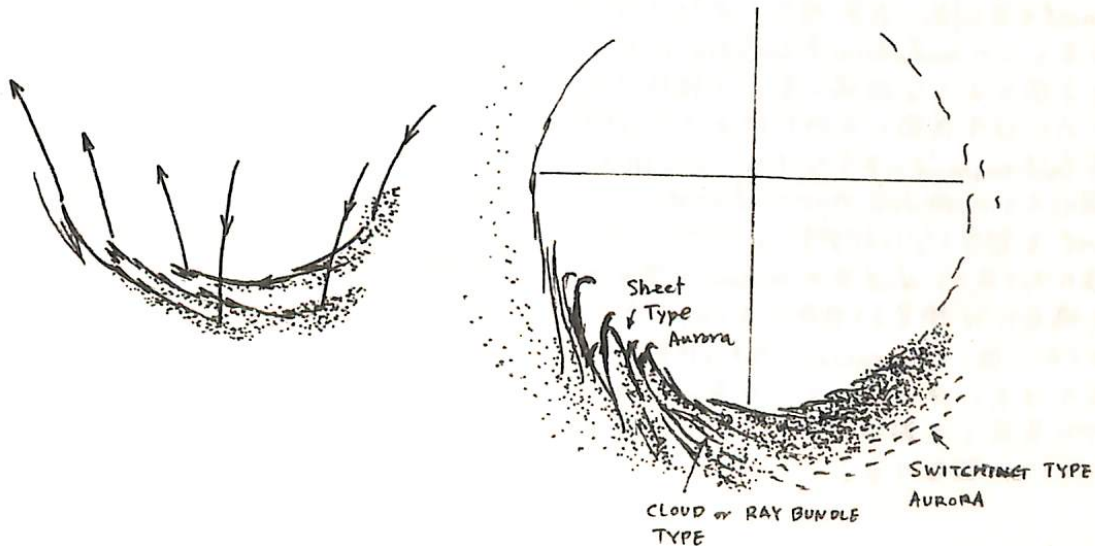
小 口 高 , 鶴 島 健

東 大 理

オーロラ入射粒子と Jet Current の關係を明らかにするために昭和基地における  $H_p$  及び他の emission の掃天観測と地磁気変動の比較を行なった。全体の結果は部会 FUKUNISHI が報告しているように、大まかに Breakup の前に  $H_p$  及び Electron Aurora の緯度が下り、Breakup と共に Poleward Expansion が示すと云ふべきである。個々の Breakup は、Breakup 中の Local Breakup に対応する変化は必ずしもそのように簡単なものではある。 $H_p$  の領域を時間的変動が著しい。現在解析が進行中であるが、今までの所、次の事柄が知られた。

- (1) 領域の Equatorward shift は、必ずして Jet に伴う現象で Twin Vortex current の発達に関係するとは云い難く、Midnight-Dawn の Jet の発達に対する直接の見立ての場合が多い。例えれば、昭和基地が Dusk の時、Dawn は  $\approx 3^\circ$  Dixon, Tixie など Jet の発達と共に緯度が下る。
- (2) Poleward Expansion が起るのと、Breakup 又は Jet の昭和基地でカバーする時に起る。即ち、Eastward Current 領域 (Dusk) で、東側と Westward Current の領域が西側に膨張する時に起る。
- (3) Midnight にかけた Expansion は、Auroral Arc の急速な Splitting が原因。Electron Aurora の shift ( $T=$  後の空間で  $H_p$  の塊が逆行する形で進行する)。この場合、 $H_p$  の帯は  $0.1^\circ \sim 0.2^\circ$  で Electron Aurora の緯度割合は存在する。 $H_p$  の分布は一律ではなく、明るい Electron Aurora の部分に付随する。
- (4) Dawn の Breakup は、西側の Electron Aurora の急速な splitting に対応し、ray bundle type の Electron Aurora の急速な東側への膨張と、強い  $H_p$  emission の増加がその特徴である。この  $H_p$  の増強は、Syowa-Reykjavik-Narsarsuaq 間と Midnight 領域での W-JET と相似で、特に対応を示す。
- (5) Dawn の Quasi-periodic な Switching type Aurora は、 $H_p$  emission の中かや、緯度よりは現れる。

以上をまとめた Breakup 過程を schematic に現わすと次図の様になる。



## 磁気圏で見た field-aligned current

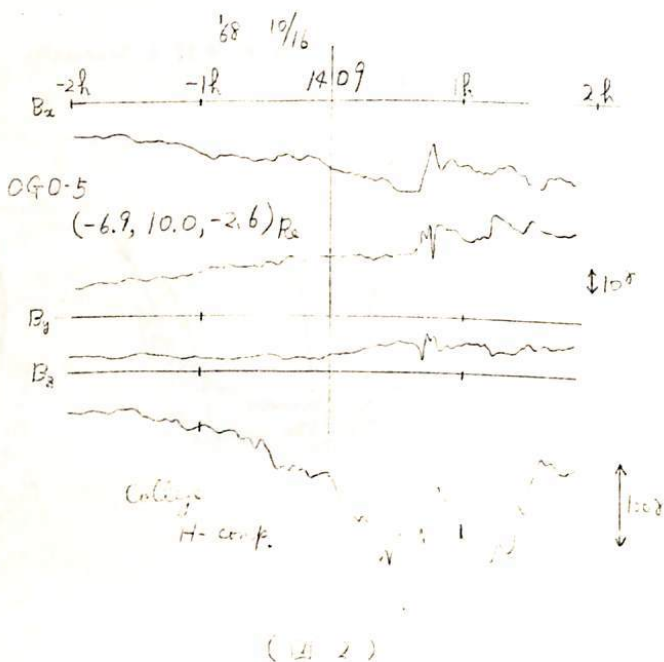
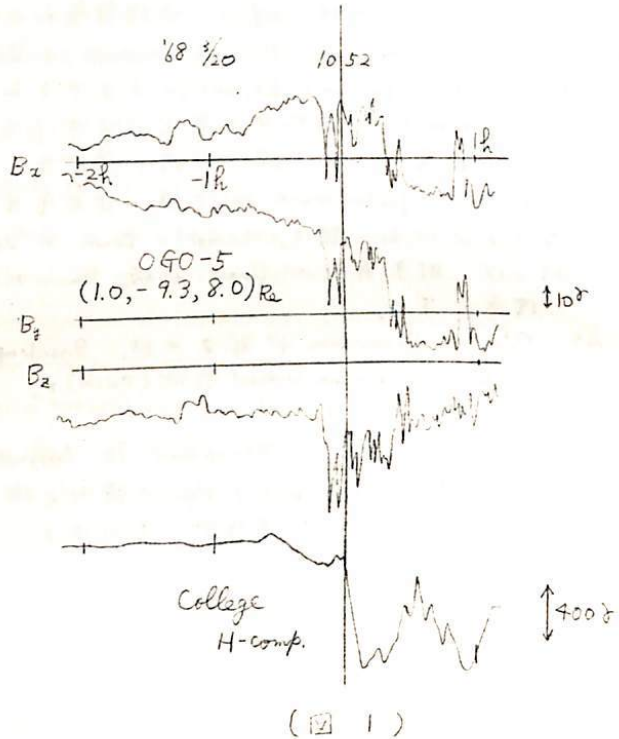
長山直弘 西田篤弘  
東大宇宙研

これまで我々は substorm の際の磁気圏の（主に磁場の）変化について調べてきたのであるが、その対象は主に夜側の inner magnetosphere 及び tail であった。今回は dawn-dusk meridian における substorm 時の磁場の変形の仕方にについての解析を報告する。磁気圏の dawn-dusk meridian を適当に横切って“3衛星で”，そのデータが我々の手許にあるものは OGO-5 である。

OGO-5 が記録する substorm 時の磁場の変化のタイプにはまず第1回のようないわがある。growth phase では  $B_x, B_y$  が増大する。特に  $B_x$  の増大が目立つ。expansion phase onsetと共に sheath に出ていているか出ていなければ磁場は減少するのである。この substorm が isolated であることは Ground (College) のデータからもわかる。このような磁場の振舞は growth phase には tail current が増大するという事実を考えると一応ものであると思われる。

ところが OGO-5 には第2回に示されるような磁場の変化が見られる。つまり growth phase には顕著な変化はないが expansion phase onset と共に  $B_x$  のみが増大し始めるのである（この substorm は isolated である）。第2回のような磁場の変化を説明するためには赤道面に平行に流れる sheet 状の tail current のようなもの、又は磁力線に沿って流れるやはり sheet 状の current を想定しなければならない。そして磁力線に沿って流れる sheet 状の current を想定する場合には衛星より外側におくか、内側におくかに従ってこの current の向きは決まる。

我々は主に第2回に示した変化のタイプに着目して解析を進めた。その結果について報告する。



## Neutral Sheet のモデル実験 (Ⅲ)

河島信樹 大数修義 岡村昇一  
東大宇宙研

Neutral Sheet のモデル実験として magnetic neutral point にプラズマを入射してそこには大電流を流してその点にかかるエネルギーの dissipation を調べて来たが今回はそれによつてイオンが加熱されたりする事が実験的に明らかになつたので報告する。Fig. 1 に実験装置を示す。Magnetic neutral point は 8 本の導体を上下 4 本ずつに分けたコンデンサー放電により準定常電流を流して作つた。プラズマ銃で作つたプラズマとこの neutral point に入射してから 15 KV, 2.5  $\mu$ F の早い放電で二枚のメッシュ電極間にプラズマを通して大電流を流すと neutral sheet が形成される。そこで Fig. 2 に示したように anomalous resistivity による電圧の hump が両電極間に現われる。これに対応して Fig. 2 のように X-ray が現われる事は前回に報告したが、今回は ion の energy analyser を Fig. 1 の装置側面 3 m 離れた位置にかけて time of flight でエネルギーを測定して得られる signal は Fig. 2 に示したようにありこれを time of flight で戻してみると点線に示したように Fig. 5 Dependence of the ion temperature on the external magnetic field での ion または X 線

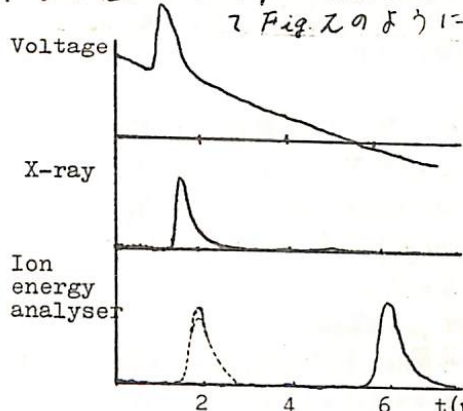


Fig. 2 Voltage hump and the ion energy analyser output

Fig. 1 Experimental layout

Fig. 1 Experimental layout

$T_i$  (KeV)

$I_c$  (KA/rod)

$V_p$  (KV)

Fig. 5 Dependence of the ion temperature on the external magnetic field

ion の energy spectrum を測定

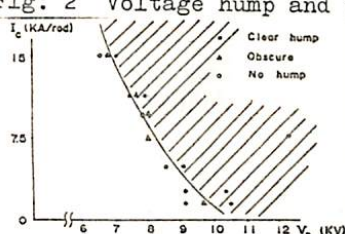


Fig. 3 Dependence of the appearance of the voltage hump on the plasma current and the external magnetic field

してみると Fig. 4 のように Maxwell 分布に近い形で KeV の order の温度に対する dependence は外部磁場を強くすると ion 温度は上昇し (Fig. 5) プラズマ中を流れれる電流 (Fig. 6 の  $V_p$  に比例する) を増加すると、増加する。これは、 hump の現われ方の  $V_p$ ,  $I_c$  dependence (Fig. 3) とも対応している。

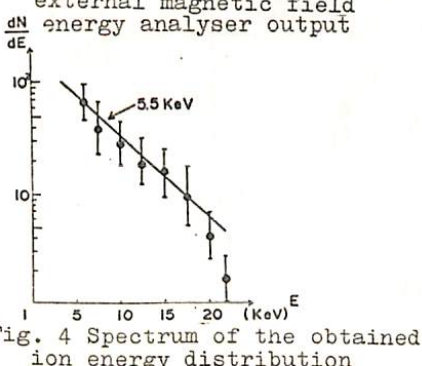
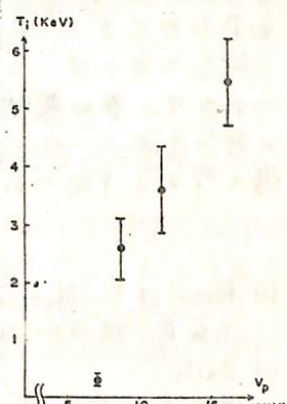


Fig. 4 Spectrum of the obtained ion energy distribution

Fig. 6 Dependence of ion temperature on the plasma current



# I-24 $K_p$ の半年変化

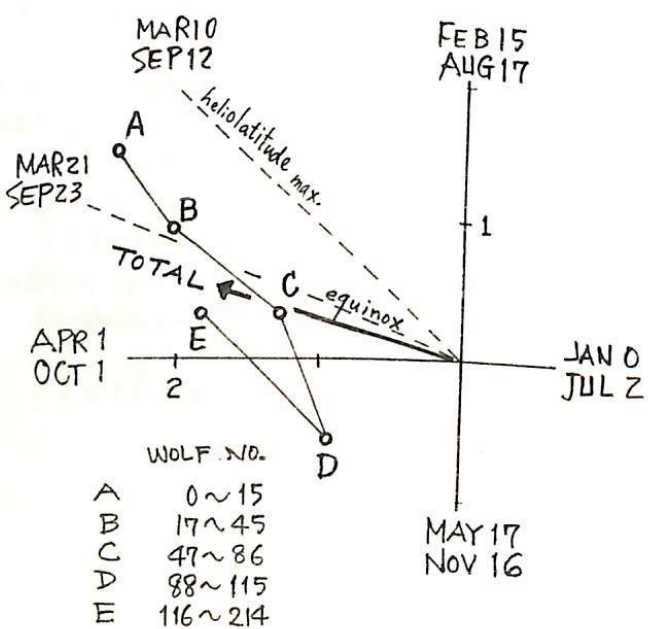
青木孝夫 村山 高  
(アマ大理)

$K_p$  に半年周期の変化のあることは古くから知られていましたが、その発生機構についての論議が近年盛になっており、いくつかの解説が提唱されています。そこで  $K_p$  の半年変化の実態(特に solar activity との関連)を調べてみた。data は 1932 ～ 1971 の 40 年間の  $K_p$  の daily sum で、各年を前半と後半に分け、夫々について調和解析を行なった。下図は、その 1st harmonic の位相、振巾の 80 組 (40 年 × 2) の data E, solar activity (Wolf 黒点数の半年平均値) によって分類し、activity の小さい順に A ～ E として、それらの平均ベクトルを示したものである。従って個々の平均ベクトルは 16 ヶの半年 data の平均になっている。

この 40 年間全体の平均ベクトルは、図中の TOTAL とかいた位置にあり、equinox とよく phase が合っている。しかし、それは solar activity によって分解した結果は、半年変化のベクトルが ① phase  $\approx \pi$ , amp  $\approx 1$  の、solar activity によらないベクトルと ② solar activity が減るに従って phase  $\approx \frac{3}{4}\pi$  の方へ伸びて行くベクトルの和から成ることを示唆している。

最近 Russel-McPherron<sup>(1)</sup> は、Sol. Eq. 系と Sol. Mags. 系の相互関係の年変化から、 $K_p$  の半年変化の解説を試行している。この効果の存在することは確かであるが、半年変化のすべてを説明するには不充分で、むしろ上の ① のベクトルと位相、振巾共に矛盾なく対応している。一方、② のベクトルは、その位相が、地磁の heliographic latitude が最大になる位相と一致しており、solar magnetic field の性質と密接に関連していることが予想される。最近 Saito<sup>(2)</sup> は、地磁の helio-latitude の高いときには、太陽面の active region に近い、強い磁場が引き出される効果 (ARS 効果) と、上記の Russel-McPherron 効果との重ね合わせによる。 $K_p$  半年変化の解説を提唱しているが、我々の ② のベクトルと ARS 効果に対応させれば、この解説は下図の結果をよく説明する。しかし ② のベクトルの性格については、更に検討を要する点が多い。  
く竟つており、其の真についこの議論も行なう事決定である。

- (1) Russel & McPherron :  
J.G.R. 78, 92 ~ 108, 1975
- (2) Saito :  
Rep. Ionos. Space Res Japan.  
26, to be published.



# I-25 放射線帯下部の高速電子について

早川章男, 河野 敏, 長瀬文昭, 田中靖郎

名古屋大学 理学部

放射線内帯の下縁は鋭い境界を持つと信じられていたが、最近の観測によって下縁以下の高度においてもほぼ定常的にかなりの強度の電子の存在することが明らかになった。L-3H-7号機によるわれわれのロケット観測の結果、地磁気緯度 $20^{\circ}N$ における高さ $500\text{ km}$ 以上では、エネルギー $10\text{ keV}$ 程度の電子は磁場に捕捉されており、その強度は高さと共に増すことが認められた。他方カリフォルニア大学 LRL グループは高度 $150\text{ km}$ において電子が磁場に沿って降下していることを観測した。K-9M-40号機によるわれわれの実験の結果、高度 $200-300\text{ km}$ では両成分が共存することを見出した。

ロケットに搭載した電子測定器は厚さ $0.3\text{ mm}$ のポリプロピレン窓をもつ比例計数管で、有効面積は $13\text{ cm}^2$ 、視野は $3^{\circ} \times 26^{\circ}$ であった。測定された入射電子のエネルギーは $6.5-23\text{ keV}$ の範囲にあった。高度 $140-326\text{ km}$ の領域で測定が行なわれた。これによつて次の結果が得られた。

(1) 電子の方向分布。ロケット軸と磁気線にそれぞれ垂直な2面の交う方向に強度極大があり、両極大の中間方向においては上方の強度が下方の強度より大きい。観測された分布は磁気線に垂直な方向に集中する分布と、磁気線に沿つて上方で等方的な分布とに分解される。

(2) 電子強度の高度変化。電子強度は高度と共に増えるが、方向分布によつて分けた両成分について見れば、前者は高度と共に増すが、後者は高度変化を示さない。両成分の強度は高度 $250\text{ km}$ においてほぼ等しい。

(3) 電子強度の時間的変化。電子のエネルギー領域が違うが、L-3H-7とK-9M-40で観測された電子強度は互に矛盾しない。いずれの場合もロケット飛翔時およびその前約10日間太陽と地磁気は静穏であった。二つの観測結果は定常的な電子のふるまいを表わすと考えてよかろう。

以上の観測結果より、磁力線に垂直な成分は地球磁場に捕捉されている電子を、等方的な成分は磁力線に沿つて降下する電子を表わす。両成分の強度比と捕捉成分の高度変化の大勢を説明するために次の模型を提案する。

電子は大気密度に比例する発生率でほぼ等方的につくられる。したがつて電子の大部分は密度の高い低い高度で発生し、大部分はそのまま磁力線に沿つて降下する。ピック角の大きい小部分の電子は磁場に捕捉され、大気との衝突によるエネルギー損失と散乱によって次第にもれて行く。各成分の強度はつくられる電子の占める立位角と寿命の積に比例する。これらの電子は陽子の Penobach - 口過程でつくられると考えられる。

上山弘・武井惠雄・白畠洋<sup>一</sup>

東北大物理学部 女東北大工学部

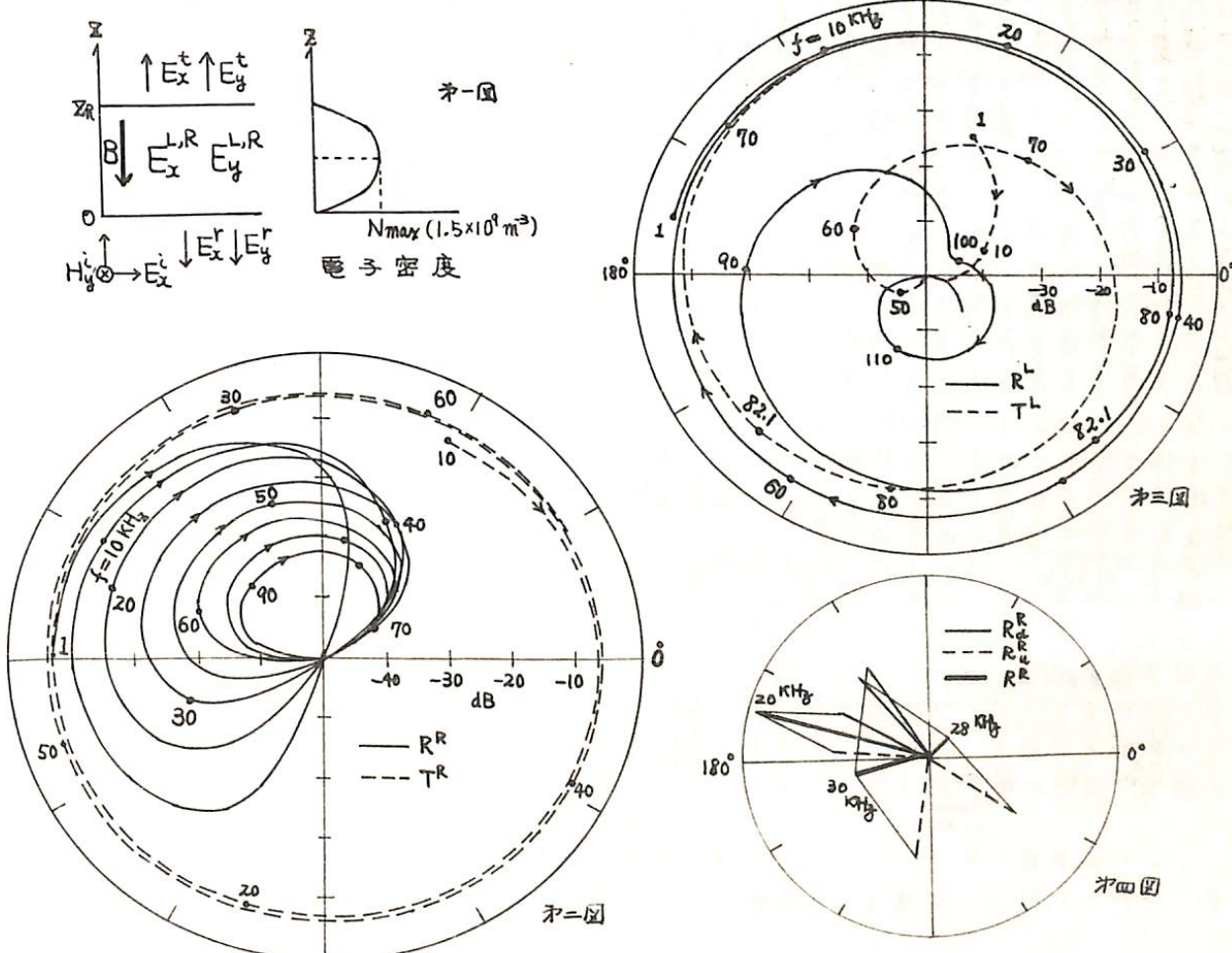
放射線帯高エネルギー粒子の電離層における可効果については早くから注目され、いにづれ、磁気圏における強い散乱効果を評価する理論的方法に欠けまとろべてつたため、統一的、定量的な研究が遅れています。

サブストームに伴って極域、極光域電離層へ入射する大量の粒子フラックスについては観測上の重要なべき良く知られています。中低緯度の電離層における可効果については未だに詳らへでない。しかし、磁気嵐時には高エネルギー粒子が充満する 2~3~4 の領域は、その数日後には全く空の slot region に至るまでに至ります。また、 $\sim 0.1 \text{ erg/cm}^2 \cdot \text{sec}$  程度にのぼるエネルギーの損失がみえます。中低緯度電離層の特に夜間ににおける生成・維持に無視しえ得ない効果があると思われます。幸い、近年のプラズマの準線型理論の発達は pitch angle scattering の定量的取扱いを可能にし、またそれに併せて電磁波のスペクトルも観測されるようになっています。よって、中低緯度電離層への粒子の散乱フラックスを求めるために、plasmasphere 内における粒子の散乱-拡散過程を理論的に取扱う。すなわち、Cyclotron/Landau Resonance Scattering  $\Rightarrow$  Atmospheric Coulomb Scattering & pitch angle scattering mechanism をして取入れ、1分~1日程度の magnetic fluctuation spectra による radial diffusion の問題を数值的に解析する。最終的には磁気嵐時に供給された高エネルギー粒子の電離層への流入の効果について、time dependent solution を求めようとしています。

満保 正喜 長野 勇  
金沢大学工学部

第一図のように電子密度が二乗分布をし、その上戸部が自由室内である場合の戸中の電磁場、戸よりの反射係数、透過係数を以前に Weber 図式を用いて表し、その数値例を示した。(戸中で  $\nu = 1$  一定としている。) 戸よりの反射係数  $R^R$ ,  $R^L$  を電波の周波数をパラメーターとして求めた所、戸中よりの分反射の量が得られたので、これについて述べる。

$\nu = 0$  の場合、 $R^R$ ,  $R^L$  は第一図、第二図のような変化をする。 $R^R$  の R-wave については  $\frac{1}{\pi} \frac{dB}{d\theta} \ll 1$  であり、戸中は殆ど均質媒質と見做され、第四図のように戸の上下両端よりの反射波の合成により表わす事が出来る。これに比し、 $R^L$  の L-wave については、82.1 KHz 以下の周波数で戸中に全反射が起つており、82.1 KHz にて最大電子密度が全反射点となる。これより高い周波数にて約 100 KHz までの間に、殆ど全反射が起つて居り、100 KHz 以上になると、L-wave は今度立てる D 戸は、R-wave と同じように均質媒質と見做され、戸の上下両端より反射される成分の合成と見做され、第一図のような渦巻状の形となる。82.1 KHz から 100 KHz 近傍の向の周波数にて、戸の上下両端より反射される成分は理論的には存在するが、その量は非常に少い。



## I-29 OIλ5577を発光するXe放電管内の電流に対するスペクトル線強度の依存性

山岸正明、渡谷邦彦  
鳥取大

$X_e$ に  $O_2$ を混入して放電すると OI入5577が発光することはすでに報告<sup>\*</sup>した。ここでは OI入5577の発光する  $X_e$ 放電管で、放電電流によるスペクトル線強度の変化を調べた。放電は直流放電とし、管内の圧力を 1, 0.6 Torr にしたとき  $O_2$ の分圧を加えて実験した。

実験装置の略図はFig.1に示した。分光器は回折分光器にR374ミトマルをつけたもの（波長範囲4500~8500Åを測定）と、ガラスプリズム分光器（リトロ型）にIP21ミトマルをつけたもの（主に5577Åを測定）を用いた。

この放電ではOIλ5577の長波長側に近接してXeのスペクトル線が相当強く現われるが、Fig. 2に示すようにガラスプリズム分光器で分離できた。OIλ5577以外のO原子スペクトルは7771 Å が非常に弱く発光している（放電々流の依存性は測定できない）ほかは見出されなかつた。

\* K. Watanabe J. Geomag. Geoelect. 24 153 (1972)

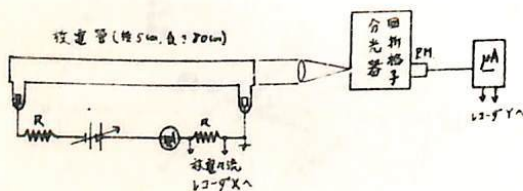
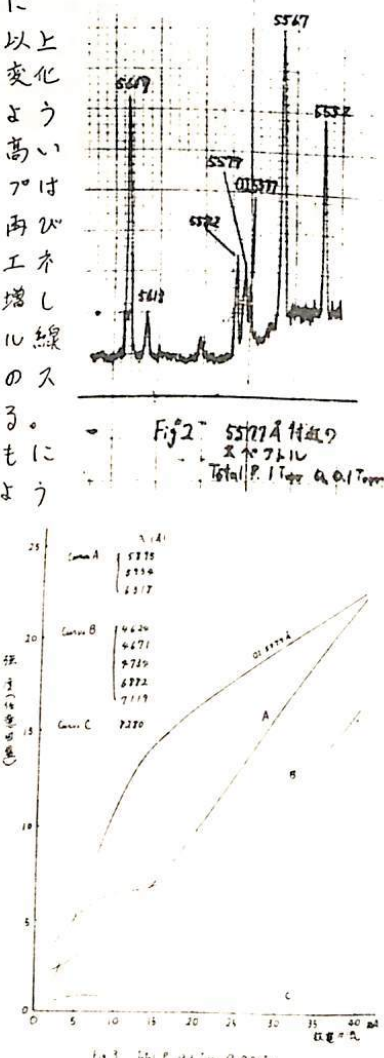


Fig. 1 実験装置の略図



松浦 延夫  
電波研究所

Jacchia (1971) によって与えられてゐるようない熱圖モデルに基いて発生する電流、電場の測定的な分布、およびそれらの太陽活動度 (10.7 cm 太陽電波強度  $\Phi$ ) および地磁気擾乱度 ( $K_p$ ) に伴う変化の理論モデルについて報告する。

外気圧温度 ( $T_{\infty}$ ) は余緯度  $\phi$ 、経度  $\chi$  (真夜中  $\chi=0$ )、および  $K_p$  の函数として次のようすに与えられる。

$$\left\{ \begin{array}{l} T_{\infty} = T_{\min}(\Phi) [1 + 0.15 (1 + \sin \phi \cos \chi)] + (21.4 \cos \phi + 17.9) K_p + 0.03 \exp(K_p) \\ T_{\min} = 379.0 + 3.24 \Phi, \quad \chi = \phi - 225^{\circ} + 12^{\circ} \sin(\phi - 135^{\circ}) \end{array} \right. \quad \dots(1)$$

このモデルでは、ダイナモ電流は高度 110 km 以高 (110 km に固定境界の *turbopause* をもつ) の熱圖における水平方向の圧力勾配によつて誘起される。ダイナモ電流は Lorentz 力 (JxB) が圧力勾配と釣合う主要な力であるような領域に主として流れれる。つまり、日変化を対象とした場合には、日中高度約 140 km 以高、夜間高度約 200 km 以高の領域である。これらの下の領域は非電磁力が大気運動下淡められるような領域である。高度 70 km から 1/1000 km の範囲で、磁力線に沿つて積分されたダイナモ電流 (II) は数十 Amp/km 程度となり、 $S_q$  電流と同程度である。(しかし、II の主要部分は irrotational 成分を形成し、この成分は分極電場によつて主として正領域に流れれる伝導電流 (IIc) と irrotational 成分つまり遷電流によつて打ち消されててしまうので、地上での地磁気変化からは検出されない)。II および IIc の toroidal 成分を合成した結果、約 20000 Amp 程度の twin vortex 型の電流が流れることになる。静穏時 ( $K_p=0$ ) には日中の vortex の長さは緯度  $50^{\circ}$  附近にあり、强度および電流率は太陽活動度によつて余り変化しない。擾乱時 ( $K_p=8$ ) には、約 30000 Amp は強化され其長さは緯度  $40^{\circ}$  附近に移動する。 $S_q$  電流率の主要部分は高緯度を除けば潮汐によつて大きく変化され、Jacchia (1971) モデルには全くみてない潮汐効果を下部熱圖構造に加えよないと必要であると考えられる。

このモデルで得られると、方極電場は数 mV/m 程度となり、 $S_q$  電流率から得られるところの電場と同程度の大きさをもつてなるが、そのパターンは可成り違つたものである。Jicamarca での incoherent scatter によるドシフト実験から得られており、赤道付近の電場の東西成分とこのモデルで得られてゐる電場とは可成り類似してあり、 $S_q$  電場と実験との対応を説明できよう。電場の強さは一般には太陽活動度に余り依存しない。しかし地磁気擾乱 ( $K_p$ ) によつて電場は弱められる傾向がある。たゞ、地磁気擾乱効果は (1) 式にみられるように程度につれて一様といつてあるが、緯度依存があると上の傾向は逆になることがある。磁力線に垂直な電場の南北成分は  $10 \text{ mV/m}$  を越える場合があり、半位緯度の spread F の発生についての統計結果 (LT 变化、緯度変化、 $K_p$  变化、太陽活動度依存) と類似の傾向を示してゐるようである。

熱圖の風、特に南北成分は地磁気擾乱の影響を受けるが、夜間は余り顕著ではなく、日中に顕著に現われる。この傾向は電離層初期にみられる日中の  $F_0 F_2$  増加の傾向に類似している。

電離層における3年年変化 IV  
F2層ピークの高さの年年変化 総報

電波研究所 矢沢 利之

昨年春の学会において、Puerto Rico における 1959-61 の 3 年間にわたる 30 時と 12 時の F2 層ピークの真の高さのデータを解析して得られた年年変化について報告した。その時に得られた主な結果は、半年変化の振幅が数 km から 10 数 km の程度であつて余り大きいこと、及び真の高さとピークの電子密度の年年変化は同位相であるらしいということであった。今回は同様な解析を他の観測所について行なって見た結果について述べる。結果は概して言えど Puerto Rico の場合と一致しており、先づ正確な 30 時に分つていてあるが、低緯度における Talara と Baguio では二つの一般的な傾向から外れていた。その原因の一部はこれらの観測所データに欠測があることにあらうと思われたが、それ以外に地域的な特性に因るものがあるかどうか、今暫くはつきり結論できない。

解析の方法は昨年の場合と同様であるが、太陽電波以外に地磁気特性を考慮に入れて解析を行なつた。毎日の一定時刻（以下では 0 時および 12 時）の  $hmF2$  (F2 層ピークの真の高さ) を取り、それの 27 日移動平均をつくり、先ず 27 日周期を取り除く。次に 1 年間を年最初から 10 日までの 37 の期間に分けて（最後の期間は 5 日または 6 日一閏年の場合一から成る）、各期間毎に上記の 27 日移動平均を更に平均する。かくして年最初から終りに至る 37 個の平均値から成る  $hmF2$  の系列が得られる。同様な換算的操作を 10.7 cm 太陽電波強度とよび地磁気特性数  $C_p$  ( $C_p$  が手許にない場合には  $C_i$  を代用する) についても行なはれ、得られた 3 つの系列の間の重相関および偏相関を考察する。相関は概してかなり高いので、 $hmF2$  と  $C_p$  に対する regression plane の式を用いて、重および  $C_p$  の一定値に引き直された（すなはち太陽および地磁気活動の時間的変化の影響が取り除かれたと考えられる） $hmF2$  の値を求める。この 37 個の  $hmF2$  を調和解析にかけることによって、それの年年変化の振幅と位相が得られる。

得られた結果は次の表の通りである（Puerto Rico の場合は地磁気特性数を考慮に入れて計算をやり直してあるので、昨年とはいくつか結果が違つてしまふ）：

観測所	地磁気 特性 度	振幅 (km)		最初の極大生起の日		年	この表から、低 緯度の Talara と Baguio を除けば、 年年変化の振幅は 大体 10 km の程度 で、極大は 3 月終 りから 5 月初めに かけて起つてお り、昨年 Puerto Rico について得られた 結果を更に確かめ ていふ。左側で少 なくとも中緯度に おいては、ピーク
		12 時	0 時	12 時	0 時		
St. Johns	58.5	9.7	9.7	Apr. 18	Apr. 23	1959	
Ft. Monmouth	51.8	5.5	11.0	Apr. 3	Apr. 17	1960	
Adak	47.2	1.7	6.4	Apr. 25	Mar. 26	1960	
White Sands	41.1	-	9.5	-	Apr. 28	1959	
		14.8	14.9	Apr. 21	Apr. 21	1960	
		15.1	11.2	Apr. 14	Apr. 20	1961	
Grand Bahama	37.9	-	7.0	-	May 5	1959	
		-	11.7	-	Apr. 4	1960	
Puerto Rico	30.0	5.6	5.3	May 6	May 3	1959	
		16.9	12.5	May 3	Apr. 28	1960	
		13.7	7.8	Apr. 24	Apr. 1	1961	
Talara	6.6	2.4	(2.5)	Feb. 21	(May 25)	1960	
		31.1	(8.2)	Apr. 13	(Jan. 1)	1961	
Baguio	5.1	-	17.5	-	Jan. 2	1960	
		-	8.6	-	Dec. 26	1961	
Huancayo	-0.6	8.8	-	Mar. 31	-	1960	
		3.5	-	Apr. 12	-	1961	

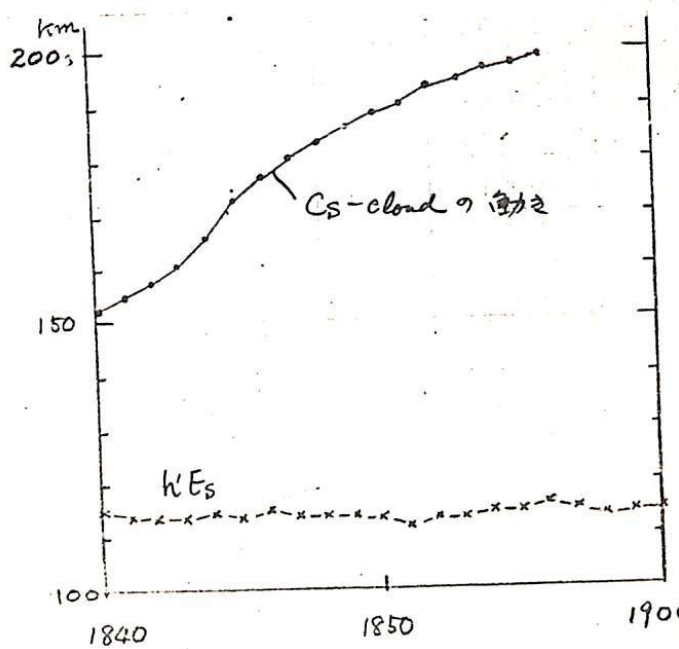
電子密度とピークの高さは大体同位相で変化していると結論してもよさそうに思われる。Talara と Baguio については現在なお検討中であるが、今までの所では 12 ヶ月（正結論は得られていない）。

## K-9M-42号機によるセシウム雲実験

堤 四郎、鈴木 裕、福原敏行、竹屋芳文（大阪市大工）  
大山 治男（富波研山川）

電離層圏の風を中心とするダイナミックス諸量の測定を目的としてセシウム電離雲の観測実験が K-9M-42号機によって実施され成果を得るので報告する。今回の実験は前二回の同様の実験に続くものでとくに電波による雲の追跡については既に成功を見ており特に放出弾の軽量化を行なっている。

K-9M-42号機に昭和48年2月23日 18時38分（太陽高度角-7°）に上下角77度で発射され最高高度306Kに達した。この間タマク作動導順調に進み予定通り X+82秒、高度約130Kで青白色のセシウム発光雲が生成し目視によってその後約20分間確認された。



山川からセシウム電離雲の直上高の時間変動

山川からセシウム電離雲の直上高が生じておりこれらの中性雲と電離雲の移動の差異についても関心が持られる。また人工雲の放出に伴うテレータ信号の受信強度と振動的な変化が記録されておりこの点についても検討中である。

これに対する地上よりの写真観測は前回同様中村純二氏らのグループの協力によって5地點から実施され以下解析が過かれている。

電波観測は内之浦、山川、西之表から Ionosonde の連続操作によって実施した。このうち山川での結果を図に示す。内之浦、西之表では反射波は極めて強く正離等の時間経過は得られていない。今回の放出弾の効率が不完全であるとも考えられるがこの点については目下検討中である。今回の42号機ではセシウム雲をはさんで上下に帯状に

藤高和信

東大・理

## 序論

熱圏下部の風系を考える手段として夜間電離層の状態と調べることが有効であることは既に報告した通りである。高度百数十kmまでの領域では、もっと高く所とは異なり、卓越風(または大気潮汐)が支配的であると考えられる。問題は大気潮汐の多くのモードのうち最も卓越するものを選ぶことにある。過去に存在が予想された主モードは一日周期の(1, 3), (1, -1)モード、半日周期の(2, 2), (2, 4)モードであるが、鉛直波長の短い(1, 3)モードは、105 kmを境として、粘性や熱伝導の為に大きくdampしてしまう(Batten '70)。非伝播性の(1, -1)モードは極域では支配的でも、中緯度では比較的小さい寄与しかないとう想される(Tarpley '70)。事実夜間電離層に特徴的な中間層の性質は伝播モードの風が卓越していることを裏付けている(Fujitaka & Tokunaga '73)。従って中緯度に限定したとき、残る問題は(2, 2), (2, 4)モードの相対強度にしほられる。今までにこの考え方について、(2, 4)モードが最も小さいと述べたが、荷電粒子のドリフトは多くのモードの誘導電場と、静電場の組合せで決まり、(2, 4)モードがunique solutionであることは証明を要した。

## 考察

少くとも中緯度熱圏下部に存在する風は全て中間層の形成を説明し得るものではない。 $S_q$ -fieldの主な原因とされる(1, -1)モードは中緯度では弱いので、そこでのドリフトは半日周期モードの風にドリフトと、 $S_q$ 電場ドリフトの線型結合で近似できる。荷電粒子の集積は鉛直速度の負のシャーキモードに起きたら、このmodeが中間層を説明すれば良い。中緯度に於ては、(2, 2)モード、(2, 4)モード共にほぼ円偏光を近似して良い(Tarpley '70)。風のtotal speedの鉛直分布はRocket観測の平均値(Rosenberg '68)があるが、これを2つの異なる振幅を持つ円偏光波の重ね合わせとして取扱うと、その南北成分につき次の様になる。(東西成分は位相で%増す。)

$$\begin{aligned} U_{24} &= R_{24} \cdot \sin\left(2\phi + \frac{2\pi(z-z_0)}{\lambda_{24}} + Y_{24}\right) \\ U_{22} &= R_{22} \cdot \sin\left(2\phi + \frac{2\pi(z-z_0)}{\lambda_{22}} + Y_{22} + Y_{def}\right) \end{aligned}$$

但し  $\begin{cases} z_0 = 90 \text{ km}, \quad \phi = \text{local time} \\ R_{24} = v_{\text{local}} / \sqrt{1 + c^2 + 2c \cos \phi} \\ R_{22} = c R_{24} \\ Y = \frac{2\pi(z-z_0)}{\lambda_{22}} + Y_{def} - \frac{2\pi(z-z_0)}{\lambda_{24}} \end{cases}$

$R_{24}$ ,  $Y_{def}$  の値及び相対寄与率を色々組み合わせて中間層の形成を調べる。 $S_q$ 電場の分布は Matsushita '71 の値を用い、driftの計算は Axford & Cunnold, et al. に従う。

## 結果

のべ2340種類の組合せでnodal line求めて判定した結果、位相定数の値の組み合わせにかかるず、典型的な中間層の形成のためには  $c$  は 0.5 以下であることがわかった。即ち、問題にしている領域では(2, 2)モードは(2, 4)モードの高々半分の強度を持たず、基本的には(2, 4)モードの潮汐風で表わせることが言える。これは先の学会(盛岡)で、多くのロケット観測の結果に対して示した解説を東付けている。

## 参考文献

- Batten '70 R-585-PR The Land Corporation, Santa Monica  
 Tarpley '70 PSS 18, 1091  
 Fujitaka & Tokunaga '73 JATP, 35, 425  
 Rosenberg '68 JATP, 10, 909  
 Matsushita '71 Radio Sci 16, 297  
 Axford et al '66 PSS, 14, 909

クロスフィールド型プラスミ不安定  
による非線形波

小川忠彦  
電波研究所

分散性媒質中の非線形波動は最近、いろいろな面から研究されており、アルフヘン波やイオン音波の有限振幅波が Kortweg-de Vries 方程式 ( $K-dV$ ) によって記述されることがわかつてきた。一方散逸性媒質中の非線形波動は簡単には Burgers 方程式で記述できる。よく知られてるようすに定常解として  $K-dV$  及び Burgers 方程式をそれぞれ、 $Cn^2(x)$  ( $Cn$ : ヤコビーの楕円函数。特別な場合は  $\text{sech}x$ ) 及び  $\tanh(x)$  の形をもつ、前者は cnoidal 波 ( $\text{sech}^2$  の場合) やソリトン(孤立波)と呼ばれてる。後者は散逸性媒質中の衝撃波を表わす。分散性と散逸性が共存する媒質中では(例えば粒子衝突を考慮したイオン音波)、方程式は  $K-dV$  と Burgers 方程式を混ぜた  $K-dV$ -Burgers 方程式になり、この定常解は振動型の準衝撃波や普通の単調衝撃波に存在することが明らかにされている。

我々は以前から電離層中で生じるクロスフィールド型プラスミ不安定の計算実験の結果を報告してきたが、乱流状態でソリトンや衝撃波とあわしき波動を得たことを昨春報告した。今回はクロスフィールド不安定を記述する非線形微分方程式を解析的に扱った結果、電離層中の電場に依存して cnoidal 波や衝撃波が定常解として存在し得ることが判明した。座標系として、外部磁場を  $x$  方向に、外部電場と電子密度勾配を  $y$  方向にヒリ波動は  $y$  方向のみに伝わるとする。然る時電子密度の方程式は次の無次元化した式で表わせる。

$$\frac{\partial P}{\partial T} + \frac{\partial}{\partial \eta} \left\{ (1+\rho) \left[ \frac{\partial P}{\partial T} - \frac{\partial^2 P}{\partial \eta^2} + (e_1 + e_2) \frac{\partial P}{\partial \eta} \right] \right\} - (1+e_2) \frac{\partial^2 P}{\partial \eta^2} = 0 \quad (1)$$

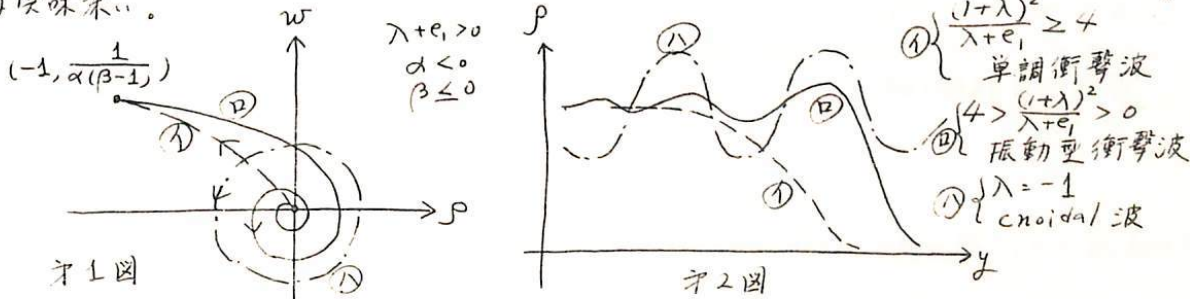
但し  $P(\eta, T)$  は電子密度、 $\eta$  は空間座標、 $T$  は時間、 $e_1$  は ambipolar 電場、 $e_2$  は外部電場である。(1)の定常解を得る為、 $\lambda + e_1$  ( $\lambda$  は任意定数) で移動する座標へ(1)を変換し時間微分を 0 とすると

$$(\lambda + e_1) \rho + [(\lambda - e_2) \rho + 1 + \lambda] \frac{d\rho}{dJ} + (1 + \rho) \frac{d^2 \rho}{dJ^2} = A \quad J = \eta - (\lambda + e_1) T \quad A: \text{積分定数} \quad (2)$$

(2)を解くことは困難なので解の振舞いを位相面  $(P, \frac{d\rho}{dJ})$  を調べる。(2)は

$$\frac{d\rho}{dy} = w, \quad \frac{dw}{dy} = -\frac{\rho + A}{1 + \rho} + \alpha \frac{\beta + \rho}{1 + \rho} w \quad \alpha = \frac{\lambda - e_2}{\sqrt{\lambda + e_1}}, \quad \beta = \frac{1 + \lambda}{\lambda - e_2}, \quad y = \sqrt{\lambda + e_1} J \quad (3)$$

となる。(3)で  $\lambda + e_1 > 0$  のみを考えたが  $\lambda + e_1 < 0$  でも同様に考えられる。(3)の  $(P, w)$  平面での解の振舞いは定性的には特異変り性質によつて決まる。図1は  $(P, w)$  面での、図2は  $(y, P)$  での様子を描いたものであるが、パラメータによつて各種の非線形波に存在することがわかる。周期解が  $\lambda = -1$ 、つまり静止座標から見て  $e_1 - 1$  なる速度で移動するることは興味深い。



竹内下祇五郎\*, 越前谷喜松\*, 小泉徳次\*\*, 大山治男\*\*\*

\*電波研究所, \*\*左同秋田電波観測所, \*\*\*左同山川電波観測所

電離層中に発生する波動現象には種々のものがあるが、ここで扱っている T.I.D. (Traveling Ionospheric Disturbance) は F 層の電子密度の極大、極小が異った観測点によつて時間的にずれている状態から判断される波動現象である。本講演では T.I.D. の振巾は取扱はず、その速度について論ずる。データは稚内(W), 秋田(A), 国分寺(K), 山川(Y) の各観測所におけるチープロットを用いた。解説の期間は 1972 年 8 月 1 日から 15 日までである。

この期間の前半には太陽面が異常に活発な状態となり、そのための電離層や地磁気の擾乱が発生した。特に 8 月 4 日から 7 日までの間には、前記四観測所とも平常の 15 分ごとの観測から 5 分ごとの観測に切換えられ、観測密度をあげた。

T.I.D. の速度の算出法を述べる。先づ次のように單純化した。

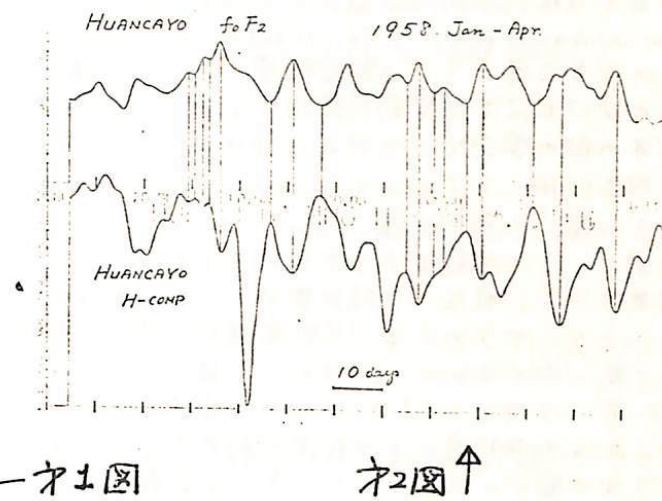
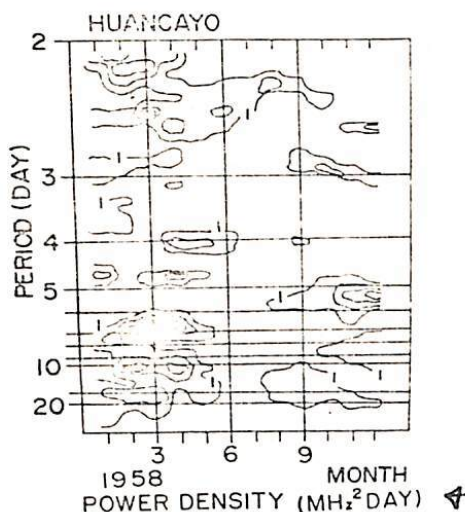
- 1). 伝搬面は平面。
- 2). T.I.D. の波頭は直線。
- 3). 観測点間に空における速度は通過する間不變。
- 4). 四観測点中の三点を選び、緯度的に中央の点から他の二点迄の距離は地球上空 300 km における距離。

更に、三点は W-A-Y, W-K-Y, A-K-Y の組合せとして、その各々について T.I.D. の速度を算出した。そして三組の方向が  $90^\circ$  以上離れている T.I.D. はデータが適切でないと考えて採用しなかった。採用した速度の値は、原則として三組の方向の中央を指していきる速度の値を採用した。欠測によつて三点が三組選べない場合には、一組から算出した値は参考にとどめた。

解説の結論を述べる。

- 1). 地磁気が平穏なときは速さは  $100 \sim 300$  メートル毎秒位であるが、地磁気嵐の際は 500 メートル毎秒以上の速さの T.I.D. が現れ、1000 メートル毎秒に達することもある。
- 2). 地磁気嵐の際に現れる T.I.D. の中で北方から到来していきものが算速で極光帯から伝はつて来たと仮定して、極光帯における地磁気活動との対応をみるとよい対応がみられる。

北 村 泰一  
九大 理学部



$F$ 層電子密度に周期数日の固有周期が存在するとは今迄何度か述べて来たが(オ1図)赤道地域では、地磁気水平成分にも明瞭な数日周期の変化が存在し(オ2図) 1かも  $foF_2$  と図のような著しい逆相関が存在するとかわかった。この  $foF_2$  と地磁気 H-comp との逆相関關係は、従来日変化等によって知られてゐる  $foF_2$  の赤道異常に因する“噴火説”とは矛盾しない。この  $foF_2$  と H-comp との対応を一つの event として看れば、同じ地磁気赤道に位置する Kodaikanal (14°N) と Huancayo (10°S) における同一 event を比較すると、見かけ上 event は東又は西に移動する。これは E 領域、F 領域に或種の波動の存在を suggest するものと考えられる。

赤道地域は大気力学上 1つの特異性を形成する。つまり赤道ではコリオリ力がゼロであり、且その近傍ではコリオリ力は赤道からの距離に比例するため、赤道では真確の波動にえまじつて、チャネル導波管のような振舞をする。事実 1) で振舞をすることは下層大気においては理論的である (Stern 1963, Bretherton 1963, Matsuno 1966, Lindzen 1967) 観測的では (Yamada Maruyama 1966, Wallace & Kousky 1968) 確められてゐる。こうして赤道波は電離圏においても存在する可能性がある。1) で電離圏では  $J \times B$  の力が加わるが、波動はその modification をうける。2) で赤道波の 1) Kelvin 波の名で知られる波動が E 領域に存在するととて、どうする modification をうける。そこで “どのような性格のもので” あるから上図の観測結果を考慮しつゝ説明する。

主な結果は、

- ① Dispersion がより中性大気の場合よりモードを 10 倍する。
- ② 超長波近似 ( $k_y \rightarrow 0$ ) により ~~the~~ equivalent depth を求めると一般に  $n$  (n=1-25.1mm)
- ③ 直接に伝播する。
- ④ 一般に赤道領域に trapされる。

高橋 忠利

東北大 理

電離圏から escape した photoelectron は上部電離圏 - プラズマ 圏の構造を決める上で重要な役割を荷っている。又磁気共役電離圏に輸送された photoelectron は pre-dawn enhancement ( $T_e, 6300\text{\AA} \text{Ainglow}$ ) 等の物理現象を引き起すことが知られている。このような点から、上部電離圏 - プラズマ 圏での photoelectron の輸送及びエネルギー損失のプロセスを定量的に評価することは興味ある。

昨年の秋の学会で、このようなプラズマ 圏での低エネルギー電子の輸送について、クーロン相互作用による energy loss に必然的に伴う pitch 角の diffusion を考えべきこと及びその扱いの概略を話した。

今回は、この問題をより定量化するため種々なエネルギー、L-value についての計算の結果を示す。現在（予稿執筆時）までの計算結果から、pitch 角の diffusion を考慮することにより、プラズマ 圏、英役電離圏、及びもとの電離への back scatter 等の様相は大きく変ってく。又これまでこの種の計算、例えばプラズマ 圏温度、pre-dawn enhancement 等、は殆ど pitch 角 散乱を考慮に入れずになされてい。今後では pitch 角散乱がこれら物理量にどの程度効果をもつのか吟味を行う。

プラズマ 圏での低エネルギー電子の振舞に関しては他に種々な効果がありうる。例えが、プラズマ 波動、非熱的乱れ、磁気共役電離圏間の電位差、等であり、実際のプラズマ 圏においてはこれらの効果も無視出来ないものがある。今後の検討課題である。

今回の計算に用いた諸量を下記に示す。

$$\text{Energy loss rate } dE/dt = -7.73 \times 10^{-6} \ln \Lambda \cdot N_e / \sqrt{E}$$

$$\text{Coulomb logarithm } \ln \Lambda = \ln [(5.95 \times 10^9) E \sqrt{E} / \sqrt{N_e}]$$

$$\text{Small angle diffusion rate } \langle \Delta \theta^2 \rangle_{\Delta t} = \Delta t / \tau \quad (\Delta t \ll \tau)$$

$$\text{Phase function } P(\theta) \propto \exp(-\theta^2 \cdot \tau / \Delta t) \quad (\text{Gauß 近似})$$

Dipole Magnetic field

$$\text{Electron Number density } N_e(1000 \text{ km}) = 2 \times 10^4 / \text{cm}^3$$

$$N_e(r) \propto 1/r^3$$

# I-38 中間圏の $\text{CO}_2$ 分布

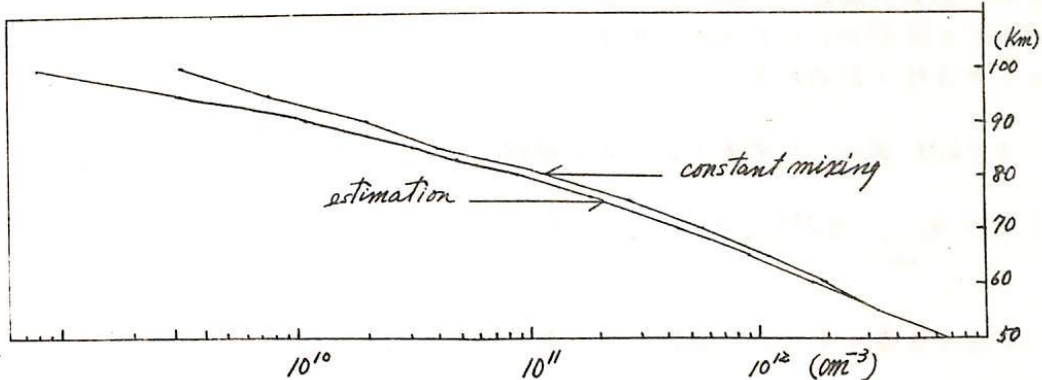
岩坂泰信, 堀井晴雄  
名古屋大学理学部

$\text{CO}_2$  in upper atmosphere plays an important role in cooling and heating, and in ion chemical reactions of D region. The distribution of  $\text{CO}_2$  in upper atmosphere has been theoretically studied by Wofsy et al.(1972) and Hays and Olivero (1970). But their results have some insufficient points. We calculate  $\text{CO}_2$  distribution taking following factors into consideration,

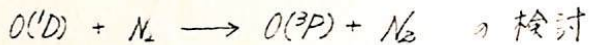
1.  $\text{CO}_2$  distribution is controlled by eddy diffusion, molecular diffusion and photodissociation in lower thermosphere.
2. O and OH density are estimated by eddy diffusion model.
3. photoionization and absorption by  $\text{NO}, \text{N}_2, \text{O}_2$  and  $\text{O}_2(\Delta_g^1)$  are considered.

In order to make assessment of the effect on cooling rate of different  $\text{CO}_2$  distribution in lower thermosphere, the dominant term in radiative transfer equation only be used. Cooling rate to space decreases by approximately 20-50% that due to constant mixing  $\text{CO}_2$  model in the lower thermosphere.

Ionization rate of  $\text{O}_2(\Delta_g^1)$  changes under the variation of  $\text{CO}_2$  distribution in the lower thermosphere and upper mesosphere.



## RRKM理論による



吉田 泰信

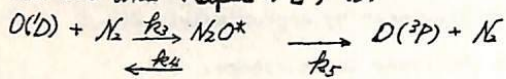
名古屋大学理学部

高層大気中の化序反応のうちで  $O(^1D)$  の脱励起反応が占める位置は次にあける  
よつた理由で大切なものである。

1. 振動励起状態の  $N_2$  が、E層、D層の電子温度を決める factor になつてゐる。
2. 下部熱圈やオゾン層で吸收される太陽紫外光のとなりの部分は  $O(^1D)$  をつくる  
ためには使用されることはから、エネルギー収支を左右する反応であること。
3. 大気光  $6300\text{\AA}$  の強度を決める素過程のひとつとして、又振動励起した  $N_2$  が、  
 $CO_2$  の  $4.3\mu$  band の励起をうながし得ること。

この反応については DeMore and Raper (1964) が、RRKM理論を用いて  $k_4/k_5$  が大きさを 2.3 以下になると示され、1966 年 K. Hunter and McElroy は  $N_2O^*$  の分解するとき  $N_2$  ( $\nu=2$ ) へエネルギーが移動する可能性が指摘された。しかしエネルギー移動があつたうちは振動子間に非調和性を考えに入れねばならぬ点で、RRKM理論では有効振動子数を考えるか方に任意性がある点をちせんと考へて反応を議論したものではない。今回は RRKM理論を用いてエネルギー移動の可能性を考へてみる。

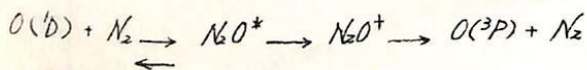
DeMore and Raper のモデル



$$k_4/k_5 = A_4/A_5 \left( \frac{E - E_4}{E - E_5} \right)^{5-1} \quad \nu = 2$$

有効振動子数は、 $N_2O$  の熱分解反応の実験例を考へて実験値に合わせようとしたところ、このようだ論理の組み立て方は、任意性をもつてくことになることや、振動子間のエネルギー移動を議論するのに便利である。もちろん RRKM theory はこれで必ずして説明できるものではないが、問題点の整理上では、任意性をもつて RRKM theory が有利と思われる。

RRKM theory で使用される反応経路



活性自由度はすべての振動の自由度を含む。

I-40 低密度異方性プラズマ中におかれたアンテナによる静電波の放射 (I) イオン波

倉橋克典 鎌田哲夫  
名大空電研

異方性でかつ圧縮性プラズマ中におかれたアンテナからの静電波の放射の問題は、一般的に取扱うにはかなり複雑であり解明すべき問題が少なくない。ここでは Maxwell 分布を持った 2 次元プラズマを考え、その中に磁場に対して任意の角度をなしておかれた線状アンテナから放射されるイオン波の放射特性を、 $\lambda (= f_{\text{osc}}^2 R^2) \ll 1$  の場合について準静近似を用いて計算した結果について述べる。

まず Landau、及び Cyclotron 減衰が少なくなる周波数領域；伝搬方向、及び放射電界の特性を一般的に調べた後、電離圏プラズマに応用した結果について述べ、イオン音波、及び UHR 附近での放射特性について論じる。

I-41 低密度異方性プラズマ中におかれたアンテナによる静電波の放射 (II) 電子波

倉橋克典 鎌田哲夫  
名大空電研

イオン波と同様の計算を電子波について行なった結果について述べ、電離圏プラズマ内での電子音波、及び UHR 附近での放射特性について論じる。

I-42 赤道越え標準電波 (NWC 22.3 KHz) の  
日出没時フェイディングについて

柴田喬 白田繁

電気通信大学

我々は、1972年1月より、管平宇宙電波観測所において、NWC局の標準電波(22.3 KHz)を受信し、電界強度・位相変動の連続観測を行なっている。

よく知られている様に、長距離伝搬波受信の場合には、伝搬路の日出・日没時に電界強度のフェイディングと位相のステップが現われ、これは、伝搬路の夜間部における $\lambda/1$ 次モード波と $\lambda/2$ 次モード波の干渉によるものとして説明されている。

従って、フェイディングを解析する為には、電離層が日出(没)となる太陽天頂角 $X$ を決める必要があり、過去においては、~30km高度のオゾン層の陰影が、夜間の電離層高度~90kmに一致する時点として求めた $X \approx 98^\circ$ が、長い間慣習的に用いられて来た。

ところで、干渉の立場から $X$ を考えてみると、フェイディング極小時には、受信電界の夜間部 $\lambda/1$ 次モードの項と、夜間部 $\lambda/2$ 次モードの項の位相差は、奇数 $\pi$ であり、極大時には、偶数 $\pi$ であるから、このことを基にして、位相差を、フェイディング極大・極小時の電離層日出線の、電波伝搬路上での位置に対して描いてみれば、日出線が送信点に一致した時、位相差は近似的にゼロになるはずである。

我々は、この考えに従って、NWC-管平伝搬における電離層日出太陽天頂角 $X$ を決定することから出発した。

日出の場合の、フェイディングがパターン・個数ともにはっきりしている5月~8月について、 $X$ を $91^\circ$ ~ $98^\circ$ までとて描いた結果、 $X = 94^\circ$ ~ $95^\circ$ でよく収束を得た。又、受信電界強度の日変化を見ると、夜の電界レベルの急減の後、日出フェイディングが起つており、この急減時刻の受信点での太陽天頂角をもとめたところ、この場合も、5月~8月において、 $X \approx 94.3^\circ$ によく収束している。

最近、Lynnが、NPG-Smithfieldの伝搬について、送信点日出時の受信電界強度変動の解析から、我々と同様の考え方で、 $X = 94^\circ \pm 1$ という値を出していることが分かった。

従って、Lynnの解析したNPG-Smithfield伝搬の場合と同様に、NWC-管平伝搬の場合も、電離層日出太陽天頂角はともに、 $X = 94^\circ$ ~ $95^\circ$ が妥当の様で、受信点初期に日出フェイディングに先行して現われる電界の急減は、受信点での電離層日出を示していると思われる。

今回は、電離層日出太陽天頂角についての考察と、それを基にした、フェイディングパターンについての解析結果を報告する。

\* Lynn, K.J.W. JATP 32 PP. 57~68 (1970)

I-43

## 母子里で観測した、高緯度木イスターの降下緯度について

柏木瑞夫

名古屋大学空電研究所

ホイスラーの分散値より、磁気圏電子密度を推定する場合、ホイスラーの通路を知る必要がある。ノーズホイスラーでは、ノーズ周波数と、通路の最少ジャイロ周波数の関係から、通路となる磁力線の位置を知ることが出来る。しかし、母子里（磁気緯度、34度）では、ホイスラーのノーズ周波数が、100KHzを起えるため、ノーズホイスラー（長）では、非常に困難である。そこで IAS Yシンドウドアリで、大を観測することは、非常に困難である。そこで IAS Yシンドウドアリで、大を観測することは、非常に困難である。非常に困難である。そこで IAS Yシンドウドアリで、大を観測することは、非常に困難である。

ノーズ効果は、通路の頂上附近で、一番大きいことを考慮すれば、電子密度分布の大きさに比例する。又、地球磁場を双極子磁場で、仮定して求めた場合と、実際の磁場で求めた場合では、降下緯度が異なる。

今回は、電子密度分布を、ジャイロ周波数モデルと、EXP. モデルで与え、地球磁場を双極子磁場で仮定した場合に、推定される木イスターの降下緯度と、実際の地球磁場の場合に推定される降下緯度について報告する。

I-44

## 低緯度木イスターの分散値について

田中義人、早川正七

名大空電研究所

(1) 母子里 ( $34^{\circ}$  geom. lat.) や佐久島 ( $24^{\circ}$ ) の低緯度木イスターの分散値を Dipole field 上沿った電子密度分布を仮定して求めた場合には、現実的分布を用いても約 20% 位の誤差が生じる。その原因の一つは、実の磁場と Dipole field との、低緯度ではかなり小さな子午線起因するものと思われる。今回、Alouette 2 による低緯度木イスターの分散値分布を用いて、各々の field line 上沿った分散値を求め、上述の修正を施した。

(2) 磁気嵐時には母子里における木イスターの分散値が減少することが知られており、矢印通り、直ちに磁力線に沿って電子密度の減少が見られる。母イスターの分散値を論ずる場合、path latitude が決定せば  $\Delta \theta = 0^{\circ}$  最大の問題点が生じる。磁気嵐時以外、高緯度では木イスターの電子密度が減少するが、低緯度では顕著に増大する。 $\Delta \theta = 45^{\circ}$  木イスターのゲクトがより近接度測定装置によって意味する。そこで、母子里で電離子密度木イスターにより低緯度測定装置と木イスターゲクトに捕まつて来たものと仮定すると、電子密度分布の変化が同じとともに、分散値の減少が説明できる。今回、Alouette 2 の結果を用いて、木イスター分散値の変化から磁気嵐時の方針と電子密度変化、推進の是非について、論じる。

# I-45 ダフト伝播及び波動の自己集束効果について 名大空電研 鶴見治一

1) ダフト伝播 磁場  $B_0$  (z 方向) に垂直 (y 方向) に密度がゆるやかに変化しているプラズマ中を、磁力線に平行に伝わる横波 (電磁波、whistler 波 及び Alfvén 波) の伝播を調べる。今、考えている波の波長に対して密度の非一様性のスケールが  $1/\delta$  の、又波の振幅は  $\epsilon |B_0|$  のオーダーとし、 $1 \gg \delta \gg \epsilon$  の場合を考える。座標系としては円柱座標 ( $r, \theta, z$ ) を導入する。波の変量を  $\Psi(r, \theta, z, t)$  で代表させ、 $\Psi$  を以下の如く展開する。

$$\left\{ \begin{array}{l} \Psi = \Psi^{(0)} + \epsilon (\Psi^{(1)} + \delta \cdot \Psi^{(2)} + \delta^2 \cdot \Psi^{(3)} + \dots), \\ \Psi^{(d)} = \sum_{l=-\infty}^{\infty} \Psi_l^{(\alpha)}(\xi, \eta) \exp\{il(kz - \omega t + m\theta)\}, \quad (\text{for } \alpha \geq 1) \end{array} \right. \quad (1), \quad \left\{ \begin{array}{l} \xi = \delta^2 z, \\ \eta = \delta r. \end{array} \right. \quad (2).$$

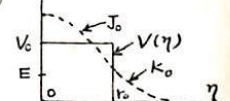
ただし、 $\Psi_l^{(\alpha)}(\xi, \eta)$  は  $\Psi$  が実である条件： $\Psi_l^{(\alpha)} = (\Psi_l^{(\alpha)})^*$  を満足する。又、波の存在しない時のイオニゼーション電子の密度は  $N_0 + \delta^2 n_0(\eta)$  であるとする。

基礎方程式系としては、電磁流体の式と Maxwell の式を結合させたものと/or。波は O(1) では単色波しかないと仮定し、(1), (2) 式を用いて基礎方程式系を運動展開すると、まず O(1),  $l=1$  で分散式： $k^2 c^2 / \omega^2 = 1 - (\omega_{pe}^2 + \omega_{pi}^2) / \{(\pm \omega + \omega_{ci})(\pm \omega - \omega_{ce})\}$ 。 (3) ここで  $\omega_{pj} = (4\pi e^2 N_0 / m_j)^{1/2}$ ,  $\omega_{ej} = e B_0 / m_j c$  (for  $j=i, e$ ) を得る。途中の計算は省略するが、運動展開を進めてゆくと結局、 $i \partial \Psi / \partial \xi + P(\partial^2 \Psi / \partial \eta^2 + (1/\eta) \partial \Psi / \partial \eta) + V(\eta) \Psi = 0$ 。 (4)  $\Psi(\xi, \eta)$  は  $\Psi_l^{(1)}$  に比例する変量 (例えば電場) である。又  $P, V(\eta)$  は次々、

$$\left\{ \begin{array}{l} P = \pm (1/2k) \nu, \quad \nu = (1/2) \cdot [1 + \{k^2 c^2 / \omega^2 + C_1 (a_e/c)^2 + C_2 (a_i/c)^2 + C_3 (a_e/c)^2 (a_i/c)^2\} / \mu], \\ \mu = 1 - (\omega_{pe}^2 + \omega_{pi}^2 + k^2 a_e^2 + k^2 a_i^2) / \omega^2 + (\omega_{pe}^2 k^2 a_e^2 + \omega_{pi}^2 k^2 a_e^2 + k^2 a_e^2 k^2 a_i^2) / \omega^4, \\ C_1 = -\{1 - \omega_{pi}^2 / (\pm \omega)(\pm \omega + \omega_{ci})\}^2 + \{k^2 c^2 / \omega^2 - 1 + \omega_{pi}^2 / (\pm \omega)(\pm \omega + \omega_{ci})\}^2 \cdot (\omega^2 - \omega_{pi}^2) / \omega_{pe}^2, \\ C_2 = -\{1 - \omega_{pi}^2 / (\pm \omega)(\pm \omega - \omega_{ce})\}^2 + \{k^2 c^2 / \omega^2 - 1 + \omega_{pe}^2 / (\pm \omega)(\pm \omega - \omega_{ce})\}^2 \cdot (\omega^2 - \omega_{pe}^2) / \omega_{pi}^2, \\ C_3 = (k^2 c^2 / \omega^2) \{1 - \omega_{pe}^2 / (\pm \omega - \omega_{ce})^2 - \omega_{pi}^2 / (\pm \omega + \omega_{ci})^2\}, \\ V(\eta) = \pm (1/2k) \cdot (\omega^2 / c^2) \cdot (k^2 c^2 / \omega^2 - 1) \cdot (n_0(\eta) / N_0). \end{array} \right. \quad (5)$$

ここで  $a_j = \sqrt{\eta_j k T_j / m_j}$  (for  $j=i, e$ )。

(4) 式は Schrödinger 型であり、ボテンシャル  $V(\eta)$  中で波の振幅を規定する。従って、 $\tau, \xi = \phi(\eta) \exp(iE\xi)$  とおくと (4) 式は  $P(\partial^2 \Psi / \partial \eta^2 + (1/\eta) \partial \Psi / \partial \eta) + (V - E)\Psi = 0$ 。 (6) となり、個有値問題になる。 $V(\eta)$  として例えば右図のように箱型ボテンシャルを仮定すれば中はベッセル関数を徑  $r_0$  でためらかに解となる。



(5) 式で  $\nu$  は whistler 波では  $\nu \approx 0$  for  $\omega \leq \omega_{ce}/2$ 。又 Alfvén 波では  $\nu \approx \{1 \mp (V_s/V_A)^2 (\omega/\omega_{ci})\} / [2(1 - (V_s/V_A)^2)]$ 。従って  $V_s = \sqrt{(m_i + m_e) k T_i + (m_i + m_e) k T_e} / (m_i + m_e)$ ,  $V_A = B_0 / \sqrt{4\pi N_0 (m_i + m_e)}$ 。従って  $\omega \leq \omega_{ce}/2$  の whistler 波に対しては  $n_0(\eta)$  が正、即ち密度が濃い領域にダフトが出来得る。これは Smith (J.G.R. 65, 815 (1960)) の 診論と一致する。又 Alfvén 波に対しては  $\omega \approx \omega_{ce}/2$  であるから  $\nu$  は常に正、従って  $r, l$  も一様に  $n_0(\eta)$  が正の領域にダフトを生じ得る。

2) 波動の自己集束効果 (Self-focusing) 密度の非一様性よりも波動の非線形効果が効く場合を考える。重の展開として (1) 式のかわりに、

$$\left\{ \begin{array}{l} \Psi = \sum_{\alpha=0}^{\infty} \epsilon^\alpha \Psi^{(\alpha)} \\ \Psi^{(\alpha)} = \sum_{l=-\infty}^{\infty} \Psi_l^{(\alpha)}(\xi, \eta) \exp\{il(kz - \omega t + m\theta)\}, \quad (\text{for } \alpha \geq 1) \end{array} \right. \quad (6) \quad \left\{ \begin{array}{l} \xi = \epsilon^2 z \\ \eta = \epsilon r \end{array} \right. \quad (7)$$

前と同様の展開により、 $O(\epsilon^3)$ ,  $l=1$  の  $\tau$ ,  $i \partial \Psi / \partial \xi + P(\partial^2 \Psi / \partial \eta^2 + (1/\eta) \partial \Psi / \partial \eta) + \frac{g}{2} |\Psi|^2 \Psi = 0$ 。 (8)

ここで  $\Psi(\xi, \eta)$  は  $\Psi^{(1)}$  に比例する変量 (この場合、電場の  $\tau$  成分) である。P は (5) 式と同じ、又  $g$  は、 $g = \pm (\omega^2 / k^2 c^2) [(V_A^2 / V_s^2) \cdot (k^2 c^2 / \omega^2 - 1)^2 + \{k^2 c^2 / \omega^2 - 1 + \omega_{pe}^2 / (\pm \omega - \omega_{ce})^2 + \omega_{pi}^2 / (\pm \omega + \omega_{ci})^2\}^2] / B_0^2$ 。 (9)

必要なパワーレベル  $P_c = 3.7 (k^2 c^2 / \omega) (P/g)$  従って  $P \approx 0$  となる  $\omega \sim \omega_{ce}/2$  の時は低パワーでも効き得る。(以上 H.Washimi, J.Phys.Soc.Japan No.5 (1973))。Triggered emission は  $\omega \sim \omega_{ce}/2$  で観測されており、これはこの効果が効き、波の強度が強ま、たゞ  $\tau$  transverse wave insta  $\tau$  波が励起されると、R が  $P < 0$  (i)  $\omega \approx \omega_{ce}/2$  (ii)  $\omega < \omega_{ce}/2$  (iii)  $\omega > \omega_{ce}/2$  の時伝播しなくなることを考へれば理解出来る。

鎌田哲夫  
名古屋大学空電研究所

空電研究所佐久島観測所において、オーストラリヤNWC VLF局(22.3kHz)からの電波の位相並びに強度の変化を1970年12月から連続測定して来た結果について報告する。

位相の測定にあたつては、2次周波数標準器のドリフトを  $40\text{ms}/\text{Day}$  ( $5 \times 10^{-6}$  の周波数変動) 以内に押えるよう調整して観測し、その結果を整理する際は次の規準化を行つた。即ち位相変動が程んどない正午と正午とを結ぶ線を規準とし、それからの時間差を測つて時々刻々の位相とした。更に規準化を行つた正午における電離層の反射高については、この観測結果からは直接出せないので、同時に実施しているロランC局(100kHz)のパルス電波の受信波形から求められた68kmを適用することとした。

主な結果を要約して下記に示した。

- (1) 昼から夜の状態への移行時間は年間を通じて平均3時間位であり、之より反射高度の変化に換算すると10~12kmの変化がある。(日没時変化)
- (2) 夜から昼の状態への移行時間は日没時より遅くなり短かく年平均1時間以内で、この間に反射高度は16~20km低下する。(日出時変化)
- (3) 従つて22.3kHzに対する電離層での反射高度は、昼間68kmと見做しうれば、夜間は平均88kmと秀えることは出来る。
- (4) 更に22.3kHzに対する電離層での反射高度は、夜間は太陽活動度に反比例して上昇し、昼間は活動度に比例して下降するこことが示された。
- (5) SPA時の位相変動量と強度増大量との相関関係をしらべてみると、位相変動量の方が強度増大量より常に大きいといいう傾向がえられた。このことは、位相変動量をさめる要素が主として実効的な電離層の高さ変動量であるのに対して、強度増大量の方は、電離層パラメーター( $\omega_p$ )の変動が支配的であることを示唆する結果を示していると思われる。

## 小さな分散のホイスラについて

広田寅、奥沢隆志  
(電気通信大学)

従来、ESD (Extremely Small Dispersion) ホイスラと定めて分散  $D \approx 15 \text{ sec}^{1/2}$  以下のホイスラが特別扱いされ、その特性の説明として導波管モード伝搬説とホイスラモード伝搬説の混合したハイブリッドモード伝搬説 (Tsuruda et al, 1964; Araki et al, 1969) が有りであった。これに対して、最近イードの Singh et al (1972) はスクの観測実 ( $\sim 24^\circ N$ ,  $\sim 19^\circ N$  磁気緯度) で同時に言された ESD ホイスラが互いに分散を異にする ( $\sim 15 \text{ sec}^{1/2}$  と  $\sim 10 \text{ sec}^{1/2}$ ) にも拘らず、先駆放電発生時刻も共存するという観測例を挙げた。Ray tracing によって、これは同一の波源からの電場が離散層に別々の入口から入り、しかもスクの異なる wave normal angle をとつて伝搬する結果であると推論した。先のハイブリッドモード伝搬説に一矢を投じたのである。

さてみると、ハイブリッドモード伝搬説の難点とする、(1) Tweek と同レベルの cut-off 下限周波数の存在、(2)  $f - t$  ダイヤグラム上 Eckersley's law からのずれ、(3) Duplicate ホイスラがある、(4) 空震源の位置が磁気共轭震より赤道側にある、などとの論拠 ならびに ESD ホイスラの定義そのものを再度洗い直してみる必要がある。

筆者は 1969 年 12 月～1972 年 8 月までの約 3 年間の昔平でのホイスラ定常観測データから  $D \approx 15 \text{ sec}^{1/2}$  のもの 134 例を全部抽出し、毎日 2 時間毎に用いてみた。その結果、(1) 下限 cut-off 周波数はいずれも先駆放電の tweek および同一時間帯の純粹 tweek のそれよりも遅かった。(2) 現用のソナグラムではホイスラの時間幅が  $\sim 10 \text{ msec}$  あり、Tsuruda et al の考案する Eckersley's law からのずれ  $\sim 10 \text{ msec}$  を検出することは無理である。(3) Duplicate ホイスラと目されるものは 134 のみ存在した。しかし、その中の分散の差異を見分けるには出来なかった。(4) Tweek 型の先駆放電及び半  $\sim 18$  例につき、導波管モード理論式より空震源の位置を算出した。その結果 94% が磁気緯度  $26^\circ$  以北に近く、ソナグラム上のホイスラの厚みを考慮して、90% の検定の信頼区间をとるとその位置範囲はかなり大きくなる。以上、残念ながら先のハイブリッドモード伝搬説の論拠を種種的に与ます結果は得られなかつた。

それではと、これまでの ESD ホイスラの定義に立ちかえるべく、先程のホイスラの 94% が明け方の 0 時～2 時(地方時)間に入るなどを基準めた後、1971 年 11 月～1972 年 2 月のこの時間帯の分散一覧表を以下に示す。また、1971 年 11 月 23 日～1972 年 2 月の各月間の分散～地方時間分布を詳細に調べた。分散のモデル計算も加味して考えると、 $D \approx 10 \text{ sec}^{1/2}$  のホイスラは少なくとも少々後には遅さないことが判明した。従って、ESD ホイスラの名を冠すとすれば "D  $\approx 10 \text{ sec}^{1/2}$  以下のもの" するのが妥当のように思われる。すると、その 134 例の内の 85 例のみが該当するに過ぎないが、これらも含めてハイブリッドモード伝搬説に積極的を持ち子えらねばならないことは事実であり、その一因として aural monitor に頼るといふて  $D \approx 10 \text{ sec}^{1/2}$  のホイスラの「遅き落」があったやも知れず、ホイスラ解析の技術的には多大同時観測の必要性、及び高連続分解能の周波数を解析装置を切らすことを要りである。

A STUDY OF DUCTED-WHISTLER PROPAGATIONM. Iwase\*, K. Yamanaka<sup>\*\*</sup> and T. Okuzawa\*

( \* Univ. Electro-Commun., \*\* Inst. Plasma Phys., Nagoya Univ. )

A study is made of ducted-whistler propagation in the magnetosphere by using the phase-integral technique. The guidance in the present model takes place along a dipole field-aligned irregularity with a slowly varying, quartic distribution of ionization density. Angerami and Thomas's model of ionization density is employed as a background component of plasma distribution. Computer calculation yields the track widths, the mode angles and the travel times of trapped modes for a wide range of irregularity parameters. Calculations are carried out for a field line for which the shell parameter  $L = 2$ .

From the results of calculation, the following three points out of many are worth noting. First, the total guidance between a pair of terminal conjugate points on the field line is possible for wider but some restricted combination of the irregularity parameters. Second, higher-order modes which are allowed for the total guidance exist to the mode number as large as 10 in some cases. Third, the features of  $\delta\tau$ , defined as the difference between the maximum of the travel times of the wave for the highest-order mode and the minimum of those for the fundamental mode, may suggest that the increase in transverse size of the irregularity is not responsible for the increase in whistler diffuseness, as long as we are constrained to the locked modes in a single, lumped-type duct with reasonable ratio of irregularity to background densities.

For comparison purposes, the case of Gaussian duct will be also discussed.

# I-49 VLF 標準電波(NWC)のホイスラモード検出実験

黒田健一郎<sup>\*</sup>, 高橋雅行<sup>\*\*</sup>, 奥沢隆志<sup>\*</sup>, 芳野赳夫<sup>\*</sup>  
(\*電気通信大学, \*\*小西六写真工業)

自然ホイスラ空電のモード源の諸特性の不明確さ及び季節による発生頻度のばらつき等に基づく情報の片寄りを補おうとして、諸元のはっきりしているVLF標準電波のホイスラモードを観測しようといふ試みがある。1958年 Helliwell & Gehrels が NSS(15.5 kHz)を利用して初めてこの検出に成功し以来, Crombie, McNeil 等による NPG(18.6 kHz) の位相変化まで含めた観測, 日本では Kimura のロケット実験及び Araki & Naito による NWC(22.3 kHz) を利用した数種の検出実験が知られている。

現在までのところ、筆者らの戦闘ではホイスラモードの検出法そのものの確立が急務であるかとおきがあり、手はじめとして NWC の停波時を利用した検出実験を今冬、普通で行なった。

実験は図 1 のブロックダイアグラムで示すように、NWC の導波管モードの受信強度が最大となる方向に向けたループアンテナ A と同じく最小方向に向けたループアンテナ B を夫々別々の 2 台の受信機につなぎ、夫々 20.3 kHz の局部発信信号と混合させて 2 kHz の出力を得る。これと 100 kHz からの余周信号 5 kHz を併せて混合器に入れ、單一同調増幅を通過した後、2 チャンネルのテープレコーダで録音し、更にこれをソナグラフで再生する。

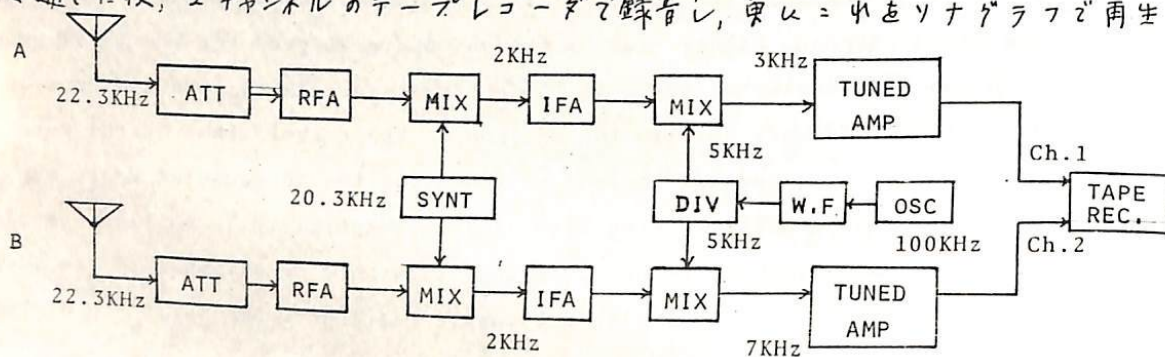
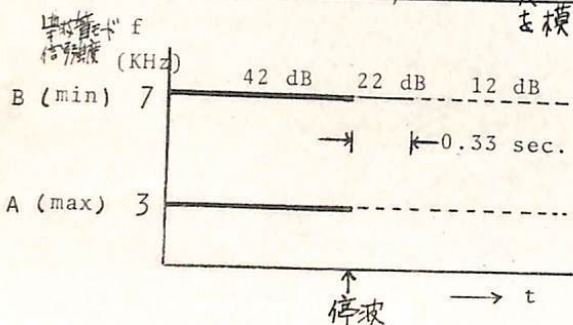


図 1

この結果、3 kHz レベルには導波管モード受信強度が最大となる方向からの信号、2 kHz レベルにはそれが最小方向からの信号が記録されることはなる。2 台の受信機を利用して停波の瞬間に明確にとらえられるようにならねが新しい。73 年 1 月 23 日 16 時 55 分の受信記録



も模式的に示したのが図 2 である。3 kHz レベルでも導波管モード信号がはっきりと停波を示す一方、2 kHz では再生レベル 42 dB でも記録された信号が停波時を境として約 0.33 秒間それより約 20 dB 低い状態で続き、その後 10 dB ほど更に低い雑音レベルにつながっている。この 0.33 秒間の信号はその両側のレベルとの大きな格差からみてホイスラモード波と考えられる。ループアンテナの指向性を併せて考えれば、導波管モード波とのレベル差は約 -40 dB である。Eckley

law によりその分散 D を求めると、 $D \approx 50 \text{ sec}^2$  であった。

## 拡散型ホイスラと磁気嵐との関係

山中馨，奥沢隆志  
(名大アラブ) (電気通信大学)

これまで、典型的な磁気嵐(以下 storm と云う)に際して、ソナグラム上のホイスラトレースが下めになり、これが数日間継続するということが口宣伝されてきた。ホイスラの出現頻度そのものが気付かれており、この拡散型ホイスラ(以下 DF.W と略す)の出現継続時間も的確に把握出来ないところがあつて、中・低緯度 storm との詳細な対応関係はこれまで手当り切れない。

筆者らは 1970 年 2 月～ 1972 年 11 月の計 3 年間に亘る「青平」のホイスラ定期観測記録をもとに、ソナグラムを一枚一枚調べて、1 日以上 DF.W が継続して出現する events を全て抽出し、これらと本固の storm データ及び NOAA 飛行機( Honolulu および Guam )との対応を試みた。結果として、これまで経験的に云われてきた DF.W と storm との関連度はあまり高くないことが判明した。要旨をまとめると、

### (1) DF.W events を基準とした場合

DF.W events 例 28 例の内、本固での storm 開始時刻の前後 3 日以内に出現始めたものの 12 例(内訳： 3 例は storm 開始前)，残りの 16 例は storm と無関係であった。併し、後者の 16 例のうち 2 例 Honolulu と Guam での storm に関連するものが 2 例あり、これを考慮に入ると

storm に関連するもの：関連しないもの = 14 : 14

となる。関連しないもののなかには国際的に dead calm period とされる期間中に起っているものもあるのは特筆すべきである。

### (2) 本固での storm events を基準とした場合

(i) も基期間内の本固の storm は総計 24 例(内訳： 5 例が SC(又は SC\*)を半分)であった。この内の 18 例の storm(内訳： 12 例が SC(又は SC\*)を半分)だけが DF.W の出現に関連していた。(1)の個数とくい違うのは 1 日以上前序を経た場合の DF.W events 基期間が 1 例の storm に対する場合があるからである。

(ii) 大規模な storm に対する DF.W が伴うわけでなく、storm range  $\Delta H \geq 200$  の例は 3 例のみ DF.W が出現した。

(iii) 小規模の storm にも DF.W events が対応するが、その下限は storm range  $\Delta H \leq 68$  であった。

(iv) Storm range  $\Delta H$  と DF.W の出現継続時間の間に何等の正相關関係もみられない。

(v) Storm range  $\Delta H$  と DF.W の storm 開始時刻からの時間差との間の関係はランダムであった。

森 洋介  
宮城教育大

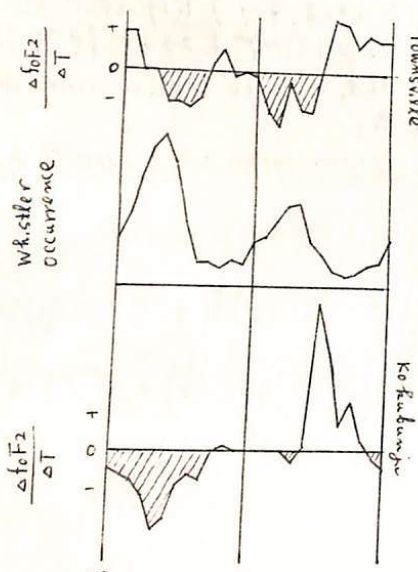
前回、学会でホイスターの出現特性を明らかにし、その出現特性が電離層側の電離圏、特に下緯域の状態とのように関連するかについて検討を行った。その結果、両者の間に、互に特徴的な相間を保つ見出しができなかつた。

今回はホイスター空電の入口近くと考慮して Australia の Townsville (Geogr.  $19.3^{\circ}\text{S}$ ,  $146.7^{\circ}\text{E}$ , Geomag.  $28.5^{\circ}\text{S}$ ) の電離圏データと同様の解析を行つた。ホイスター出現の地方時依存性及び異常増加と電離圏、状態変化との対応を中心にして報告する。

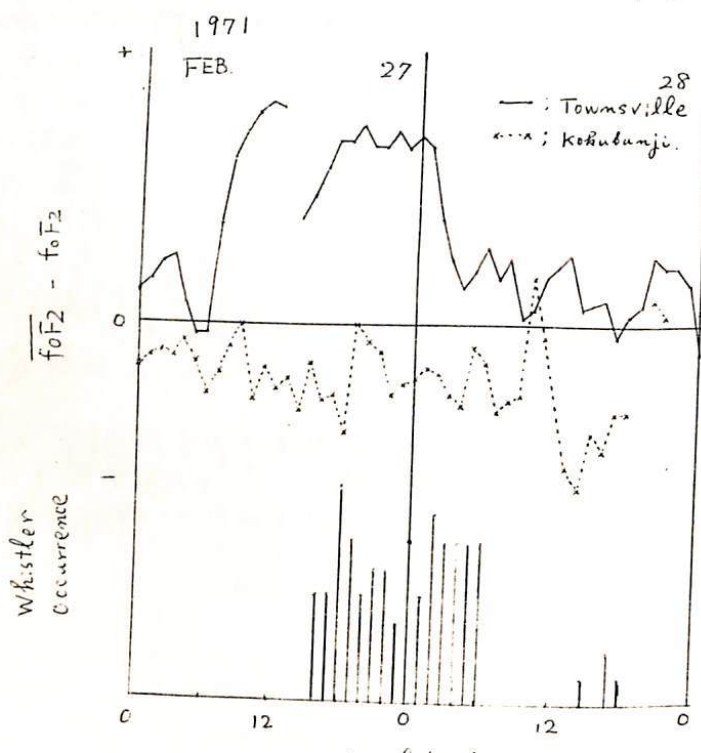
これらの得られた結果を簡単によこす。

ホイスター出現の地方時依存性 — 第一回はホイスターが良く夏信土れる冬の期間、Townsville と Kokubunji の  $f_{\text{OF}2}$  の時間変化とホイスターの出現特性を示す。ホイスター出現の朝方及び夕方の強度は Townsville における  $f_{\text{OF}2}$  の時間変化と共に減少する傾向に対応している。

ホイスター出現の異常増加 — このは又別途二つのタイプがある。一つは、地方時依存性は統計的結果とは少し離れて、夏信日数だけ異常に増加するタイプである。このタイプは電離圏、特徴的な変化との対応を見られる。もう一つのタイプは、統計的な結果とは異り夜半から朝方にかけて、逆境的に夏信日数が増加する。其の一例を第二回に示すように、このタイプは電離圏擾乱と良い対応を示す。即ち Townsville の  $f_{\text{OF}2}$  の異常に減少し、Kokubunji の  $f_{\text{OF}2}$  が増加の傾向を示す場合に対応している。



第一回



第二回

# I-52 ホットプラズマ中のホイッスラーモード波の 斜伝搬 (III)

橋本弘藏, 木村繁根

(京大工)

温度異方性のある Bi-Maxwell 分布をした electron plasma 中を、磁場に対して斜めに伝搬してゆくホイッスラーモード波の伝搬、インスタビリティに関して、今までに報告してきた。そして、波の  $k$ ベクトルの方向と磁場との角度  $\theta$  が、 $45 \sim 55^\circ$  のとき、 $\theta = 0^\circ$  の場合に比べてかなり大きな成長率があることを示した。

今回は、このような成長率の大きさは領域は、ホイッスラーモードの延長の波長の短かい領域であることに注目して、静電近似を行なった計算との比較を行なった。その結果、両者の解は、波数  $k$  の大きな領域ではかなり良い一致を示し、このインスタビリティは静電的なものであることが判明した。このインスタビリティは、Cerenkov 放射と同様に、磁場に対して斜め方向に大きな放電がおこる。さらに、この波は容易にホイッスラーモードで伝わり得ると考えられる。

ここで用いた静電近似は、Stix の p. 225 に示されている式

$$k_x^2 + k_z^2 + \sum_{n=-\infty}^{\infty} \frac{\pi_e^2 m e^{2n}}{n \omega} I_n(\lambda) A_n = 0 \quad (1)$$

である。比較の例として、 $P \equiv \pi_e / \Omega_e = 10$ ,  $V_{Te} / c = 0.002$  (1 eV の電子温度に相当する) の場合の  $\omega - k$  ダイアグラムを図 1 に示す。実線は、近似を行なわない場合の分散関係 (このときの、成長率  $\gamma$  と周波数  $\omega$  の関係を図 2 に示す), 破線は Eq. (1) の静電近似の分散関係、一点鎖線は Appleton-Hartree の式から求めたコールドプラズマの分散関係である。他のパラメータの場合、定性的には  $P$  や電子密度が小さければ、静電的なインスタビリティが起こる。

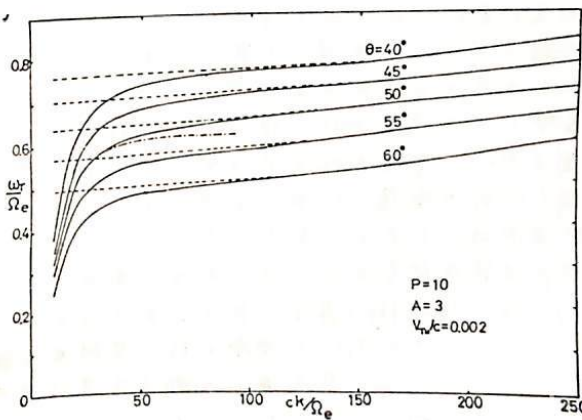


図 1.  $\omega - k$  ダイアグラム

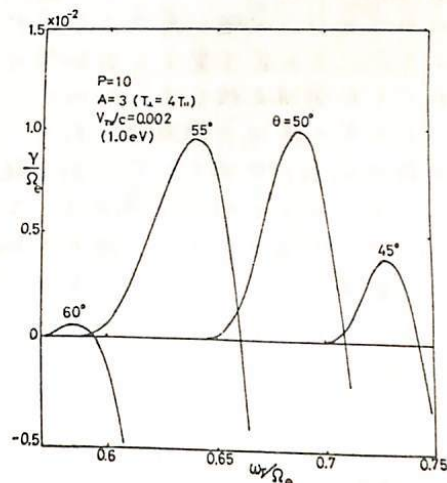


図 2 成長率  $\gamma$  の周波数特性

# I-53 近距離伝播 VLF 標準電波の地上波と空間波の分離

菊池 崇 荒木 徹

京都大学理学部

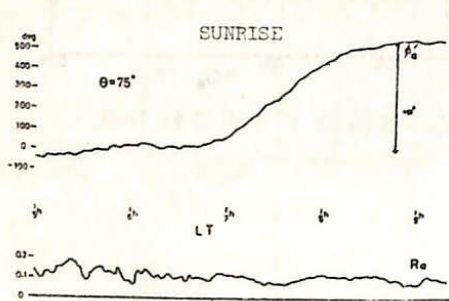
近距離伝播 VLF 標準電波 (NDT, 17.4 KHz) を用いて、下部電離層を探測する試みにおいて、電離層の情報を含む空間波を抽出する事を困難にしていたいくつかの問題点に対する一応の解答を与えたので報告する。まず大きな問題となつたのは、近距離伝播であるため地上波強度が空間波強度に比べて圧倒的に大きい事である。地上波を消すために従来とされた方法は、ループアンテナを伝播面に対して垂直に置く事であるが、こうして得たデータには必ずかぎはあるが地上波が混入している。その原因はループアンテナの指向性の不完全さと、観測地点の地形や建物等による場の乱れが考えられる。後者については簡単な測定を行なう事によって、場が乱されていない場所を選ぶ事ができるが、前者については技術的に限界がある。そこで我々はこのかぎから地上波を誤差の範囲と見なせる程度にするため、地上波を積極的に導入する。そのためには、ループアンテナを伝播面に対して  $90^\circ$  からずらせたある角度を持たせて置いてやる。29 時、以下の合成波の強度、位相の式を見てわかるように、二つの量はアンテナ角  $\theta$  に linear な依存をしないため、 $\theta$  を変える事によって情報量を増す事が可能である。

$$H_0^2 = [H_g^2 + H_{sm}^2 + 2HgH_{sm}\cos(\phi_e - \phi_g)]\cos^2\theta + \sin 2\theta \cdot Hse[Hg\cos(\phi_e - \phi_g) + H_{sm}\cos(\phi_e - \phi_s)] + Hse^2\sin^2\theta$$

$$\alpha = \tan^{-1} \frac{(Hg\sin\phi_g + H_{sm}\sin\phi_s)\cos\theta + Hse\sin\phi_e\sin\theta}{(Hg\cos\phi_g + H_{sm}\cos\phi_s)\cos\theta + Hse\cos\phi_e\sin\theta}$$

磁界強度  $H$ 、相対位相  $\phi$  の観測結果は、地上波、TMモード空間波、TEモード空間波の強度はそれ自身、  
 $\begin{cases} H_g, H_{sm}, H_e : \text{地上波}, \text{TMモード空間波}, \text{TEモード空間波の強度} \\ \phi_g, \phi_m, \phi_e : " , " , " \end{cases}$  位相  
 合成波位相の観測については、観測系の基準発振器のドリフトが、そのままで観測データ上に現われるという問題があり、このデータからは夜周期の変動をとり出す事はできない。  
 ところが、上の式を見ると未知量は  $\phi$  の差で表わされ、観測量  $\alpha$  も  $\alpha(\theta=\theta_1) - \alpha(\theta=\theta_2)$  の形でしか意味を持たないために、基準発振器のドリフトを避ける事ができる。

上の式の左辺が観測量であり、これを与えて右辺の未知量を解くわけであるが、物理量は相対的にしか決まらず、ある既知量を基準にして強度比、位相は差の形で決まる。ループアンテナを用いる場合は、二の既知量は  $\theta=0^\circ$  で与えられた TM モード成分 (地上波 + TM モード空間波) で、他の 1 組の情報量 ( $\theta=0^\circ$  の強度、位相) を用いて、TM モード成分を基準として TE モード成分 (TE モード空間波) を求める事ができる。この方法で日出時の変動を解析した例を次に示すが、地上波強度が空間波に比べ大きい事が S、TM モード成分を地上波だとみなして  $\phi'_e = \phi_e - \phi_g$ 、 $R_e = Hse/Hg$  と考えて良いであろう。



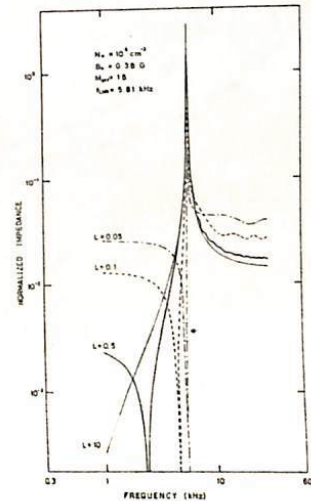
ループアンテナだけを用いる場合には、TM モード成分を地上波と TM モード空間波に分離する事は不可能である。更に情報量を増すためにはホイップアンテナを用いる。 $\theta=0^\circ$  とループアンテナは、 $E_g + E_{sm}$  ( $= H_g + H_{sm}$ ) を測るのに対し、ホイップアンテナは  $E_g + E_{smv}$  ( $E_{smv}$  は  $E_{sm}$  の垂直成分) を測る。近似的にホイップアンテナが地上波だけを測るとすると、TM、TE モード空間波の強度、位相が、地上波の強度、位相を基準として決まり、電離層の変動を含む空間波を取り出すという我々の要求を満足する。

I-54 電離層 パラズマ中の VLF 帯 プローブインペーチンス (II)

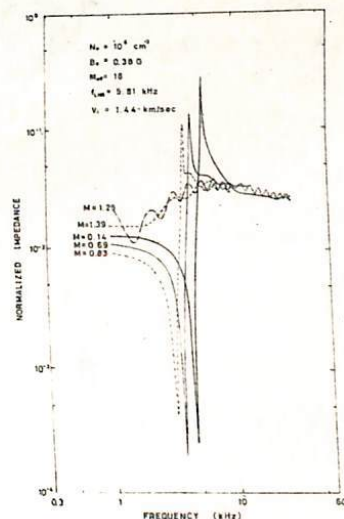
麻生武彦  
京都大学工学部電磁磨研究施設

電離層探測に用いられるインペーダンスプローブの中でイオンを測定対象とする VLF 帯のインペーダンスプローブはイオン-電子共鳴である Lower Hybrid Resonance を検出することを主たる目的として居り、こ中につれて研究を進めていたが、先ず Cold plasma 近似の下でこ中を妨げる 2 つの要因、即ち浮動電位によるプローブの周囲に形成されるイオン一次領域の呈する resistive component の影響と粒子との衝突について既に検討結果を報告した。<sup>(1)</sup> そのによれば前者は  $\theta$  ローブに過当な正バイアスを印加することにより避けられ、後者は電離層の高度約 200 km 以上では殆んど問題とすら思はれないと述べた。ここでは次の段階として更に検討しなければならぬより serious な 2 つの問題点について解析を行ったのでその中について略述する。その 1 つは  $\theta$  ラズマ粒子の有限温度の効果である。即ち LHR は磁化ラズマ中のイオンの運動に関するもので熱運動のラーマー半径は電子のそれに比して 2 行大しくそれ故測定用 ( $\theta$  ローブ) のディメンジョンがそれに比べて小さいと共鳴は見出せなりと云う推論である。<sup>(2)</sup> しかしこれは傾向的余地があり、和田江村等にて波の影響も含めて電離層ラズマのパラメータに対する定量的な解析が実験的に行われたので波の影響も含めて電離層ラズマのパラメータに対する定量的な解析が実験的に行われた。尚ほの点はロケット等による観測で  $\theta$  ローブ本体の運動による速度がイオンの速度と同程度になると同時に起因する damping じこれは共鳴の検出を更に困難なものにすると考へられる。以上 2 つの問題を明らかにするため、特に問題の本質を抽出する意味で 2 種の平行細長い平面プローブを参考境界が  $\theta$  ローブ面に平行で面に直角に運動してみると云う最も簡単な geometry でシースのない一様ラズマにつけて LHR 周波数領域のプローブインペーブンスと流速近似により解析する。図 1, 2 に結果の一例を示す。図 1 はアローブが静止してある時の平板の向

隔壁 ( $2L_m$ ) と  $\varphi$  パラメータとし  
た時  $\omega_1$  インピーダンスの変  
化率、 LHR の  $\varphi - \theta$  と  $L$   
が小さくなるにつれて transit  
time effect<sup>(2)</sup> により抑えられ  
継波のモードの影響が大き  
く LHR 次上で 1 静電的イオ  
ンサイクロトロンモードに  
起因するバターンを呈して  
いる。図 2 は  $L = 0.1m$  で  
ローラー速度 (M: マツハ数)  
をパラメータとした時の結  
果である。詳細は学会で  
報告する。



四上



12

参考文献

- (1) 麻生武彦他 (1972) 宇宙観測シンポジウム 昭和47年度  
 (2) Koon et. al. (1970), J. Geophys. Res., 75(12), 2490 - 2502.  
 (3) Tunaley, J. K. E et. al. (1969), Ann. Geophys., 25(1), 55-65.

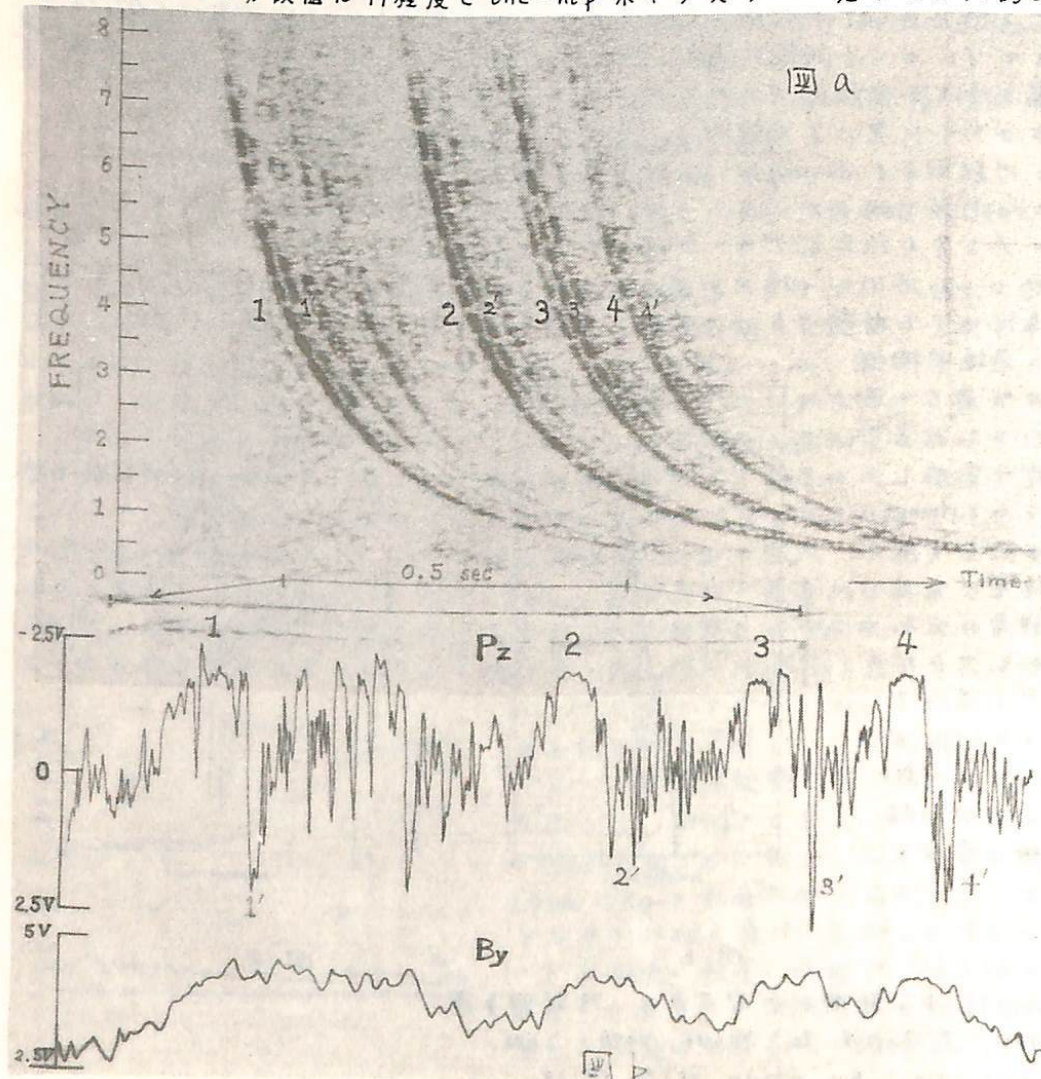
K-9M-41号機による電離層のVLF  
反射率測定 **I. 速報**

大林辰蔵 芳野赳夫 鶴田浩一郎 江戸全穂  
東大(序) 優通天 東大(序) 東大(序)

K-9M-41号機による不イッスラー空電(4kHz)のPoynting Vector測定の結果について簡単に報告する。不イッスラー空電の観測は18<sup>h</sup>06<sup>m</sup>40<sup>s</sup>より約2分間行ったが、その間に数百個のone-hop不イッスラーとその受信側電離層による反射波を受信することが出来た。同時に搭載したWide Band受信機から作ったソナグラムの例を図aに、またPoynting vectorの各成分及び磁場アンテナの出力(いずれもlog出力)を図bに示す。図bの時間軸は図aの倍である。番号を付した不イッスラーのトレースとそのエコーに同じく番号を付して置いたが対応している。 $P_z$ が十側(下向き)から一側(上向き)に振れていくことがわかる。現在解析途中で詳しい結果は出ていないが、①地表観測と比較した結果、ロケットで観測された大部分の不イッスラーは電離層で全反射を免けている。②この場合の電離層での反射率はかなり良い(少なくとも0.5程度)。③ロケットで観測された大部分の不イッスラーの分散値は19程度でone-hop不イッスラーと見なせるか約5倍のものがあり。

法理衛生問題になりそうである。④ロケットで観測される不イッスラーも2~300Hzでぶつぶつに切れていることが多く、しかも一群の不イッスラーは同じ周波数で切れていることが多い。⑤エコーの時間差から電子密度プロファイルが求められそうだ。といふことである。

図a：ロケットで観測した不イッスラーのソナグラム例。b：同上不イッスラーの $P_z$  &  $B_y$ 記録の一例。



半田、駿

京大・理

電離圏で、プラネタリー波、あるいはそれと同程度の周期の運動が存在するかどうかは、興味ある問題である。これらの周期の変動の例として、 $F_2$ の変動(土村)や、地磁気の等電流系中心緯度変化(白木・柳原)が報告されている。電離圏(特にE領域)に、このような周期の運動が存在すれば地磁気変化として観測される可能性がある点から、主として地磁気緯度で中緯度の観測所の地磁気の長周期変化(～2日)に注目して、現在まで解析をあこなってきたい。

以前(46年春の学会)で、地磁気緯度 $10^{\circ}$ ～ $40^{\circ}$ の観測所での地磁気変化の197-スベクトラム解析の若干の結果を報告したが、その時点での問題点は、Solar rotationによる27日、及びそのハーモニクスとどう区別するのか、Solar Windの影響を考慮する必要がある、等々であった。

地磁気変動の原因には、大きく分けて電離圏内によるものと、磁気圏の電流に起因するものとがある。後者は Solar Wind による S.F.C.、Tail Current、あるいは、Ring Current によると考えられる。27日周期の変動は、主としてこれらによるであろう。

電離圏内部の現象について、地磁気変化から考える場合、電離圏以外の電流系による変動を分離することが重要、不可欠になってくるが、後者の電流系による磁場変動を完全に除くことは非常に困難であろう。ただ、後者はほとんど南北成分の磁場変動に近いところを考えて、地磁気変動を東西、南北両成分に分離し、両者を比較することにより、ある緯度、電離圏に起因する変動とえ得るのではないかと考えた。(ただし、電離圏内に、大きな27日変動を生じさせる原因がある場合には、この方法でも27日目(=そのハーモニクス)を除くことはできぬ。)

今回は、この方法で、前回同様太陽活動率の静態を 1964年9月へ 12月にかけて、解析をあこなった。

並川 富一 高島正樹  
慶應大 理

前回までに冷ガラス中に熱ガラスが混入してゐる場合、熱エレクトロンが混入してゐる場合のイオンサイクロトロン周波数近くより低周波数の波の一本巻磁场下での传播特性を調べた。冷ガラス中のモードである Alfvén 波、磁気音波。他に  $\lambda = 3\text{ m}$  のモードが(本底に熱ガラス中に音波)が存在する。特性は Alfvén 3倍速度と音速の比、イオンサイクロトロン周波数と波の周期数の比、熱成分の混入比等のパラメータによると変化するが、Alfvén 波においては熱ガラス混入率には非等方性传播が更に増すが、エクトロニ混合率では冷ガラス中の波と差はない。これは左又右のエクトロニと左又右の Alfvén 波とが相互作用を示している。Modified Alfvén 波については低周波で非等方性传播、高周波で等方性传播の特性が冷ガラス中の传播の場合、異りエクトロン、熱ガラス混入の両方の場合に見られた。之ヲ実は地磁気脈動  $P_{c1}, P_{c5}$  の左又右の波が磁力線沿いに進行する。冷ガラス中の波の传播距離にて説明する。等方性が少量の熱ガラスが混入する所より説明する。Suprathermal mode にて非等方性は高周波で起る。今回熱ガラス混入した場合の波の特性は左又右の Alfvén 波と左又右の Modified Alfvén 波とが混入する。左又右の Alfvén 波の非等方性传播と冷ガラス混入の場合の更に強めの効果が表された。

京大理 茂木徹, 石崎広

SC, SC\*, SI については 1960 年代の初めに主として IGY のデータを使って研究された多くの成果が発表された。その後、これらは研究は下火になり日新し、解析結果も発表されたりするが、IGY 以後 one solar cycle を経て間隔でデータの数も種類も飛躍的に増加した。今日、ニニラズもう一度新しい角度から調べてみる必要がありそうに思える。我々は今後この問題を継続して取り組むが、ニニではその一歩として 低緯度の SC\* について調べてみる。

SC\* については Nagata and Abe (1955; JGR), Oguti (1956; RISRJ), Jacobs and Otakeishi (1957; JGR) Singer (1957; Trans Amer Geophys Union), Abe (1957; JGR), Matsuhashi (1960, 1962; JGR), Sato (1961, 1962; RISRJ) Sano (1962/1963; JGR) 等によつて調べられたが、低緯度の SC\* についてはその Morphology が確立されてゐることは言ふべし。これは 低緯度では SC\* がそれだけ起らざることと、SC\* を調べるために便宜で Rapid Run Magnetogram の記録を公表している観測所の数が少く少ないとによるとと思われる。したがて 低緯度 SC\* についてはその機構を考えるより先にまずその性質を明らかにしなければならない。

ニニでは 主として IGY 以降現在までの Guam の Rapid Run Magnetogram を使って SC\* の日変化 条件変化 11 年変化等を調べた。また 解析の初期の段階であるが、その結果と今後の解析方法に対する御批判をおあせない。

大林辰蔵  
東大・宇宙航空研究所

第2号科学衛星REXSは昭和47年8月19日、日本標準時11時40分に東京大学鹿児島宇宙空間観測所（内之浦）からM-4S-4号機によって地球をまわる軌道に打ち上げられ、「でんぱ」、1972-64Aと命名された。

発射後、「でんぱ」は順調に周回を続けて科学観測を行なっていたが、第26周目に電子フラックス測定装置の高圧電源を投入した際、衛星の機能が異常となり、観測データを正常に取得することができなくなった。

しかしながら、打ち上げてから、ほぼ70時間にわたる科学観測については、内之浦およびラス・パルマス局（フランス）において、可能なすべての軌道にわたるテレメータ受信が行なわれ、電離層および磁気圏のプラズマ密度、電子温度、VLF電磁波の強度スペクトル、LF電波エミッションおよび地球磁場分布などに関する興味ある情報を取得することができた。これら宇宙観測の成果については今後の詳細な解析、吟味が必要とするが、現在までに得られた諸結果を報告する。

1. 電離層および磁気圏プラズマ
2. 電磁波・プラズマ波観測
3. 電磁波励起実験
4. 地球磁場測定
5. 衛星の軌道

大林辰蔵 大家 寛 江原全城 麻生武彦  
東大 京大工 東大 京大工

人工衛星 REXUS に搭載された IPS に於ける観測は、衛星が動作しました 1972 年 9 月 19 日～21 日の間、ほぼ完全に観測と遂行す了事が出来た。データ解析は先立ち、前回の本学会では、IPS の回路方式、Revolution 6 ～高周波ハイブリッド共鳴周波数の変化、インピーダンス測定に於ける photo-emission の影響、低周波帯インピーダンス値の電子密度依存性について発表した。今回は、全周回のデータ処理が軌道計算を含めて終了し、各測定値についてまとめをする。結果の概要を記すと、

- (1)  $F_{H1}$  (Upper Hybrid Resonance Frequency) 軌道解析より得られた地球磁場の値を用いて、電子密度が求められた ( $240 \text{ km} \sim 650 \text{ km}$ )。日照時に於ける雑音による 3 misdetection は、Automatic Resonance Detection System の Inhibit-Circuit の方式により明確に区別す了事が出来た。電子密度分布、碰気層密度依存性等については議論は、次の講演を参照のこと。
- (2)  $F_{H2}$  (Sheath Resonance Frequency) Sheath Resonance の admittance 値は大きい為、雑音に依る misdetection はほとんどなく検出されてない。亦、 $2f_H$  によるビートの検出をしてない。電子密度に依る変化は明確で、電子温度については現在解析中である。
- (3)  $L_{H1}$  (Admittance Value at 300 kHz) 日照時の雑音は大きく、日陰部では、雑音が少ない。これは、全ての観測値について言える。雑音の性質（周波数成分、レベル）等は、まだ明確でないが、Solar Cell の導通に基づく衛星内部からの雑音（電波）がアンテナへもれこみが差しこれた。Admittance 値の変化は、photo-emission による Sheath の変化として理解出来る。亦、高高度で  $f_{UHR}$  が 300 kHz に等しくなった時の共鳴により、電子密度を求める事が出来、 $F_{H1}$  より求めた値と良い一致を示した。
- (4)  $L_{H2}$  (Admittance Value at  $f_{UHR}$ ) 電子密度が高くなると、Upper Hybrid Resonance の Q 値が大きくなり、 $L_{H2}$  の値が小さくなる。レベルが低いので雑音のかぶりが大きく、Q 値の大きさ以外は何とか統計処理が必要である。
- (5)  $L_{H3}$  (Admittance Value at 13 MHz) 真空中アンテナ容量のモードであるが、電子密度が高くなり  $f_{UHR}$  が 13 MHz に近づくと、7°ラズベの影響を受けて共鳴を起こす。日陰部の高高度では、地上で較正した値を示している。
- (6)  $F_L$  (Lower Hybrid Resonance Frequency) 低高度 ( $< 1000 \text{ km}$ ) 及び高高度の日陰部では検出されていない。低高度では衝突周波数の影響、日陰部では、アンテナ potential が負に沈み Sheath impedance の増加による事等が考えられる。低高度では effective mass  $M_{eff} = 2$ 、中高高度 ( $\sim 40^\circ N$ ) では  $M_{eff} \approx 1$  で観測値と一致する。
- (7)  $L_{L1\sim 3}$  (Admittance Value at 1.25 kHz, 3.80 kHz, and 6.65 kHz) 電子密度が高くなると、シース抵抗が小さくなり admittance 値は大きくなる。日陰部では potential の沈みと共に抵抗が高くなるので admittance は急に低い値を示している。一般に雑音の影響が、日照・日陰共に大きい。

(DATA は講演時に示す。)

# I-61 REXS-IPSによる電離層電子密度測定

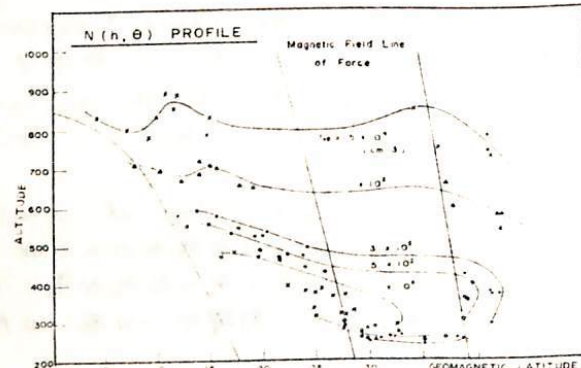
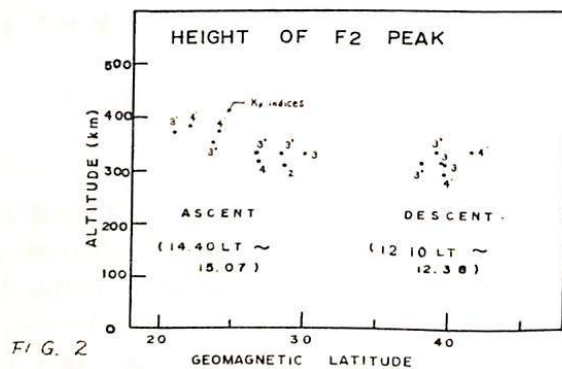
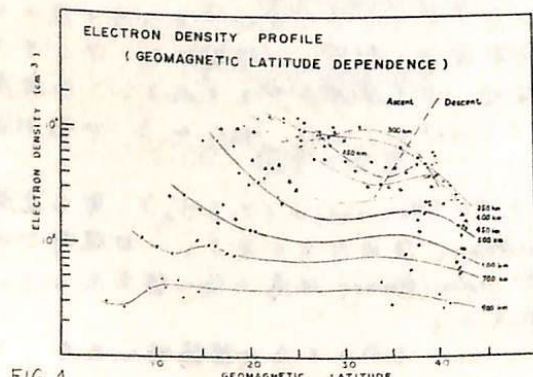
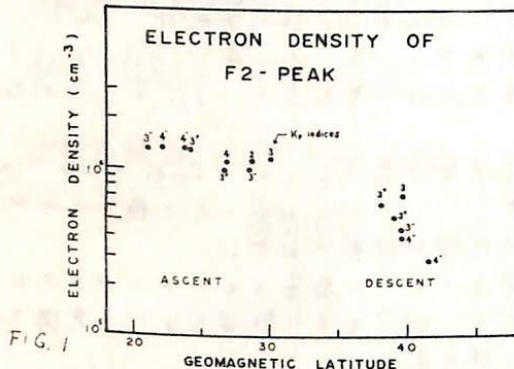
江尻全機・古田治・大林辰蔵  
(東大宇宙研)

科学衛星 REXS 塔載インピーダンス・プローブによる電子密度観測データは、1972.8.19~8.21にわたって、磁気緯度  $42^{\circ}N \sim 42^{\circ}S$ 、高度約  $250 \sim 6570$  km の範囲で得られ、現在その解析が進行中である。観測期間中の太陽活動度に著しい変動がなく ( $K_p = 2 \sim 4$  の範囲)、地球公転の効果が無視できるため、 $N(h)$  プロファイルは主として磁気緯度と Local time に支配される。

第4回はほぼ  $9:40 LT \sim 16:40 LT$  の時間内に得た電子密度値の磁気緯度依存性を示したものであり、 $10^{\circ} \sim 20^{\circ}$  附近より赤道異常と考えられる電子密度の高まりがあらわれている。また F2ビーグー高度とその電子密度極大値についても磁気緯度との顕著な相関がみられた。(なおデータ数の制約上、これらの  $N_e$  値は  $12 \sim 15 LT$  の範囲では著しく local time 依存性を含んでいながらとして扱っているが、詳細な議論に際しては検討を要する。) 電子密度プロファイル  $N(h)$  の傾き  $\frac{\partial N}{\partial h}$  と、電子密度の磁気緯度に対する傾度(第4回参照)とを、次式により磁力線方向の Scale Height  $H_s$  が計算される。

$$\frac{1}{H_s} = -\frac{1}{N} \frac{\partial N}{\partial h} + \frac{\cot \lambda}{2Nh} \frac{\partial N}{\partial \lambda} \quad (\text{ただし } \lambda \text{ は dip latitude})$$

適切な  $T(h)$  モデルを設定する事により、各高度におけるイオン組成化が求まり、これについての検討も行っている。さらに Alouette II による電子密度データとの比較検討、F2ビーグー高度、ビーグー電子密度と太陽天頂角との相関とそのメカニズム等についても現在解析をすすめている。



宮武 貞夫 松本 玄 木村 勉  
(京大工)

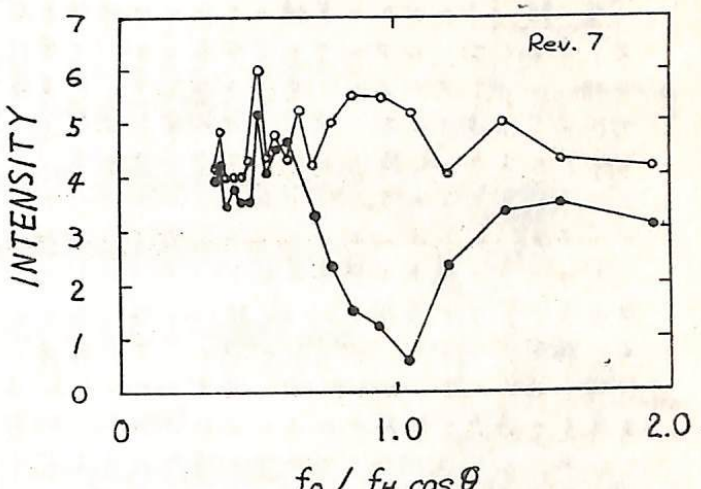
オ2号科学衛星REXSに搭載されたCIE(Cyclotron Instability Experiment)装置は26周の間に約2500回の実験データを地上にPCM伝送して来た。またreal timeでのAnalogデータの伝送も行なわれた。

REXSは高度250kmから6500km、磁気緯度 $40^{\circ}N$ から $40^{\circ}S$ の軌道を飛翔し実験空間でのプラズマパラメータは $0.1 < f_0/f_H < 2$ ,  $f_p/f_H > 1$  ( $f_H$ : サイクロトロン周波数,  $f_p$ : プラズマ周波数,  $f_0$ : 実験周波数) の範囲である。実験データからいくつかの興味深い結果が得られていてそれらについての解析が進められている。CIEのパルス送信後のプラズマの応答はハイップ及ビループアンテナで受信されるが、ハイップアンテナの受信信号に顕著なプラズマの応答が認められる。

オ1図に示すようにレゾナンス周波数 $f_H \cos \theta$  ( $\theta$ : 衛星の飛翔方向と地球磁場のなす角度) と実験周波数が等しいところではパルス送信後の受信レベルが大きく低下して-13。受信レベルの低下はパルス送信によつて受信機のバンド外の周波数の信号が励起されただことによると考えられるが、この現象はパルス送信後少なくとも375msの間続いているので説明し難い。この受信レベルの変化はハイップアンテナでは全く見られない。

Real timeで伝送されるAnalogデータの周波数解析によつて実験周波数よりほほ100Hz低い周波数のエミッションが見出されている。このReal timeデータと対比すべきPCMデータが未だ得られていが、この周波数シフトと衛星の移動によるドップラーシフトに従うとすればこの波の波数は $10^{-1}$ rad/m程度となる。またこれらのエミッションがパルス送信後375msの間続いていることから何らかの新しい物理的イメージが又要を考えられる。

REXS-CIEのデータ解析の詳細は講演を行なう。



オ1図 CIEパルス送信前(白丸)と送信後(黒丸)  
の受信レベル(ハイップアンテナ)

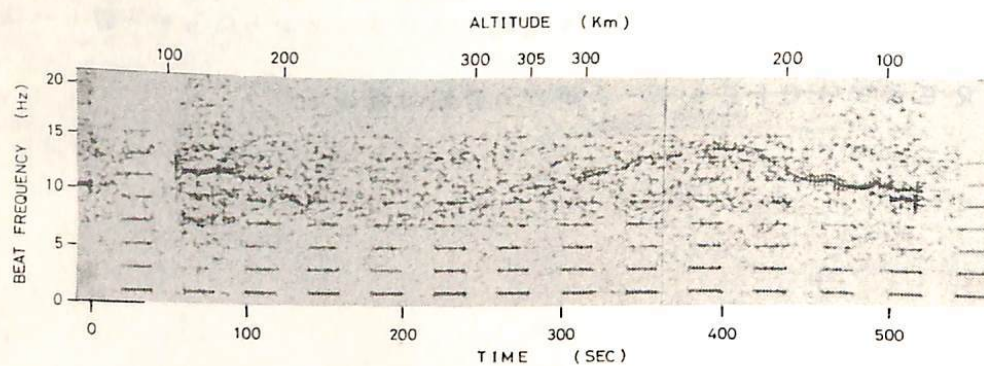
# VLF ドップラー法と人工電離雲 の相乗り実験(速報)

木村盤根, 麻生武彦, 富本哲雄, 加藤進  
(京都大学 工学部)

まえがき 電離層中の発光雲のロケット実験の際、同時にプローブにより電子密度の測定を行なう試みは度々行なわれてゐるが、色々問題があつた。その一つは、ナトリウム、セシウム等がロケット外に放出されると、それがプローブに付着してそのインピーダンスや感度を変化させたため測定結果に大きな誤差が生ずるためである。そこで地上のVLF信号を利用するドップラー法を採用すれば、発光雲の大きさが波長に比べて多少大きくなれば、パワーグラウンドの電子密度測定に大きな影響をうけないと考へられ、K-9M-42により相乗り実験(昭和48年2月23日、18:38 JST)が行なれた。以下この実験について報告する。

実験 ドップラー実験のためにには依佐美局(17.4kHz)の信号をロケットの軸に直角に出したダイポールアンテナ(全長2.4m)で受信し、10kHzのローカルにより中間周波数7.4kHzにしてテレメータ#11チャンネルに直接のせ、一方ローカル#12チャンネルにより地上へ伝送された。地上では両者を合成して元の17.4kHzを再生し、安定な水晶(17.390kHz)により10Hzにビートダウンされた。こちからソナグラフ方式によりドップラーレコードが求められた。この他、このロケットでは、固定バイアス(+6.37V)の電流プローブ(1.18mモノポールアンテナ)により相対的な電子密度プロファイルが同時に観測された。

ドップラー観測で得られたドップラービートのソナグラムは下図に示す通りである。すなはちアンテナ展開(X+54秒)から強い信号が受信され始めたが、84秒でC<sub>5</sub>で放出された瞬間ドップラービートが消え、すぐ復帰したが96秒頃から後はソナグラムでは明瞭な線が現れなく、280秒(ほぼ高度305km)以降から最後迄ビートが再び現れなくなる。一方信号の振幅の記録をみると上記96秒～280秒の間も信号レベルの大きな減少はみられない。従ってドップラービートの消失は信号がロケットに達しなかつたためではなく、ドップラーレコードエプトルがdiffuseしたためと考へられた。この原因としては、ドップラーレコードの解説の際通常は電子密度自体の時間的変動は無視されるが、今回のようにC<sub>5</sub>で放出されたと電子密度の時間的変動が急激に起きたため、それによるドップラーレコードが大きく、又その大きさが雲の場所により又変化するので、下図のよう:ドップラービートのdiffuseとなる現象が生じたと思われる。なお電子密度のプロファイルについては学会において報告する。



K-9M-42号機で観測された17.4kHz信号のドップラービート

# I-65 電離層内におけるホイッスル波のKベクトル測定

岩井章 固田敏美  
名古屋大学 空電研究所

(I)はじめに、電離層内における波面法線ベクトルKを知ることは電波伝播の研究上極めて重要である。従来Pointing fluxの方向を測ることは試みられてきたがこれを直接測定することはなかった。これらの意味からKを測定するシステムを早急に確立することが望まれている。今回は、去る1月19日18時(約)清東研究所から打ち上げられたK-9M-4号機に搭載した装置によって測定された結果及び伝播上のいくつかの問題について報告する。

## (II) Kベクトル測定原理

電離層内を伝搬するホイッスル波を右回り円偏波とすると、直角三次元ループアンテナで受信する時の磁界成分は次式で与られる。

$$H_x = -A \cos i \sin \theta \cos \omega t - A \cos \theta \sin i \omega t$$

$$H_y = -A \cos i \cos \theta \cos \omega t + A \sin \theta \sin i \omega t$$

$$H_z = A \sin i \cos \omega t$$

方位角 $\theta$ は $H_x + H_y (+\frac{\pi}{2})$ と $H_z$ との位相差を測ることによって、また入射角 $i$ は $H_x + H_y (+\frac{\pi}{2})$ と $H_z$ との振幅比を測ることによって得られる。

$$H_x + H_y (+\frac{\pi}{2}) = A(-\cos i) \sin(\omega t - \theta - \pi) \equiv H'$$

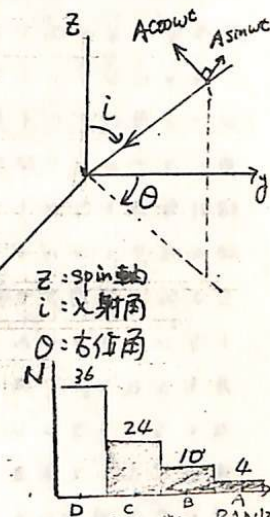
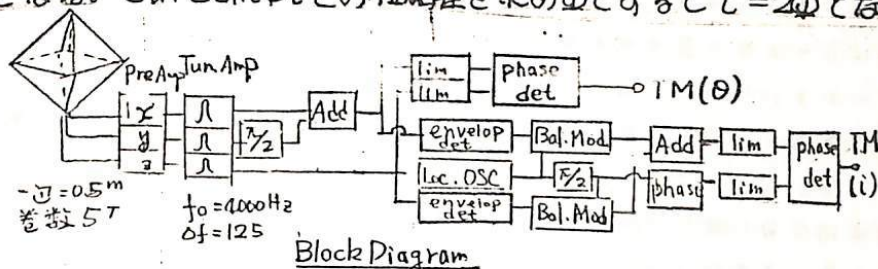
$H'$ と $H_z$ との位相差を $\alpha$ とすれば、 $\theta = \alpha - \frac{3}{2}\pi$ 、振幅比を $m$ とすれば

$$m = (-\cos i) / \sin i = \tan \frac{i}{2}$$

$H_z, H'$ を包絡線検波した後、 $\sin pt, \cos pt$ をそれぞれ変調し加算する

$$\text{と}, A\sqrt{2}(-\cos i) \sin(pt + \frac{i}{2})$$

となる。この $\sin pt$ との位相差を求めると $i = 2\theta$ となる。



## (III) 測定結果

観測時間内の強度分布は右上図の様で、S/Nの良い部屋Rank A, B 及び C の一部に対し解析を行った。右下図はロケットのスピンドル軸に対する方位を静止座標に変換して描いたときの方位分布を示す。Error angleは $\theta \sim \pm 21^\circ, i \sim \pm 40^\circ$ である。

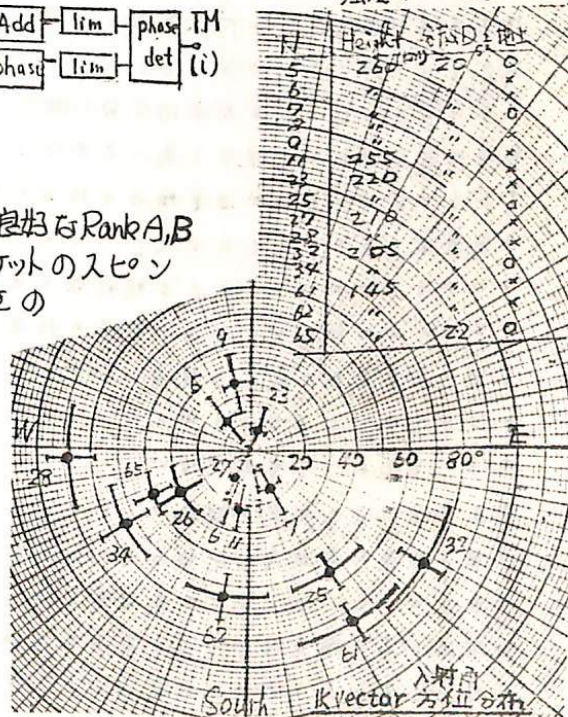
特徴は次の諸点である。

(1) 磁直軸からの傾きは高さが下かるにつれて大きくなる。 $h=260km: 20^\circ, h=150km: 60^\circ$

(2) 磁気子后面では主に西方向に存在する

(3) ほとんどは北向きであるが、南向きも存在する

(4) 左右島で同時受信された数は、解析した内51個である。



渡辺勇三 佐伯元 江尻全機  
東大 理大 東大

キャパシタンスプローブは基本的にはプラズマ中プローブの容量の電子密度による変化分を周波数偏差に変換して測定するもので昭和45年以来実験室プラズマでの基本的実験とロケットによる観測実験が続けられて來た。ここでは昭和48年1月16日に打ち上げられたS-210-8号機に搭載されたキャパシタンスプローブについて成果を述べるとともにスペースチェンバーで行なった基礎実験の結果を議論して昭和48年8月実験予定のS-210-9号機用キャパシタンスプローブについてその改良点等を略述する。

キャパシタンスプローブではシースの影響を考慮に入れると電子密度の絶対値が得られシース厚の $\delta$ バイ長として電子温度が求められるが現在はシースプラズマ二段階モデルを用いてプローブ間隔の異なった二系統のプローブで同時に測定する方法とプローブにDC印加してシースを消去する方法がある。前者による絶対値測定実験が宇宙研大型チャンバーでなされたが  $10^6 \sim 10^5 (\text{cm}^{-3})$  の領域ではラングミュア法での測定値の約30%の範囲で一致出来たが  $10^5 \sim 10^4 (\text{cm}^{-3})$  では約10%の値を示した。これは発振トランジスタの入力容量の温度による変動分が発振インダクタンスに並列に作用した為と考えられる。又シース厚が大きくなるとメッシュ間容量に寄与する電子はプローブ内になくなりトランジスタ側メッシュとチャンバー間の容量変化を測定する事になるので解析が困難になって來るとともにシース厚の算出が出来なくなる。後者による実験はS-210-8号機でなされ  $10^5 \sim 5 \times 10^3 (\text{cm}^{-3})$  の領域で子Eにより正規化されたラングミュア法による観測値の30%の値となり一様に一致したが90(km)以下では上述の対ロケット容量が  $\delta$  で約15%の値になった。プローブは同心円筒型メッシュを用いたがプローブ自身のWAKEの効果が飛翔姿勢に従って現われており透過率約60%が確認出来た。前記の温度効果を補償する為に発振部をポリスチロールで包み容器全体を面ヒーターで熱しトランジスタ直近で温度検出を行なう時々刻々の基本発振周波数を測定したが特に低電子密度域で威力が大きかった。バイアス特性よりシース厚を算出し電子温度を出したがラングミュアプローブによる観測値と良い傾向の一致を示した。

プローブの対ボディ間自己容量の効果や飛翔姿勢によるプローブ自身のWAKEの影響を避け高負電圧の較正を精確にしてメッシュ間の幾何学的な寸法を生かすには同心球コンデンサ型メッシュプローブを用いて外球を接地して測定を行なえば良いと思われるが次のS-210-9号機ではプローブロケット間容量がほぼ孤立導体容量になるので外部の電子密度による応答を測定する事にして姿勢とWAKEによる問題を避ける事とした。又電子密度の高精度測定値を得る為に標準型インピーダンスプローブと同時搭載(キャパシタンスプローブによる測定精度を高める為には従来通りDCバイアス印加法による絶対値測定と高負電圧印加による基本周波数較正を行なうとともに温度による変動分を検出して精度を高めると同時に測定領域を広げる事を計画している。

## 低周波イオンプローブの実験(2)

竹屋 芳夫 南 雄行

大阪市立大学工学部

前回(第57回)の講演で、メッシュエグリッドをもつイオンプローブを用いて交流周波数掃引法によりコレクタで受信される信号のレベルから純粋なイオンのパラメータに関連するレゾナンスを検出する方法を述べた。今回は、東大序留研の真空チャンバー(60cm径、長さ1m)を利用して後方拡散形プラズマ源で生成されたプラズマ(密度約 $10^4 \sim 10^5$ 個/cc、ガス圧 $0.5 \sim 2 \times 10^{-4}$  Torr)での実験を行なった結果を報告する。

実験は、プラズマのパラメータやプローブ寸法、測定条件を変化させて行なったが、結果は予想通り、外部磁場の無視できる場合には、周波数特性のディップがイオン・プラズマ周波数を示しているようである。またイオントラップ法の直流静特性との比較から、グリッドバイアスを、図1に示すとおりフローティングとノンシャルから空気電位附近まで変化させてもディップ周波数が変化しないことがわかった。しかしながら正のバイアスにかくとディップ周波数は代りになる。一方電流增幅器は、300μA P-P 程度迄は特性に変化はない。しかし上に示すとおりフローティングとノンシャルでは、ディップ周波数は若干変化する。

実験結果からイオントラップ法で得られたイオン密度と本実験法で得られた結果とを比較すると、ディップ周波数をイオン・プラズマ周波数とみなしてはかなり良い一致が見られる。(図2)

一方満偏では、外部磁場を印加した時の特性について現在解析中の結果を述べる。本実験法が精度よく行なうるには確立すべきは、イオンは磁場の影響を受けにくく、より( $M/m_e$ 倍)磁場中で代償変プラズマ密度測定に期待もてると考えられる。

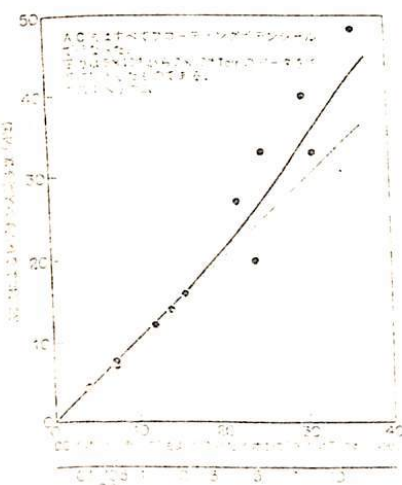
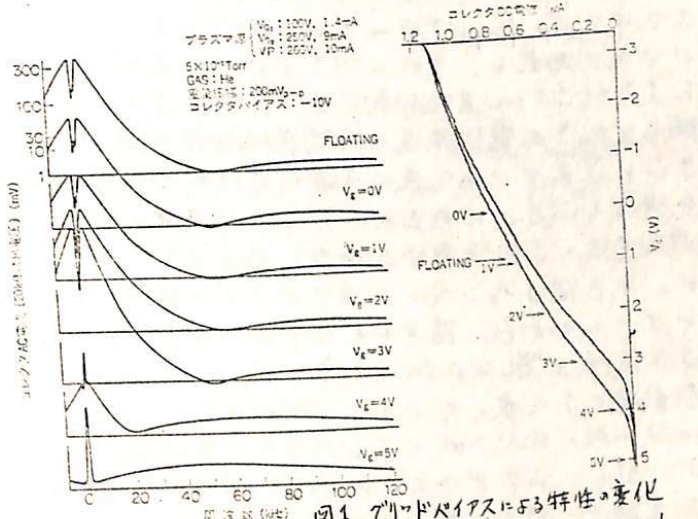


図2 直流法と交流法の比較

# I-68 高周波アローブ特性に及ぼすプラズマ波の影響

森 重隆 江戸金機 麻生武彦  
電波研 宇宙研 京大

プラズマの高周波測定法として従来行われている self-impedance probe 法の外に複数のアローブ間の mutual-impedance 特性を測定する方式が各所で試みられている。我々は本年度宇宙研スペースエンバー共同実験でスペースアローブの相互比較実験を行つたが、高周波アローブとしては Impedance Probe (IPと略称、宇宙研と京大グループ担当) と Two-Wire Probes (TWPと略称、電波研グループ担当) の比較が行われた。TWPは2本の送受信アローブ間の高周波特性を測定するものであるが実験的には IP と変わらぬのでこれと同様の特性が得られるものとの予想に反し、図1に示すように TWP sheath-resonance 領域の特性が非常に複雑な形をしており、しかもマイクロ波数倍の整数倍のレゾナンスが顕著に現れ最高  $f_{sh}$  まで確認された。これらの事実から我々は TWP のこれらの特性がアラバマ波の励起の影響を強く受けているためと予想し、更に詳細な実験を行つた。

実験は宇宙研大型スペースエンバーを使用し、後方拡散形プラズマ源による Ar アラズマ中で行った。アローブとしては、直径 20cm の円形平面グリッド状アローブをエンバーの中央に固定し、それと向き合わせて直径 10cm の円板アローブを径方向に置き可動振幅隔を変化させ受信強度の空間変化特性を調べるとある周波数領域で複数の特性が得られた。さらに従来アラズマ波の実験を行われている位相検波法 (PSD) により同一周波数で波動を検出し両者の比較を行ふところ波長が良く一致していく。また印加周波数を変えて両測定法により波成分を検出し  $w-k$  ダイヤグラムを描いて励起された波の分散特性を調べた。第一回はエンバーに 0.1 ガウスの磁場をかけたとき両測定法により得られた  $w-k$  ダイヤグラムである。図中 ● は TWP 方式によるもので ○ は PSD 法によるものである。この実線は  $\omega_{sh} = 0.24$  のときの Bernstein-mode の分散曲線である。測定点はいずれも 2 つ分散曲線によく乗っていることがわかる。これらの結果から、今回の実験では Bernstein-mode の波が強く励起されて TWP 方式の周波数特性曲線の形を複雑にしていることが確認された。但し、0.1 ガウスの磁場方向は地磁場の影響でエンバーの軸方向から約 30°ずれており、磁場に対する指向性の強い Bernstein-mode 波が径方向に受信された理由について疑問がある。

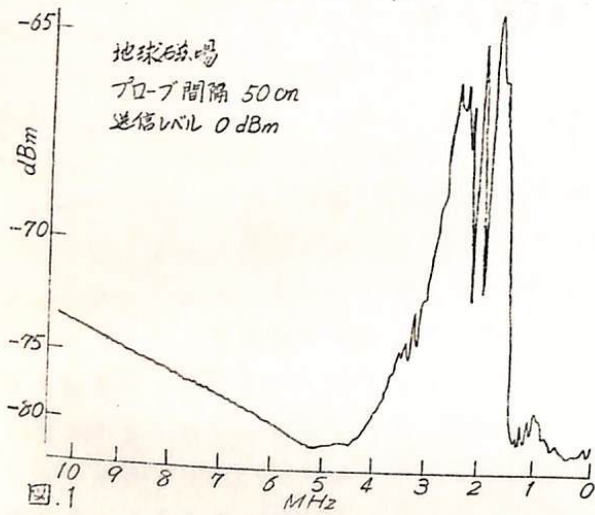


図1

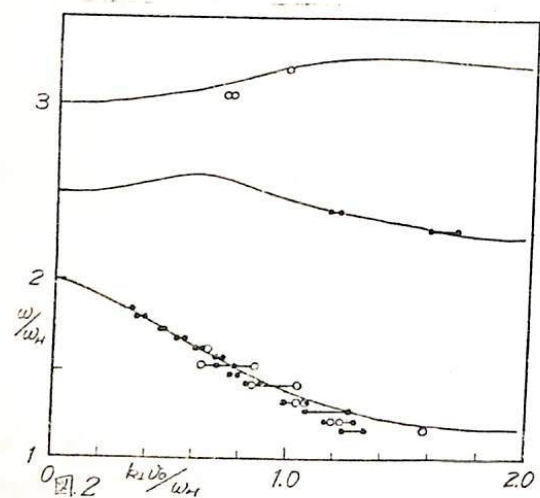


図2

\* スペースアローブ実験会 1971 年, P. 56, "アローブ相互比較実験—送受信実験—" 高野成ほか.

衛星におけるイオニカ電子温度測定の  
問題(→ II-2)

小山孝一郎 平尾邦雄  
東京大学宇宙航空研究所

(2) 卫星観測において永川間の議論のまとめで、衛星電子温度に関する問題は 200-2  
測定自家回路があることと、其片が主である。

一方衛星に搭載された DC Mode Retarding Potential trap, Langmuir probe など  
得られ水冷と他の方法による値とのくらべが 1969 年 Dyson et al.<sup>(1)</sup> によって報告  
されており、このくらべが問題となる論文は 10 篇ほどある。

本講演では Retarding Potential Trap における問題もまだ電離層のところでは、2 つ  
きわめて多く可能性が強いことを室内実験の結果を用いて検討するとともに今まで  
報告された論文の中にもよってその effect を示唆するものがあることを報告する。

参考文献

- (1) Dyson et al.; Conflicting Electron Temperature Measurements in the upper F1 region, J. Geophys. R. 24, 400-401, 1969
- (2) Wren G.L. et al; Modulation Langmuir probe and incoherent scatter radar measurements of ionospheric electron temperature, J. Atmosph. Terr. Phys. 35, 405-413, 1973

# I-70 希薄ガスの温度計(II)

平尾邦雄 松村正三

東京大学宇宙航空研究所

前回(第52回)報告したTime-of-Flightテクニックを用いた希薄ガス温度計について  
今回は、ガスセルを通して加熱されたガスに対する温度計としての較正を行なってみた結果について報告する。

原理と装置は右図の通りである。electron gunとelectron multiplierを一定の間隔(10~20 cm)に置き、gunでmetastable stateに励起された粒子がmultiplierに到達する時間分布を測定し、これがMaxwell分布であるとして、この仮定から温度を計算する。

今回はgunの上部に60φ×70の銅製のガスセルを取り付け、同じく内径2φの銅パイプ(長さ約60 cm)でガスを導入し、全体にヒーターを巻き加熱可能にした。

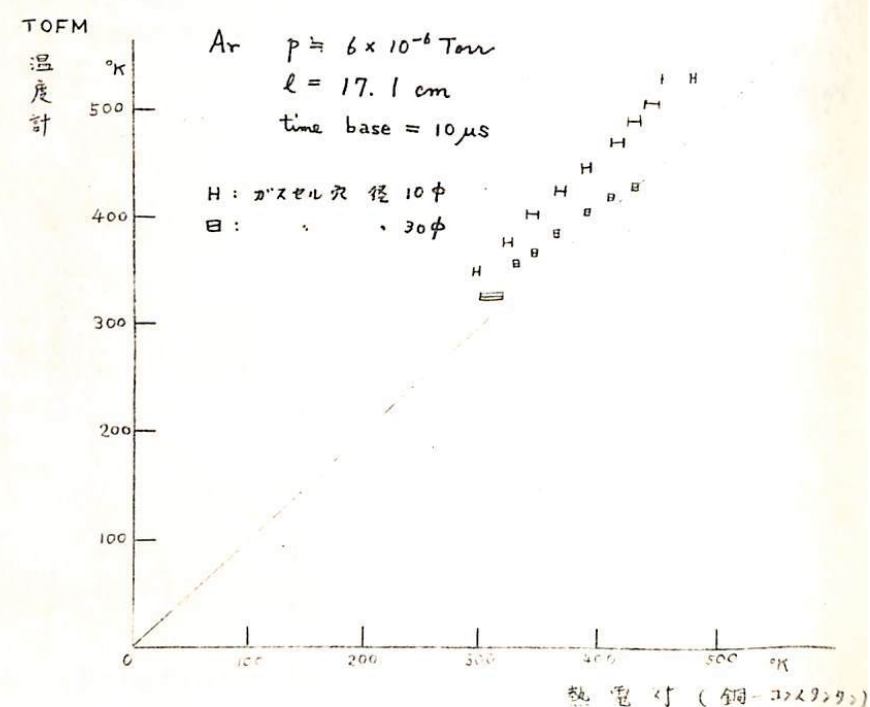
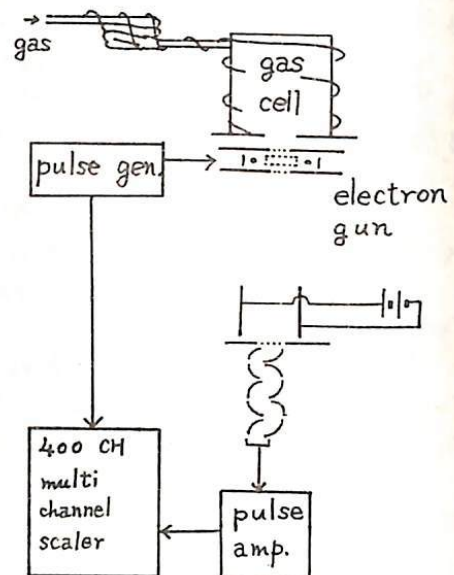
ガスセルの温度は容器の底部とパイプの先端に取り付けた二個の熱電対でモニターした。ヒーターが一様でない為、両方の温度には差が生じるが、熱容量の違いを利用して、測定時間中(10分)は全体の温度をほぼ一様に保つ事が出来た。

下図はArガスを用いて得られたデータである。

TOFM(Time-of-Flight Measurement)温度計によるガス温度がガスセルよりも高温を示している。これはガスセル内の分布がMaxwell分布からずれていける可能性によるものと考へられる。

これを調べる為に出口の穴径を変えて測定した結果は上記の考え方を支持しているようと思われる。

図では縦軸の測定誤差を示してあるがMCSの1channel相当の不明瞭さがあるとこれは温度に直して約5%の誤差に相当する。従って上記の考え方を確かめる為に今後より短かいtime baseで精度を上げた測定を予定している。



T. Tanaka and K. Hirao

Institute of Space and Aeronautical Science, University of Tokyo.

The monopole spectrometer using rf electric field was manufactured for trial. The parameters of the analyzing field are as follows ; 25 cm field length, 4.32 mm field radius and 3.3 MHz fixed frequency. Mass scanning is accomplished by amplitude variation of rf and dc voltages which are added to the spectrometer while maintaining UV ratio constant. Dependences of resolution and relative sensitivity on UV ratio and ion acceleration voltage are investigated. It is shown that the monopole spectrometer can achieve good resolving power with a wide range of UV ratio.

深尾昌一郎・三輪正康

京大工部

1. 序 Charnay & Dragim (1961) は空気の風向風速分布の変動、特に強風の時、  
zonal wind (= 48.173 m/s) 工層へ伝播する風の強度と理論的につながる。F. L. M.  
Dickinson (1968) & Hirata (1971), 23° Deland (1972) の解析によると、(a)  
9月は何等か季節変化なしで、12月は容易に工層へ伝播するようである。本研究で  
12月、下層大気との関連を追跡したところ、T2 4-7 の電子室圧変動は  
0.2°C-級のように超長周期の変動が存在せず、T2 4-7 の電子室圧変動は  
T2 4-7 (1971, 72) によっても進歩されており、赤道領域に近づく、T2 4-7 は、  
E層に導入された運動が存在せず、且出力なし。
  2. 解析方法  $N_m(T2) \propto (f_0 T2)^2$  の、周期が数日から数日の大気変動の項目を用い、用  
T2 4-7 地磁気緯度  $45^{\circ} \pm 5^{\circ}$  に沿う 8ステーションを用い、期間は、1957年12月23  
日-1958年1月7日-9日-13日間である。1日 = 4卓 (0, 6, 12, 18 LT) + 2卓 (12, 18 LT)  
+ サンプル (2卓) に用い、解析は 7階 (2.2), T-7 と時差を含めて 1~4日 2-31 UT 7-  
9, 12 時系列を用意。
  3. スペクトル解析 大気の大規模な運動現象を調べるために有効な FFT-Spectrum (Maruyama, 1968) を用いて解析を行ふ。各季の季節変化は 昼夜  $\pm 3$  1 時 = 48  
時間 (240分) 每に FFT-Spectrum 解析を行ふが、Blackman &  
Tukey (1958) による 24時間の信頼度は 90% である。FFT-Spectrum 解析を行ふ  
過程でトレンド (trend) を削除して除去しなければならないが、これは高頻度  
変動を除く過程である。我々の解析では 大気の日変化 (朝7時から午後5時) を  
用いて、7時-12時-18時-22時-9時-12時-15時-18時-21時-24時-27時-30時-33時-36時-39時-42時-45時-48時-51時-54時-57時-60時-63時-66時-69時-72時-75時-78時-81時-84時-87時-90時-93時-96時-99時-102時-105時-108時-111時-114時-117時-120時-123時-126時-129時-132時-135時-138時-141時-144時-147時-150時-153時-156時-159時-162時-165時-168時-171時-174時-177時-180時-183時-186時-189時-192時-195時-198時-201時-204時-207時-210時-213時-216時-219時-222時-225時-228時-231時-234時-237時-240時-243時-246時-249時-252時-255時-258時-261時-264時-267時-270時-273時-276時-279時-282時-285時-288時-291時-294時-297時-200時-203時-206時-209時-212時-215時-218時-221時-224時-227時-230時-233時-236時-239時-242時-245時-248時-251時-254時-257時-260時-263時-266時-269時-272時-275時-278時-281時-284時-287時-290時-293時-296時-299時-302時-305時-308時-311時-314時-317時-320時-323時-326時-329時-332時-335時-338時-341時-344時-347時-350時-353時-356時-359時-362時-365時-368時-371時-374時-377時-380時-383時-386時-389時-392時-395時-398時-401時-404時-407時-410時-413時-416時-419時-422時-425時-428時-431時-434時-437時-440時-443時-446時-449時-452時-455時-458時-461時-464時-467時-470時-473時-476時-479時-482時-485時-488時-491時-494時-497時-499時-502時-505時-508時-511時-514時-517時-520時-523時-526時-529時-532時-535時-538時-541時-544時-547時-550時-553時-556時-559時-562時-565時-568時-571時-574時-577時-580時-583時-586時-589時-592時-595時-598時-601時-604時-607時-610時-613時-616時-619時-622時-625時-628時-631時-634時-637時-640時-643時-646時-649時-652時-655時-658時-661時-664時-667時-670時-673時-676時-679時-682時-685時-688時-691時-694時-697時-699時-702時-705時-708時-711時-714時-717時-720時-723時-726時-729時-732時-735時-738時-741時-744時-747時-750時-753時-756時-759時-762時-765時-768時-771時-774時-777時-780時-783時-786時-789時-792時-795時-798時-801時-804時-807時-810時-813時-816時-819時-822時-825時-828時-831時-834時-837時-840時-843時-846時-849時-852時-855時-858時-861時-864時-867時-870時-873時-876時-879時-882時-885時-888時-891時-894時-897時-899時-902時-905時-908時-911時-914時-917時-920時-923時-926時-929時-932時-935時-938時-941時-944時-947時-950時-953時-956時-959時-962時-965時-968時-971時-974時-977時-980時-983時-986時-989時-992時-995時-998時-1001時-1004時-1007時-1010時-1013時-1016時-1019時-1022時-1025時-1028時-1031時-1034時-1037時-1040時-1043時-1046時-1049時-1052時-1055時-1058時-1061時-1064時-1067時-1070時-1073時-1076時-1079時-1082時-1085時-1088時-1091時-1094時-1097時-1099時-1102時-1105時-1108時-1111時-1114時-1117時-1120時-1123時-1126時-1129時-1132時-1135時-1138時-1141時-1144時-1147時-1150時-1153時-1156時-1159時-1162時-1165時-1168時-1171時-1174時-1177時-1180時-1183時-1186時-1189時-1192時-1195時-1198時-1201時-1204時-1207時-1210時-1213時-1216時-1219時-1222時-1225時-1228時-1231時-1234時-1237時-1240時-1243時-1246時-1249時-1252時-1255時-1258時-1261時-1264時-1267時-1270時-1273時-1276時-1279時-1282時-1285時-1288時-1291時-1294時-1297時-1299時-1302時-1305時-1308時-1311時-1314時-1317時-1320時-1323時-1326時-1329時-1332時-1335時-1338時-1341時-1344時-1347時-1350時-1353時-1356時-1359時-1362時-1365時-1368時-1371時-1374時-1377時-1380時-1383時-1386時-1389時-1392時-1395時-1398時-1401時-1404時-1407時-1410時-1413時-1416時-1419時-1422時-1425時-1428時-1431時-1434時-1437時-1440時-1443時-1446時-1449時-1452時-1455時-1458時-1461時-1464時-1467時-1470時-1473時-1476時-1479時-1482時-1485時-1488時-1491時-1494時-1497時-1499時-1502時-1505時-1508時-1511時-1514時-1517時-1520時-1523時-1526時-1529時-1532時-1535時-1538時-1541時-1544時-1547時-1550時-1553時-1556時-1559時-1562時-1565時-1568時-1571時-1574時-1577時-1580時-1583時-1586時-1589時-1592時-1595時-1598時-1601時-1604時-1607時-1610時-1613時-1616時-1619時-1622時-1625時-1628時-1631時-1634時-1637時-1640時-1643時-1646時-1649時-1652時-1655時-1658時-1661時-1664時-1667時-1670時-1673時-1676時-1679時-1682時-1685時-1688時-1691時-1694時-1697時-1699時-1702時-1705時-1708時-1711時-1714時-1717時-1720時-1723時-1726時-1729時-1732時-1735時-1738時-1741時-1744時-1747時-1750時-1753時-1756時-1759時-1762時-1765時-1768時-1771時-1774時-1777時-1780時-1783時-1786時-1789時-1792時-1795時-1798時-1801時-1804時-1807時-1810時-1813時-1816時-1819時-1822時-1825時-1828時-1831時-1834時-1837時-1840時-1843時-1846時-1849時-1852時-1855時-1858時-1861時-1864時-1867時-1870時-1873時-1876時-1879時-1882時-1885時-1888時-1891時-1894時-1897時-1899時-1902時-1905時-1908時-1911時-1914時-1917時-1920時-1923時-1926時-1929時-1932時-1935時-1938時-1941時-1944時-1947時-1950時-1953時-1956時-1959時-1962時-1965時-1968時-1971時-1974時-1977時-1980時-1983時-1986時-1989時-1992時-1995時-1998時-2001時-2004時-2007時-2010時-2013時-2016時-2019時-2022時-2025時-2028時-2031時-2034時-2037時-2040時-2043時-2046時-2049時-2052時-2055時-2058時-2061時-2064時-2067時-2070時-2073時-2076時-2079時-2082時-2085時-2088時-2091時-2094時-2097時-2099時-2102時-2105時-2108時-2111時-2114時-2117時-2120時-2123時-2126時-2129時-2132時-2135時-2138時-2141時-2144時-2147時-2150時-2153時-2156時-2159時-2162時-2165時-2168時-2171時-2174時-2177時-2180時-2183時-2186時-2189時-2192時-2195時-2198時-2201時-2204時-2207時-2210時-2213時-2216時-2219時-2222時-2225時-2228時-2231時-2234時-2237時-2240時-2243時-2246時-2249時-2252時-2255時-2258時-2261時-2264時-2267時-2270時-2273時-2276時-2279時-2282時-2285時-2288時-2291時-2294時-2297時-2299時-2302時-2305時-2308時-2311時-2314時-2317時-2320時-2323時-2326時-2329時-2332時-2335時-2338時-2341時-2344時-2347時-2350時-2353時-2356時-2359時-2362時-2365時-2368時-2371時-2374時-2377時-2380時-2383時-2386時-2389時-2392時-2395時-2398時-2401時-2404時-2407時-2410時-2413時-2416時-2419時-2422時-2425時-2428時-2431時-2434時-2437時-2440時-2443時-2446時-2449時-2452時-2455時-2458時-2461時-2464時-2467時-2470時-2473時-2476時-2479時-2482時-2485時-2488時-2491時-2494時-2497時-2499時-2502時-2505時-2508時-2511時-2514時-2517時-2520時-2523時-2526時-2529時-2532時-2535時-2538時-2541時-2544時-2547時-2550時-2553時-2556時-2559時-2562時-2565時-2568時-2571時-2574時-2577時-2580時-2583時-2586時-2589時-2592時-2595時-2598時-2601時-2604時-2607時-2610時-2613時-2616時-2619時-2622時-2625時-2628時-2631時-2634時-2637時-2640時-2643時-2646時-2649時-2652時-2655時-2658時-2661時-2664時-2667時-2670時-2673時-2676時-2679時-2682時-2685時-2688時-2691時-2694時-2697時-2699時-2702時-2705時-2708時-2711時-2714時-2717時-2720時-2723時-2726時-2729時-2732時-2735時-2738時-2741時-2744時-2747時-2750時-2753時-2756時-2759時-2762時-2765時-2768時-2771時-2774時-2777時-2780時-2783時-2786時-2789時-2792時-2795時-2798時-2801時-2804時-2807時-2810時-2813時-2816時-2819時-2822時-2825時-2828時-2831時-2834時-2837時-2840時-2843時-2846時-2849時-2852時-2855時-2858時-2861時-2864時-2867時-2870時-2873時-2876時-2879時-2882時-2885時-2888時-2891時-2894時-2897時-2899時-2902時-2905時-2908時-2911時-2914時-2917時-2920時-2923時-2926時-2929時-2932時-2935時-2938時-2941時-2944時-2947時-2950時-2953時-2956時-2959時-2962時-2965時-2968時-2971時-2974時-2977時-2980時-2983時-2986時-2989時-2992時-2995時-2998時-3001時-3004時-3007時-3010時-3013時-3016時-3019時-3022時-3025時-3028時-3031時-3034時-3037時-3040時-3043時-3046時-3049時-3052時-3055時-3058時-3061時-3064時-3067時-3070時-3073時-3076時-3079時-3082時-3085時-3088時-3091時-3094時-3097時-3099時-3102時-3105時-3108時-3111時-3114時-3117時-3120時-3123時-3126時-3129時-3132時-3135時-3138時-3141時-3144時-3147時-3150時-3153時-3156時-3159時-3162時-3165時-3168時-3171時-3174時-3177時-3180時-3183時-3186時-3189時-3192時-3195時-3198時-3201時-3204時-3207時-3210時-3213時-3216時-3219時-3222時-3225時-3228時-3231時-3234時-3237時-3240時-3243時-3246時-3249時-3252時-3255時-3258時-3261時-3264時-3267時-3270時-3273時-3276時-3279時-3282時-3285時-3288時-3291時-3294時-3297時-3299時-3302時-3305時-3308時-3311時-3314時-3317時-3320時-3323時-3326時-3329時-3332時-3335時-3338時-3341時-3344時-3347時-3350時-3353時-3356時-3359時-3362時-3365時-3368時-3371時-3374時-3377時-3380時-3383時-3386時-3389時-3392時-3395時-3398時-3401時-3404時-3407時-3410時-3413時-3416時-3419時-3422時-3425時-3428時-3431時-3434時-3437時-3440時-3443時-3446時-3449時-3452時-3455時-3458時-3461時-3464時-3467時-3470時-3473時-3476時-3479時-3482時-3485時-3488時-3491時-3494時-3497時-3499時-3502時-3505時-3508時-3511時-3514時-3517時-3520時-3523時-3526時-3529時-3532時-3535時-3538時-3541時-3544時-3547時-3550時-3553時-3556時-3559時-3562時-3565時-3568時-3571時-3574時-3577時-3580時-3583時-3586時-3589時-3592時-3595時-3598時-3601時-3604時-3607時-3610時-3613時-3616時-3619時-3622時-3625時-3628時-3631時-3634時-3637時-3640時-3643時-3646時-3649時-3652時-3655時-3658時-3661時-3664時-3667時-3670時-3673時-3676時-3679時-3682時-3685時-3688時-3691時-3694時-3697時-3699時-3702時-3705時-3708時-3711時-3714時-3717時-3720時-3723時-3726時-3729時-3732時-3735時-3738時-3741時-3744時-3747時-3750時-3753時-3756時-3759時-3762時-3765時-3768時-3771時-3774時-3777時-3780時-3783時-3786時-3789時-3792時-3795時-3798時-3801時-3804時-3807時-3810時-3813時-3816時-3819時-3822時-3825時-3828時-3831時-3834時-3837時-3840時-3843時-3846時-3849時-3852時-3855時-3858時-3861時-3864時-3867時-3870時-3873時-3876時-3879時-3882時-3885時-3888時-3891時-3894時-3897時-3899時-3902時-3905時-3908時-3911時-3914時-3917時-3920時-3923時-3926時-3929時-3932時-3935時-3938時-3941時-3944時-3947時-3950時-3953時-3956時-3959時-3962時-3965時-3968時-3971時-3974時-3977時-3980時-3983時-3986時-3989時-3992時-3995時-3998時-4001時-4004時-4007時-4010時-4013時-4016時-4019時-4022時-4025時-4028時-4031時-4034時-4037時-4040時-4043時-4046時-4049時-4052時-4055時-4058時-4061時-4064時-4067時-4070時-4073時-4076時-4079時-4082時-4085時-4088時-4091時-4094時-4097時-4099時-4102時-4105時-4108時-4111時-4114時-4117時-4120時-4123時-4126時-4129時-4132時-4135時-4138時-4141時-4144時-4147時-4150時-4153時-4156時-4159時-4162時-4165時-4168時-4171時-4174時-4177時-4180時-4183時-4186時-4189時-4192時-4195時-4198時-4201時-4204時-4207時-4210時-4213時-4216時-4219時-4222時-4225時-4228時-4231時-4234時-4237時-4240時-4243時-4246時-4249時-4252時-4255時-4258時-4261時-4264時-4267時-4270時-4273時-4276時-4279時-4282時-4285時-4288時-4291時-4294時-4297時-4299時-4302時-4305時-4308時-4311時-4314時-4317時-4320時-4323時-4326時-4329時-4332時-4335時-4338時-4341時-4344時-4347時-4350時-4353時-4356時-4359時-4362時-4365時-4368時-4371時-4374時-4377時-4380時-4383時-4386時-4389時-4392時-4395時-4398時-4401時-4404時-4407時-4410時-4413時-4416時-4419時-4422時-4425時-4428時-4431時-4434時-4437時-4440時-4443時-4446時-4449時-4452時-4455時-4458時-4461時-4464時-4467時-4470時-4473時-4476時-4479時-4482時-4485時-4488時-4491時-4494時-4497時-4499時-4502時-4505時-4508時-4511時-4514時-4517時-4520時-4523時-4526時-4529時-4532時-4535時-4538時-4541時-4544時-4547時-4550時-4553時-4556時-4559時-4562時-4565時-4568時-4571時-4574時-4577時-4580時-4583時-4586時-4589時-4592時-4595時-4598時-4601時-4604時-4607時-4610時-4613時-4616時-4619時-4622時-4625時-4628時-4631時-4634時-4637時-4640時-4643時-4646時-4649時-4652時-4655時-4658時-4661時-4664時-4667時-4670時-4673時-4676時-4679時-4682時-4685時-4688時-4691時-4694時-4697時-4699時-4702時-4705時-4708時-4711時-4714時-4717時-4720時-4723時-4726時-4729時-4732時-4735時-4738時-4741時-4744時-4747時-4750時-4753時-4756時-4759時-4762時-4765時-4768時-4771時-4774時-4777時-4780時-4783時-4786時-4789時-4792時-4795時-4798時-4801時-4804時-4807時-4810時-4813時-4816時-4819時-4822時-4825時-4828時-4831時-4834時-4837時-4840時-4843時-4846時-4849時-4852時-4855時-4858時-4861時-4864時-4867時-4870時-4873時-4876時-4879時-4882時-4885時-4888時-4891時-4894時-4897時-4899時-4902時-4905時-4908時-4911時-4914時-4917時-4920時-4923時-4926時-4929時-4932時-4935時-4938時-4941時-4944時-4947時-4950時-4953時-4956時-4959時-4962時-4965時-4968時-4971時-4974時-4977時-4980時-4983時-4986時-4989時-4992時-4995時-4998時-5001時-5004時-5007時-5010時-5013時-5016時-5019時-5022時-5025時-5028時-5031時-5034時-5037時-5040時-5043時-5046時-5049時-5052時-5055時-5058時-5061時-5064時-5067時-5070時-5073時-5076時-5079時-5082時-5085時-5088時-5091時-5094時-5097時-5099時-5102時-5105時-5108時-5111時-5114時-5117時-5120時-5123時-5126時-5129時-5132時-5135時-5138時-5141時-5144時-5147時-5150時-5153時-5156時-5159時-5162時-5165時-5168時-5171時-5174時-5177時-5180時-5183時-5186時-5189時-5192時-5195時-5198時-5201時-5204時-5207時-5210時-5213時-5216時-5219時-5222時-5225時-5228時-5231時-5234時-5237時-5240時-5243時-5246時-5249時-5252時-5255時-5258時-5261時-5264時-5267時-5270時-5273時-5276時-5279時-5282時-5285時-5288時-5291時-5294時-5297時-5299時-5302時-5305時-5308時-5311時-5314時-5317時-5320時-5323時-5326時-5329時-5332時-5335時-5338時-5341時-5344時-5347時-5350時-5353時-5356時-5359時-5362時-5365時-5368時-5371時-5374時-5377時-5380時-5383時-5386時-5389時-5392時-5395時-5398時-5401時-5404時-5407時-5410時-5413時-5416時-5419時-5422時-5425時-5428時-5431時-5434時-5437時-5440時-5443時-5446時-5449時-5452時-5455時-5458時-5461時-5464時-5467時-5470時-5473時-5476時-5479時-5482時-5485時-5488時-5491時-5494時-5497時-5499時-5502時-5505時-5508時-5511時-5514時-5517時-5520時-5523時-5526時-5529時-5532時-5535時-5538時-5541時-5544時-5547時-5550時-5553時-5556時-5559時-5562時-5565時-5568時-5571時-5574時-5577時-5580時-5583時-5586時-5589時-5592時-5595時-5598時-5601時-5604時-5607時-5610時-5613時-5616時-5619時-5622時-5625時-5628時-5631時-5634時-5637時-5640時-5643時-5646時-5649時-5652時-5655時-5658時-5661時-5664時-5667時-5670時-5673時-5676時-5679時-5682時-5685時-5688時-5691時-5694時-5697時-5699時-5702時-5705時-5708時-5711時-5714時-5717時-5720時-5723時-5726時-5729時-5732時-5735時-5738時-5741時-5744時-5747時-5750時-5753時-5756時-5759時-5762時-5765時-5768時-5771時-5774時-5777時-5780時-5783時-5786時-5789時-5792時-5795時-5798時-5801時-5804時-5807時-5810時-5813時-5816時-5819時-5822時-5825時-5828時-5831時-5834時-5837時-5840時-5843時-5846時-5849時-5852時-5855時-5858時-5861時-5864時-5867時-5870時-5873時-5876時-5879時-588

I-73

## Daytime Electron Density Profiles of the E and F1 Regions at Mid-latitude

前田憲一<sup>スミヤシキイチ</sup>、深尾昌一郎<sup>フクオウマツヨリ</sup>

\* 京都産望大理  
\*\* 京大工

1. 序 IRI (International Reference Ionosphere) が作成された 1968 年 10 月 1 日 E, F1 領域の観測  
で、7 月 2 日 (Maeda, 1969), これに理論的根拠をもつて試み (Maeda, 1971, 72) が丁度  
小て 3 F. 1 F. の間で CIRA でして E, F1 で計算した太陽電子密度は、既に中程度の太  
陽活動度の場合に観測値と一致するが、F. 本研究では改めて太陽電子密度を検討し直す。  
その際の観測をも考慮して電子密度分布を求める。

2. 太陽電子 CIRA と同様の位置で、夏・冬・中間季の 3 種の太陽電子作成日は、E, F1,  
 $m(0)/m(0_2)$  は 120 Km 以下で 1.5 と近い (Kasperek et al., 1968). 又温度分布は 100 Km 以下で  
Theom (1971) によれば、太陽電子中心で Nordberg の式 (1964) が最もよいと云ふ。高層  
100 Km 以上では Jacchia の四次式 (J71, 1971) が一部参考にされ、高空部分が J71 には 1.2  
～ 1.4 と低めに定められてる。

3. 電子生成率 Q は太陽電離度の他に、太陽活動度 (E), 噴出断面積 (S), 電離率 (η) によつて  
5 から 3 まで。夏・冬・EUV の X 線 (1037.6 Å - 1 Å) を参考に。今回 Hinterberger  
(1970) の観測値を用ひ、各波長領域の適当な換算公式 (Maeda et al., 1971) を用ひ、 $E R (Watt  
no.) = 0$  の値は捨棄する。計算の範囲は、太陽電子密度 31.7 cm<sup>-3</sup> - 7.1 cm<sup>-3</sup> の範囲で、夏・冬・EUV  
領域の大部分で Hinterberger の値で、3 中央値すな 20.4 小さく値を採用した。E, F1  
で Oshio et al. (1966) の 7.3 と用ひ Stolarczyk & Johnson (1972) の 7.3 と  
参考にした。Oshio et al. 0.7 - 3.2, 1037.6 Å - 1 Å と 807.6 - 7.1 cm<sup>-3</sup> で、EUV  
領域で 31.7 cm<sup>-3</sup> - 7.1 cm<sup>-3</sup> と 3.2 cm<sup>-3</sup> と各 7.1 cm<sup>-3</sup> と内々重なる重複を考慮して、  
4. 電子消滅過程 有効面積と絶対吸収度 160 Km 以上で  $6.0 \times 10^{-8} \text{ cm}^2 \text{ sec}^{-1}$ , 120, 100 Km 以下で  
 $6.55 \times 10^{-8}$ ,  $8.30 \times 10^{-8} \text{ cm}^2 \text{ sec}^{-1}$  と定めた。有効面積は Yonegawa (1970) によ  
て  $B = \beta_1 (N_2) + 10 (0_2) / r_1$ ,  $\beta_1$  は Maeda (1972) が用いた値を用いた。

5. 結果の要約 観測例の多くは、F1 の場合に、理説結果と観測との比較を示すが、これまで  
以前の解説 (Maeda, 1971, 72) は E, F1 の太陽電子改善の点で、E, F1, 太陽活動度が中程度の  
場合に、太陽電子の分布密度が見えた。この比較を示すと、太陽電子 (F1) は太陽電子 (E)  
より少しある程度の夏季 (12 月 3 日), 想定的大気電子の不完全度による誤差をもつてみた (E  
2 の電子密度は太陽電子密度で J71 は比 1.2, 200 Km 以上で 1.2 と、以下 100 Km までの間で大  
きく 1.3)。E, F1 Hinterberger (1970) の観測値の EUV 領域の大部分で中央値の -20.4 (これが  
何倍かは E, F1 の値を下限) と採用したが、この範囲内に新しく 7.1 cm<sup>-3</sup> (977-911 Å)  
7.1 cm<sup>-3</sup> (260-138 Å) の 3 つの比較的の太陽電子密度 (E, F1 の太陽電子密度) とも考慮した事によ  
り、太陽電子の分布密度は E, F1 の 1.3 である。

謝辞 本研究の計算の一節を室井 (7.7.2) が博士論文 (第三井造船動部) に感謝する。

参考文献

  - Hinterberger, H. E., 1970 Ann Geophys., 26, 547-558
  - Jacchia, L. G., 1971 Smithsonian Astrophysical Obs. Special Rep. 312.
  - Maeda, K., 1969, 71, 72, 73-26 J.G.G. 7.7.9, 21, 23, 24.
  - Oshio, M., Maeda, R and Sato, H., 1966 J. Radio Res. Lab., 13, 245-269.
  - Yonegawa, T., 1970 Ann. Geophys., 26, 581-588

竹之下裕五郎、竹内鉄雄、越前谷喜松。

電波研究所秋田電波観測所

1972年8月2日03時15分と、4日06時23分とに発生したSID時における40KHz標準電波の受信波ベクトルの測定から、D領域底部の電離状態の時間的変化を論ずる。

測定法は本学会第51回の講演会において説いた通りである。即ち秋田から456Km南方にある横見川から発射される40KHz(波長7.5Km)の標準電波を秋田で受信し、その受信波ベクトルの軌跡から地表波ベクトルを推定し、その差として空間波ベクトルを算出して、その位相の変化から反射位相層高の時間変化を求め、一方ベクトルの絶対値から反射層の反射係数を求めた。

反射層高のSID時ににおける層高低下は、その初期値により算出される値が異なるが、前者のSIDでは5.5~6.2Km、後者では6.0~7.0Kmの低下がみられた。前者のSIDは経過時間が長く、変化も複雑であり、反射層高の時間変化にかなりの起伏がみられたが、後者は單純な変化を示した。一方反射係数は、SID以前に-4~-5dBあったものがSIDの初期に急激に低下し、前者では10dB、後者では4dB低下したと推測される。その後両者とも反射係数に大きな変化はみられず、反射層高が旧に復すると共に、反射係数も旧に復した。

SID変化は比較的短時間なので、受信波ベクトルは往復にほとんど同じ経路を通過して変化し、この間地表波ベクトルには変化はないものと仮定しても大差ないものと推測される。

VLF 標準電波位相データによる下部電離層の  
長周期変動の周波数解析

半田 駿, 荒木 徹

京大・理

従来より地殻変動データを使って、主として中緯度電離層での長周期変動が存在するかどうかの解析を進めてきたが、現象が複雑であることを確認するためには、水平及び垂直の云々に關しても解析する必要がある。

ところで、10年前から実用化され始めたVLF標準電波は、極めて高い周波数安定度 ( $\frac{\Delta f}{f} \text{ (周波数変動量)} = 10^{-11} \sim 10^{-12}/\text{day}$ ) で送信されているので、その相対位相を連続観測すれば微小な下部電離層変動を検出できる。(このことは、多くのSIED現象のうちでSPAが最も敏感であることからわかる。)

VLF電波の反射のメカニズムについてはまだ不明確な点が残されているが、成層圏とE層、F層の結合つきが問題にされている今日、その内の領域である下部電離層の変動にどのような周期成分があるかを明らかにすることは、重要な意味を持つと考えられる。

VLF標準電波の位相データから長周期成分を検出できるか否かは、主として受信側に置く基準発振器の周波数安定度による。幸い日本では、電波研究所大吹電波観測所で精度の良い連続観測が長期間にわたって行なわれてあり、そのデータを利用させていただくことができたので、その解析結果について報告する。

今回は、HawaiiのHonolulu(地殻変動度2°) - 大吹(26°)間のVLF回線の12.2kHzのデータを解析した。期間は、1971年10月 - 1972年1月の約4ヶ月間である。

得られた197-スペクトラムを図1に示す。実線は、全データにnumerical low pass filterをかけたものの197-スペクトラム、点線、破線はそれと並んで、日・夜の一日の平均値の197-スペクトラムである。全データについては、9.3日、4.7日にピークが見られる。VLF電波は、昼間はほぼ70km、夜間はほぼ90kmの高度で反射されるとしているので、点線と破線の相違はこの高さによる相違を表わすと考えられる。

さらに、前半で述べたように、福岡、Honoluluの地殻変動、国分寺の $f_0 F_2$ 等についても、解析を進める予定である。

最後に、重厚なVLF位相データの利用と、許していい電波所、横谷横電波部長、桜沢晃氏、大吹電波観測所、朝倉敏彦所長、石井隆弘雄氏に感謝します。

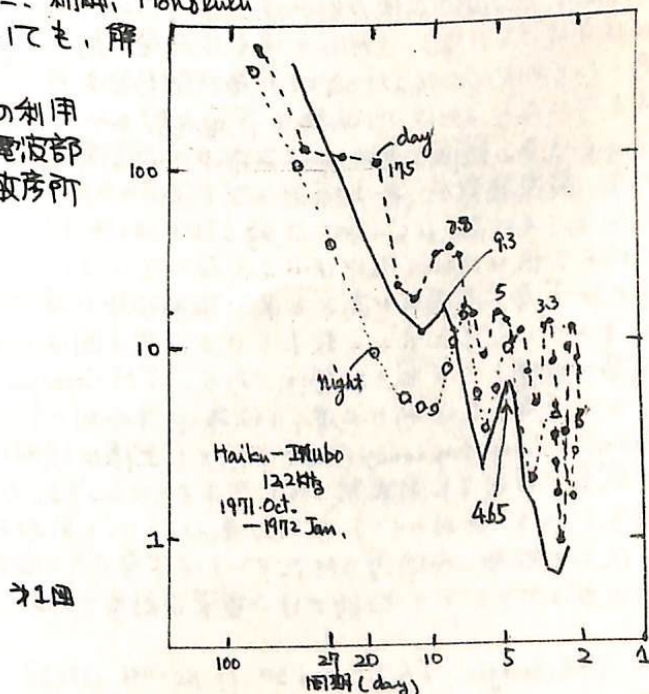


図1

# I-77 HFドップラー法による下層領域の周期変動(1)

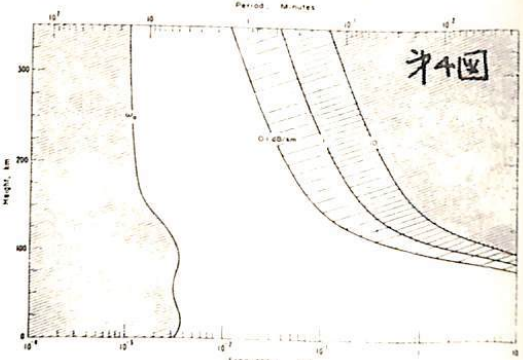
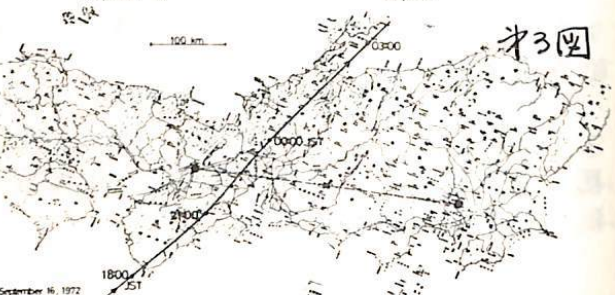
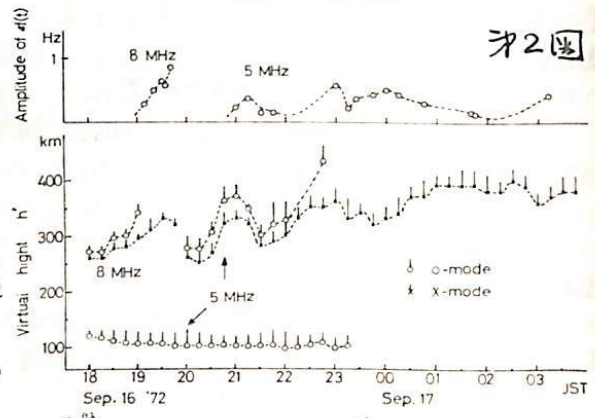
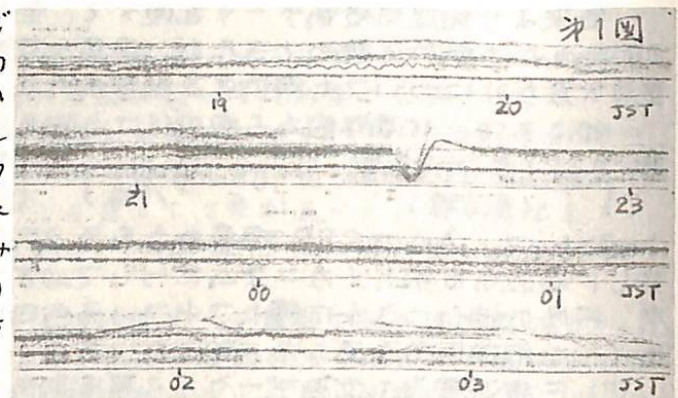
筒井 植、小川 徹  
(京都大学工学部)

短波の標準電波を用いた電離層観測で得られた下層領域の変動を見ると色々な周期のもののが存在している。筆者等は以前15~25分の周期でも、ETIDについて、他の現象との関連を調べた事により、その原因が内部重力波によるものであると報告した。今回は更に短かい周期変動(約3分)について解析を試みその原因が下層大気の擾乱(台風)であるといつ確めて興味あるデータが得られることで報告する。

第1図は1972年9月16日から17日におけるHFドップラービームのデータである。解析には受信電波のうちJJY 5MHzとJG2AE 8MHzを利用。8MHzの信号は19:00 JST頃から3分周期の変動が現れ、19:45 JSTにその振幅が最大となり、それ以後は実破壊である。5MHzの場合もほとんどのE層反射が安定しているが、20:30 JST頃から3分周期の変動がその安定した信号に重ねて現れて来る。第2図は国分寺(141°34'E)と伝送曲線から得られた電離層波の反射高さのみかけと、周期変動振幅の時間変化を表したものである。8MHzは18:00 JST以後反射高さは上昇(19:45 JSTには実破壊)である。5MHzの場合E層反射あり、にもかかわらず20:00 JST頃から下層反射も含むようになり23:15 JST以後は下層反射のみとなる。同図上部のかけた振幅の時間変化から、両層波数共、最大振幅にはある高さが決まっている。その高さは見掛けで約350kmでありそれより低い場合は振幅には小さくなっている。これは下層大気振動が高さと共に振動振幅が増加するという考え方の一例である。第3図はこの時間帯に通過した台風の経路図である。T.M. Georges<sup>(1)</sup>によると下層大気運動の上層への伝播は第4図のようにAcoustic Cutoff frequency ( $\omega_a$ )と下限とし上限は吸収による減衰で卓越する周波数は図に示すように約3分であると報告している。今回のデータもそれを表していると思われる。

以上の結果、今回得られたデータは下層大気と電離層とのカップリングを証明づける重要な結果である。

(1) T.M. Georges J.A.T.P. vol 30 pp 735-746 (1969)



# I-78 上部電離層で観測される Narrow Band Hiss

恩藤忠典 西崎良 相原和弘 永山幹敏 (郵政省電波研究所)

鹿島で受信した高さ 2,000~3,000 km で観測された Alouette 2 号の VLF 電界データを用いて、5 Hz 以下に現れるバンド中 500 Hz 以下の Narrow Band Hiss の特性について報告する。又観測されたこのヒスの中の周波数と、観測直を通る磁力線上の最小(赤道面上の)電ナジヤイの周波数,  $f_{He}$  との比較をした。

- (1) Polar Cap ( $L = 9.8 \sim 10.7$ ,  $\Lambda = 71.4^\circ \sim 72.2^\circ$ ) で観測された狭帯域ヒス,  $K_p = 2$   
 観測された中心周波数;  $f_c = 1.3 \sim 1.8$  kHz, 観測されたバンド幅;  $\Delta f \leq 400$  Hz.  
 繼続時間;  $\tau \leq 15$  sec., このヒスが観測された緯度中;  $\Delta \Lambda \sim 0.5^\circ$ .  
 $L = 9.9 \sim 10.5$  の磁力線の赤道面上では,  
 $f_{He} = 0.90 \sim 0.75$  kHz,  $\frac{5}{3}f_{He} = 1.5 \sim 1.2$  kHz ( $f_c \sim \frac{5}{3}f_{He}$ )

- (2) 極光帯 ( $L = 4.1 \sim 5.6$ ,  $\Lambda = 60.5^\circ \sim 65.0^\circ$ ) で観測された狭帯域ヒス,  $K_p = 1 \sim 2$   
 $f_c = 1.2 \sim 2.3$  kHz,  $\Delta f \leq 300$  Hz,  $\tau \leq 40$  sec,  
 $\Delta \Lambda \leq 1.7^\circ$ .  
 $L = 4.4 \sim 5.5$  の磁力線の赤道面上では  $\frac{1}{4}f_{He} = 2.6 \sim 1.3$  kHz. ( $f_c \sim \frac{1}{4}f_{He}$ )

- (3) 極光帯の  $L = 4.4 \sim 6.4$  ( $\Lambda = 61.4^\circ \sim 66.7^\circ$ ) における連続的に観測された Banded Chorus  
 $f_c = 1.8 \sim 2.0$  kHz,  $\Delta f \leq 500$  Hz,  $\tau \sim 3$  min.,  $K_p = 3$ .  
 $\Delta \Lambda \sim 5.2^\circ$ .  
 $L = 6.0$  の磁力線の赤道面上では  $\frac{1}{2}f_{He} = 1.96$  kHz ( $f_c \sim \frac{1}{2}f_{He}$ )

- (4) Plasmapause の内側 ( $L = 3.5 \sim 3.8$ ,  $\Lambda = 57.5^\circ \sim 59^\circ$ ) で観測された狭帯域ヒス  
 $f_c = 3.5 \sim 6.0$  kHz,  $\Delta f \leq 400$  Hz,  $\tau \leq 15$  sec.  $K_p = 1 \sim 2$   
 $\Delta \Lambda \leq 1.5^\circ$ .  
 $L = 3.6 \sim 3.8$  の磁力線の赤道面上では  $\frac{1}{4}f_{He} = 4.0 \sim 4.0$  kHz ( $f_c \sim \frac{1}{4}f_{He}$ )

赤道面上で予想される  $(n + \frac{1}{2})f_{He}$  の中心周波数よりも Narrow Band Hiss は Electrostatic Waves だから、一度電磁波に変換されてからでない。遠くまで伝ばし出来ない。又ホイッスラーモードで伝ばんすためには  $f < f_H(\text{local})$  の波でなければいけない。

# I-79 トリガード・エミッショニの計算機シミュレーション (III)

松本 紘・横井省吾・安田豊・木村磐根  
京都大学 工学部

## §1 目的

ASE & Whistler Mode Nonlinear Instability を説明するため、Current Sheet Model を計算機実験を行なうこと。

## §2. モデル

モデルとしては次の二つを行なった。

- ① Particle Train モデル      ② 周期モデル

## §3. 結果

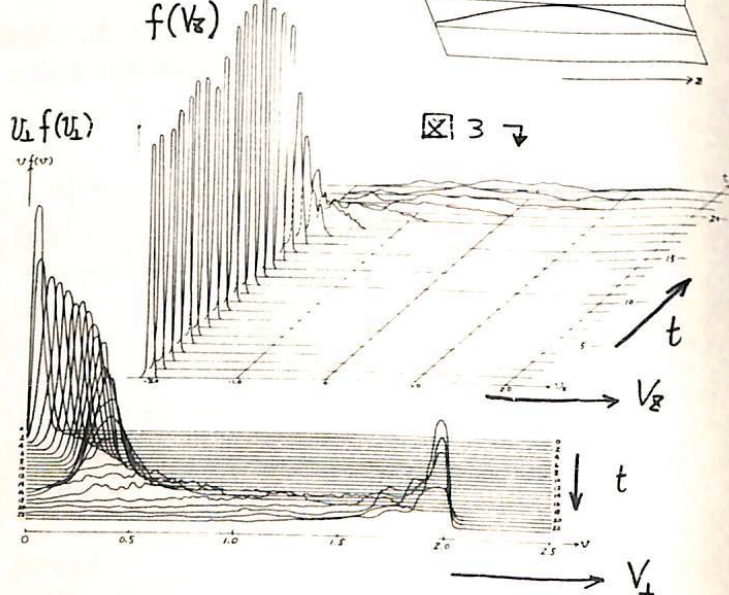
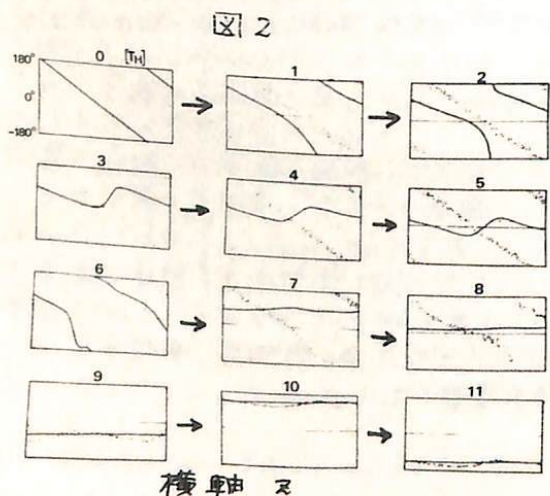
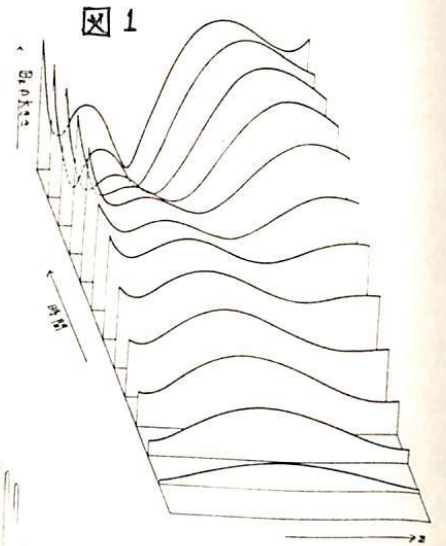
結果については、紙面の都合上、説明は省き、講演のときには報告する。

図1. Particle Train モデルによるエミッション磁界の成長。  
(周波数はトリガリング波とほぼ同じで図のように  
AM波的なスペクトルを示す。)

図2. 周期モデルによる共鳴電子の位相バンテンジの様子。  
(実線は合成電磁界の位相)

図3. 周期モデルによる共鳴電子の速度分布関数の変化。

[ $t \sim 7T_H$  程度で正方向への急加速、逆方向の急減]  
が熱化が観測されている。



## K-9M-41号ロケットによる低周波波動励起実験.

松本 紘・宮武貞夫・長尾朋・木村磐根  
(京大・工)

§1 目的 宇宙空間アラズマ中のプラズマ波の非線形相互作用の実験が実験室実験と時を同じくして最近展開されてゐる。(大家; 宮武・松本・木村; Wang et al.) 本実験は K-9M-35号実験に引き続き、電離層下層内の理想プラズマ中のプラズマ波の非線形励起の実験を行なうことである。

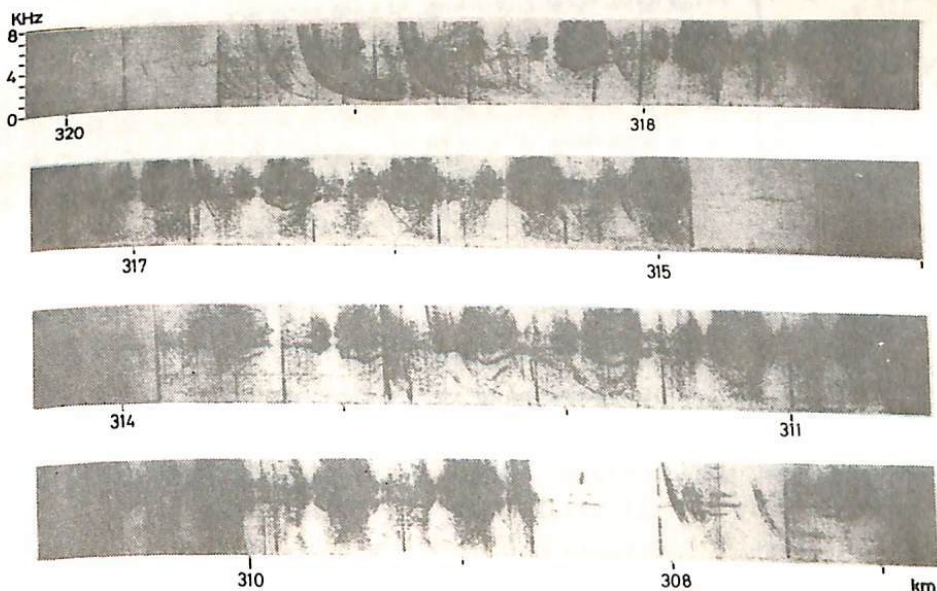
## §実験方法.

実験は親子ロケットを用いて行なわれた。子ロケットより突出されたメッシュから  $f_0 = 8\text{ MHz}$  の電子プラズマ波を励起し、親ロケットでその電子プラズマ波及び励起される二次電子プラズマ波及び低周波イオン音波を受信し、それらの波長及び周波数関係、周波数スペクトル、強度を測定する。親子連絡は  $400\text{ MHz}$  で行なう。

## §実験結果.

- $400\text{ MHz}$  の親子連絡(MDC)が故障し、電子プラズマ波の波長測定は出来なかつた。
- 電子プラズマ波の強度測定は実験期間中すべて成功した。
- 電子プラズマ波の周波数スペクトルが完全にとらえられた。
- 低周波プラズマ波の周波数スペクトルが完全にとらえられた。

特に低周波プラズマ波(多く、イオン音波)の周波数スペクトルは、VLF エミッショングループと酷似しており、discrete emissions の他 Hiss-like emissions が数多く観測された。一例を下に示す。



( PART-I )

Hiroshi OYA, Ionosphere Research Laboratory,  
Kyoto University, Kyoto.

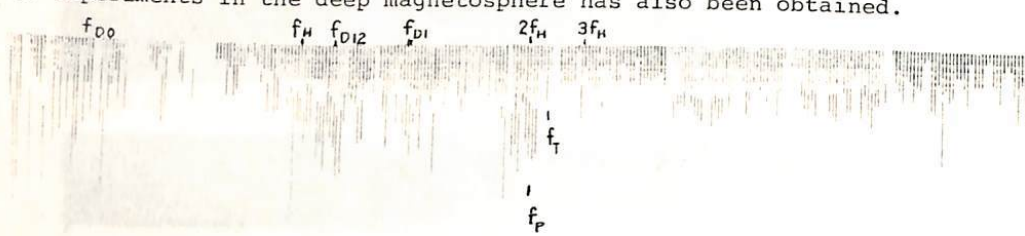
大家 意 (京都大学・工学部・電磁層)

In the ionosphere, the plasma waves (electrostatic electron cyclotron harmonic waves) have been generated by the RF pulse, with the width of  $300 \mu\text{sec}$  and repetition frequency of 32 Hz, that is impressed on the 10 m(tip to tip) antenna being installed in K-9M-41 sounding rocket; the rocket was launched on Jan. 19, 1973 at 1800 JST from Kagoshima Space Center.

A new setup of the experiment has been made using a tungsten cathode to emit the excess electrons, from the antenna surface, to remove the interruption effect of the plasma wave transmission due to negative excursion of the antenna DC potential. This electron emission system makes such an effective generation of the plasma waves that the nonlinear wave particle interaction can be observed even for the small transmission power of 40 Watt. The observed results are indicating the existence of the  $f_{D1}^{(1)}$  resonance, that is the first member of the sequence of the diffuse plasma resonance, with the other principal resonances such as the gyro resonance ( $f_H$ ), the second harmonics of the cyclotron resonance ( $2f_H$ ), the plasma resonance ( $f_P$ ) and the upper hybrid resonance ( $f_T$ ).

In a frequency range smaller than  $f_H$ , a new echo at  $f_{D0}$  frequency is identified; the  $f_{D0}$  satisfies the condition,  $\omega_{D12} - 2\pi f_{D0} - \Omega = (\vec{k}_{D12} - \vec{k}_{D0}) \cdot \vec{v}$  where  $\omega_{D12}$  is the angular frequency above the angular cyclotron frequency  $\Omega$  at which an emission has been observed;  $\vec{k}_{D12}$  and  $\vec{k}_{D0}$  are the wave number vectors for corresponding frequencies. In the other mode operation, the electrostatic electron cyclotron harmonic waves are observed at frequencies that differ from the transmitted frequency of the RF pulse. The  $f_H$ ,  $2f_H$  and  $f_{D1}$  resonances are observed in this operation mode; nonlinear wave particle interaction theory<sup>(2)</sup> to make  $f_{D1}$  resonances is confirmed again.

In addition to the scientific achievement, the technical success to make future satellite experiments in the deep magnetosphere has also been obtained.



An example of the observed plasma wave responses; the duration time and intensity are plotted with arbitrary scale versus the transmitted frequency.

- (1) Oya, H., Sequence of diffuse plasma resonances observed on Alouette 2 ionograms, J. Geophys. Res. 75, 4279-4285 (1970).
- (2) Oya, H., Verification of theory on weak turbulence relating to the sequence of diffuse plasma resonances in space, Phys. Fluids 14, 2487-2499 (1971).

卷田 和男  
東大・理

1964年9月に打ち上げられたOGO1 satelliteは地球から10Re以上も離れた、夜側の領域の電波観測を行なった。これについて、1969年にHelliswell et al.は30KHz附近にlow frequency cutがあり100KHz以上までのbroad-band emissionが見られ、地上のAEの変化とも良い対応を示していることを報告している。ここでは、この電波観測(磁場成分)のデータを用いて、主に磁気圏のSubstormsの発達過程との関連性について詳しく調べてみた。

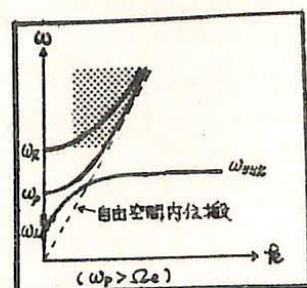
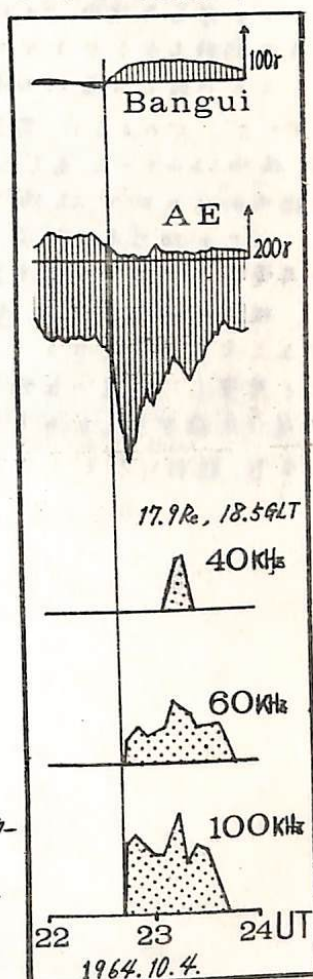
Substormのexpansion phaseがはじまるOn-Setの時刻として高輝度の sharp negative bay や AE index 及び 低輝度の positive bay を調べて決めた。極図は上から低輝度の地磁気変化と AE index である。これより On-set の時刻は 22:44 UT であると推定した。そしてこの時刻の前後に受信された emission について、40KHz, 60KHz, 100KHz の各 band を選びデータから読み取りプロットしたものと極図に示してある。これからわかるように地上で求めた On-set の時刻とほとんどの同時に 60KHz 帯以上の emission が受信される。しかし 40KHz 帯の方のは少し遅れて受信される。

ところでこのようないmissionは Satellite が地球より 10~20 Re 離れた  
タオから夜半側にかけての領域にある時に観察される。おそれ  
< Substorm or expansion phase 時に真夜半附近で生成された加速粒子  
によって引き起こされた emission であると考えることは自然で  
あり、多くの例からさきの推定が支持される。但し地上で地磁気  
が静かであっても emission が見られる場合がいくつもあり、  
磁気圏の現象と地上附近の現象とがきちんと結びつけていよい  
くは今後に残された問題である。

地球から  $10Re$  以上と離れた地帯に於いて数十KHzの電波が観測される」ということから、この電波は地球近傍でよく観測されるホイブルードの波ではなく、自由空間内電波に近いもので右図下の分散関係に相当する電波である。この領域の電波についての発生機構としては木星の Decameter 波の origin と同じような問題として考えられる。大家氏は Decameter 波の origin として plasma wave が mode conversion により electro-magnetic wave に接っていく可能性を指摘しているが磁気圏内に於いてもこのような emission 式存在することは予想される。今後 mode conversion に必要な接近可能な条件 (accessibility) 及び Upper hybrid frequency 附近の波の励起とのとの併せても考えていただきたい。

#### (参考文献)

- 1) T. Iijima Planet Space Sci 20, 1095, 1972  
 2) H. Oya アンナ・伝播研究会資料 P71 (1971-09)



津田孝夫<sup>著</sup> 深尾昌一郎<sup>監修</sup> 鶴飼正行<sup>校査</sup>  
 \*北大工 京大工 横浜大工

磁気エネルギーの、プラズマエネルギーへの変換機構は、宇宙空間における爆発現象に関連して研究されてきたが、非常に高い導電率のために種々の問題が生じてきておりようと思われる。例えば、Petalesh (1964), Yeh & Axford (1970) が解析した、いわゆる Sweet medium の定常解に対して、爆発現象が適用された場合、diffusion region の巾が不自然に小さくなるから、初期値問題として考えた場合、どのような形狀に発展しうるか、又たとえ発展しえたとしても、やはり時間持続しうるかどうか鏡向のようになると思われる。

この内題の本質的特徴は、磁場エネルギーが、いかにして蓄えうるか、又蓄えられたエネルギーが、どのように散逸されるかを考え合わせることにある。導電率が高いといふことは、磁場エネルギーを蓄えるといふ点につりては、有利である。東界問題として、ほゞ反平行磁場形状の形で磁場エネルギーが蓄えられていくのが観測される。

以上の様な点を考慮して、我々は、まず反平行磁場を想定し、この形狀で、(非常に高い導電率にもかかわらず) いかにして、急激に崩れていいくかについて議論したい。

磁気中性面近傍に、急激に強い圧縮がおこなわれた場合、磁力線の再結合が、急激に生じることが期待される。このような圧縮を与えるものとして、nonlinear magnetosonic waves について考察し、仕事の圧縮率を与えた場合、その性質について検討する。次に磁気中性面近傍に強い圧縮が与えられた時、いかに磁力線の再結合が生じるかといふ点について議論する。また、取扱い方としては、非線形性を極端化して考え、超微数を導入する。

津田秀夫・浮庭昌一郎・庄司敏治

\* 北大工学部 東京大工学部  
\*\*\* " (現在、更艺)



	131.1	131.2
2) 電子の極速度	71	21
2) 付与電子の相対速度	72	20
3) $\pi^-$ 面積中 $\eta$ 口以降数	290	25
4) (電気化度) / (石墨の電気化度) 等方)	0.02	0.10
5) (電界の乱れ) / noise	40	13
6) (磁場の乱れ) $\times$ (極速度) / (電界的乱れ)	7.0	1.6
7) $\mu$ リバーブ値、9 厚さ	23	15
8) 1.91629 - 7.922169 - 9 誤差	0.0003	0.001
9) 領域外に流入する 2.3169 -	2.3	0.33
10) 領域内に流入する 2.3169 -	2.4	0.33

ま 算結果 (単位の23.69×10<sup>-2</sup>  
arbitrary scale)

## — PART IV — The plasma flow in tail region

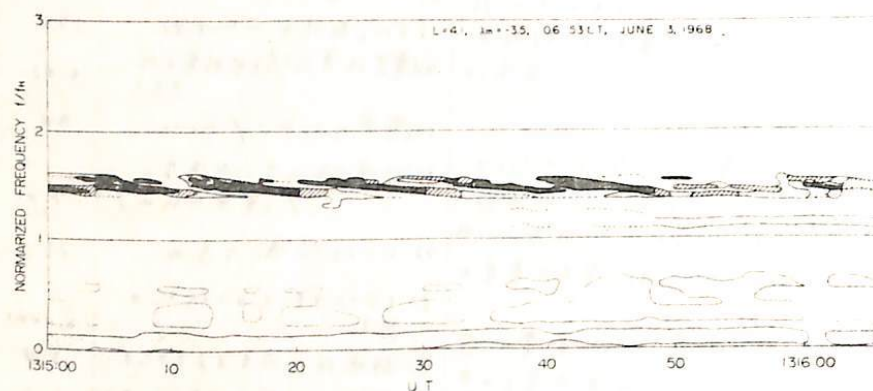
AB-1

Hiroshi OYA, Ionosphere Research Laboratory,  
Kyoto University, Kyoto.

大 家 章 (京都大学工学部)

The OGO-5 VLF emission data obtained by a short dipole antenna for the observation of the electric field are indicating a peculiar frequency dispersion near at  $1.5\Omega$ , where  $\Omega$  is the angular cyclotron frequency, on the inbound path near at the dawn side of the plasma sheet in a region outside of the plasma pause. The frequency shift can not be interpreted in terms of the propagation of the electrostatic electron cyclotron harmonic waves. The hypothesis of the propagating turbulent area is also impossible to take as an origin of the frequency dispersion, since the instabilities are fixed on the plasma frame.

It is confirmed that a plasma stream should exist in the region outside the plasma pause. The obtained value of the flow speed from the Doppler shift, is indicating tremendously high values in a speed range from 200 km/s to 500 km/s. Though available result is only one case of June 3, 1968, for the present time, the result is selfconsistently indicating that the plasma flow is entering from flank region of the magnetospheric boundary. The solar wind may be blowing through the neutral sheet even though the speed may be slowed down into a range  $1/2 - 1/4$  to the original speed in the interplanetary media. This flow is generally directed in the direction of the magnetic field. No large scale electric field, then, is able to exist. The convection region may be produced near the plasma pause being restricted in a area inside the high speed plasma flow.



An example of the VLF electric field spectrum observed by OGO-5 satellite; the frequency shifts are indicating the Doppler frequency shift due to the plasma flow.

Hiroshi OYA, Ionosphere Research Laboratory,  
Kyoto University, Kyoto

大 家 寛 (京都大学・工学部)

The conversion mechanism of the plasma waves into the extraordinary electromagnetic waves has been presented in Part-I (1972 a). The conversion of the energy from the extraordinary to the ordinary mode (escaping mode to the interplanetary space) has been obtained for the plasma conditions  $\omega_p/\Omega > 1$ , where  $\omega_p$  and  $\Omega$  are the angular plasma frequency and the angular electron cyclotron frequency, respectively, in Part-II (1972b). In the present paper, the calculation of the energy conversion rate from the extraordinary mode waves to the escape mode waves has been made for the exact condition of the Jovian plasmasphere. The results are indicating, that a large conversion rate,  $10^{-2} \sim 10^{-1}$  can also be obtained for  $\omega_p/\Omega = 0.2$  (this is a typical Jovian plasma condition).

The inhomogeneity of the magnetic field has not significant effect on the conversion of the energy to the escape mode waves while the main contribution of the conversion is taking place at the layer where  $\omega = \omega_p$ . The numerical results are also indicating that the pencil beam effects can be observed for the Jovian plasma conditions. The emission region for the earth's observation is restricted in a small area with the size less than 3600 Km.

Since the escape mode is the ordinary mode waves, two cases of the possible restriction to the configuration of Jovian magnetic field are able to be considered. One is the possibility that the dipole axis of the magnetic field is anti-parallel to the Jovian rotation axis; the offset of the dipole center is, then, directed to the same way as the Warwick's proposal. The other possibility is that the dipole axis of the magnetic field is directed in parallel to the Jovian rotation axis but the dipole center offset is made in the north-ward direction, i.e., the dipole offset is in opposite direction being compared with Warwick's configuration.

Oya, H., Jovian magnetosphere and radio emission -Part I, Abstract of 51 Meeting, Society of J.G.G., P.27 (1972).

Oya, H., Origin of the Jupiter decameter waves emission -Part II, Abstract of 52 Meeting Society of J.G.G., P.105 (1972).

牧野行雄 広野求和  
九大物理系

下部電離圏に存在する流星金属元素の、中高緯度での分布についてと、季節的変動について考察する。

$\text{Na}$ ,  $\text{Fe}$ ,  $\text{Mg}$  などの流星金属元素の分布を決める要素として、前の論文で示したように、①宇宙塵の流入、蒸発による供給、さらに、100 km以上の高さでは、ほとんど電離した状態にあると予想されるので、②太陽大循環の zonal component によるイオニア垂直ドリフト運動、Chimneys Axialon の cork-screw 効果による下降運動。そして③80 km以下での中性原子の酸化などによる他の化合物への転化、沈降が考えられる。今回、さらに、④越極 meridional wind によって運ばれると予想されるイオンと、上方拡散項と一緒に計算を進めてみる。

金属元素の原子とものと、 $M$  とし、その酸化物、それらの一電子種したもののが数密度の総和を  $n$  とする ( $n = [\text{M}] + [\text{MO}] + [\text{MO}_2] + [\text{M}^+] + [\text{MO}^+] + [\text{MO}_2^+]$ ) と、通常では、

$$\frac{\partial}{\partial h} \left\{ -\frac{D}{H_a} n - D \frac{\partial n}{\partial h} + V(h) \theta(h) n \right\} = g(h)$$

となる。 $\therefore$  ここで、 $h$ : 高さ,  $H_a$ : 大気の scale-height ( $\sim 6 \text{ km}$ ),

$D$ : 滴抜散係数,  $\theta(h) \cdot n$ : イオニア密度,

$V(h)$ : イオニア垂直ドリフト運動速度

$g(h)$ : 金属元素生成量。

宇宙塵が大気分子と衝突、加熱され、蒸発したものと 1/2

$$g(h) = \begin{cases} g_0 \exp \{ -(h-102 \text{ km})/H_a \} & : 100 < h < 102 \text{ km} \\ 0 & : \text{それ以外の高さ} \end{cases}$$

の分布をもつものとする。

zonal wind と cork-screw 効果による垂直ドリフト速度の一例と 1/2

$$V(h) = \begin{cases} V_0 \exp \{ -2(h-105 \text{ km})/H_a \} & : h > 105 \text{ km} \\ V_0 = V_1 \exp (+) & : 100 < h < 105 \text{ km} \\ V_1 \exp \{ +2(h-88 \text{ km})/H_a \} & : 88 < h < 100 \text{ km} \\ 0 & : h < 88 \text{ km} \end{cases}$$

五用い  $V$  は一般に、冬期は下降、夏期は上昇の傾向を生じる。

電離度  $\theta(h)$  と 1/2 は

$$\theta(h) = \begin{cases} 1 & : h > 100 \text{ km} \\ 1 + \exp (-+) - \exp \{ 2(85 \text{ km} - h)/H_a \} & : 85 < h < 100 \text{ km} \\ 0 & : h < 85 \text{ km} \end{cases}$$

五用いて計算すう。

大 塩 光 夫  
電 波 研 究 所

1972年8月上旬に頻繁に見られる巨大な太陽爆発が連続的に生起した。太陽X線領域に於いても、人工衛星 SOLRAD 10-Explorer 44 が X 線 ( $\lambda = 0.5-3, 1-5, 1-8, 8-20 \text{ Å}$ ) フレアを観測した(Iowa大学の Explorer 35,  $\lambda = 2-12 \text{ Å}$  は未発表)。輻射強度  $F_m(1-8 \text{ Å}, t_m) \geq 10^4 \text{ erg cm}^{-2} \text{ s}^{-1}$  が大フレアとされるならば、2日に2つ、4日に1つ、及び7日に1つ生起した(11日にもある様であるが不明)。2日のオーネーのフレアの直前の静磁場を  $F(1-8 \text{ Å}, t) > 10^3 \text{ erg cm}^{-2} \text{ s}^{-1}$  でみつて、中規模のフレアの  $F_m$  の大きさを有する。この巨大フレアの直前の値は、日を遡ると、7月 25~26日(7月の観測は SOLRAD 9-Explorer 37)に極小値 ( $\approx 2 \times 10^4 \text{ erg cm}^{-2} \text{ s}^{-1}$ ) を有する。従ってこの時から X 線に関して太陽面は擾乱状態に入つたと見做されるであろう。7月 25~26日から 8月 2 日迄に一つの極大値(及び中規模のフレア)(7月 28日)を有するが、この時期は前述の四大フレアが生起した plage 領域(McMath No. 11976)の太陽面出現の時であった。当該領域の太陽面中央子午線通過時には、4日の巨大フレアが生起している。

これらの太陽X線フレアに応じて、電離層突然擾乱は電波研究に於いて検出し得る電波的手段の何れにも生起している。但し7日のそれは、日本が夜間にちかうとしているので、現象自体としては小さい。

これら4フレアの輻射強度最大値は、検出器の測定上限を何れも越えているので、この値は推定によくねばならぬ。比較的取り扱いに困難の少い SPA( $\Delta\phi$ ) と增加輻射強度( $\Delta F$ )との関連は、伝播距離(1Mm)及び代表的太陽天頂角( $\bar{x}=0^\circ$ )で規格化された SPA と  $\Delta\phi$  と  $\Delta F$  の関連に於いて、 $\Delta F(1-8 \text{ Å}) < 2 \times 10^4 \text{ erg cm}^{-2} \text{ s}^{-1}$  の範囲で把握されてはあるが、これが外挿値として推定される値は、特に4日の場合  $F_m(1-8 \text{ Å}, t_m) \approx 10^6 \text{ erg cm}^{-2} \text{ s}^{-1}$  或るはそれ以上であったかもしれない。考えられる。この値は1969年6月5日の陽子フレア強化観測中最大のものを凌駕すると想われる(この場合にも検出器は飽和していた)。

4日及び7日のevents では  $F(0.5-3 \text{ Å})$  が異常に大きかった事は  $> 7 \times 10^2$  及び  $> 8 \times 10^2 \text{ erg cm}^{-2} \text{ s}^{-1}$  も特徴である。これらの巨大フレアの代表的推定値として、 $\Delta F_m(8-20 \text{ Å}, t_m) = 10^4$ ,  $\Delta F_m(1-8 \text{ Å}, t_m) = 10^6$ , 及び  $\Delta F_m(0.5-3 \text{ Å}, t_m) = 10^7 \text{ erg cm}^{-2} \text{ s}^{-1}$  が採用され、これに対応する定常状態の増加電子密度  $\Delta N_{ee}$  が算出される(  $\Delta F_m$  が大きい程、最大値が尖鋭でも  $\Delta N_m / \Delta N_{ee}$  は1に近づくから、この場合充分良好な近似であろう)。高度約 50~120 km に於いて静撃電子密度を  $\Delta N_{ee}$  は凌駕する。 $\Delta F_m(0.5-3 \text{ Å}, t_m) = 10^7 \text{ erg cm}^{-2} \text{ s}^{-1}$  は大きな影響を齎さない。

太陽フレアの地磁気効果 G.S.F.E. は2日の最初のもの(H=37, D=38)以外は、続行する擾乱に覆われて見出されなかつた(地磁気観、永井氏との私信)。

太陽硬X線( $\lambda = 0.5-1 \text{ Å}$ )及びオゾン( $0.025 \sim 0.0020 \text{ Å}$ , O50-7, E.L.Crapp et al.)領域にも大きな輻射強度  $F$  の増加を齎し、上記の軟X線領域の異常に大きな増加から、遠紫外線(100~1900 Å)領域にも亦大きな下の増加が充分に推察される。例えば He II, 304, Fe XV, 284, Fe XVI, 335, 及び H I La, 1215.7 Å の  $F$  が如何程増加してゐるか、関心が持たれるが情報を得てゐない(從来 H I La の最大の増加は 25%, 1966年8月28日, McClinton, Jr., と想われる)。

京都大学理学部 前田 坦

電離層風によるダイナモ理論は多くの場合、南北両半球で対称として取扱われた。

しかし、たとえ Equinox といえども、両半球の風系が異るかもしれないし、また Solstice には電子密度分布、それ故電気伝導度分布も異るものと考えられ、その結果、それぞれの半球の電流・電場分布が赤道に対して非対称となって、磁力線に沿う電流が流れることになる。このことは Dourgherty (1963) が最初に指摘し、大まかはな方法で  $J_{\parallel} \approx 2 \times 10^{-11} \text{ amp/cm}^2$  と推定した。そして間もなく Maeda, K and Murata (1965) は簡単な非対称ダイナモを解いて、 $J_{\parallel} = 4.41 \times 10^{-5} \sin(90 - \sin(\varphi + 23^\circ)) \text{ amp/cm}^2$  の値を得た。その後、Van Sabben (1966), Mishkin (1968), Cocks & Price (1969), Steenings (1969), Matveev (1971) などのが種々な方法で求めた結果は何か  $J_{\parallel} = 10^{-12} \text{ amp/cm}^2$  のオーダーとすんだ。この問題は磁気圏の構造に因連して大切と考えられて、今まで多くの現象に近いモデルに基づいて再検討した。

一般的な取扱いは 3 次元ダイナモ理論として大へん難しいので、ここでは Matveev の取扱いに準じて、 $\operatorname{div} \vec{J} = 0$  を高さ方向に、電離層電場の垂直成分まで積分して得られた近似式  $\vec{j}_r = -\operatorname{div} \vec{J}_{\perp}$  による。これから磁場の伏角工の所で、 $J_{\parallel} (= j_r \sin \varphi)$  が求まる。2 次元ダイナモ電流  $\vec{J}_{\perp} = [K^S] (\vec{E} + \vec{E}_d)$  であるが、 $[K]$  と  $\vec{E}_d$  それ故  $\vec{E}$  は対称項と非対称項（赤道に対して）だからなるべく、 $\vec{J}_{\perp} = \vec{J}^S + \vec{J}^A$  とおく。また  $E^A \ll E^S$  と考えられて

$$\begin{aligned}\vec{J}^S &\approx [K^S] (E_d^S + E^S) + [K^A] (E_d^A) \\ \vec{J}^A &\approx [K^A] (E_d^A + E^S) + [K^S] (E_d^A)\end{aligned}$$

$\operatorname{div} \vec{J}^S = 0$  だから、この解について  $E^S$  が求められ、これを用いて  $\operatorname{div} \vec{J} = \operatorname{div} \vec{J}^A$  が計算される  $J_{\parallel}$  が求まる。 $\vec{J}^A$  の非対称性、 $[K]$  ものが非対称、双方非対称の 3つを取扱った。

川平浩＝山元龍三郎  
(京大・理)

冬季電離圏収束帯域の拡がりについては、これまでいくつかの研究がなされて来てゐる(Thomas 1961, 斎藤・倉持 1969, 川平 1970)。その結果は、数1000 kmのスケールを有するとしてさしていはずが、その詳細な構造や振舞については不明の点が多い。今回は、この大規模擾乱の構造を解明するため、観測網の比較的密なヨーロッパ付近に見えた擾乱の時間変化について述べる。

ヨーロッパ付近における25門の観測点の  $f_{min}$  を、地方時 11, 12, 13 時の平均値と 12 時の  $A_p$  中央値の差を取め、とのとの差を  $\Delta f_{min}$  として、等高線図で示した。

期間は電離圏擾乱の比較的発達した、1968年1月5日より1月10日にかけて採用を行なった(図1)。

この結果の一例を図1(a), (b), (c) に示した。単位は  $0.1 \text{ MHz}$  である。

図1(a)によると、+10 以上の領域が(だいぶ拡がり)、かつ極大域が西ヨーロッパ付近で +10 以上となる。又、+5 以上の領域については、南北の幅が 3000 km 以上、東西の幅が 3000 ~ 4000 km 以上に広がっており、吸收帯域の拡がりにつれて、これが拡大を示すと思われる。

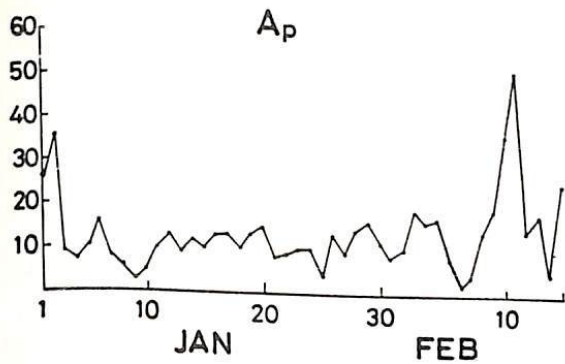


図1(a)  $A_p$  index の変化  
1968

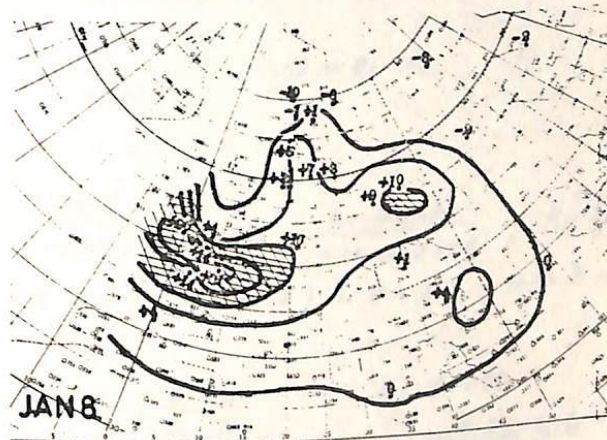


図1(b) 1月8日

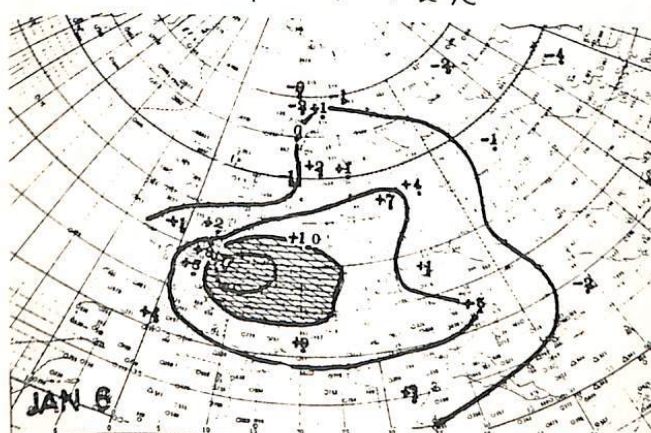


図1(c)  $\Delta f_{min}$  に基づく等高線図  
単位  $0.1 \text{ MHz}$ . 1968年1月6日

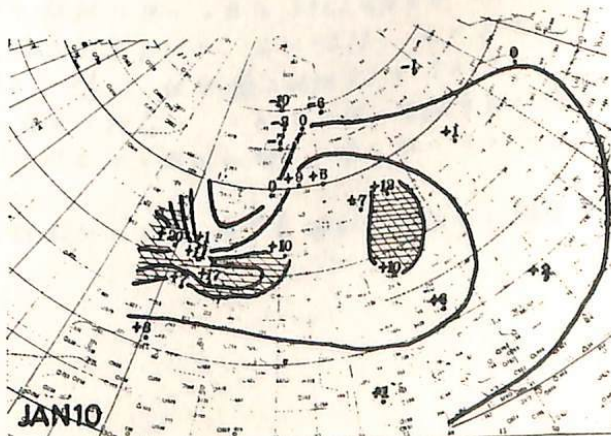


図1(d) 1月10日

T. Horiuchi & S. Kato

Ionosphere Research Laboratory, Kyoto University

We investigate the effect of Ampere force on the tidal wave transmission through the ionized atmosphere with realistic distributions of atmospheric density, Rayleigh friction coefficient, and the electric tensor conductivity under the presence of oblique geomagnetic field. The full wave equation based on our models is considerably complex in comparison with the case of either neutral or uniformly conductive atmosphere. We used the Haming's predictor corrector method for this ordinary differential equation with variable coefficients. The calculation shows that there is only little effect of Ampere force. But note that the presence of the Hall conductivity causes a drift effect both in the vertical and horizontal directions. The polarized electric field is much smaller in magnitude than induction field in our models.

京大理 荒木 徹

磁気嵐の際に中高緯度で下部電離層が変化するとは主として VLF と LF の電波を使い、AL 觀測で明らかにされてきた（例えば Belrose and Thomas 1968; JATP）が、低緯度下部電離層の変動の有無についてはまだ報告はない。

著者等はオーストラリア→宇治ワラルF標準電波(NWC 22.3kHz)観測より、大気電離層の変動の生じ時にその位相が遅れることがありと見出し、第45回学会で報告した。当時ニコラ位相輝山は下部電離層実効反射高の上昇に対応すると述べたが、夜間の地球-電離層間導波管波に少くとも 2つのモード波が存在する（Cronbie, 1964; J. Res. NBS），および赤道越え伝播経路には経路に沿って伝播定数（位相速度、減衰率）の不均一がある（Lynn, 1970; JATP, Araki, 1973; JATP）のことを考慮に入れた上で上の解説を加えた。

いま、導波管波にモード波  $E_{01} \sin(\omega t + \theta_1)$  とモード波  $E_{02} \sin(\omega t + \theta_2)$  の 2つあるとするときそれらの合成波  $E$  は下のように表わせよ。

$$E = E_0 \sin(\omega t + \theta) \quad \left\{ \begin{array}{l} E_0 = \sqrt{E_{01}^2 + E_{02}^2 + 2E_{01}E_{02} \cos(\Delta\theta)} \frac{1}{2}, \quad \theta = \theta_1 + \alpha \\ \tan \alpha = \frac{E_{01} \sin(\Delta\theta)}{E_{01} + E_{02} \cos(\Delta\theta)}, \quad \Delta\theta = \theta_2 - \theta_1 \end{array} \right.$$

振幅  $E_{01}$ ,  $E_{02}$  が時間的に一定だと仮定すると上の式から

$$\frac{d\theta}{dt} = A_1 \frac{d\theta_1}{dt} + A_2 \frac{d\theta_2}{dt}, \quad \left( A_1 = \frac{1+R \cos(\Delta\theta)}{1+2R \cos(\Delta\theta)+R^2}, \quad A_2 = \frac{R+\cos(\Delta\theta)}{1+2R \cos(\Delta\theta)+R^2}, \quad R = \frac{E_{02}}{E_{01}} \right)$$

伝播経路に沿って 2つのモードの位相速度  $V_m$ ,  $V_m$  が変化すると位相差  $\Delta\theta$  は次式のようにある。

$$\Delta\theta = 2\pi \int_0^X \frac{dx}{V(x)} + \arg\left(\frac{A_2}{A_1}\right) \quad \left( V(x) = f \frac{V_{m1} V_{m2}}{V_{m2} - V_{m1}}, \quad f: 回波数, \quad A: excitation factor \right)$$

NWC-日本の経路で観測された且変化異常の解説に用いられた  $D(x)$  の分布 (Araki, 1973) によるとも併せて変化の初期に近づく  $A_1$ ,  $A_2$  を計算すると  $A_1 = -0.19$ ,  $A_2 = 1.19$  となる。  $\frac{d\theta}{dt}$  が  $\frac{d\theta_2}{dt}$  より 1倍以上大きくなるほど  $\frac{d\theta}{dt}$  はほぼ  $\frac{d\theta_2}{dt}$  に比例すると考へてよい。

したがって観測された位相の進みは  $\theta_2$  の進みに対応しこれは一般に電離層高の増加に対応するから総論としては 1つのモード波だけで考えた場合と全く同じである。

なお、電波研究所の御好意により大気電波観測所の VLF 標準電波記録を調べた機会に恵まれたのでその結果についても述べる。

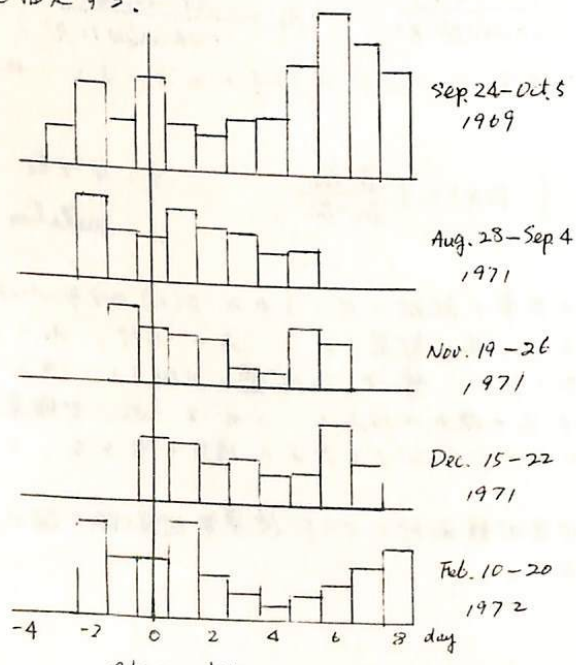
I-93 Tweek の伝搬特性から推定した磁気嵐時の  
下部電離層

上山 弘 森岡 昭 荒木 喬  
東北大学 理学部

Tweek は下部電離層一地表間を導波管モード伝搬する空窓である。これを受信し Tweek の伝搬特性の変化を解析することにより下部電離層を探測することは可能である。今回、特に磁気嵐時の Tweek の伝搬特性から下部電離層の乱れについて議論する。

第1図は磁気嵐急始の日を storm time 0 とし、その前後の日ににおける夜間 Tweek 受信個数（遠刈田観測所、18h LT ~ 06h LT、毎時1分間の受信個数の総和）を示す。Tweek の受信個数は磁気嵐急始後 2 ~ 3 日に極小となることが解る。このことは地磁気擾乱時の夜間下部電離層は静穏日に比べて電子密度を増し、VL F帯電波の吸収が大きくなる為、相対的に Tweek の受信個数が減少したと解釈できる。即ち地磁気擾乱に伴い夜間下部電離層において何らかの電離源が存在することが推定される。従来、中高緯度 ( $\lambda \geq 50^\circ$ ) においては磁気嵐時に VL F帯電波の伝播異常が指摘されその電離増大の機構として、高エネルギー粒子の侵入あるいは大気の組成変化として議論されて来た。今回の解析で遠刈田観測所 ( $\lambda = 24.5^\circ$ ) においても磁気嵐効果として Tweek 伝播異常が見出されたといふ事実は、低緯度における磁気擾乱時夜間下部電離層に何らかの電離源が作用することを示す。

更に地磁気擾乱時と静穏時の Tweek のスペクトラムを比較することにより相対的吸収量の違いが求まる。この結果と下部電離層を静穏時に同一層モデル、擾乱時に二層モデルとして計算した導波管モード伝搬による吸収量とを比較し、下部電離層の構造を推定する。



第1図

加倉幸雄 石井陽介雄 朝倉敏彦 寺島良子  
電波研究所

太陽プロトンフレアによつて極冠擾乱 (PCA) が発生すづか、これは高緯度地  
方の現象なので、放電が観測する方法は分からぬ。電波研究所大気電波観測所では 196  
9 年以降にシーケンスデーターを用いて NAA - 17, 8 MHz, TBR - 16, 0 MHz など、  
極域を伝搬する VLF 電波の位相、強度を連續記録を行い、NAA が PCA の高感度  
detector であることを示した。IASY 期間 (1969-71) 中に検出された PCPA  
(Polar Cap phase Anomaly) 体積に示すと 41 事件、其中 5 はすべて人工衛  
星 IMP - F, - G の観測による太陽プロトン現象と一致す。PCA によつてプロトン  
ラッシュの検出下  $P_p$  は  $F_c > 10 \text{ MeV}$  ) =  $0.7 \text{ cm}^{-2} \text{ sec}^{-1} \text{ ster}^{-1}$  であつた。

Polar Cap Disturbances detected on the Phase of NAA signal (PCPA's)  
and associated Solar Flares, Proton Events during  
the IASY, 1969 - 1971

Year	Mon.	Solar Flare		Polar Cap Phase Anomaly						Proton Event ( $E_p > 10 \text{ Mev}$ )					
		Maximum		Onset		Maximum		$\Delta\phi$	Dur.	Onset		Maximum		Flux	Dur.
		Day	Time	Day	Time	Day	Time			Day	Time	Day	Time		
1969	Mar. 12	1744	12	1923	12	2042	1923.3	4.3	4.3	12	20	12	22	2.5	3
	Mar. 27	1341		30	0506	30	2030	217.9	11.9D	30	4	30	18	0.5	14
	Apr. 10	0414	11	0137	13	0906	413.4	17.8	10	19	13	3	1375.0	18	
	Jun. 5	1007	7	2030	8	1400	100.0	2.2	7	21			ATS-1	3	
	Sep. 25	0736	25	0751	25	1233	158.3	1.6	25	9	25	12	15.2	5	
	Sep. 27	0357	27	0505	29	0538	185.9	4.7	27	10	28	3	11.3	5	
	Nov. 2	0939	2	1034	2	1453	403.7	7.5	2	10	2	14	1317.0	8	
	Nov. 24	0922	24	1016	24	1720	131.4	4.8	24	10	24	17	3.8	4	
	Dec. 18	1603	18	2003	18	121.8	1.3	18	17	18	20		1.1	4	
	Dec. 20	0000	20	0952	20	0952	157.8	2.0	20	0	20	4	8.9	4	
1970	Dec. 30	2004	30	2145	31	2036	128.2	2.0	30	22	31	8	1.4	2	
	Jan. 28	1458	29	0148	29	160.2	1.0D	28	15	29	0		1.0	2	
	Jan. 29	1355	30	0153	29	192.3	2.1	29	13	30	0		4.7	3	
	Jan. 31	1535	31	1630	31	2027	314.0	3.3	31	17	Feb 1	0	24.5	5	
	Mar. 6	1434	7	2318	30	304.0	4.7	6	15	8	3	93.7	5		
	Mar. 12	0717	12	1048	12	1328	118.6	0.8	12	12	12	18	1.0	1	
	Mar. 29	0046	29	0148	29	1718	198.7	7.0	29	2	29	19	66.0	9	
	May 5	0415	6	0928	6	0928	115.4	3.6	5	5	5	15	0.7	5	
	May 30	0338	30	0804	30	1824	131.4	2.0	30	6	30	21	19.2	3	
	Jun. 25	1838	25	2222	26	1823	160.2	2.9	26	0	26	22	1.2	3	
1971	Jul. 6	2140	6	2300	7	0103	57.7	0.8D	6	23	7	1	0.7	4	
	Jul. 7	1659	7	1808	8	0021	147.4	1.6	7	18	7	21	5.6	4	
	Jul. 21	1042	21	2110	21	76.9	2.5D	21	11	21	21		0.8	9	
	Jul. 23	1843	23	2136	24	0455	201.9	4.9	23	20	25	1	206.0	9	
	Nov. 5	0330	5	0538	7	0900	224.3	8.9	5	6	6	2	42.3	8	
	Nov. 23	1408	23	1908	23	1908	128.2	1.5	23	14	23	21	1.7	3	
	Dec. 12	0004	12	0454	14	0918	176.9	4.4	12	5	13	16	1.8	4	
	Dec. 24	0750	24	2017	24	173.0	11.8	24	8	24	22		5.3	12	
	Jan. 24	2331	24	2338	25	1027	275.5	7.9	25	0	25	14	1152.0	8	
	Apr. 1	1351	1	1750	2	0601	141.6	3.0	1	23	2	6	2.4	2	
1972	Apr. 6	0944	6	1006	6	1904	207.0	3.5	6	11	6	18	51.4	4	
	Apr. 20	1946	20	2113	20	2352	96.1	1.6	20	20	21	8	2.7	1.5	
	Apr. 22	1103	22	1650	22	115.3	2.0	22	13	22	17		1.9	1	
	May 12	0203	12	0409	12	0713	64.1	1.2	12	7	12	7	0.8		
	May 14	1426	14	1723	15	0730	67.3	1.1	14	17	15	1	1.3	7	
	May 16	1319	16	1350	17	0644	121.8	3.3	16	14	16	23	12.5		
	Sep. 1	2032	2	0741	2	217.9	7.5	1	21	2	8	352.0	7		
	Oct. 3	1351	3	2120	5	0518	102.5	2.7	3	17	4	14	3.6	4	
	Nov. 24	0435	25	1302	108.9	2.3	24	5	25	16		1.5	2		
	Dec. 15	1750	17	0657	183.7	10.1	14	5	17	12	6.2		(11)		
	Dec. 29	2315	29	2334	30	0333	141.0	1.3	29	30	5		ATS-1		

U : Protons/cm<sup>-2</sup> sec<sup>-1</sup> ster<sup>-1</sup>

I-95 ソフト エレクトロンによる不極地方 上部電離層  
生成の可能性について II

佐藤光輝夫  
兵庫医大・物理

前回では、冬季不極地方 上部電離層の電子密度増加地帯における N-h 分布の諸度変化を示し、直向側では、密度増加最大地帯で N-h 分布に対する scale height が最大であり、(noon meridian で 大体  $41 \sim 80^{\circ}$  MLT)、又は(1) 不極向、赤道方向に直角次へとすると時刻にして。又、冬季極地方上部電離層の存在、及び電子密度増加が入射するソフトエレクトロン(低エネルギー エレクトロン)の大気電離率に原因して  $50 - 10000$  eV の入射電子に対する大気中の ion-pair 生成率は 4 種の energy spectrum の場合に対する計算した。

今回も 電子の生成、消滅; diffusion の如きを考慮に入れて、通常状態における連続方程式をとる。式中の電子生滅率にて前回の計算結果と今回追加的計算した値を用い、消滅係数としては三種の effective recombination 係数を用いた。これら両者の 高さ分布 ( $200 \sim 2500$  km) は、diffusion 係数式と同じ type の近似式に従つてあらわして、又、大気温度は直線的に増加するとした。

連続式の解にあたつては、大気層を二つに分け、一つは約  $300$  km から  $200$  km まで、他は約  $300$  km から  $2500$  km とし、前者では diffusion (ambipolar) 項が、後者では 消滅項が無視されるものと考えた。これら二層に対する大気の解と、或高さ (F 層 peak) において、 $N$ ,  $dN/dh$  が夫々等しいという条件のもとでつねりた。尚この場合 F-peak の高さが  $300$  km を上、下 120 km を無視した。

計算した N-h 分布と実際観測した N-h 分布を比較して結果、観測より求めた N-h 分布の諸度変化は、入射する低エネルギー粒子の energy spectrum によってはなく、中性大気粒子分布の諸度変化を同時に考慮すれば説明がえられる。

比較的低エネルギーの電子落下  
による下工層の生成

上山弘

東北大学理学部

Polar cusp 或は magnetotail に連なる領域には 1kev 以下の比較的低エネルギーの電子の落下がある: とべ観測により明らかにされています。これまで所謂 auroral electron の電離効果については度々計算され、また低エネルギー電子については定量的検討がなされて次の様な近似計算を行つて。

まず 1000 km の高度で或る一定のエネルギー  $E_0$  を持つ電子の flux の入射がある、とします。電子の或るもののは大気分子との非弾性衝突を行ない  $\Delta E$  のエネルギーを失い  $E_1$  のエネルギーを得ます。この際  $\Delta E$  は大気分子の種々の励起、解離又は電離に費された値が一定しないと次の様に近似できます。実験によれば数百 ev 以下の領域では電子衝突により O<sub>2</sub> 又は N<sub>2</sub> が電離されると同時に電子は平均として約 40 ev のエネルギーを失うことになります。従ってエネルギー 40 ev を失う cross section を  $\sigma(E)$  とし、高度  $h$  の大気分子密度を  $N(h)$ 、エネルギー  $E$  の電子 flux を  $I(E)$  とすれば、この電子生成率は  $\sigma(E) \cdot I(E) \cdot N(h)$  と近似できます: とべお表、すなはちの結果、一次電子は  $\Delta E = 40 \text{ ev}$  のエネルギーを失つて  $E - \Delta E$  のエネルギーの flux を形成すると言えます: とべお表。即ちエネルギー  $E_0$  の電子 flux  $I_0$  によって任意の高度  $h$  で

$$Q_0 = \sigma_0 I_0 N(h)$$

の電子生成率が与えられ、 $h$  より低い  $h'$  の高度では  $E_1 (= E_0 - \Delta E)$  のエネルギーの電子 flux

$$I_1 = \int_{h'}^h Q_0 \exp(-\sigma_1 \int_{h'}^h N(h) dh / \cos \alpha) dh$$

が存在する: とべお表。一般に  $E_1 (= E_0 - i \Delta E)$  のエネルギーの電子 flux は

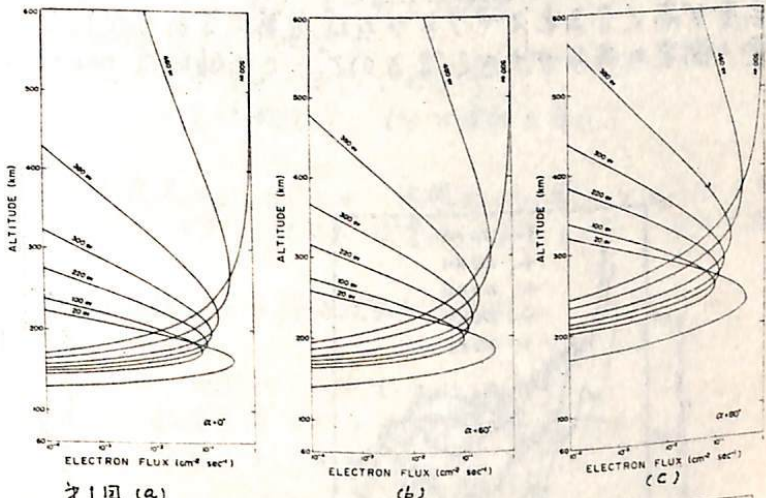
$$I_i = \int_{h'}^{h_0} Q_{i-1} \exp(-\sigma_i \int_{h'}^{h_0} N(h) dh / \cos \alpha) dh$$

と与えられ、 $\alpha$  flux は  $F$  と  
電子生成率  $Q_i$  は

$$Q_i = \sigma_i I_i N(h)$$

とあります。Incident energy が 1 kev, 500 ev, 300 ev, 180 ev, 100 ev そして夫々について計算して求められた面の關係で flux については  $E_0 = 500 \text{ ev}$  についての pitch angle 0°, 60°, 80° の各エネルギーの flux を示すとオイ1図(a)(b)(c)の如くです。この図から最早電離能力を衰えに一次電子は高度 150 km から 250 km の領域で電離層プラズマと熱的に平衡化できるものと考えられます。一方 1000 km の  $1 \text{ electron/cm}^2 \text{ sec ster}$  の isotropic incidence を仮定して計算して電離生成率をオイ2図に示す。

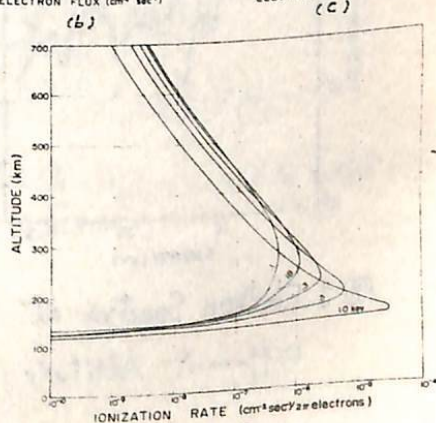
その結果 0.3~1.0 kev の電子が F2 層生成に極めて効果的で  $10^6 \text{ cm}^{-2} \text{ sec ster}$  程度の flux が precipitation は  $10^5 \text{ cm}^3$  のオーダーの電子密度を出現するに充分であると言えます。



オイ1図 (a)

(b)

(c)



オイ2図

## 電離層光電子のエネルギー分布

向井利典 平尾邦雄  
(東大宇宙航空研究所)

1972年9月20日14時(JST)に打ち上げられた観測ロケットK-9M-40号機によって高度160~315kmにおいて、光電子のエネルギー・スペクトラムを測定した。測定器は、昨年秋の本学会でも報告したが、同心半球形静電偏向板をエネルギー分析器として使用したelectron spectrometer であって、地球磁場のシールドのためにhigh-permeability metal で囲まれたものである。測定エネルギーは3~30eVであった。測定結果を図1に示す。各スペクトラムは、市されてくる高度の附近約30kmのあたりのmeansを平均したものである。error barsは標準偏差を示す。図2は他の人達による理論計算および測定結果との比較を示す。筆者らの測定結果は、図2に示すように一応妥当であると思われるが、幾つかの興味あるfine structureを有する。

- ① 6~7eVに小さなhumpがある。また11~12eVの付近にshoulderがある。これらはslowing-downの機構(電子衝突断面積)によって説明できる。
- ② 22~27eV付近に幾つかのhumpsがある。これらは太陽XUVの304Å(He II)によるOおよびN<sub>2</sub>の電離の際に生成されるprimary photoelectronsによるものと筆者らは解釈している。

高度が高くなるとスペクトラムは次第になめらかになっていく。高度が高くなると電子一電子衝突の寄与が大きくなるので、この傾向はreasonableである。

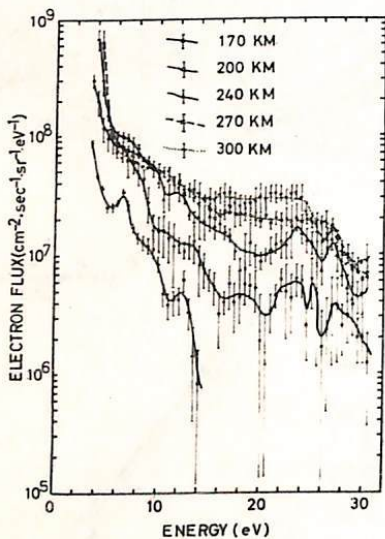


図1 Electron Spectra at  
Different Altitude

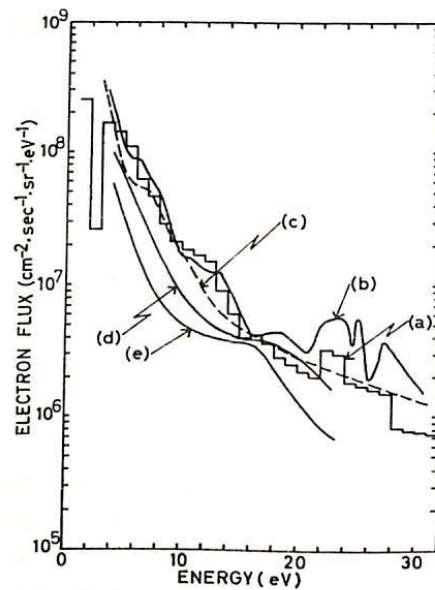


図2. 他のデータとの比較

- (a) our data,  $X = 43^\circ$ , 200 km
- (b) theoretical spectrum calculated by Ogawa  
 $X = 60^\circ$ , 200 km, CIRA 1965
- (c) Knudsen & Sharpによる観測結果  
 $X = 47^\circ$ , 180 km
- (d) Doering et al.による観測結果(下り)  
 $X = 60^\circ$ , 200 km
- (e) 同上 (上り)

新藤文一  
新潟大理

1. 夜光  $55\text{77}\text{\AA}$ ,  $6300\text{\AA}$  線の一部または全部が, F 密雑層から発するることはよく知られている。そしてこの両線の強度変化が, F 層の重要なパラメタである  $f_0F_2$ ,  $h_F$  と密接な関連があるという多くの研究がある。一方これにたいして若干の場合については、両夜光の強度変化は一層複雑で、簡単な上記のパラメタでは表現ができないことも指摘されている。とくにこのくいちかいは、低緯度まいしは赤道域によく起こることは注目される。

2. 他方 F 密雑層の地球分布で赤道異常があることは顕著なことである。そこで電離層と夜光の両者について、中緯度と赤道地帯との間でどのように差があるかとを知るのは興味がある。

1956年以後の南極観測船室名上で、夜光と電離層観測はこれを可能にしている。

3. 1960 Nov. 14/15 ~ 19/20 の間、室名の地理緯度  $N 29.9^\circ$  から  $N 14.4^\circ$  (磁緯にして  $N 19.2^\circ$  から  $N 3.0^\circ$ ) まで移動した例について、この間の  $6300\text{\AA}$ ,  $55\text{77}\text{\AA}$  強度と電離層  $f_0F_2$ ,  $h_F$  と比較した結果は、

- (1) 赤道地域、とくにこの例では磁緯  $N 15^\circ$  の内で、
- (2)  $6300\text{\AA}$  と  $55\text{77}\text{\AA}$  の強度の大半が平行して変化、
- (3) 電離層  $f_0F_2$  は日没後はつづりした高さの維持、 $h_F$  は複雑な変化、等の見られ。

4. 電離層中  $55\text{77}\text{\AA}$ ,  $6300\text{\AA}$  夜光は、 $O_2^+ + e$  由来合が一般にうけ入れられるが、夜光の時間変化は、 $O_2^+$ ,  $O^+$ ,  $NO^+$ , 電子の密度の変化を主とする連立方程式の解から求められる。

赤道地域の大気光をしあげる場合、上に得られた観測結果から見て、

- (1) イオン創生項 (g) を夜間でも加え、
  - (2) 電子消滅過程は、主として  $O_2^+ + e$ ,  $NO^+ + e$  を考える、
  - (3) イオン、電子の輸送項としては、鉛直方向のドリフトを主として考える、
- これらを連立方程式の簡単なモデルを考察する。すなはち

$$\frac{\partial n[O^+]}{\partial t} = g - \{\beta_1 n[O_2] + \beta_2 n[N_2]\} n[O^+] - \frac{\partial}{\partial z} (\nabla n[O^+]),$$

$$\text{おおよそ } \frac{\partial n[O_2^+]}{\partial t}, \frac{\partial n[NO^+]}{\partial t}, N = n[O^+] + n[O_2^+] + n[NO^+], N = \text{電子密度}$$

の点を考慮することにする。ドリフト速度  $V$  について、現在得られているモデルを採用して場合、夜光強度変化にいかなる量を導き出せるかを比較して見る。

奥田光直

(弘前大)

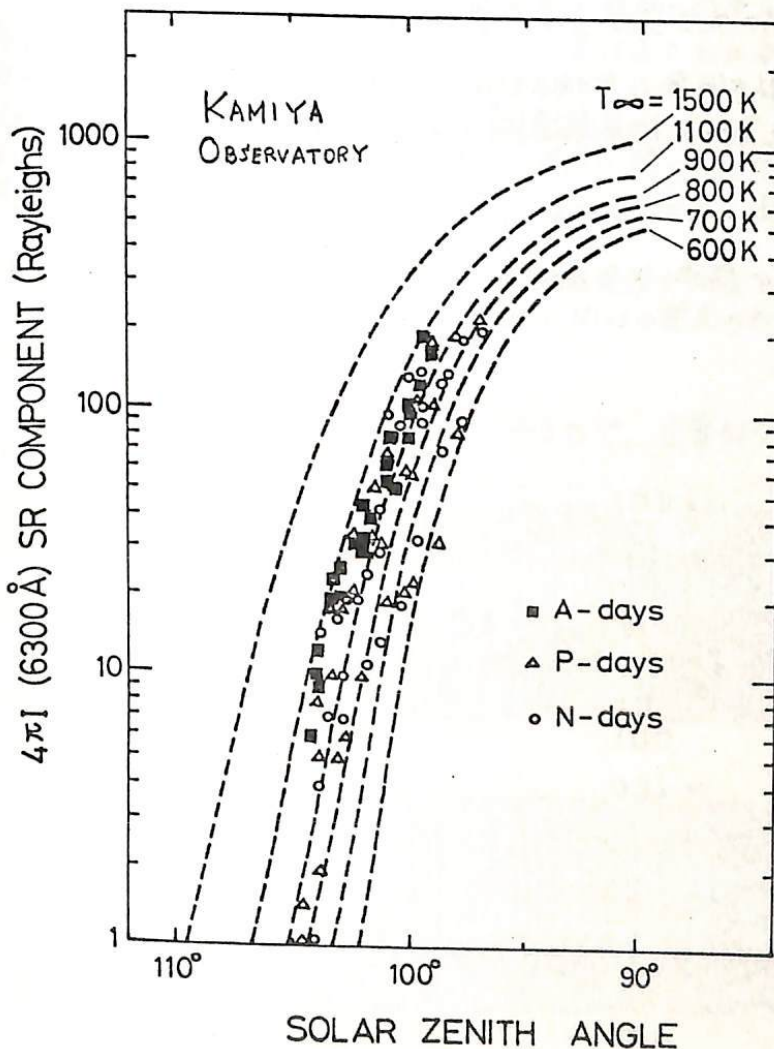
酸素緑線大気光強度の空間分布の解説的研究は、飛光ア領域の大気力学的研究の面からも重要であるが、観測点の分布は、充分密ではないので、広範囲に亘って、直接、强度分布をしらべることは出来ない。こゝでは、一観測所（東北大字遠刈田夜光観測所）での観測視野内の强度分布をしらべたので報告する。複雑な分布を簡単化するためには、强度の変化方向と、変化量と、統計量として解説を行なった。その結果、夏、冬の solstice には北方ほど强度が大であり、equinox には、南強北弱であり、飛光アの酸素原子密度や分布が季節的に successive に変動することがわかった。

等 松 隆 夫 (東大理) 近 藤 豊 (東大理)

薄明時の原子酸素 6300 Å 大気光の強度変化は、励起機構として酸素分子の太陽紫外放射による解離に原因を求めることができる。したがって 6300 Å 薄明大気光の強度の解析から酸素分子密度の高さ分布と熱圏温度を推定することができる。実測資料としては(1)神谷観測所における分光測光データ、(2) Logan におけるフィルタ測光データをもついた。すべてのデータにつき電離層パラメータの実測から夜光成分(解離再結合)を除去し紫外線解離の成分を求め、熱圏大気モデルから計算で求めた理論との比較を行なった。

これらの解析から求められた結論はつきの通りである。

- (1) 太陽高度 95~105° の範囲での励起は主として太陽紫外線による酸素分子の解離によるものといよい。



(2) 大気光から求められる熱圏温度は  $900 \pm 100\text{ K}$  である

(3) 推定される熱圏温度は地磁気擾乱度の上昇とともに高くなる傾向がある(左図の例参照)

(4) 6300 Å 強度には日々の変動がある。これはおそらく熱圏での酸素分子密度が關係しているのである

(5) 大きな磁気擾乱にともなって薄明の異常現象がある。その原因として、磁気圏からの熱伝導と太陽 UV による加熱の相乗作用によるものと考えることもできる。

# I-101 夜間大気光 OH Meinel バンドの季節変化

渡辺 隆(東教大理) 等松隆夫(東大理)

夜間大気光 OH Meinel バンドの全輻射エネルギー及び各バンドの相対的な強度が季節的に変動しているという観測結果(SHEfov 1969)に注目して、このような季節変動がOHの生成及び消滅のメカニズムとどのように関係しているかを調べることが本講演の目的である。

何らかの化学反応によって振動レベル  $v'$  に励起された OH が生成される割合を  $g_{vv'}$  とすれば各振動レベルの population  $N_{vv'}$  を決める式は次のようになる

$$g_{vv'} + \sum_{v''>v}^{v'=9} N_{vv'} (A_{vv'} + n_m K_{vv'}) = \sum_{v''=0}^{v''<v} N_{vv'} (A_{vv''} + n_m K_{vv''}), \quad v = 1, 2, \dots, 9$$

ここで  $A_{vv''}$  は遷移確率,  $n_m$  は大気密度  $K_{vv''}$  は粒子衝突による quenching rate である。population  $N_{vv'}$  は輻射の強度に比例しているので問題は  $N_{vv'}$  が  $g_{vv'}$ ,  $A_{vv''}$  及び  $K_{vv''}$  の与え方によってどのように変化するかを調べ、それらの model の妥当性を検討することである。

$g_{vv'}$  は  $O_3 + H \rightarrow O + HO + O$  の 2つの反応を考慮した model で計算され、遷移確率  $A_{vv''}$  は Murphy (1971) 他の論文があるが著者によると各バンド間の相対的な値にかなりの相違があるるので注意が必要である。

# I-102 S 210-JA2 による紫外オーロラの観測結果

等松 隆夫 (東大理)

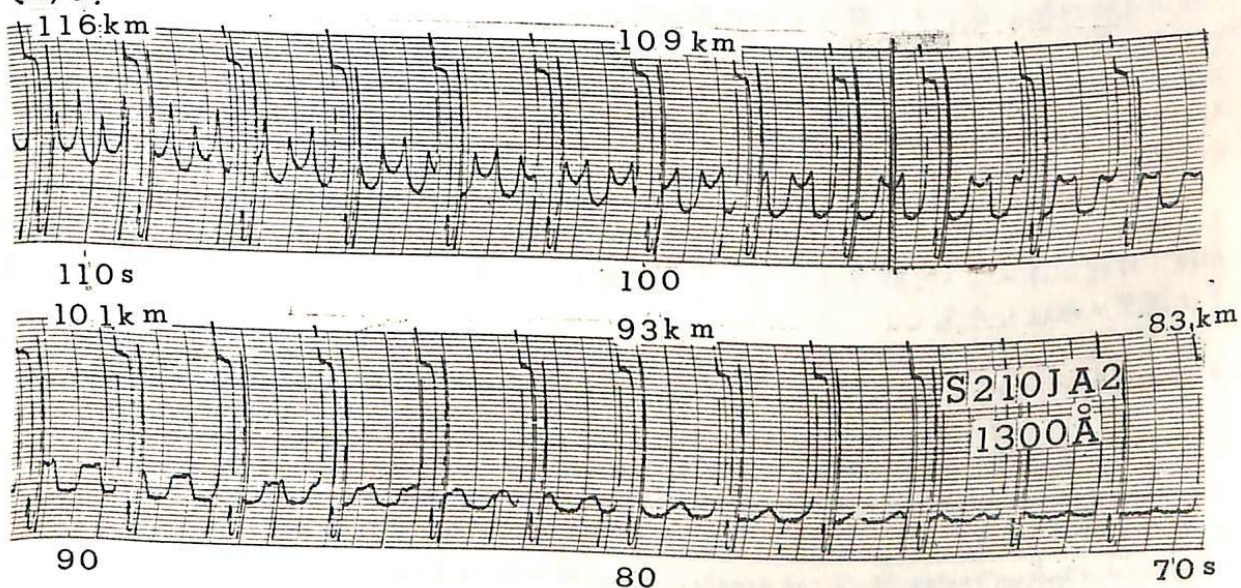
極域観測用ロケット S 210-JA2 は 1971 年 9 月 25 日 00:08 LT に第 12 次越冬隊によって打上げられた。このロケットには極光紫外線を測定するための 1 オンケンバと VLF 自然電波観測装置が搭載されていた。

搭載されたオンケンバは NO ガス封入、 $MgF_2$  窓で、その波長感度特性は 1150 ~ 1350 Å で有意な感度を持っていた。このスペクトル領域での主なオーロラ紫外放射としては H 1216 Å および O 1300 Å が考えられるが、両者のどちらが有効に働いているかは、強度の高さ分布から推定できる。あるうち 1216 Å は  $O_2$  吸収の窓にあたるので透過高さは 70 km, 1300 Å では約 90 km となる。実測結果では 90 km から反射強度が増強しているので、この検出器では O 1300 Å の空間分布が観測されたことになる。

O 1300 Å は共鳴線であり、超高层大気中に原子密度が高い車からして、放射の強度の空間分布は多重散乱の影響を著しく受けことがある。理論的には 1300 Å 放射の方位分布は多重散乱効果によって等方的になるセンスとなる。観測結果はこの車輌をよくあらわしており、記録では 1300 Å 放射換算約 50 kW の中程度のアーケットとめられるが、アーケット以外の方位での記録強度も相当に強くあってある。換言すれば、各時刻での平均強度は局所的オーロラの反射強度をあらわすとみて良い。

同時に観測された 6~10 kHz 自然電波の強度との対応は非常に良く、このことは入射電子による 1300 Å の局所的励起と Hiss の発生のが同時に起こっている事を示している。

観測記録の詳細検討が進行中であるので、定量的な点については席上で発表する予定である。



工山弘

東北大物理学部

オーロラを誘発する降下電子のうち比較的高エネルギーの電子は大気分子との非弾性衝突のほか、広い波長範囲の制動輻射を行ってそのエネルギーを損失する。降下電子の進入限界高度は  $\approx 1000 \text{ km}$  で  $1 \text{ electron/cm}^2 \cdot \text{sec} \cdot \text{ster} \alpha \text{ isotropic incidence}$  を仮定した場合の制動輻射の放射の極大値並びにその高度を計算すると右表の如くである。放射率は表記の高度に鋭い極大を示す。制動輻射の放射のある領域の中の任意の一卓に於ける X-ray の flux の計算を前に試みに述べ、今回は、有限の厚さをもつオーロラの近傍の空間の一卓からのおよび人工衛星での X-ray に対するオーロラ撮像の計画を進めるために

基本的事項があり、又撮像データの地球物理的解釈に是非必要なりとてある。

幾何学的煩雑を成すべく避けよにめ、磁力線は略直立であると仮定し、オーロラの現象面は y-z 面に在るものとする。オーロラから任意の距離  $d$  の一卓 P を任意の地上高度  $z$  にとり P 卓から X-ray にたりオーロラを眺めるものとする。オーロラに正面して  $\theta$  の方向の仰角  $\alpha_1$  の卓 Q から X-ray flux を計算しよう。Q 卓 x-y 面からの高さを  $z'$  とする。然りと幾何学的関係は

$$y = d \cdot \tan \alpha, \quad d_1 = d / \cos \theta, \quad r_1 = (d^2 + z'^2)^{1/2},$$

$$\sin \alpha_1 = z' / r_1, \quad \cos \alpha_1 = d_1 / r_1$$

オーロラの厚さを  $T$  とし、x-y 面上 Z-a x-ray 放射率を  $\phi(z)$  とすれば、オーロラ内で P 卓に沿う単位面積の柱状体積から放電量は

である。これが  $r_1$  の距離の単位面積に到達する量

では途中の吸収も考慮せよ。

$$F = \phi(z) \cdot T / (4\pi r_1^2 \cos \theta \cdot \cos \alpha_1) \cdot \exp(-\sigma \int_0^z dz / \sin \alpha_1)$$

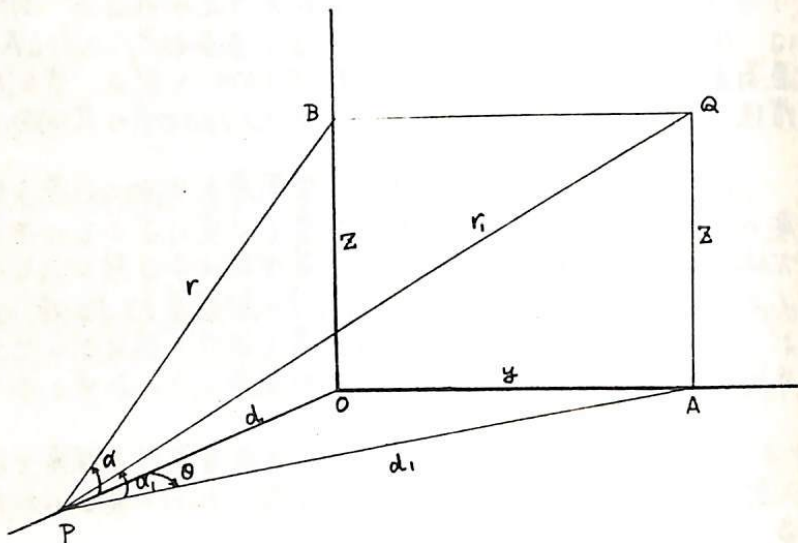
となる。P 卓から Q 卓の単位面積を眺める立体角は  $1/r_1^2$  であるから、2 方向から単位面積当たりの flux は

$$J = \phi(z) \cdot T / (4\pi \cos \theta \cdot \cos \alpha_1) \cdot \exp(-\sigma \int_0^z dz / \sin \alpha_1)$$

となる。若し平面の受光面をもつ検出器をオーロラに正面させて測定すると有効受光面は  $\cos \theta \cdot \cos \alpha_1$  の factor で reduce されながら、吸収項のみが方向依存性をもつことになる。尚、 $\theta$  方向の卓の高さ  $z'$  の卓は撮像画面上では  $x$  軸から正面  $Z' = d \cdot \tan \alpha_1$  の高さに相当する距離の所に像を結ぶ。

Incident electron energy  $E_0$ , x-ray energy range, 觀測卓の位置(地上高度  $h$ , オーロラまでの距離  $d$ ) を変えるばらオーロラの種々な X-ray pattern をスライドに示す。

入射エネルギー(kev)	100	50	20	10
進入限界高度(km)	73	80	90	97
極大放射率(photon/cm <sup>2</sup> sec)	$3.54 \times 10^{-9}$	$1.02 \times 10^{-9}$	$7.25 \times 10^{-11}$	$4.32 \times 10^{-11}$ (5-10 kev)
極大放射高度(km)	77	85	98	105



I-104

K-4M-3S 及び K-10-9 による大気オゾンの観測

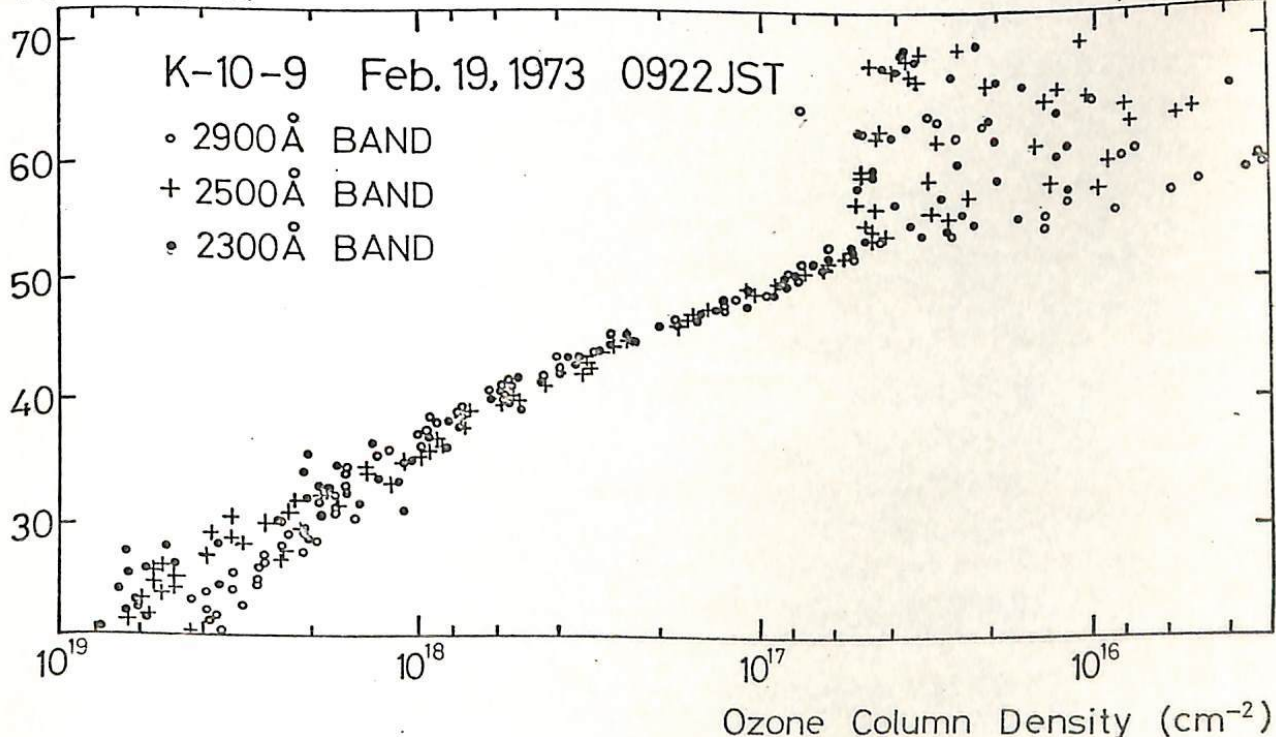
結果

等松隆夫・小川利祐(東大理)・渡辺隆<sup>\*</sup>(東教大理)

1973年2月19日(0922JST)に内の浦から打ち上げられたK-10-9号機による大気オゾンの観測結果について報告する。測定の原理は、太陽の紫外輻射が大気オゾンによって吸収をうけるのでロケットがオゾン層をつきぬけて上昇していく間に吸収量、高度変化を測ればやれば大気オゾンの高度分布をたどることができるこという比較的簡単なものである。原理的には一波長域で測定すれば分布をたどることは可能であるが、測定の精度を上げるに大気オゾンによる紫外吸収のようすを詳しく調べるために2300Å, 2500Å及び2900Åの3つの波長域を干涉フィルターと光電管の組み合わせによて選択して測定している。

今回の実験データは現在解析中であるが、上記の波長域で求めた大気オゾンの column density を下図に示してある。今回の観測ではロケットの姿勢が悪かったため53 km付近からデータのバラツキが大きくなつたが、これ以下の高度では比較的精度のよいデータが得られたようである。

Altitude (km)



I-105 レーザーレーダーによる成層圏エアロゾル層の  
観測

藤原玄夫、内野修、板部敏和、広野求和  
九大、理

成層圏エアロゾル層は、最近特に、大気循環や成層圏オゾン密度など人類の生活に大きく影響を与える要素との関連においてその研究の重要性が認識され、すでに世界のいくつかのステーションでその組織的な観測が始まられている。工業的原因による成層圏エアロゾルの大巾な増加が推定されているので、現在のうちに充分の調査を進めておくことが必要である。

九大においても、理学部構内にレーザーレーダーが設置され、上層大気中の微量成分の測定を目的としてその予備的観測が行われて来たが、大気の透過率など基礎的な実験を終えて、昨年10月から成層圏エアロゾル層の観測が開始された。観測は、ルビーレーザーパルス( $6943\text{\AA}$ ,  $1\text{J}/\text{pulse}$ )を $10\text{cm}\phi$ 屈折望遠鏡を通して鏡面上方に打ち上げ、エアロゾルからの後方散乱光を $30\text{cm}\phi$ カセグレン型反射望遠鏡で集光し、フォトマルで検出して行う。その結果、界面の数km上にピークを持つ、高度 $17-30\text{km}$ 領域のエアロゾル層の存在が確認された。装置には最近、ルビーレーザーパルス送信後の蛍光を遮断するための、24000 r.p.m. のGlobeの同期モーターを用いた回転シャッターが取り付けられた。シャッターの開口時間は $90\mu\text{s}$ で、これによって高度 $4\text{km}$ 以上からのエコーは蛍光による雜音が取り除かれ、更に精密な成層圏エアロゾル層の観測が行われている。これについての詳細は講演の際に行う。

## 第 2 会 場

## 帶磁率異方性の測定

室 井 煎

(大阪府科学教育センター)

岩石構造 (rock fabrics) を磁気的に測定する装置を製作した。岩石構造の原因には幾つかあるが、ここでは磁性鉱物粒子の形状による配列、即ち磁性鉱物粒子を橢円体に近似し、この長軸方向がある特定方向に配列している場合を考える。この場合、粒子に外部磁場をかけて磁化させると方向によつて磁化の割合が異なる。これは粒子の幾何学的形によつて反磁場係数が異なるためであるが、みかけ上、帶磁率に異方性があらわれ、磁気的異方性の原因になる。異方性帶磁率は2次元のテンソル  $K_{ij}$  ( $i, j = X, Y, Z$ ) であり、帶磁率の橢円体であらわされる。この異方性の測定は1)トルク計、2)交流アリツジ、3)スピナーマ力計、4)無定位磁力計等によつて行われてゐるが、1)のトルク計方式には強磁場による方法と弱磁場による方法とがある。今回製作したもののは後者である。この方法は Ising<sup>(1)</sup> をはじめ他の人によつて主に堆積岩や変成岩の岩石構造の研究に使われてあり、特に新しいものではない。

1辺が 2.5 cm の立方体の岩石試料を燐青銅に吊し、Helmholtz coil で水平方向に 33° 交流磁場 (60 Hz, 15~30 oe r.m.s.) を回転させてからかけ、このとき試料に生ずるトルクを測定する。測定は試料の3方向につれて行い、その値は自己記録させる。この装置は帶磁率異方性の方向を測定するだけであるが試料の1方向のみよりの帶磁率を他の方向で測定するが、又はあらかじめ異方性の大きさのわかつたままで測定するかを行はず、3方向についての異方性の大きさも求められる。異方性帶磁率の最小測定限界は  $1 \times 10^{-6} (\frac{e.m.u.}{cc})$  である。

測定試料は大阪と奈良の境界に位置する云嶺山のもので、約3紀のニヒ層群下部にみられる鹿児島火砕流といわれて、溶結凝灰岩でこの中に強く溶結した黒い火山ガラスが確定方向に配列して含んでおり、上述の橢円体近似を測定した。その結果、明瞭な異方性をみいだした。自然強磁場の測定やガラスの実際の方向として寸法の測定などの結果をあわせて報告するが、磁性鉱物を含む試料の岩石構造の研究にはこの帶磁率異方性の測定が少くからず有効であると考える。

(1) Ising, G., Ark. f. Mat. Astron. och Fys. Bd 29A, 1-37, 1943.

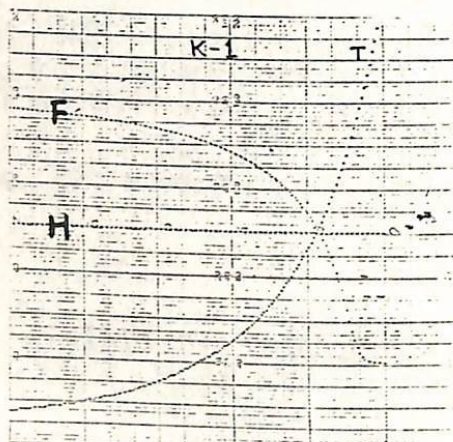
\*島田昌彦、小泉光惠、\*\*吉野謙位、\*\*\*J.E. Borner、\*\*\*\*久米昭一  
\*大阪大、産研 \*\*名大、理 \*\*\* Identimim Laboratories, \*\*\*\*大阪大 教養

キンバレー岩は超塩基性岩のもっとも有名な岩石であり、この岩石はダイヤモンドを含み、ダイヤモンドの高温高圧下におけるP-T相平衡図が考へられ、キンバレー岩は地下数百kmのマントルで生成した鉱物種が、ほとんど相変化することなく、地表に噴出したものと考えられる。特にキンバレー岩の中でも、 $\text{CaCO}_3$ を多量に含むカーホナタイトはダイヤモンドの元素である炭素を含む岩石として、その成因について至る興味あるものの一つである。

私達は、高圧下で生成したと考えられる岩石中に含まれる強磁性鉱物に、圧力やエネルギーなどのような物理量とて保存されてゐるかと云ふと、及び、強磁性鉱物が圧力の作用を受けた場合に、その磁気助性質がどのように変化するかと云ふを中心にして研究をしておりますが、今までに強磁性モースメトロ及び抗磁力によよす静水圧の影響について報告してきました。特に、抗磁力によよす静水圧の影響について、マカオタイトについてのモデル実験より  $\Delta H_c/P = 1.08/\text{ab}$  ( $\Delta H_c = H_c(P)/H_c(1\text{bar})$ ) の関係を見出し、天然に產する強磁性鉱物について、 $\Delta H_c$ を測定し、生成時の圧力を推定する試みを研究してゐる。

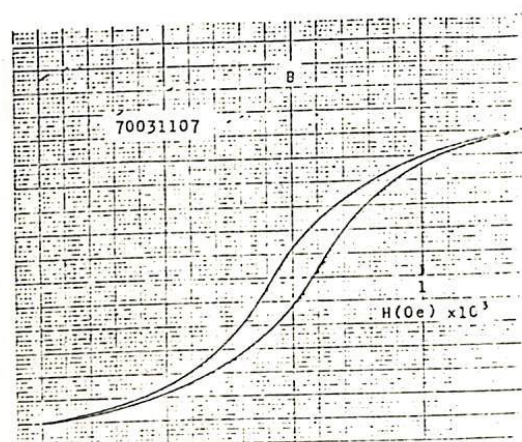
今回は、その一つとして、キンバレー鉱山及びフレミヤ鉱山のキンバレー岩に含まれる強磁性鉱物の磁気助性質について報告する。

第1回及び第2回に代表的なP-T 及び B-H の関係を示す。



(図 1)

キンバレー鉱山のキンバレー岩



(図 2)

フレミヤ鉱山のカーホナタイト

本報告では、両鉱山のキンバレー岩の強磁性鉱物及びそれら岩石へもつ磁気助性質について報告する。

堂 面 春 雄

山口大学教育学部物理学教室

筆者はかゝて、達岩強磁性物質の地質学的年代経過にともなう固相転移による、岩石の自然残留磁化の自己反転の機構解明の一助として、化学消磁法を適用した。その後、やゝくわしい実験をくりかえしたので、それについて簡単に報告する。

山口県川尻岬の玄武岩体において、自然残留磁化の正・逆現在地域より採取した瓶内の玄武岩試料をスライスし、conc HCl を用いて腐食(蝕)し、その残留磁化の腐食時間経過による変化を追跡したところ、正一・逆一自然残留磁化をそれぞれ示す試料の間で、顕著な差異がみられた。

これらの結果は、熱酸気解析の結果と矛盾しない。

永田 武  
東京大学・理学部

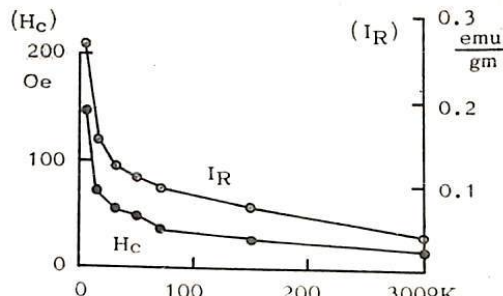
(要旨) アポロ16号月岩石試料中、Soils (# 65010), Breccias (# 66055, # 67455, # 68815, # 60255), Anorthositic gabbro (# 66095, # 68415), Basalt (# 60315) 等8種の典型的試料について、それ等の磁気的諸性質並びに自然残留磁気とその安定性を調べた。

#### (1) 月岩石の常磁性帶磁率

アポロ16号着月地点の月山岳域は斜長石が多く、 $\text{Al}_2\text{O}_3$  含有量  $\sim 20\%$  以上に及ぶ岩石であり、逆に  $\text{FeO} \sim 5\%$  前後の小量であるのが特徴である。従って常磁性的輝石・橄欖石や反強磁性的イルメナイトの含有率が少ないので、常温における常磁性帶磁率も著しく小さい。アポロ16号試料をふくめると、月岩石各種について  $\text{FeO}$  含有量は 4% から 25% の広い範囲に及ぶ。常磁性帶磁率 ( $\chi_a$ ) と  $\text{FeO}$  含有量の間にほぼ比例の関係が見られる。然し  $\text{Fe}^{2+}$  イオンのすべてが常磁性成分として働くと仮定して求めた  $\chi_a^0$  の理論値 ( $\chi_a^0$ ) よりも  $\chi_a$  観測値は常に大きい。吟味の結果 ( $\chi_a(\text{obs}) - \chi_a^0 \approx I_s$ ) という関係が実験的に求められた。ここに  $I_s$  は飽和磁化値であって、試料中の金属鉄含有量に比例する。即ち、極めて微少（平均直径  $\sim 20\text{\AA}$  程度）な金属鉄粒子が  $\chi_a$  観測値に寄与していると解釈される。

#### (2) 低温における抗磁力 ( $H_c$ ) と飽和残磁化 ( $I_R$ )

図に1例を示す如く  $H_c$  及び  $I_R$  は低温域のある温度以下で急増する。但し  $I_R(T)$  及び  $H_c(T)$  の温度  $T$  に対する依存性の形は試料によって種々である。図の場合には金属鉄微粒子の粒子直径分布スペクトルが広く、少くとも  $200\text{\AA}$  から  $20\text{\AA}$  まで広がっている場合に当る。いづれの場合も金属鉄微粒子の多くが室温では超常磁性挙動をとっている事を示している。



#### (3) 金属鉄の成分：

アポロ16号試料の多くは、ほぼ純鉄に近い成分の他に Kamacite をかなり含んでいる。鉄の含有量を  $m_F$ 、Kamacite 含有量を  $m_k$  とすると比  $m_F/m_k$  は 0.12 から 1.00 の範囲にわたる。又 Kamacite 中の Ni 含有量は 2.5% から 12% の範囲にある。Kamacite と Fe とを含む試料では、Kamacite の  $\delta \rightarrow \alpha$  変態に因て、TRM 獲得過程が複雑になる。即ち、Fe 相と Kamacite 相とが隣接している場合にその磁気的相互作用に因り、反転残磁化的現象が起る。

#### (4) 自然残留磁気の安定性

アポロ月岩石は、一般に磁気的にかなり汚されていると考えられる。然し同時に極めて安定な残磁化成分をも含んでいる。従って、残磁化  $I_n$  は安定成分  $I_o$  と汚染成分  $I_p$  の和で表わされる。AF 消磁によって  $I_n$  は 50 Oe.rms 以下の磁場で完全に消磁されるが、 $I_o$  は 200 Oe.rms 以上に対しても安定である。 $I_o$  の値は  $(1 \sim 10) \times 10^{-6}$  emu/gm の値である。もしこの  $I_o$  が TRM であるとするとき、アポロ16号月岩石（火成岩の場合は岩令約39億年）生成当時の月面磁場は  $10^3$  G の程度であることになる。

永田 武  
東京大学・理学部

(要旨) 月岩石の Piezoremanent Magnetizationを調べるのは、次の2目的がある。

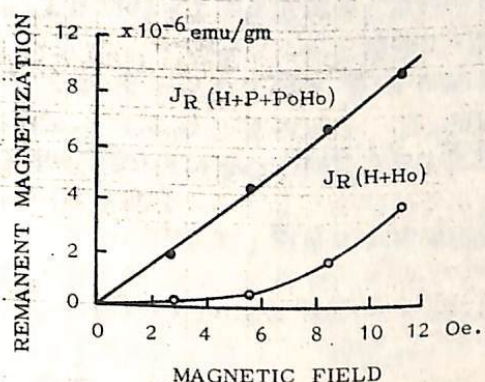
- A) 月面では絶えず隕石衝突による衝撃加圧を受けているので月岩石の自然残留磁化は、衝撃残留磁化に由来する可能性もある。衝撃残留磁化機構の基本となる静圧残留磁化現象の定量的研究が月岩石に対して要求される一つの理由である。
- B) 圧残留磁化現象の理論は、永田(1966), Dunlop その他(1969)による单磁区粒子模型と、永田-Carleton(1969)の主張する90°磁壁移動模型とが主なものである。等方磁歪常数 $\bar{\alpha}_s$ が正である地球岩石については両理論共に成立するが、 $\bar{\alpha}_s < 0$ である月岩石については、单磁区粒子模型は圧残留磁化 PRM を生ぜず、又90°磁壁模型では地球岩石と同様に PRM を生ずる筈である。従って月岩石の PRM の研究は PRM 現象基礎理論の検証になる。

(実験) アポロ12号 (#12053), 14号 (#14053), 15号 (#15418) 及び 16号 (#68815) 月岩石4資料について  $J_R''(H+P+PoHo)$  の測定を行った。その結果は図に1例を示す如く、いづれの試料も典型的な PRM 特性を示す。又、これ等試料中の強磁性粒子は純鉄に近い金属鉄微粒子である事も別の実験から確認された。

(理論的検討) PRM 現象の单磁区粒子模型理論は、永田(1966)が、近似手法を用いて計算し、 $J_R(HPPH)$ ,  $J_R(PHHP)$ ,  $J_R(HPHP)$ ,  $J_R(PHPH)$ ,  $J_R(HHPP)$  等の諸現象を定性的に説明し得ることを示した。その後 Dunlop その他(1969)は Néel の手法を用いて、上記永田理論を数学形式としては完成した形で再提案した。この理論は  $\bar{\alpha}_s > 0$  の時のみ成立するので、 $\bar{\alpha}_s < 0$  の場合は、例えば  $J_R(HPPH) = J_R(HH)$  となつて、PRM 現象は生じ得ない。

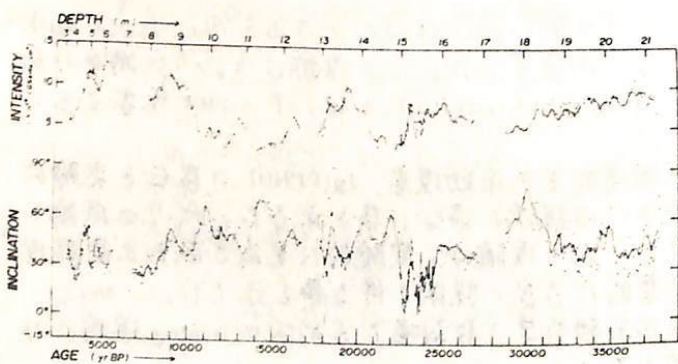
他方、永田-Carleton(1969)は、無磁場加圧の余効現象、 $J_R(PPHH)$  の存在を実験的に確立し、この現象は单磁区模型粒子では説明し得ない事を示した。代りの理論として彼等は90°磁壁移動模型を提案し、この理論は、実験的に見出された上記諸現象のすべてを定性的のみならず、定量的にも良く説明し得る事を示した。(1969) 然し最近まとめられて小嶋一小嶋の岩石磁気学の教科書でも前述の Dunlop 理論のみを PRM 現象の理論的説明として採用している。

$\bar{\alpha}_s < 0$  の月岩石においても、PRM 現象が  $\bar{\alpha}_s > 0$  の地球岩石と全く同等に生じるというこの論文の結論は、少くとも  $P \lesssim 1000$  Bars の範囲の PRM 現象については、90°磁壁移動模型理論のみが採用されるべき事を示している。

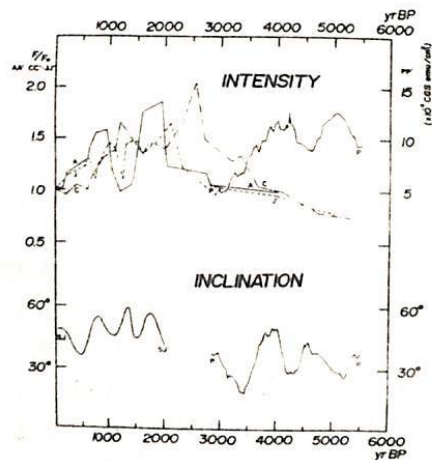


中島正志 安川克己 川井直人  
(大阪大学 基礎工学部)

琵琶湖コアから一辺2cmの立方体の試料を採取し、その磁化測定を行った。結果は第1図に示す。図中の曲線は、測定点7ヶ所の移動平均を取したものである。コアの最上部3mについての結果と、他の焼土からのArchaeomag.の結果とを比較したのが第2図である。PP'は琵琶湖の結果であり、SJ-SJ'は西南日本(広田 1972), AA'-CC'-JJ'はBucha(1971)においてまとめられた、アメリカ・ヨーロッパ・日本からのデータである。第2図から琵琶湖コアの上部3mの結果と過去2,000年間の他のArchaeomag.の結果とは非常によく似た変化の傾向を示すのに気がつく。このことから何を意味するのか考えてみたい。



第1図



第2図

安川克己・中島正志・川井直人

大阪大学・基礎工学部

69 5 年 エ ブルンヒルズ正碰撞と Matuyama 逆碰撞との境である。= 69 5 年より  
新しく時代、可子川 Brunhes 正碰撞 (朝) 正碰撞は 18、逆向 event は 17 で、E9 E18 1.5  
年である。 (P-1 1967 年 = Bonhommet 5 か。) 7 月 2 日～上部 8,000 年～20,000 年  
とされるまでの若く、溶岩の逆碰撞と発見されて以来、Brunhes 正碰撞中に E 逆向 event  
が存在する可能性が主張されるようになつた。畢竟大西洋の Blake outer ridge は 3 まで  
古く、それが Blake event とされる、E の逆碰撞は 5 で、つまり 3 で、少くとも 3  
回は短いが明瞭な逆向 event の存在が確認されることはない。 P-1 は 1 ~ Bonhommet  
5 までの 5 かの可子川 Brunhes 正碰撞と新しく逆向 event の存在は 9 で、何うか? = 1 ~ 18. = 9 番は 1 回  
の可子川 Brunhes 正碰撞と新しく逆向 event の存在は 9 で、何うか? = 1 ~ 18.

$$t = 0.0426(t - t_0) + 561.8(1 - e^{-0.000365(t - t_0)})$$

## II-8 琵琶湖底堆積物の磁化 (左, 1)

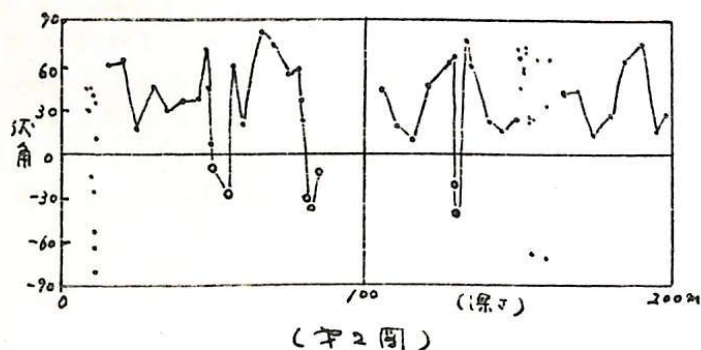
安川克己・中島正志・夏原信義・川井直人(阪大基工), 鳥居雅之(大阪市大・理)  
堀江正治(京大・理)

琵琶湖は世界でも有数の古い湖とされ、その基礎の沈降に伴い、少くとも鮮新世末から現在まで堆積物が、連續的に存在するものと期待される。堆積物の厚さは、その周辺の地質構造、及びこの湖に沿うて顯著な東方の負異常に加えて、推定堆積速度約  $20 \text{ cm}/1000 \text{ 年}$  を併せて考慮すれば、 $18-20/1000 \text{ 年}$  程度といふよう。

一昨年秋、主に(2)報告者の一人(堀江)によると、 $\pm 9/1000 \text{ m}$  に達するところまでの堆積物の上部  $200 \text{ m}$  から、連續的に不規則なコアが採取された。採取地点は  $(35^{\circ}13'N, 136^{\circ}01'E)$  で、ほぼ半円に示した位置である。磁化測定用試料は、一枚約  $2 \text{ cm}^2$  の立方体型プラスチック容器と、 $\pm 9$  コアの軸に沿って断面に隙間を  $\pm 1 \text{ mm}$  保つて各  $\pm 1 \text{ cm}$  である。半円に示した結果は、 $\pm 9$  より  $\pm 1$  で全長  $200 \text{ m}$  にわたる全試料 ( $\pm 1/10,000 \text{ s}$ ) の測定に従事して、 $5 \text{ m}$  間隔で試料を抽出して行なった磁化方向測定結果である。 $\pm 9$  図から明らかな如く、琵琶湖底堆積物では、湖底下  $200 \text{ m}$  まで、 $\pm 1$  から  $\pm 3$  Matuyama 逆磁期に達している。しかし Brunhes 正磁期中に極めて短い逆磁期が、 $\pm 1$  と  $\pm 3$  には存在しないと認められるところである。

今回の報告は、 $\pm 9$  試験的に行われた全試料の測定結果に関するものである。 $\pm 9$  の結果の詳細は、 $\pm 9$  の半端なスパイクは不正確である、スライドを参照して頂けたい。試料は大部分の  $\pm 9$  gyttja と呼ぶれる種の堆積物であり、過疎化鉱物分離は困難である。 $\pm 9$  試験的磁化は安定で、強度  $\pm 9$  である。 $600 \text{ Oe}$  までは AF 消磁によると、 $\pm 9$  磁化方向を変えるのができる。 $\pm 9$  中  $\pm 18, 100 \text{ Oe}$  までは AF 消磁によると磁化方向を変えることがあるが、 $\pm 9$  以上では、 $\pm 9$  方向を保つ。 $\pm 9$  以外、可逆性試験料の磁化方向は完全に保たれて、 $\pm 9$   $\pm 1 - 5 \text{ m} = 100 \text{ Oe}$  までは AF 消磁を行なうと原則としている。

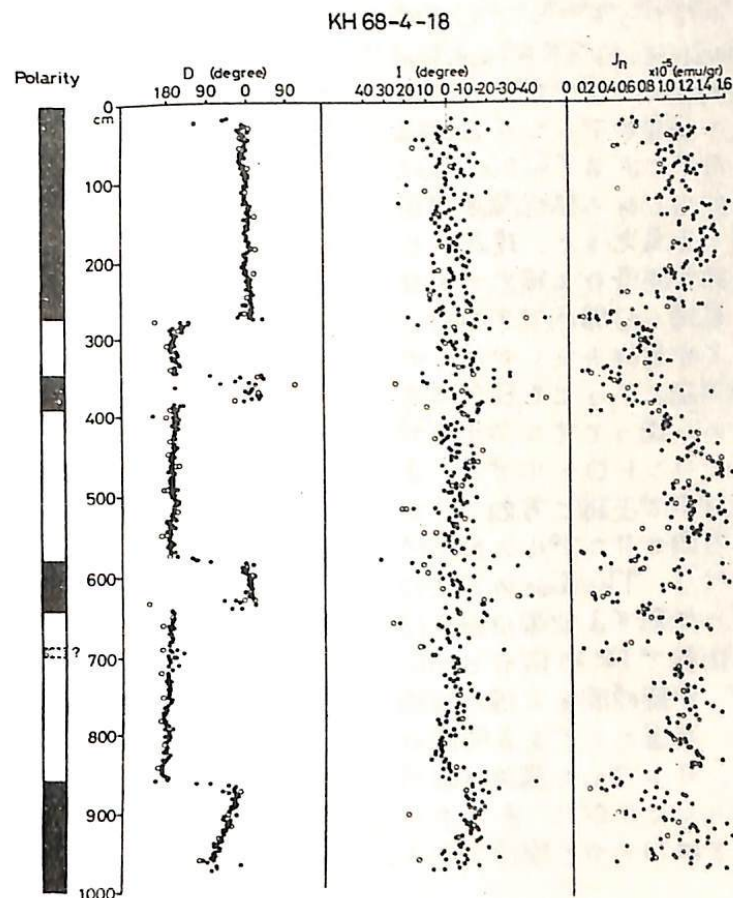
今まで述べた結果をまとめると、(1) 前上部の伏流水層  $\pm 9$  は、考古地磁気的方法によると求められた伏流水層である、その他の  $\pm 9$  一致する。 (2) 前述の如く少くとも三回は、event によって是れを “磁期” とするが逆磁期が存在するが、その他の何回か excursion があることはない。 (3) フラックスマニホールド山岩の磁化測定の結果  $\pm 9$  在在が主張されるが Laschamp event は相当する明瞭な逆向 event は存在しない。 (4) NRM の強度  $\pm 10^{-6} \text{ G}$  が測定されるが、深度は  $\pm 9$  湖底下約  $80 \text{ m} \sim 100 \text{ m}$  で磁化強度が  $\pm 33$  である。また  $\pm 9$  。



水谷 滋樹・小林 和男  
東大海洋研究所

海底堆積物のコア試料の自然残留磁化の方向と大きさについては、最近数多くの測定がなされているので、そのデータの統計的処理から、地球磁場が正または逆を向いている間の永年変化、磁極反転時の磁界の行動および残留磁化獲得機構などについて、どれだけの情報が得られるかを詳しく吟味した。

ここでは主として KH 68-4-18 のコア（採取地図  $01^{\circ}59.5'N : 170^{\circ}00.5'W$ ）について述べる。このコアはほとんどの交流消磁を必要としないほど自然残留磁化が安定であることがわかつていているからである。さらに、やや安定性の劣るコアについても同様な解析を行い、データのパラッキから、磁化の安定性についての情報をとり出すことを試みている。



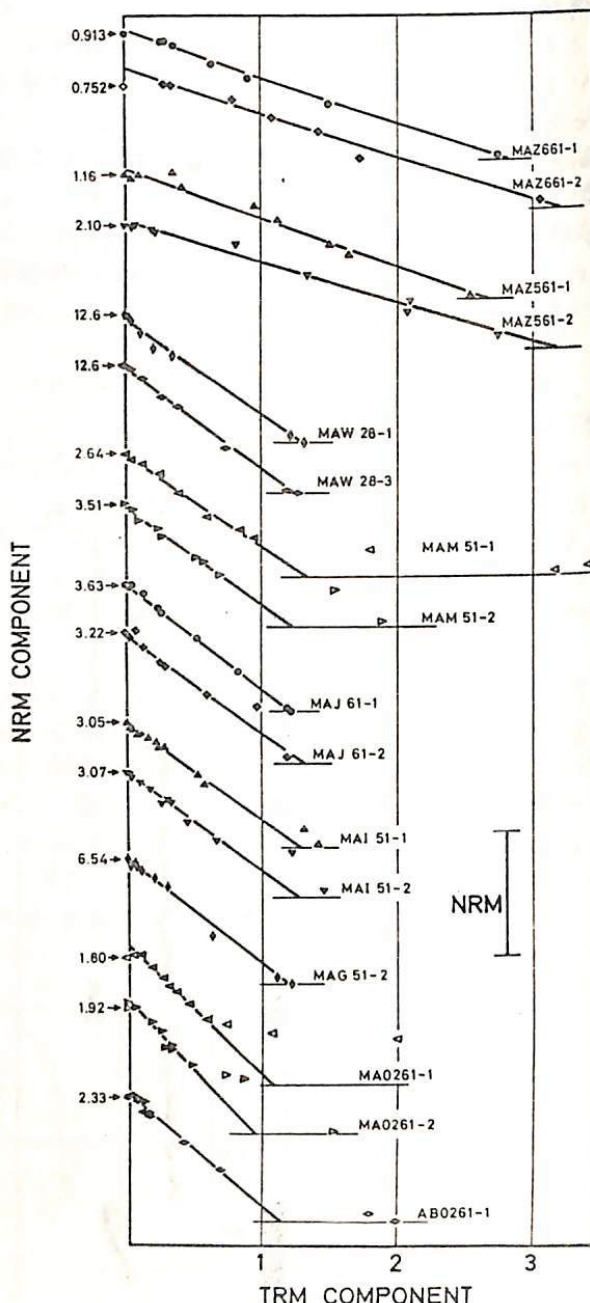
河野 長

CIRES, University of Colorado; 東京大学理学部地球物理教室

約60-65 m.y.前に噴出したデカン玄武岩のうち、交流消磁等で安定性の確かめられた14枚の溶岩から28個のサンプルをとってこれらにThellierの方法を適用した。これらのうちで溶岩9枚に対応する16個のサンプルから、NRM-TRMの直線的関係が得られ、これらからデカン玄武岩生成時の地球磁場強度が求められた(右図参照)。磁化はNRMの大きさでnormalizeしてある。縦軸方向には任意に動かしたAnai-Coeダイアグラム)。Reverseのサンプルから求めた双極子強度は平均  $8.40 \times 10^{25}$  gauss/cm<sup>3</sup> で現在の値とほとんど変わらない。一方 transitionのサンプル(MAZ5, MAZ6)から求めた値は  $2.85 \times 10^{25}$  gauss cm<sup>3</sup> とかなり小さく、地球磁場が逆転する際強度が下くなるという考え方を支持する。

直線関係が得られるかぎりサンプルはいずれも TRM capacity 又は PTRM spectrum に加熱中に非可逆的変化が起つたことを示している。これらの結果やデカンの古地磁場強度と P. Smith などによる Thellier 法以外の手法での予記はいの磁場強度推定との大きな違いを考えると、現在のところ、加熱による非可逆変化を除外できない他の方法による見積りは信用できない。

交流消磁によって安定性をたしかめられたサンプルは、熱消磁によっても磁化の方向はほとんど変わらない。従ってサンプルにかける磁場が十分よくコントロールでき、またサンプルを電気炉内で正確に方向づけができるれば(磁場の方向がサンプルのNRMと直角になるように)、Thellierの方法は同一温度に2回ずつ加熱する必要はないはずである。1回の加熱で TRM 成分と NRM 成分が測れれば、実験時間を大幅に短縮できるだけではなく、高温にとどまる時間が短くなるために、サンプルの磁性の非可逆的変化も少り起りにくくなる。よりよい結果が得られるのではないかと期待される。



伊藤晴明・時松克安  
島根大学・文理学部

大阪府の北部に分布する茨木花崗岩の古地磁気学的研究の一部は前に伊藤(1965)が報告したが、最近この岩体の岩石学的研究田結庄(1971)によつて詳細に及ぶれ、その構造が明らかになって来た。それによるとこの花崗岩体は大きく分けて、3つの岩型よりなり、各岩型は地表におけるほぼ同心円状に分布している様である。その貫入順序は(1)石英閃綠岩(外側)から(3)アダメロ岩(内側)へほぼ連続的であつたと推定されてゐる。またこの岩体の同位元素年命は石坂(1971)によつて報告されており、それに従うと各岩型の黒雲母による年代は次の通りである。

(1) 石英閃綠岩	(83 m.y.)
	(80 m.y.)
(2) 花崗閃綠岩	(80 m.y.)
	(83 m.y.)
(3) アダメロ岩	79 m.y.

以上の新しい研究結果をもとにし、新たにこの岩体から岩石試料を採集し、これらの試料についてNRMの方向の再検討を行つてみた。NRMの測定結果では、この岩体の大部分を占める(2)の花崗閃綠岩はReverseか、所謂 intermediateの方向を示し、VGPはアフリカの南端( $35^{\circ}$ S,  $25^{\circ}$ E)附近に分布するようである。一方岩体の中心部を占めるアダメロ岩のNRMはNormalか、intermediateに近い方向を示し、VGPはベーリング海附近に分布するようになる。分回はこれらintermediate NRMの地球磁場のTransitionを示すものと仮定して、測定結果を処理し報告する。

II-12 佐渡における三紀火山岩による古地磁気

乗富一雄・鈴木忠男  
秋田大学・鉱山学部・鉱山地質学教室

男鹿半島の火山岩の自然残存磁気と対比する目的で、これとは「同時代の火山岩が分布する佐渡島において試料を採取し、NRMを測定した。さらに、弥彦、栗島、角ヶ岡、におりても参考のために採取し、測定を続行している。

現在までの測定結果により、明らかになつた帶磁方向の対比をすれば下図の如くなる。  
この結果によると、真更川上部層に明確な逆帶磁の時期があり、これは男鹿半島における台島へ内面前階の逆転時期と対応するものと思われる。

大佐渡と小佐渡の両では、適確な対応は見出さず至つていいが、現段階では一応下図のような結果が最も合理的のようである。

なお、栗島、弥彦、おおじ角ヶ岡の試料は、いずれも粗粒玄武岩で NRM の安定性はあまり良くないが、参考のため、一応付記した。

男鹿半島	大佐渡	小佐渡	栗島	弥彦	角ヶ岡
勝本					
北浦	次根				
船川	中山	中山			
女川	鶴子	鶴子	?	Dolerite	
西黒沢	下戸	下戸	?	頁岩	
台島	真更川 上部	経塚山			
門前	真更川 下部	豊岡			
		三瀬			
	石花川	石花川			
入道崎					
赤島	入川				

Legend:

- Normal:  NORMAL
- Reversed:  REVERSED

Geological notes:

- 弥彦: 寺泊, 間隙物質, 滅滅, 粗粒玄武岩, 安山岩, 上御層群
- 角ヶ岡: 温海層群, Lipalite, 基盤(Granite)

II-13

久米島(沖縄県) 鮮新・更新統安山岩。  
古地磁気

笠嶋 貞雄

京大・理

久米島の北半部には鮮新世から更新世にわたる、オリビン玄武岩～輝石安山岩類の何枚かの溶岩流が厚く重なっている。また、これら溶岩流を貫ぬく數本の安山岩質岩脈が発達している。

これらの大部分は逆向磁化を示し、こつうち宇江城付近の安山岩溶岩についての古地磁気については数年前、前中・笠嶋が報告した。今回再調査の機会を得たので、今回に未解説であった Reverse-Normal transition の補足結果を述べると共に、新たに得られた岩脈類についての古地磁気について述べる。併せてこれらの結果を総括して古地磁気の資料から推論される琉球 Sub-arc の鮮新世以後の運動について概報する。

II-14 古地磁気学的年代と白堊紀末の日本東北と西南日本

安川克己・中島正志

大原入子・基礎工学部

二、北日本では、カウの東北地方はさてあり、西南日本では、西南日本内  
部の二部である。但しカウ東端は近畿地方の東端とした。二、範囲外。タリ層など。日  
本海の島々の資料、中央構造線・松山伊万里線にカウを近畿地方の資料と並べて使用  
する。二、どうして規定したのは、日本海の島々が二、北日本と同様地  
塊と(?)扱つてよ。たゞか、どうか、何がよろしく、二、構造線と島はしてその両側が、  
さう書きして可能だが?是"二、"で理由によると"二"である。要するに、統計的にはどう場合  
、同一の集団に属するかどうかと/良"か"どうか疑問が多い"か"では"どうか"である。  
三、西南日本の東端は、系奥川-静岡構造線のりいに(?)方かよ。たゞか、まだれまよ。、  
福井・岐阜・滋賀三県の県境からリラ古生層か、多くは断層と伴う、南西方向の大さ  
く北へ向う構造を示して"三"で、"カウの近畿地方の東端なりと複数の方が無難で  
ある"と考る。二

22. 2つの地方で精度経度は > 112, 0.5 度间隔の項目 ~~を~~<sup>を</sup> 11-1 = 113  
 ある可变性観察の NRM 判定地図が得られ、白区域は 0.17 の傾角・偏角で、Fisher  
 の方法で平均し、27 項目を 27 の項目中心に並べて白区域の確率の方向で並べ  
 るとした。各資料がどの項目に入ったか判定後、採集地図の精度・精度の分野を行なう。  
 約分より大きさ 15 分より小さく場合 112, 27 の間に 12.5 の 0.00 度部分を中心とす  
 る項目は算入し、15 分より大きさ 45 分より小さく場合は 0.0 度 30 分を中心とする  
 項目とした。27 の小字は 12 行がれた。

次に、 $\pm 90^\circ$  は  $120^\circ$  定め  $S \approx 3.0$  分鐘 升目の種度・種値  $\alpha = 2.9$  平均的傾角、偏角が  $S$  地震角の Virtual pole の位置を決定する。 $\pm 90^\circ$  は  $120^\circ$  各升目毎に求め  $S$  の Virtual pole position と  $3$  角形 Fisher の方法で、両地盤（東北・西南）は  $\pm 7.3$  平均的 pole position を決定する。 $\pm 90^\circ$  は、西南日本から求めた結果  $(159.2^\circ W, 52.5^\circ N)$  東北日本から求めた結果  $(49.3^\circ E, 70.1^\circ N)$  である。

= 12°, 西南日本の位置度は ( $134.0^{\circ}$  E,  $35.0^{\circ}$  N) の地表に選び, 又東北日本的位置度は ( $141.0^{\circ}$  E,  $39.0^{\circ}$  N) の地表に選ぶ。その北極の距離度は  $12^{\circ}$  也, 現在の子午線と自重紀元子午線との子午角 ( $\delta$ ) は下表の如きである。

	P	$\delta$
西南日本 (134.0°E, 35.0°N)	49.3	49.6
東北日本 (141.0°E, 39.0°N)	54.3	-24.8

兩地方から本の山に亘る極的位置を算べて、上記の表の數値と対比すれば、さうして  
天子より位置測定が推定される。

中島正志 深井至 今川彦仁 夏原信義  
 安川克己 (波太基礎工)  
 広岡公夫 (福井大 教育)  
 鳥居雅之 (大阪市大 理)

昨年東北地方の数10ヶ所の地表で火山岩を採集したが、そのうち、第四紀のものについての残留磁気の測定結果まとめてあるので報告する。採集地は、八幡平、森吉山を中心とする16地場である。その中で焼山火山蒸湯熔岩より、Reverse magnetizationを見出しているが、層序は第四紀のもの上位に属し、その上下両層はNormalであるから、このReverse is matuyama Epoch のものとし Brunhes Epoch 中のEventである可能性が強い。

既に得ている第四紀のDataを総合して Virtual Pole position およびこれに比車支不規則性を示す。測定結果 1次を通す。

Site	地層	D	I
TV 4	高原火山	22.3	44.5
18	焼山火山蒸湯熔岩	-154.4	-53.5
26	"	-93.5	-57.9
27	外輪山焼山上部熔岩	-14.3	53.7
28	" 浅黒熔岩	-27.5	59.5
29	" "	-4.8	62.1
30	"	-24.6	60.9
31	柴倉火山桐森熔岩	6.3	62.3
32	"	-36.0	52.3
40	八幡平火山源下森熔岩 安比岳熔岩	3.8	46.7
41	茶臼岳火山	-33.0	76.3
42	丸森火山 二森熔岩	-98.4	81.0
43	茶臼岳火山 丸森凝灰岩	-95.6	70.3
44	" "	-68.6	74.9
47	"	-10.8	63.4
48	丸森火山 二森熔岩	80.2	71.7

浅井至 今川薦仁 夏原信義  
 中島正志 安川克己 (改訂基礎工)  
 広岡公夫 (福井大 教育)

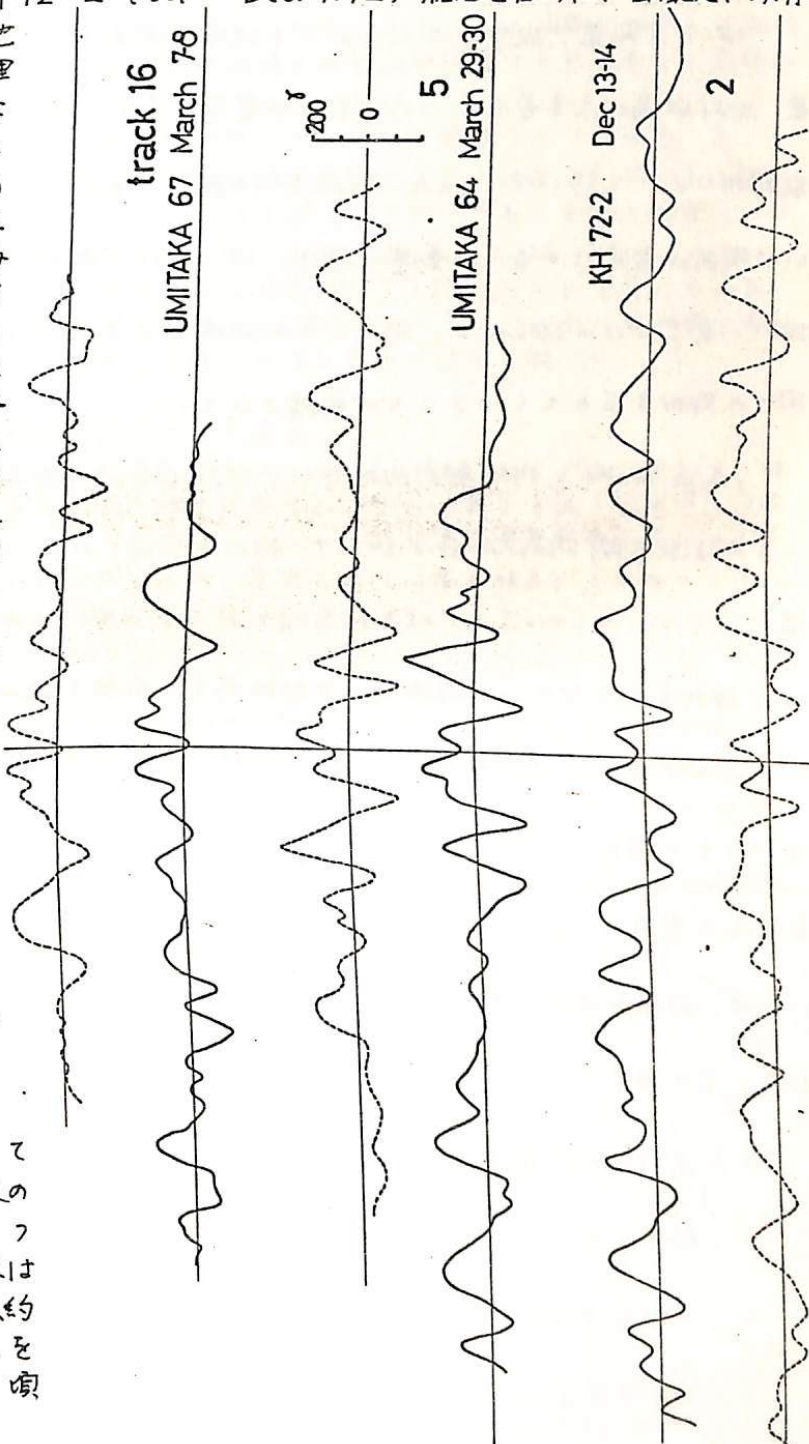
考古学的遺跡の焼土を使っての Archaeomagnetism の研究は、関東中部地方では、渡辺により、而南日本では、広岡、川井等により詳細に行なわれている。しかし、東北地方では、現在まで渡辺氏による 7 sites での測定のみである。今回、岩手県教育委員会により、岩手県北上市 ( $141.1^{\circ}\text{E}$ ,  $39.3^{\circ}\text{N}$ ) で 墓掘調査された平安時代の住居跡の炉跡から試料を採集し、その磁化測定を行なった。今までに発表されている Archaeomag. の全 Data を地域ごとに整理し、今回の測定値と比較した。

#### 測定結果

Site	D	I	$\Theta_{95}$	K	N	V. P. P.	
						( $^{\circ}\text{E}$ )	( $^{\circ}\text{N}$ )
BJ-59	-10.7	56.9	4.98	85.0	11	42.6	81.4
DB-6	-14.0	59.7	3.54	117.5	15	62.2	79.2
DG-18	-14.3	56.4	3.14	85.9	25	43.9	78.5
BN-9	-14.0	54.4	4.61	69.7	15	34.1	78.0
BM-18	-11.6	56.6	3.26	83.4	24	41.6	80.7
BH-59	-17.4	53.6	4.01	99.4	14	36.2	75.2
BD-12	-16.5	59.5	3.67	43.4	36	61.0	77.3

友田好文・小林和男・瀬川爾朗・野村雅史・宇田川雄司  
東大海洋研究所

しまったが、どうやら、この磁気異常は南へ行くほど小さくなっている傾向があり、西マリアナ海盆(いわゆる Pearce Vela basin)では消えてしまつて、いろいろなが、もし、海底拡大の軸が南へ続いて西マリアナトラフへ続くなれば、深海掘削の結果はこの海盆中央部が中新世初期(約2千5百万年前)にまでさにことを示すので、この磁気異常もその傾のものとされるかも知れない。



II-18 1900-1965年間の観測所データによる地球  
磁場の球函数解析

行武 敏  
東京大学地質研究所

1829年以来、数多くの人々によって地球磁場の球函数展開が実施されてきた。その結果、地球磁場の永年変化について数々の重要な事実が明らかにされた。しかしこれら球函数解析により得られた Gauss-Schmidt 係数は、基礎となるデータの質や分布状況、あるいは解析の方法にかなりの影響を受け、同一年代の解析でも解析者が異なると、必ずしも細かい真面目ではない。詳しい地球磁場永年変化の研究には、均質なデータに対して同一の解析方法をもちいることが要請される。

Malin は 80ヶ所の観測所のデータに対して、1942-1962年間を 5年間隔で、 $n=m=6$  まで球函数展開した。今回 21ヶ所の観測所で得られた 1900-1965年間の 3成分の年平均値に対して、 $n=m=3$  まで球函数展開をみこなった。 $X-Y$  成分と  $Z$  成分と、これらを別々に解析をみない、内部磁場と外部磁場との分離を試みた。

このようして得られた Gauss-Schmidt 係数は約 12, Maximum entropy 法は約 3 パワースペクトル解析を実施した。この際 zonal term については、18世紀以来の解析結果は最小自乗法を適用して得られた三次近似式を差し引いた残りを、zonal term 以外の展開項については、移動性磁場の移動による効果を取り去った残りをパワースペクトル解析の対象とした。その結果

- 1)  $g^{\circ}$  の他の外部磁場成分に太陽黒点周期に対応するものと  $10.5 \sim 11$  年変化が認められる。
- 2) 内部磁場変化に 80 年、50 年の変化が卓越する。
- 3) 内部磁場変化に 18 年、9 年周期の変化が存在する。——等が明らかになつた。

# II-19 地球内核を考慮に入れた、核-マントルの定常電磁結合

渡辺秀文 行武毅  
東大理学部 東大地震研究所

地球自転の不規則変動が、核-マントルの電磁結合によるとあることは一般に認められていて。しかし、そこでの直接的な役割を果すと思われる toroidal 磁場が地表では観測できぬため、電磁結合の証拠としては、地球磁場の西方移動速度と自転変動との密接な関係があげられるのみである (Vestine, 1953; Vestine and Kibble, 1968)。

最近、 archaeomagnetism 及び地球磁場の球関数解析によつて、周期数千年、数百年、数十年の自転の変動に関連していきと思われ、双極子磁場変動の存在が確かめられていて。行武は、簡単な地球のモデルに基いて、これら双極子磁場の変動が自転の変動を説明しうるかどうか検討したが、十分には説明できなかつた。(Yukutake, 1972, 1973)  
これは、 toroidal 磁場が核-マントル境界のみで発生するとしているためと考えられる。  
より詳細なモデルに基づき、核内から発生する toroidal 磁場でも考慮した取扱いが必要である。  
今日は、まず、地球内核を考慮して、定常状態における核内の運動を調べた。

## 電磁トルクと対流による角運動量変化とのつり合

流体核内に対流があると、角運動量の保存から differential rotation を生じる。すると、核内には(双極子)磁場が存在するから toroidal 磁場が発生し、これを抑えるよう向かって電磁トルクが働く。定常状態においては、この電磁トルクと、対流による角運動量の変化とがつり合う。又固体である内核及びマントルに働く電磁トルクは零となる。これらのことを使ふと、differential rotation の角速度の分布が求まる。

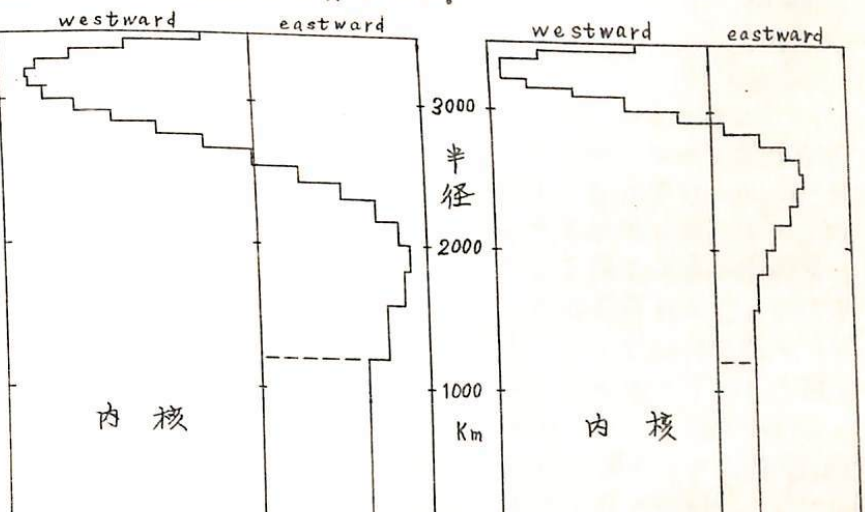
## 核内の角速度分布

流体核を 19 の球殻に分け、それらと内核の rigid rotation  $= \frac{1}{2}$  differential rotation を表わす。対流速度分布のモデルをいくつか考え、各々に対しても角速度の分布を求めた。  
但し、対流速度の大きさがよく分らないので、これらの分布における大きさは決らない。

地球磁場の西方移動速度の大きさがそれを決める目安となる。

得られた分布から分ることは、①核の比較的表面付近では、②核の内部に行進速度が最大となり、内部に近づくにつれて東方移動速度も大きくなる。

②そして、それが最大となり、さらに減少するが零となり、固体の内核にはならぬ。固体の内核には各モデルに共通して、東方移動速度を持つ。



角速度のプロファイル 2 例 (westward は角速度の平均で normalize)

## II-20 山口県下における一、二の古代遺の 考古地磁気年代学

堂面 春雄・宗岡 浩

山口大学教育学部 物理学教室

山陽新幹線の開発にともない、山口県瀬戸内地方の各地で古代遺跡が次々に発見されているが、これらの発掘調査を行なっている県教育委員会・考古学者グループの申請により、筆者らはこれら古代住居址の考古地磁気年代学的手法による実年代の推定を手がけてきた。

これらの住居址における炉趾の伴出は必ずしも多くないが、採取できたもののいくつかについての実測例を示す。

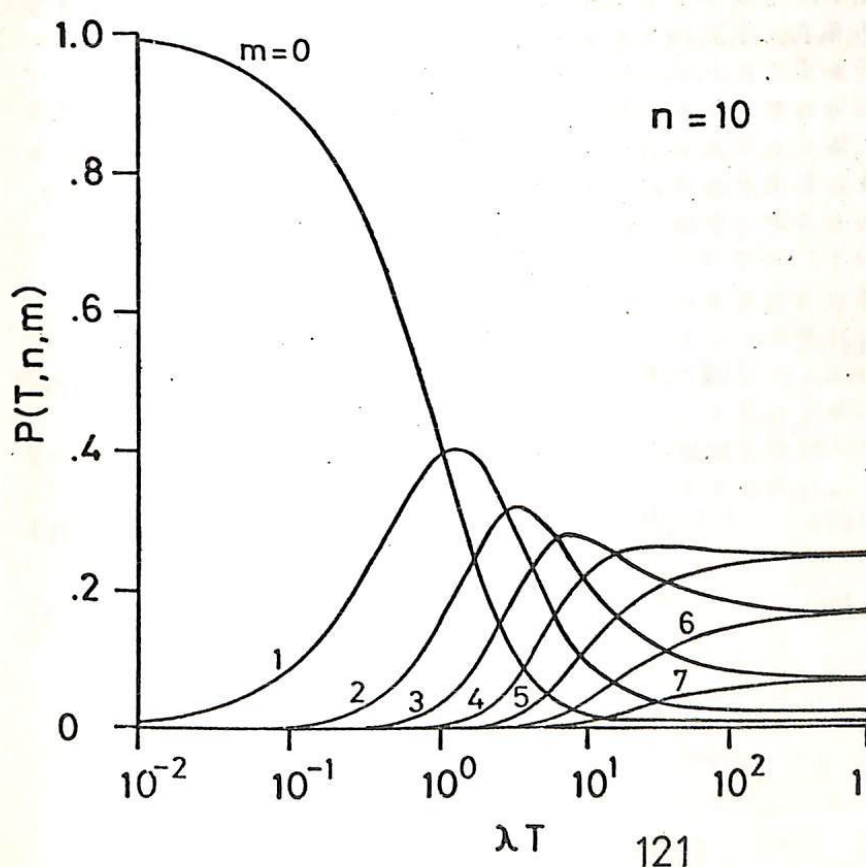
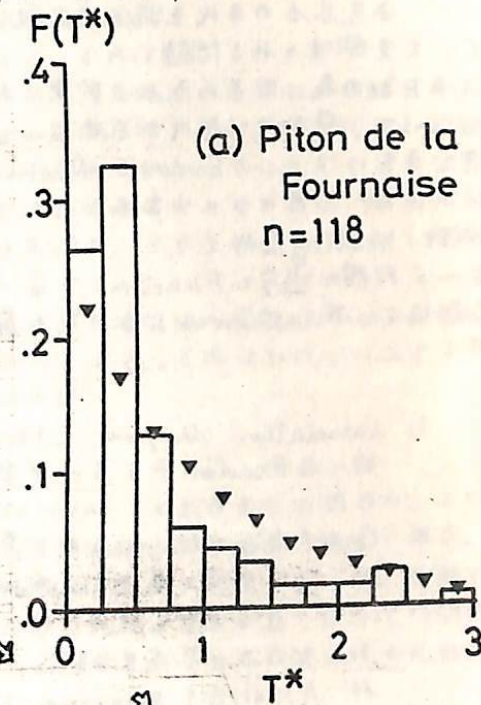
焼土試料としては、直径・高さとともに約6cmの円柱状のものを、炉趾より直接切りだして用いた。

これらの残留磁化測定には、無定位磁力計を用い、実年代の推定をするさいの尺度として、地磁気永年変化曲線は川井曲線を利用した。

河野 長

CIRES, University of Colorado ; 東京大学理学部地球物理教室

世界中の活火山で歴史的に10回以上の溶岩噴出の記録があるものは19あるが、これらの山々で溶岩噴出の間隔をしらべると大体 Poisson 分布をしていることがわかる（右の図はその例）。一方 Cox によつて地球磁場の逆転数やより Poisson 分布に従うような時間間隔をあいて起つてゐることが示された。これら2つの現象はお互いに独立であり、これらある時間  $T$  の間に  $n$  回の溶岩噴出があり、 $m$  回磁場が逆転する確率を求めることができます。実際には溶岩が地質学的には点しか表わさないので、この  $T$  時間内に起つた短い polarity event が記録されない可能性があるために、実際の逆転回数は  $m, m+2, m+4, \dots$  のいずれかである。以上的事情を考慮した上で、 $T$  時間内に  $n$  回の溶岩を噴出し、 $m$  回の逆転を記録する確率  $P(T, n, m)$  の厳密な形を求めた。下図に  $n=10$  の場合の例を示す。但し横軸は磁場逆転の



平均間隔 ( $\lambda^{-1}$ ) を単位としてつかつた時間である。図からわかるように  $P(T, n, m)$  は漸近的に

$$\lim_{T \rightarrow \infty} P(T, n, m) = \begin{cases} 1, & m=0 \\ 0, & 0 < m \leq n-1 \end{cases}$$

$$\lim_{T \rightarrow 0} P(T, n, m) = \frac{1}{2^{n-1}} \binom{n-1}{m}$$

のようにふるまう。

$P$  を  $m$  について部分和を取ることにより、 $n, m$  が与えられたときの  $T$  の上限及び下限を任意の信頼度のレベルで求めることができ。ここでは 95% と 99% レベルでの  $T$  の上下限を求め、K-Ar 法で年代のくわしく調べられた連続溶岩のデータと比較し、よく合つていることを確かめることができた。

## II-22 海底岩石の $^{40}\text{Ar}$ - $^{39}\text{Ar}$ 年代と その地球物理学的意義

小嶋 穏 藤井和男

東京大学 理学部 地球物理学教室

海底岩石の年代を Radiometric 法で知ることと、海洋底拡大説を裏づける上で、大変興味のある問題である。これまでにもいくつか K-Ar 年代が得られてはいるが、中には下記の表に示すように、異常に古い年代を示すものがある。これは Excess Argon によって、見かけの年代が古くなっているのだと考えられ、海底の岩石の K-Ar 年代を確立するには、この Excess Argon の困難をどう処理するかということが問題となる。ここに K-Ar 法のバリエーションである、 $^{40}\text{Ar}$ - $^{39}\text{Ar}$  法という方法があつて、step-wise heating を行えるという利点を持つてはいる。700°C から岩石がとけるまでの間に、5~6 段階の温度で Fraction を集め、どのくらいの Fraction について年代を求めていく方法で、Fraction による年代の違いから、Ar loss および Excess Argon の情報を得ようというわけである。今までに得られた結果を下に示す。

- Correlation diagram (Y 軸  $^{40}\text{Ar}/^{36}\text{Ar}$ , X 軸  $^{39}\text{Ar}/^{36}\text{Ar}$ ) 上で、Y 軸を 295.5 で切る直線に各 Fraction を示す点が乗るサンプルについては、ついついのあう年代が得られた。
- Correlation diagram 上で直線に乗らないサンプルについては。
  - EM7 : 低温 Fraction の示す年代は magnetic lineation から考えられる年代に一致し、高温 Fraction では著しく古くなる。Excess Ar が高温 Fraction にあうわれてきてはいると解釈される。
  - AM11-B : Pyroxene を取り出して集めたサンプルであるが、90% に達するガスが最高温 Fraction として出てはいる。年代は著しく古いか、全岩での結果や、高温に Excess Ar の影響が出ることを考えると、Excess Ar はさして年代が古くみえると解釈するのがよがろう。
  - AM50 : 化石、稀土のパターン、K-Ar 年代、のどれを取っても古の年代を示してはいる。高温 Fraction で年代が古くなるのは Excess Argon のためと考えられるが、中温でも著しく古く、成因が不明なから岩石を結論する。

(表)

サンプル	期待される 年代 (m.y.)	報告された 年代 (m.y.)	採取地点	今回の結果 (m.y.)					
				700°C	750°C	800°C	850°C	900°C	Melt
EM7	~15	32~42 <sup>(1)</sup>	Kula Ridge	19.7	41.5	41.6	20.6	31.2	61.5
AM11-B	<10	1680 <sup>(2)</sup>	Mid-Atlantic Ridge	344	—	422	438	214	959
AM50	0~1	200 <sup>(3)</sup>	"	18.7	—	—	11.4	12.5	35.2

(1) Kula

(2) Seide

(3) Kula

## 柿岡周辺のCA観測

久保木忠夫 仲谷 清 小池捷春

中島新三郎 原田晴男

(地磁気観測所)

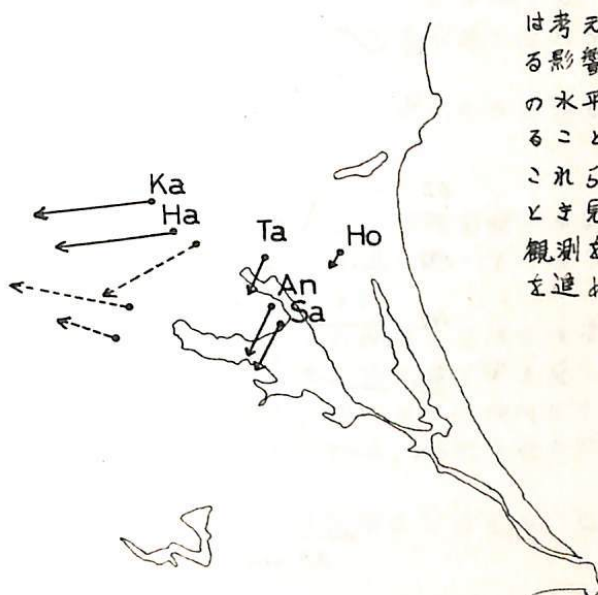
柿岡の周辺で地電流だけでなく地磁気についてもかなりの局地性のあることが知られている。(柳原・横内・久保木・大島) 柿岡の南10kmの志筑ではプロトン磁力計による観測から全磁力の日変化が柿岡と異なり、それが一種の半島効果になっていることが分っている。(柳原・大地) これらのこととは観測所としてもきわめて重要なことであり、関東異常の特性の調査からも柿岡周辺のCA観測が必要となってきた。このため1971年より観測を開始した。現在までの観測点は次の通りである。

出島 安食 (An)	地磁気三成分 G I T型直視磁力計、地電流二基線(70~110m鉛電極)	
坂 (Sa)		✓
玉里 (Ta)	地磁気三成分 G I T型直視磁力計	✓
半田 (Ha)		✓
鉢田 (Ho)		✓

観測期間は一ヶ月半～二ヶ月で解析に必要な資料が50～100:とれるまで行なった。この結果は次の通りである。地磁気が北向きに変化したとき地電流の方向は図の通りである。またこの方向は玉里以外は非常にせまい幅に抱束されており柿岡に類似している。点線で示したもののは前に久保木らの求めたものである。これらの筑波山塊を半島とみたてた効果がよく表われている。また柿岡が一般の観測所の2～5倍大きいことも筑波山塊の比抵抗から説明できる。

地磁気の変化ベクトルは5°～11°西よりで柿岡と大差ない。大きさは柿岡の0.68に対しで出島安食0.88 玉里0.76 半田0.88といづれも大きく古い資料から館野が0.82であり関東異常と考え合せるとよく一致する。地磁気の各成分の変化量の比を求める柿岡のそれを比べて安食の鉛直分力が27%大きく、半田の水平分力が10%小さく、玉里の偏角が8%

大きい。これらは観測誤差や統計上の誤差とは考えられない。これらの原因は地電流による影響だけではないかも知れない。とくに半田の水平分力の変化量が柿岡に比べて10%も異なることは僅か4kmの距離としては大きすぎる。これらのこととは今後地磁気の精密観測をするとき見のがせない事実であり更に周辺のCA観測を追加しこれらの構造について更に検討を進めたい。



## II-24 八丈島における地磁気変化異常

大島章一 近藤忠 本城義介

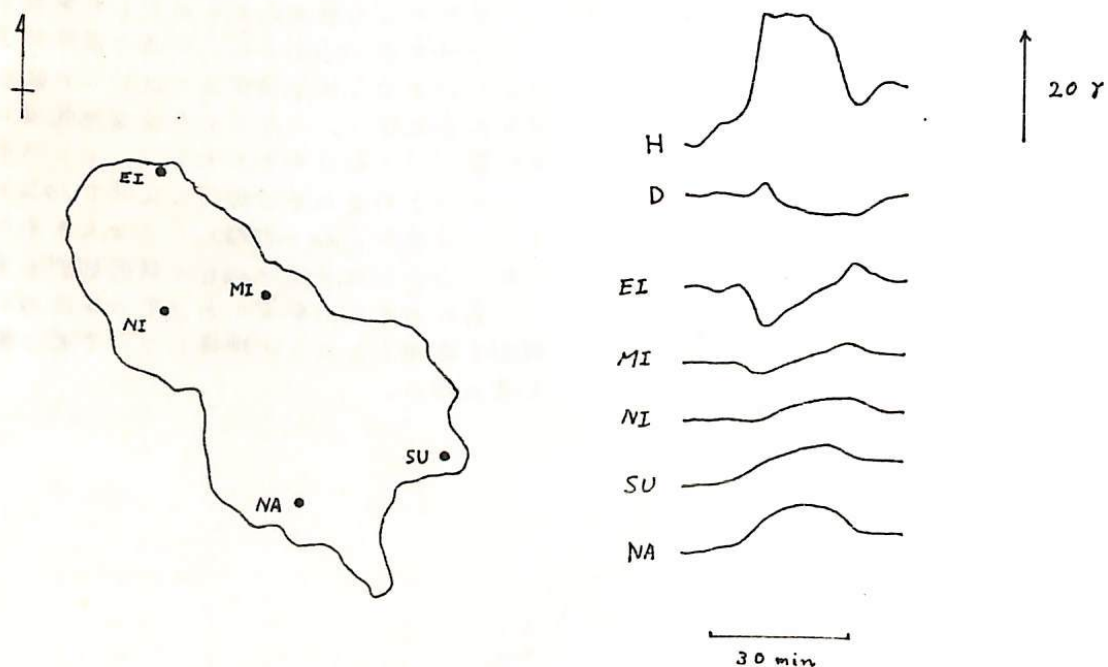
海上保安庁水路部

東京大学地質研究所

1968年に水路部は八丈島において地磁気変化観測を行ひ、Island Effectの存在を明確に示した。更に、島内各観測点で顕著な周期特性がみられ、Island Effectの複雑さを示唆した。特に島の中部と三根では周期60分を境に、 $\Delta Z/\Delta H$ の値が逆転する二つの点がある。一方は、この周期特性は Self-Inductionによるものではないかと言う model 計算を行つたが、八丈島のような小さな島では無視できるほどの小正負、これが観測結果を説明しうるものではないか、だ。その後地質研究所は三宅島において地磁気変化観測を行ひ、八丈島同様、顕著な周期特性を発見した。著者一人本城は、この周期特性は Central Japan Anomalyによるものであつて、Island Effectそのものは周期5分から120分の範囲で顕著な周期特性を示すとして結論した。

$\gamma = 3^{\circ}$ 前回の観測は同時観測ではないし、観測期間も短く二十分を記録が得られるが、たゞ、今日二十九日問題点を解決すべく、再び八丈島において地磁気観測を行つた。昨年12月に Flux-Gate 磁力計4台を島に臨時観測点に設置し、三根の磁力計合て25点の同時観測を行つた。

現在記録を解析中であるが、Transfer Function  $A(\omega)$  と之の周期約30分より長い変化に対する、各観測点で一様な傾向をもつて Central Japan Anomalyによるものか Island Effectによるものか、それより短い変化に対する Island Effectだけかみるところである。更に、Island Effectは三宅島同様小さく、八丈島下に良導層の存在が予想される。より詳細な議論は次の學会にでも報告する所であるが、今回は簡単な観測結果を報告するに留めた。記録の一例を下図に示す。EIとNAでは顕著な正の差が2.5mV。



津軽海峡の両岸における  
地磁気短周期変化の観測

山下 浩・横山 泉  
(北大大理)

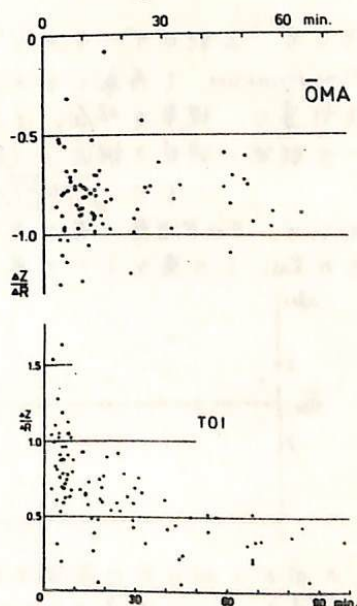
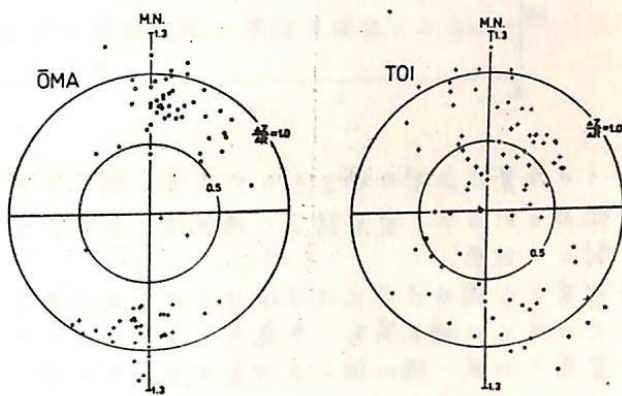
東北日本の電気伝導度異常およびそれに対する海峡の影響を調べる目的で、津軽海峡をはさんで、下北半島北端の大間と渡島半島東南部の戸井において、地電流と、Flux-gate型3成分磁力計を使って地磁気短周期変化の観測を行った。観測は、大間では1972年8月22日～9月23日、戸井では1972年10月5日～12月28日の間行った。その結果、以下のようなことがわかった。

1.  $\Delta Z$  の向きが、海峡をはさんで逆転する。
2. 大間では、周期によらず、パーキンソンベクトルは、ほぼ北を向き、 $\Delta Z/\Delta R$  はほぼ1になる。
3. 戸井では、10分以下の変化では、パーキンソンベクトルは、海峡と直交し、 $\Delta Z/\Delta R$  は大きい。
4. 戸井では、10分以上の変化では、パーキンソンベクトルは、南よりやや西を向き、 $\Delta Z/\Delta R$  は小さい。
5. 大間では、 $\Delta Z/\Delta R$  は周期によつてはほとんど変わらない。
6. 戸井では、上記の周期特性がはつきりあらわれ、約40分を境として傾きが変る。
7. 大間では、戸井にくらべて、高周波成分が3成分とも少ない。
8. 地電流は、両地点とも、東西方向が卓越する。
9. 地電流は、大間では海峡を流れる電流と逆向きを示し、戸井では同じ向きを示す。
10. パーキンソンベクトルと地電流変化の主方向とは、両地点とも、直交する。

以上の観測結果のほとんどは、津軽海峡がほぼ東西を向き、そこに海に誘導された電流が集つてくることによつて説明できるように思われる。

今回の観測結果と現在までの結果とを総合すると、いわゆる東北日本異常は、下北半島北端で最も著しくなるようであり、また、北海道南端ではその傾向が全く逆転する。従つて、東北日本異常には、津軽海峡の影響が大きいと結論せざるを得ない。

今後の課題としては、海峡効果がどのくらいのものか定量的に求めることであろう。

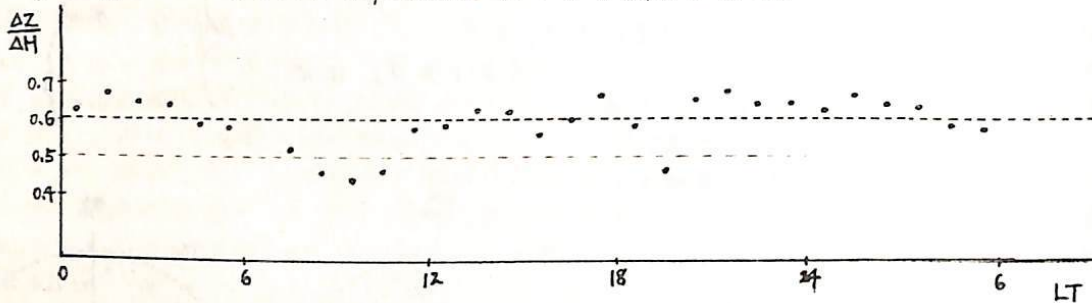


II-26 柿岡等に於ける  $\Delta Z/\Delta H$  の変動よりかた地磁気拘束  
面パラメターの日変化についての統計的推測

富田宏  
東大理

柿岡等日本の観測所に於ける地磁気短周期変動 (SC, SI, bay) 観測値を整理して、 $\Delta Z/\Delta H$  の値を統計してみると、顯著な日変化が認められることは既に久保木 et al. によって指摘されて来たところである。

この事実は、地域内部の電磁感應を研究する際に是非とも考慮すべき問題である。今回は先ず手始めに、Rap Geomag Google Obs, Kakioka 所載の 1957 ~ 1971 の SC のデータを用いて、その LT dependence について調べてみた。



その結果は上図の如きものであり、明らかに昼側で小さく、夜側で大きい傾向が認められるが、更に詳しく持続性、上昇乃至下降性、周期性について統計的に検討してみた。

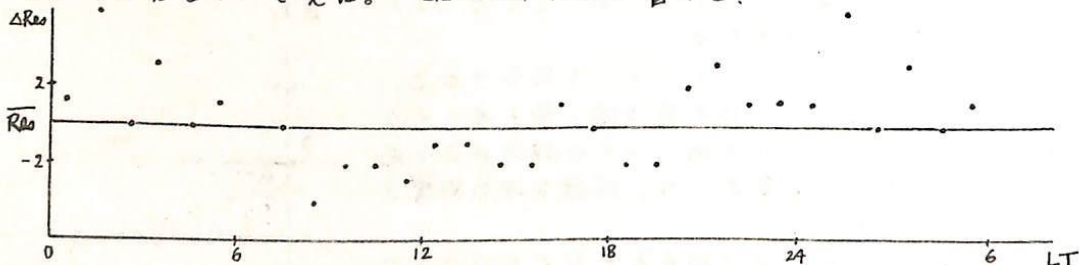
従来この様な日変化は見掛け上のものであり、現象の Duration に対する応答、 $\Delta D$  についての補正等を、考慮することによって取り除かれ、各観測点での地磁気拘束面(カ武一横山面)を決定するパラメター A 及び B の値は平均としては変化しないものと見做されて来た。但し A, B は、 $\Delta Z = A \cdot \Delta H + B \cdot \Delta D$  である。

そこで、上記のデータのうち  $\Delta H > 10\gamma$  以上のもの 144 ケを選び、個々の event 每に Time dependence を考慮した A, B の値(久保木・大島・所載)を用いて  $(\Delta Z/\Delta H)_{ST} = A + B \cdot \Delta D/\Delta H$  を計算し、現象の  $\Delta Z/\Delta H$  との差  $Res \equiv \Delta Z/\Delta H - (\Delta Z/\Delta H)_{ST}$  を求めてみた。

一方観測の誤差の評価を  $\langle \delta \Delta H^2 \rangle = \langle \delta \Delta Z^2 \rangle = S^2 \propto L^2$

$$\epsilon \equiv \sqrt{\langle \delta(\Delta Z)^2 \rangle} = \frac{1}{\Delta H} \sqrt{1 + \left(\frac{\Delta Z}{\Delta H}\right)^2} \cdot S$$

として、Res が有意な差を示すものを抜き出し、正に外れるもの Res+ と負に外れるもの Res- との差をとつて見た。  $\Delta Res = Res+ - Res-$  と書くと、



この図から明らかに昼側と夜側での傾向の相違が見られるが、更に統計的に吟味して見た。この相違は External field の  $\Delta Z$  に依るのではないかと思われる。今后検討する。

II-27

Induction理論に於ける一二の数学的モデルについて

畠 田 宏  
東 大 理

Electromagnetic Inductionの理論を地球内部乃至電離層の如き連続体に応用する研究は A. T. Price, A. A. Ashour, T. Rikitake その他の研究者達によつて比較的早くから遂行されて来た。

今回、それらの理論的計算に加えられた意味に於いて、地下高電気伝導領域が或る種の Undulation を持つているとき、同時に電離層の影響を考慮に入れたモデルについて幾つかの2次元的取扱いを述べてみたい。

次に先の学会で報告した地磁気  $SfC$  現象に關連して、初期条件として  $Sf$  電場系を仮定した時の二層球殼の Induction 及び半球殼モデルの Induction についても触れてみたいと思います。

一般にこの種のモデル計算と CA 現象等を含む現象の複雑な現象との関連について考察することが重要である様に考えられます。

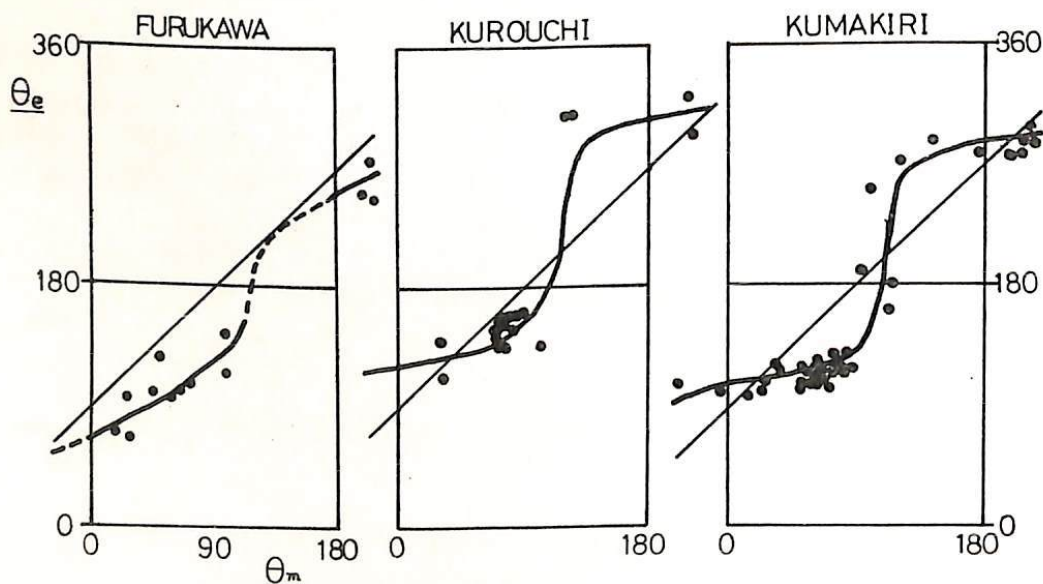
久保木尚夫・小池捷春・原田晴男（地磁気観測部）  
谷口 武（岐阜県吉城高校）

前の51回の講演会においで静岡県の熊切と岐阜県の古川町吉城高校の地電流の測定を行な、その結果について報告した。これによると従来考へられてきた地電流の流線が日本中部の方向をかえて南と北と逆になる。これは（長良川、湾）のとは異る。その結果になつた。これは柳原一夫の考へているように日本列島が、大きな海陸の分布による隣内領域と局所的な小隣内領域の2つからなることと説明できるものである。

古川の資料は人工擾乱の影響をうけているので、更に資料を追加するため、黒内（ $\lambda:137^{\circ}44'$ ,  $\varphi:36^{\circ}44'$ ）で1972年8月より10月まで地電流観測を行なつた。これは人工擾乱が少ない日中の最大時でも  $5 \text{ mV/km}$  以下であり、地磁気との関係は次の圖のようになる。全体として  $45^{\circ}$  の線へのつどいるが、やはり主方向が強く表われてゐる。地電流の変化量そのものは林岡の約古川の  $1/2$  であり、局地性をよく表わしている。

今年3月、更に確認をするため岐阜県郡上郡和良村（ $\lambda:137^{\circ}04'$ ,  $\varphi:35^{\circ}35'$ ）における同じ方法の地電流観測を実施した。これは地電流の変化量が小さく、約  $1/2.1$  かも日中電車の影響が  $20 \text{ mV/km}$  あり、CA観測を行なうのは困難な条件にある。現在までこれた結果では地磁気が北向きに変化したとき、地電流は西寄りの方向に向つてゐる。これは予想された方向より大きく南よりであるが、日本中部の地電流の流線が方向をかえるものとなく、著者らの考へていることが正しかったことが実証された。

和良村では現在も観測は続行中であり、資料が入手され次第まとめて報告をいたし。すこべ中部日本の南側では人工擾乱のため、地電流観測は不可能へ近くなり、また長野県では特殊な所ではないと想測できるくなりつゝあるので早く機会に観測を行なうことを、日本中部の電磁気的地下構造の究明をはかりたい。



II-29

Easter Island における地磁気変化の特性(II)

08-II

宮睡潤一郎

鳥取大学 教養部

Al Duba と F.E.M. Lilley は、海嶺上。海底または海上において地磁気、地電流の観測を行うことにより、海嶺下に存在するであろう Conductor を検知する可能性がある：と E 最近の J. G. R (vol 77, no. 35, 1972) 上で述べている。

筆者は 1966 年の春の学会において、太平洋中にはほぼ南北に連なる East Pacific Rise 上に位置する Easter Island の 1963 年夏の地磁気資料を用い、その偏角の日変化にやや特異性が見られることを述べたが、その後さらに他の季節における偏角の日変化と、SSC。様な短周期変化の際の様相について、他の観測所と比較して調べた。  
その結果、これまでに判明したことは次の通りである。

- 1) D-month, E-month における偏角の日変化に関しては、Easter Island。振巾は他と比較して大きい方である。  
しかし緯度効果を考慮し、さらに松下、前田が行った様に経度方向へ Zone に分けてみてもなお点。バラツキが大きいのではっきりした結論は得られない。
- 2) 各観測点における SSC。際の地磁気変化水平ベクトルの分布をみると殆んどの観測点ではほぼ南北方向を向くが ( $|l_{2H}^D| \approx 0 \sim 0.4$ ) Easter Island, Tucson, San Juan では東西方向に強く偏る傾向がある。

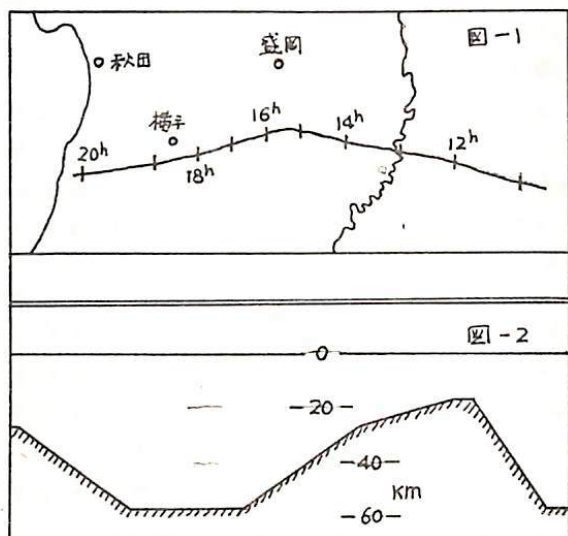
## 大気球による東北地方の磁場測定

加藤豊雄, 長山文雄, 石川守 : 菊戸正弘, 早吸孝  
(東海大学航空宇宙学科) (東北工大)

1972年6月22日, 三陸大気球観測所より放球された大気球(B2-30)に, プロトン, フラックスゲート両磁力計を搭載し, 地上約25kmでの地磁気観測を行った。

大気球のフライトは長時間(約16時間)にわたり、11時から20時までの間の航跡は図-1のようだ。この間に測定された垂直成分とW.M.S.(1965年)を用いて、東北地方の磁気的地下構造を推定した。

先ず、W.M.S.から航跡に沿って、地上3kmでの垂直成分の測定値と計算値を読み取り、その差を求め次に、大気球で観測された垂直成分を1分毎に読み取り、更に10分毎に平均して得られた値を測定値として、この測定値と既定された地上25kmでの計算値との差を求める。又、水沢測地観測所の記録によれば、当日の地磁気変化は静かであるので、上記の差の原因は地下の磁気的構造にあると考えられる。これらの差を説明するために、図-2のように垂直方向に一様導磁( $2.6 \times 10^{-3}$  C.G.S.e.m.u)してある場合を考えモデル計算をすればよりよく説明できることがわかる。



柳原一夫

地磁気観測所

地磁気経年変化と外部磁場の影響が入っていふことは予想されるところであり、11年変化の抽出を試みられていふ。外部磁場の影響を分離抽出すことができれば、地下状態の変化を地磁気変化から推定するのに大いに役立つであろうが、なかなか困難なことである。

1900～65年の $\dot{H}$ を世界各地観測所について求めると、 $\alpha + \beta t + \gamma t^2$  上の振動が激しく観測精度上問題のある観測所が多い。北半球中低緯度を一周する10ヶ所観測所（比較的の良質と思われるも）の $\dot{H}$ 経年変化を比較一覧すると、1930年以降は比較的一致した短期変動を示す（もちろん長期傾向は別にして）が、それ以前の前半部はあまり一致性がない。これは古川時代の観測精度が劣っていきなめであろう。

後半部の一一致化をみると11年周期が基本としてあるが、個々の凸凹は年代もつと大きく、しかも中低緯度を一周して一致していふので有意義と思われる。これらを抽出することを試みる。

外部磁場影響のもつとも大きいものはいわゆる DR (+DCF) と考えられ、日平均値の変動の緯度分布 ( $\dot{H} \propto \cos \theta$ ) はこれを裏書きする（久保木）。日平均値の $\dot{H}$ がこうなら、年平均値の $\dot{H}$ も地下原因の長期変動を除けば同じはずである。こゝ観察から前記10ヶ所の平均 $\dot{H}$ 変化を求める。長期変動を10カ所平均 $\ddot{H}$ 、

$$(\dot{H}) = \beta_0 + \beta_1 t + \beta_2 t^2 \quad (t: \text{year})$$

とおいて残りを求めるに、（年々凸凹）+（11年変化）の他、古川長期変動が残る。これは一見予測していふように見えるが、11年変化があるために上式を使って最小二乗法で、直求める際影響を受けるためにある。これは

$$\dot{H} = \beta_0 + \beta_1 t + \beta_2 t^2 + \alpha_1 \sin(2\pi \frac{t}{11} + \alpha_1) + \text{irregular}$$

と仮定して、最小二乗法により $t$ の一次係数を求めると  $[\beta_1] = \beta_1 + 0.0193 \alpha_1$  となることが明らかである。（左の $\beta$ の値 0.0193 は  $t: -16.5 \sim +16.5$ ;  $\alpha_1 = 0$  に対してのもの）。逆にいきなり11年周期変化を求めれば、長期変動分の11年周期成分の誤差として入る。

こゝのようなことを考慮して、実際には11/2年周期もとりあげて、まず平均長期変動と平均11年周期変化を抽出した。後者は太陽活動と相当よく一致する。平均長期変動を除いたものを平均緯度における外部磁場の影響分と仮定して、 $\cos \theta - \text{law}$  により各観測点へ適用して引き去れば、古川の本当の地磁気経年変化が求められる。

地磁気観測の歴史はこのよきな解析をするには短かく、かつ古川資料は精度の不足なものも多い（最近のデータでも疑問のものも相当ある）。解析に必要な精度のあるデータを合理的に選択することは、短い期間の資料から長期変動とこれに重なる周期的、非周期的変化を分離することは相当困難であるが、なお試みを行いたい。

## II-32 日本の磁気異常分布について (II)

水野 浩雄  
国土地理院

前回につづき、磁気異常の頻度分布について報告する。資料は国土地理院の一、二等磁気測量のデータで  $C_1, C_2$  補正をほどこし、1970.0年に化成したものである。測定値の数は1855箇である。この資料により、最小二乗法を用いて differential longitude and latitude の二次式の形で general distribution を決定する。この general distribution を用いた1970.0年値との差を磁気異常とする。

前回は以前に原田美道氏がみつけた結果と比較するために anomaly の絶対値と横軸にとり頻度分布と調べたが、今回は符号も含めた anomaly の値に対して頻度分布を示す。更に前回未だつた2成分もつけ加えよ。

前回ものべたように、日本の anomaly の頻度分布は二つの型に大別できるとみる。中国南部、四国、紀伊半島から中部の南西部にかけては、いずれの成分も anomaly が小さい。これは磁気図よりも明らかのことであるが、この地域の頻度分布はオ一図のようになる。すなはち anomaly  $\pm 1^{\circ}$  ～  $-100^{\circ}$  ～  $100^{\circ}$  の範囲に 90% 以上の点が入り、 $-50^{\circ}$  ～  $50^{\circ}$  の範囲とあっても 70% 以上の点が含まれ、anomaly の上限を数百点に止まっている。一方その他の地域では頻度分布はほかに横に入り切った型となる。オニ図には東北地方の頻度分布を例にあげた。anomaly  $\pm 1^{\circ}$  ～  $-100^{\circ}$  ～  $100^{\circ}$  の範囲に入るのは高々 50% であって左右に長くすさまじき anomaly の上限は  $1000^{\circ}$  と見える。前回も指摘したことであるが、後者の大部分の領域が green tuff 活動地域であり、前者がその非活動地域と一致する。これら両者の型を比較するとオニ図の横軸自盛と  $1/2$  とし、それで軸自盛と 2 倍にするとはほぼオ一図に同じようになる型となる。

そのようにすれば、それぞれの地域の anomaly の原因とすすめ地殻の帶磁の空間的スペクトルの振幅とく：1 にて述べたおおよそ兩者の関係を満足することになる。すなはち non green tuff region の地殻の帶磁の程度は概して green tuff region の  $1/2$  ということである。勿論これは唯一の可能な解釈でもないし、また細かいれば

non green tuff region での頻度分布はオニ図のたて軸、横軸と 2 倍、 $1/2$  倍したものの上りシャープに立つているので、その帶磁の程度はもっと小さくみるべきであろう。

頻度分布からもうひとつみとめられることは anomaly のに因して一般に正負対称になつてゐることである。もし地殻が地球磁場の方向に帶磁していれば、偏角の anomaly 頻度は対称にならぬ。水平分力と垂直分力は本來非対称である。それともうひとつは general distribution として differential longitude and latitude の二次式とことこの兼容性の問題である。non green tuff region の anomaly 分布は明らかに負側に向かっていふ。これは磁気図からみても見当がつく。この北側の green tuff region の分布にもこの傾向がある。したがってこの地域には二次式分布では除去しきれない、しかし地域全体とおおむね規模の長波長の undulation が重複していることがよりである。こうしたことは他のもみられるが、双方検討を加える必要がある。

non green tuff region

X

D

Z

%

30

20

10

-200 -100 0 100 200 300

$\delta'$

第1図

東北地方

X

D

Z

%

20

10

-400 -300 -200 -100 0 100 200 300 400

$\delta'$

第2図

## II-35 夜間の静穏日地磁気日変化 (II)

太田 杜次郎  
(岐阜農科大学)

地磁気的夜静穏午日の変化について、さきにこの学会でその季節特徴の項 (Seasonal term)  $\langle \frac{1}{2}(\text{Summer} - \text{Winter}) \rangle$  について報告した。それによると、統計上や分散は大きいが、緯度分布、ボテンシャル論を見地から一方の結論を得た。特に多くの人々の日変化解剖結果から得られた緯度各項の係数のうち、季節項の  $P_3^1$  の係数が、度数の量とともに非常に大きくおり、少くともこの項は優勝基準による上で強調することを述べた。

しかし、この際、年平均状態 (annual mean) については分散が大きくなる時には夜間変化として表現すること困難なことがわかった。その後、精緻に検討し、結果を結論まで出したことから東京へ報告する。

この論文では、統計的に意義を持たせたために工夫したことの最も強調したい点である。即ち、個々の日の平均と算出した場合の分散の大きいことについては処理の方法は全くないように思われたが、

- ① 逐年の状況 ~~があまり~~ <sup>よく</sup> ないこと。
- ② 移動日と静穏日との比較によると、最も、擾乱の影響の多いこと。
- ③ 地域特性 (ヨーロッパ帶、アメリカ帶、極東帶) ~~は~~ <sup>は</sup> 重要なことであるが、統計的に意義あること
- ④ 南北西半球については、直前の日変化の残存 (after effect or pre-effect) のヒリヤーにいたるに工夫したこと。
- ⑤ 世界時変化のあること (これは地域特性と形態学 (morphology) は別である) ととりわけ統計の信頼度を増すことには成功した。

この結果がなり複雑な変化の組合せてあるということになる。左のとて、尚検討の余地はあるが、算出された地方特異化、世界時変化 (地域特性も含む) など年間不規則性の資料とともに参考とされる。

## II-36 地磁気日変化等価電流系の変動(続報)

白木正規・柳原一夫  
気象庁・地磁気観測所

これまでの解析で、地磁気日変化等価電流系の中心緯度が、30日～10日周期で変動するといふことが調べられてきた。その一つの方法は、中緯度の観測点の水平成分から求めた  $\bar{H} = \sum H(\text{day-time}) - \sum H(\text{night-time})$  というファクターを調べることである。このファクターは粗い近似で電流系の中心緯度の変動を示す。1936～1938年、1938～1940年、1940～1942年、1942～1944年、1961～1963年という5つの期間について、毎日の  $\bar{H}$  の変動をパワースペクトル解析して周期性を調べた結果、解析期間によって卓越周期はいくぶん異なるが、30.0日、24.0日、15.0日、13.3日、9.1日、7.1日、6.3日というようないくつかの周期のところにパワーのピークがみられる。このような周期で電流系の中心緯度が変動することは、1971年の解析からも明らかである。この場合には、安達別、柿岡、鹿屋、久島の水平成分の形から中心緯度を求めるという方法をとったが、毎日の変動のスペクトル解析の結果30.0日、10.0日、7.5日の卓越周期がみられる。

今回の解析は、変動のダイナミックスペクトルをみて周期構造の時間的変化を調べた。 $\bar{H}$  では30日、15日、10日、7日といふところにパワーがみられるが、これらの周期のパワーは常に見られるものではなく出現と消滅をくりかえしている。1936～1944年の間には、太陽黒点数が著しく変化しているが、 $\bar{H}$  のパワーには影響しているようである。また、この出現・消滅は季節に依存しているともみられる。卓越周期からみると地磁気擾乱に関係しているとも考えられるので、Ap indexのダイナミックスペクトルを同じように求めた。両者のスペクトル構造を比較してみると、卓越周期が同じであることや、パワーの安定性が同じことから、両者は関係しているともみられるが、パワーの卓越周期やパワーの時期が必ずしも一致していないことからみると、関係があるようにも見える。1971年の中心緯度の変動のダイナミックスペクトルからも、 $\bar{H}$  の場合と同じように、解析期間を通して定性的にパワーは構られていない。この期間には、Apインデックス、電流系のインテンシティ、2800MHz太陽電波フラックス、いつももダイナミックスペクトルを調べてみた。これらの相互のスペクトル構造の比較をおこなったが、いまのところ確証はないが、関係は構られていない。

## II-37 1971年1月の PC, AE, DR-indices 比較

上出洋介・福島直  
東京大学理学部

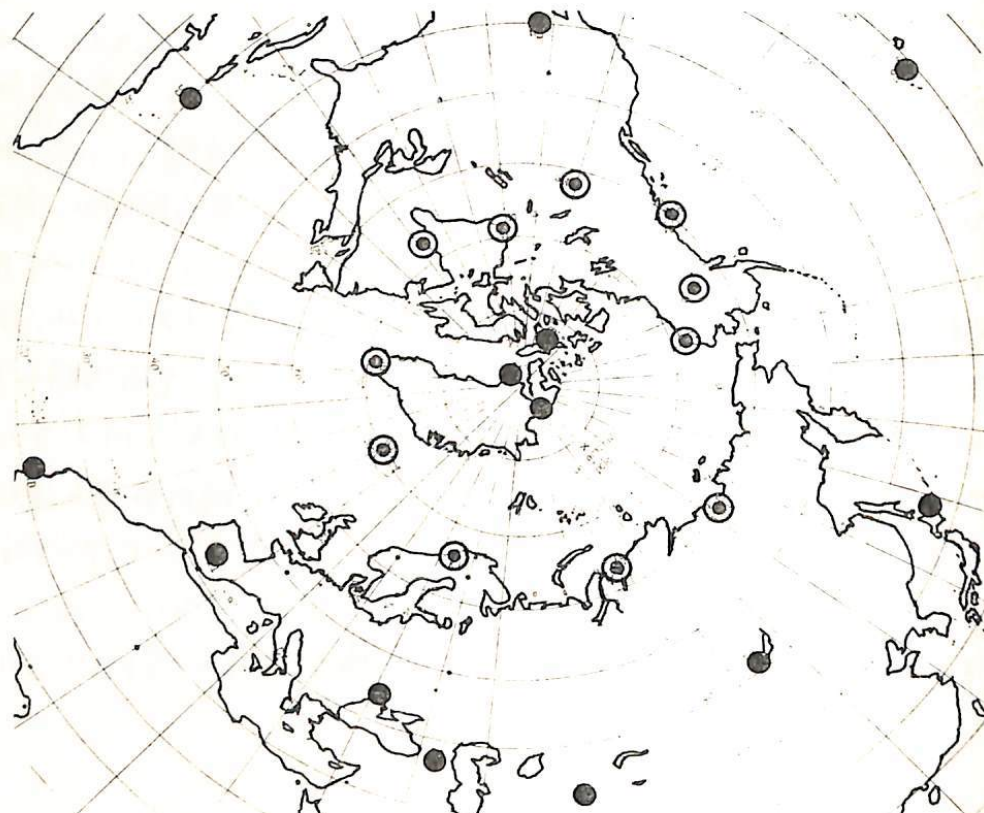
極冠地域・極光帯地域および中低緯度における地球磁場変動を長期間にわたって対比するためには、試みに1971年1月全期間を選び、各地域におけるそれ適当な15分値indexを作成して比較してみた。

極冠地域に対しては、静穏時レベルからの差をもとにして、 $\{(AH)^2 + (H_0AD)^2\}^{1/2}$  or  $\{(AX)^2 + (AY)^2\}^{1/2}$  =  $\Delta F$  を3地点で求め、 $\Delta F_i$  ( $i=1 \sim 3$ ) の最大値を PC, 平均値を APC と記す。極光帯地域に対しては、11ヶ所の観測所の記録の H または X 成分を用い、静穏時レベルからの差  $\Delta H_i$  または  $\Delta X_i$  ( $i=1 \sim 11$ ) の最大値を AU, 最小値を AL とし、 $AE = AU - AL$  をも求める。中低緯度については、各観測所における平均  $S_g$  からの差を  $\Delta H_i$  ( $i=1 \sim 10$ ) とし、 $\frac{1}{10} \sum \Delta H_i$  を Dst と記し、また  $\frac{1}{10} \sum \Delta H_i \cdot \sec \theta_i$  ( $\theta_i$  は各観測所の geomagnetic latitude) を求め、後者を DST と記す。また AE の求め方と準じて、中低緯度の  $\Delta H_i$  の最大値を LU, 最小値を LL と記し、 $LP = LU - Dst$ ,  $LN = LL - DST$  をも示す。中低緯度における  $\Delta H_i$  の longitudinal asymmetry をあらわす ASY は、

$ASY = LU - LL = LP - LN$  である。また中低緯度における H 減少が、磁気圏内で 4 earth radii の赤道面上に強さ  $is$  の西向き symmetric ring current と、それと共存する強さ  $ip$ 、緯度巾  $W^\circ$  にわたって流れる西向き partial ring current (その両端は field-aligned current として電離層に達し、電離層では東向き線電流となって閉回路をついている) によって生じていると仮定した場合に求められるパラメーターは、DRS(強さ  $is$  の symmetric ring current が地上磁気赤道面地点に及ぼす磁場), DRP (= DRS  $\times ip/is$ ),  $W$ , および partial ring current の中心 local time T であり、また

このようない ring current system による表現を用いた場合の residual R も計算できる。

PC, APC; AU, AL, AE; DST, ASY, LU, LL, LP, LN; DRS, DRP, T, W, R を 15分毎に 1ヶ月間にわたって表および図面が作成されているので、これらの indices を比較して気付いた点をいくつか述べる。右図は indices 作成に用いた観測所の分布を示す。



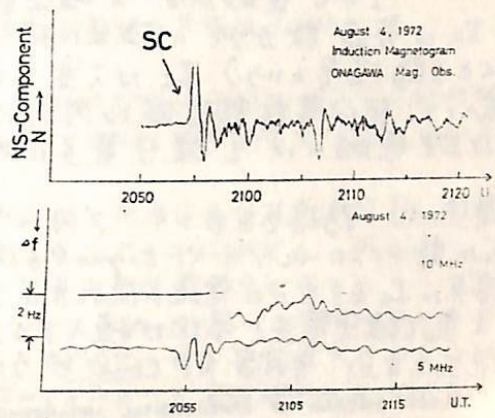
## II-38 HF ドップラー観測による電離層擾乱と地磁気擾乱との相関

一、瀬 琢美 小川 徹  
(同志社大工学部) (京都大学工学部)

地磁気擾乱と電離層擾乱との相関は電波観測によるとF層において特に著しい。1972年August eventではSolar Flareに起因する極めて大きなSCの現象が観測されておりHFドップラー観測においても顕著な現象が観測された。第1~4図は地磁気のSC、及び磁場変動とドップラー観測による周波数変動である。

### 1) SC

Solar Plasmaが磁気圏に衝突することによって地球の磁場が圧縮されると仮定し、導電性の電離層に電場が誘起されるとすればこの電場による電子のDrift motionによつてその層で反射する電波にDoppler現象を起す。従つて磁場変動の時間微分とDoppler Shiftは比例関係にある。第1図でSCのInduction MagnetogramとDoppler Shiftを比較すると両者の位相関係は同位相に近い。

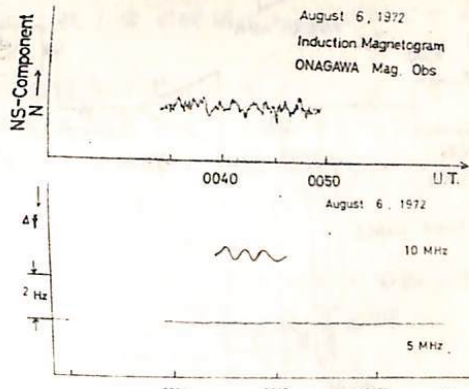


第1図

### 2) P<sub>c</sub>

第2図においてPc4に相当すると思われる磁場変動とDoppler Shiftをくらべると、ほぼ同位相である。

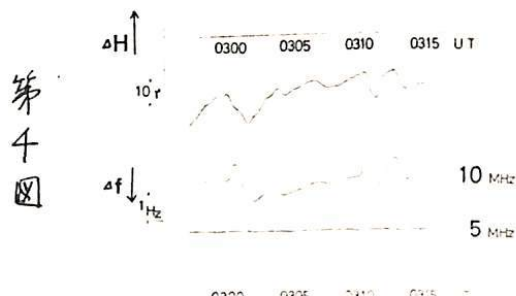
第3、4図の磁場変動は位相比較のため Kakioka Obs. で観測された Normal Magnetogram を拡大したもので Doppler Shift と比較して逆位相関係にある。



第2図

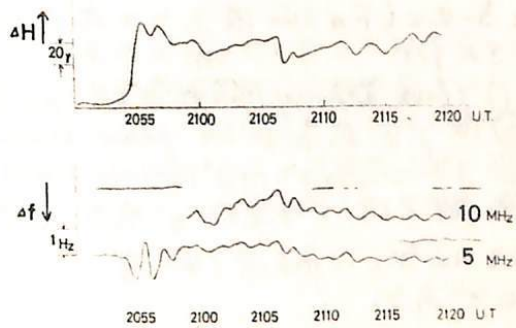
これらのデータをもとに H. Rishbeth and O.K. Garriott (1964) 及び J.A. Jacobs and T. Watanabe (1966) によって提案されている理論モデルを使い位相関係について議論する。

August 6, 1972



第3図

August 4, 1972



## II-39 RF-SQUID 磁力計

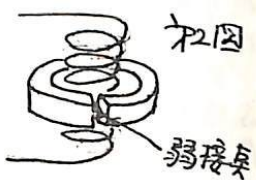
橋野 賢, 北村泰一

九大理学部



カ1図

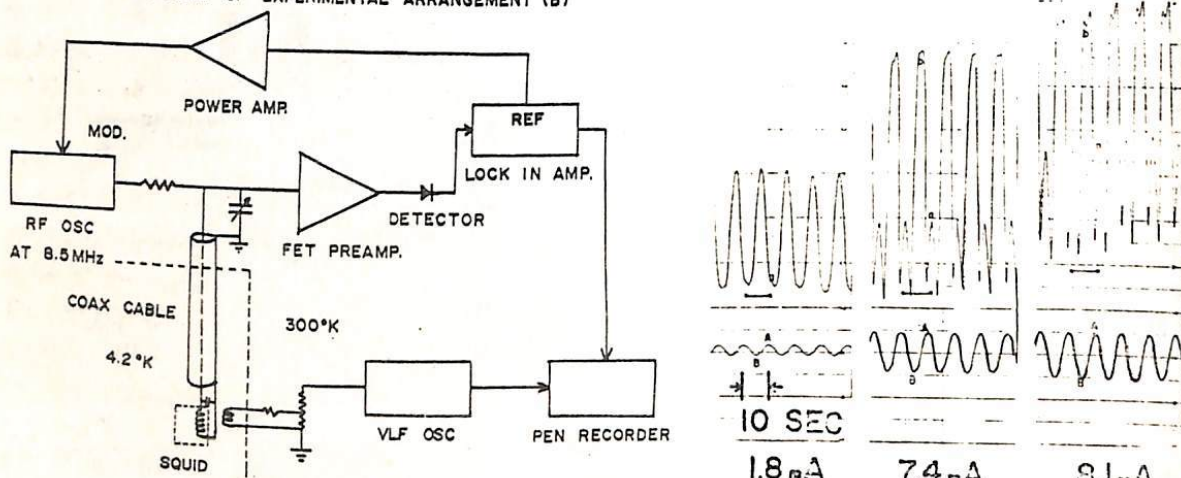
超伝導金属でつくられたリニグ(カ1図)と He 温度( $4.2\text{K}$ )に保たれた外部磁場を加えると、リニグ内には外部磁場の浸入を防ぐように電流が流れ(Frozen-in)。外部磁場を強くするとリニグ内電流は増加するが、感度  $I_C$  に達すると超伝導状態が破れて外部磁場は内部へ一挙に、しかし量的には 1 磁束量子( $2 \times 10^{-7} \text{ G} \cdot \text{cm}^2$ )の整数倍の単位で浸入する。この  $I_C$  は普通数ガウスの磁束に相当する。(しかしリニグの 1 個きりのように細くしておくと(弱接戻といふ)  $I_C$  は大変小さくなり(数  $\mu\text{A}$ )ほんの小さな外部磁束の変化にも対応して、超伝導状態を破って内部に外部磁束を導き入れるようになりますことが出来る。これは理想的には 1 磁束量子に対することが出来る。



カ2図

現実には、弱接戻をもつリニグ内にカスコアのようにコイルを挿入し、これに数マイクロヘルツの RF signal を流し、その振幅最大のところで弱接戻に  $I_C$  までもリニグの電流が流れるようにしておく。すると外部磁束が 1 重。(磁束量子) 単位で浸入する。その際、パルス( $0.1 \mu\text{V}$  程度)を発生すがこれを RF coil でうけて増幅する。これが原理である。

BLOCK DIAGRAM OF EXPERIMENTAL ARRANGEMENT (B)



我々はこの方式の磁力計を試作した結果はまずまずのところであり、感度も  $10^{-7} \text{ G}$  程度はあると考えている。結果を上図右に示すが known の磁場( $10^{-7} \text{ G}$  程度)を与えて(下の sin 波)との応答(上)が記録されている。

これらは

- ① flux transformer を加えることによりもう 10 倍~50 倍程度感度を上げることがある
- ② XY 2 成分を用い flux transformer により任意の精度で可能である
- ③ スケールの小さい 1 インチ(例えばロケットの測定磁気等)はとり除くことが出来る。
- ④ 高速性 安定性も充分見込みがある。

(しかし依然と解消しない重要な欠点はヘリウム液化槽という重装備を必要とすることがある。

## 柿岡における新標準地磁気観測システム

KASMMERについて

柳原一夫, 河村謹, 佐野幸三, 久保木忠夫

地磁気観測所

柿岡の地磁気標準観測のため新しい観測システムが1972年8月に完成し、KASMMER (Kakioka Automatic Standard Magnetometer) と名付けられた。KASMMER の主要構成要素は、

光ポンピング磁力計 4台

比較校正装置 (プロトン磁力計, 角度測定器 DI-72, 大型コイル)

計算処理装置 (H-10 2台 + アクセサリー)

などである。角度測定器以外は自動的に動作させ、地球磁場各成分を 0.1 % の絶対精度でデジタルおよびアナログ値であらわすことができる (ただし絶対精度はプロトンの IP を既知とする)。

4台の光ポンピング磁力計は全磁力  $F$ , 水平分力  $H$ , 垂直分力  $Z$ , および  $H_y$  を連続測定する。 $H_y$  は  $N 60^\circ$  正成分で、偏角  $D$  はこれと他成分とから合算する。デジタルサンプリングの基本レートは 3 秒で、サンプリング値は計算処理装置に自動的にあくられる。アナログ記録はモニターとして  $20 \text{ mm/hr}$  の normal run magnetogram と同様のものを常時チャートに記録し、必要な応じて高遅高感度のものを別々のアログ記録器で求めることができる。また  $F$  成分を連続同時に測定してから  $F = \sqrt{H^2 + Z^2}$  を常時確かめることで磁力計精度の監視を利用する。

万用光ポンピング磁力計には Aldredge 提案の ASMO 方式用の装置一式を附加してあるので成分用光ポンピング磁力計が故障したときはこれ 1 台で代用することができる。

光ポンピング磁力計は相対精度は高いが、絶対値精度は必ずしもよいとはいえない。そこで、プロトン磁力計と角度測定器 DI-72 で零点定数を検定する。DI-72 はヘルムホルツコイルとサーチコイルを使って同一種の磁気経緯儀であるが、地球磁場方向をヘルムホルツコイルの方に向によって示す方法をとり、サーチコイル回転によるガタ誤差を消去し、精度を角度 1 秒程度に向上した。

検定の頻度は光ポンピング磁力計の安定度に依存するが、光ポンピング磁力計および周連設置備に多くの改良を加えその安定度を向上した ( $0.1\%$ /month の目標)。またプロトン磁力計、DI-72 の個々の測定値変動は光ポンピング磁力計よりも大きいため、検定は多くの平行測定から求め 0.1 % の精度をうるようにしてある。

大型コイルは光ポンピング磁力計の出力を与え、内部の磁場を一定値に止めようとしている (時間変化の消去)。一定値磁場のもとで磁力計を操作ができる。

光ポンピング磁力計、プロトン磁力計のデジタル計測値は自動的に計算処理装置に送られる。通常は光ポンピング磁力計の各分値を基本にして、零点定数、局地差等を加え  $F$ ,  $H$ ,  $Z$ ,  $D$ ,  $I$ ,  $X$ ,  $Y$  の各成分多分値を磁気ディスクにストアし、以後の計算処理 (例えば各傾値等) を行う。計算処理装置は超小型電子計算機 Hitac-10 2 台の磁気ディスク、磁気テープ装置、カードリーダー、カーフリーダー、カーブプロッター等を備え、各種処理が可能である。

試験運転の結果について述べる。

## II-41 新標準磁気儀 KASMMER の角度測定器

### DI-72について

柳原一夫・久保木忠夫・今実  
(地磁気観測所)

今回の報告でKASMMERの概略を報告してあるが、このうち角度測定器DI-72はプロトン磁力計と組合せていわゆる絶対観測をするもので比較更正室に格納されている。

DI-72はサーチコイルを回して地球磁場の方向を求め、望遠鏡と方位標により偏角と伏角を算出するものである。各度盤板を合致させた時に比較更正室の制御端を動作させて各光ポンピングの値をミニコンH-10に入れておき、後で偏角・伏角の値をインピットすればプロトン磁力計と組合せで絶対値が求まり光ポンピングの補正量が算出できる。DI-72の寸法は次のとおりである。目盛板の直径φ0mm, 10'目盛で度盤し、マイクロメータード1"まで読取る。総高90cm, 幅65cm, 望遠鏡口径6cm, 長さ30cm, 倍率×10倍, サーチコイルの大きさ4.4cm, #12万回巻, 108kΩ, 出力1.9μV/1°。ヘルムホルツコイル直徑30cm, コイル常数1200Ω/mA, サーチコイル軸と同軸上に増幅器用トリガー接点付。超低ノイズ低周波増幅器の検出はきわめて高くノイズP-P 0.1~0.15°, サーチコイルはヘルムホルツコイルに固定されて回転するがヘルムホルツコイルに対する自由に動くようになっている。これは次の理由による。サーチコイルは如何に良質のボールベアリングを用いても回転するとカタがある。レーザーで実測した結果毎秒10, 20, 30回を過ぎ5, 15, 70"に達する。こゝため如何に検出用の増幅器の性能が上、ともサーチコイルの方向は求められない。こゝためヘルムホルツコイルを作る磁場で地球磁場を小さくしてその中でサーチコイルを回転し、ヘルムホルツコイルの方向から地球磁場を求めるところ問題は解決する。サーチコイルは低周波増幅器の特性上毎秒10~12回が最も都合よい。従って回転しているサーチコイルは5"程度のカタがある。しかし磁場を100°とするとカタによる出力の変化はサーチコイルに1'のカタがあり、たとしても0.02°の出力に相当にすぎない。またサーチコイルの軸とヘルムホルツコイルの磁場の方向がずれたときの誤差も同程度の量であり器械的にこれは1.5'まで合わせられる。さうに磁場を100~50°にすることも器械的構造上容易にならう。電流は定電流安定電源から出している。検出用としてはトリガ接点を用いてシンクロスコープによりサーチコイルの方向の成分、センスを判別して相互に固定されたサーチコイルとヘルムホルツコイルの方向を容易に合わせることができ。またシンクロスコープは増幅部グラウン管を分離して離すことにより擾乱磁場を避けている。

低周波増幅器は5回の講演会で報告したものと更に改良し、入力換算で0.2~0.4μVまで検出しうる。サーチコイルの出力にするとノイズP-P 0.1~0.15°となる。帯域は8~12Hz(-2db)で最大出力±10V, 増幅度130db, ノイズレベル150dbである。狭帯域であるため商用電源は全く問題にはならない。ただ高感度のためナイロンの帶電による影響が少なくなつて細心の注意が必要である。

器械的誤差を除くため最小限の組合せで読取る。これを1回として観測は4~8回行なう。この各1回の値は光ポンピングと組合せて角度の精度は標準偏差で示され ±0.6~0.9"となる。これは光ポンピングの補正量に対しては ±0.1°, ±0.01~0.015°が決定されこれは光ポンピングの精度と同程度になる。

旧標準磁気儀A-56, H-56, MO-P型核磁気儀との比較の結果DI-72が一段と優れていることが分った。しかしMO-Pも予想以上に高い精度であり、分力を求めるのに優れた方式であることが確認された。

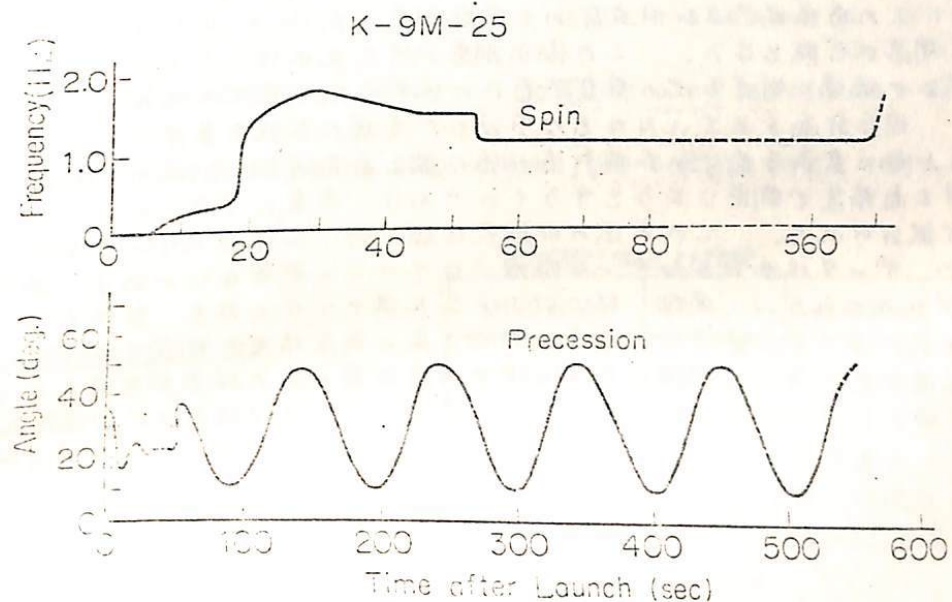
## II-42 最近の観測ロケットの姿勢変化

青山巖，遠山文雄  
東海大学工学部（航空宇宙学科）

これまでフラックスゲート磁力計によるロケットの姿勢測定を行なって来てはいるが、すでにロケットでは約70回、科学衛星で3回の実験回数に達した。尚、今年度からカッハ $^{\circ}$ 9M型のモデルケーレンも行なわれ、この機会に現在まで得られた姿勢測定結果についてまとめてみた。更に最近のロケットの姿勢とその解析法、今後の見通しについても述べる。

この姿勢測定法は地球座標系を基準とし、これに太陽センサを加えて最終的な絶対姿勢を算出するものである。一般にはロケット軸と磁力線とがなす角で表わす。図は典型的なカッハ $^{\circ}$ 9M型ロケットの例である。

一方、最近の各種の観測ロケットにおけるアリセッション角とスピンド率の平均値を表にして示してある。

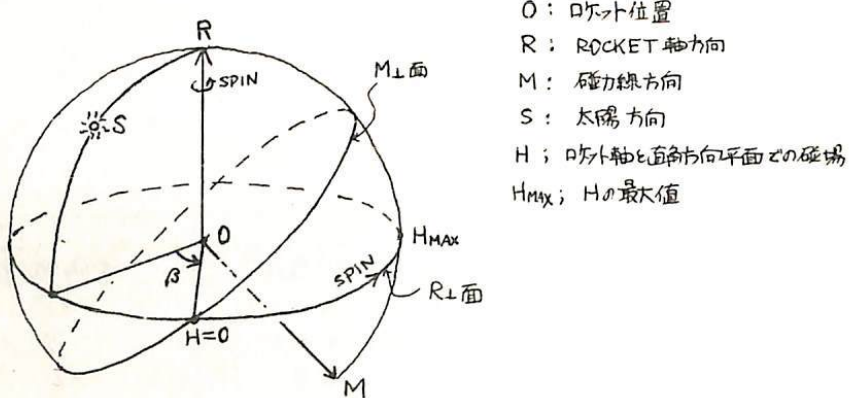


ロケット型式	スピンド (Rev/sec)	アリセッション	
		半角値(deg)	周期(sec)
カッハ $^{\circ}$ 9M型	2.0	11	60
カッハ $^{\circ}$ 8型	1.6	18	87
カッハ $^{\circ}$ 10型	3.8	4	11
ラムダ	1.9	2	13
R-21D型(3回目)	2.0	60	95

遠山文雄・青山 崑・加藤寛雄  
(東海大学 工学部)

フックスゲート型磁力計を改良し、ハイブリッド方式での電離層電流による磁場測定を行なってきただが、その方法はまだ種々の問題が残っている。その中の一つに磁場の三成分観測の必要があり、今回は現在までのロケットでの磁場観測における問題点と三成分測定に必要な磁場の偏角測定法について述べ、あわせて今夏のロケット実験で計画されている偏角測定方法の現状を報告する。

現在までの測定方法はフックスゲート型磁力計をロケット軸方向及びこれと直角方向に搭載して軸方向成分(乙成分)と直角成分( H 成分)の二成分を観測してきた。 H 成分の測定はロケットが数ヘルツでスピンドルするために一回転ごとに数万ガンマ以上の磁場変化があり高精度測定が難しかつたが H 成分の最大値附近だけを測定する制御方式を採用することにより両成分とも約土2ガンマの精度で磁場観測を行なってきた。(K-9M-34号機) この方法は乙及び H 成分の二成分測定であり、これに磁場の偏角が測定出来れば三成分測定が可能となる。この偏角測定が行なえれば、あわせてロケットの姿勢測定の精度向上や磁場に対する他の搭載機器への情報などの点でも非常に大きな利点となるであろう。現在計画されている方法は下図に示す様に太陽を基準として、スピンドルを利用してロケット軸に直角平面での太陽方位と磁力線と直角方向(H成分が0となる方向)の間の角度βを高精度で測定しようとするものであり、今夏に予定されている K-9M-43 号機の実験で試みられる。この方法の問題点は磁力計、太陽センサの精度やレスポンスの問題のほか、データ伝送およびデータ処理、ロケットの姿勢などがあり、偏角測定の精度を決定するものである。現在、磁力計および太陽センサの改良、製作が行なわれており応答速度をあげることによりこの偏角を約0.2度の角度精度で測定する予定である。こゝほどの磁場測定に伴う问题是ロケットや周辺機器からの磁気的干渉をどう避けか、地上での試験をどう行なうかなどがある。前者については磁気センサをグリーンによってなるべく遠くへ搬出させ、地上での磁気量を適確に把握して補正を行なうことが現状では最良の方法であり、後者については、ヘルムホルツコイルと非磁性スピンドルを使って、現在シミュレーションテストを行なっている。



青木 翔、遠山文雄、高橋隆男  
東海大 工学部

“てんぱ”では、磁力計センサを衛星本体より約45cm離す事によって衛星本体より生ずる磁場の影響を取り除く事が出来たが、衛星による磁場観測や磁力計を利用した姿勢測定に際して、衛星による磁気的干渉が従来より問題となつていた。

磁場測定に於いて問題となる磁気的影響を反ぼすものについて、考えられるものを以下に示してあるが、特に、問題となる衛星搭載部品による磁気的影響について調べた結果を下表に示してある。その結果、衛星による磁気的干渉を避けうるには、GAの場合、従来の衛星程度のものであれば磁力計センサを約50cmアームにより衛星本体から遠去ければ充分であり、MGFの場合、1°の精度で測定する時には、約6m離さなければならぬ。

\* 磁性材料部品による影響

#### ① 磁場測定に反ぼす影響

- (1) 永久磁石によるもの。  
リレー・モーター・キーピングマグネット等
- (2) 誘導磁気によるもの。  
高誘磁性材料等。
- (3) 雑音。  
スイッチング、高圧電源等。
- (4) その他。  
漏電流等。

測定部品	磁気モーメント AT·m <sup>2</sup>	1°による距離		500°による 距離 cm
		m	cm	
マイクロモーター	1.000	5.8	74	
リレー(RJP 3100SIL)	0.078	2.5	32	
リレー(325GD -SIL)	0.032	1.8	23	
コネクター(25P)	0.028	1.7	22	
IC	0.002	0.7	9	
永久磁石	1.05	5.9	75	
データレコーダー	0.02	1.6	20	
NiCd バッテリー	0.060	2.3	29	
たんせつ	0.514	4.7	59	
しんせつ	2.30	7.7	97	
てんぱ	1.4	6.5	82	

II-45

K-9M-42号機による磁場観測  
(速報)

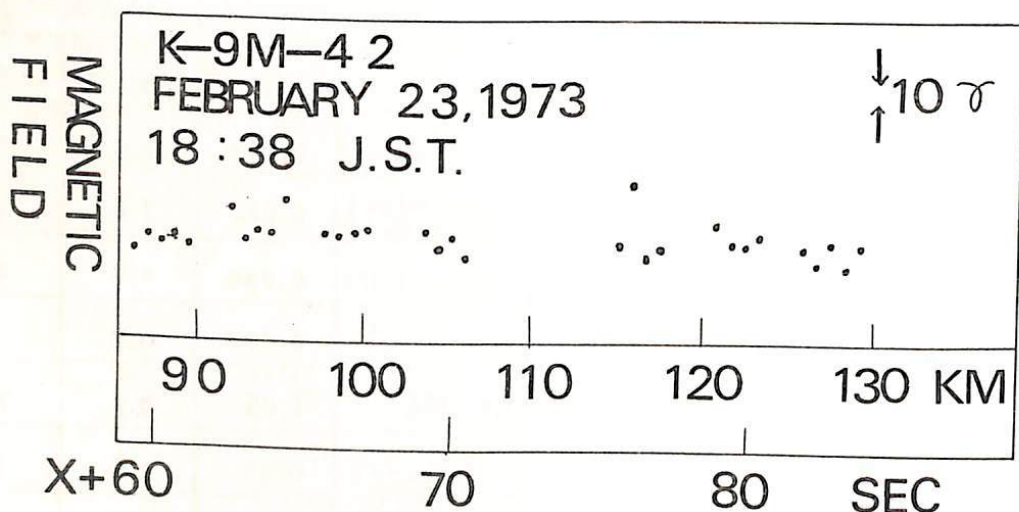
小川徹、筒井稔、斎崎努  
(京大・工)

K-9M-42号機による磁場観測は昭和48年2月23日18時38分光ホンセントセシウム磁力計を搭載して行われた。この観測は i) 電磁流体波の電離層遮蔽実測 ii) 両方の S<sub>F</sub>電流の成分観測を目的としていた。

打上げ時にまたま磁気嵐の期間に行われたため、ロケットの姿勢が大きく変化したため磁力計の動作が不安定となり、また搭載計器のバイアス電流回路が故障したため成分観測は行なえなかった。

現在 E 層電流系の南北成分の解析を行ないつつあるが、暫定的に得られた結果を下図に示す。解析によるとスピニ周期の平均値をスピニ軸に直角方向の残存磁場の影響を除去し、次に永久磁場の空間的变化を差し引き、さらに、プロセッションの周期により補正してスピニ軸に平行な成分を除去したものである。

この結果により電流系による磁場は非常に小さく、10<sup>-10</sup> G以下であると推定される。ロケット姿勢および地磁気擾乱のデータからみて、それ等との相関をとり、テレメータ信号に含まれる雜音等を除去すれば、さらに観測精度を上げ得る見込みである。



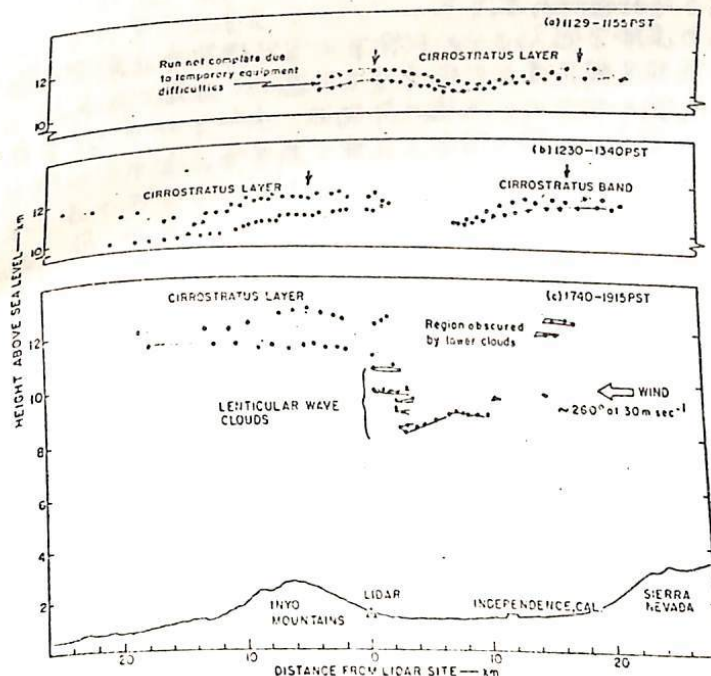
## II-46 宇宙線短周期変動と大気波動

小玉正弘(理研)、北村正亟、池上比呂志(気象研)

宇宙線が大気中でおこす二次的輻射、吸收、散乱などの諸現象は、いわゆる大気効果として古くから研究の対象であった。その目的は大気効果そのものの学問的光明はもとよりだが、むしろそれを通して、大気外での本來の宇宙線の姿をより正確に捉えることにあつたと思われる。ところで地球をとりまく環境科学の重要性が認識されてきている今日、宇宙線を利用して大気構造やそのダイナミックスの解明に積極的にとりくま姿勢が改めて見直されてよいと考えられる。従来の立場が *Cosmic Ray Physics* であるならば、これはあえて *Applied Cosmic Ray Physics* と名付けてよいだろ。むろんこの立場からの試みが果して実を結ぶかどうかは判らないが、われわれは先ず宇宙線の観測精度が向上したことを活用して、短周期強度変化に着目した。その理由は、Collis ら<sup>(1)</sup> の発見した大気波動との関連性の追跡にある。オ1図は彼等がレーダー観測によって捉えた 10~12km 高度附近の巻層雲の高さの変化を示すもので、このような波が 20~30m/s の風で流されるとすると、周期 3~10 分、振幅 300~500 m の周期変化が期待される。この高度は宇宙線 muon の発生高度に当るので、もし大気波動が等圧面高度変化と equivalent であるとするとき、~% の振幅を持つ短周期変動が地上の宇宙線強度に現れてよいことになる。しかし実際には大気外に起因すると考えられる短周期変動<sup>(2)</sup> の存在の可能性もあるので、neutron と muon 両者の変動を比較検討する必要がある。Ruthberg ら<sup>(3)</sup> は Uppsala neutron にやや長い 2 hrs. 周期変化を見出と報告しているが、atmospheric origin によるものかもしれない。

われわれは昭和基地の neutron, muon の 5 分値について短周期変動の有無を調べる。これまでの解釈によると、30~60 分周期の変動が muon にのみ時に出現することから、これが大気波動と関連するものかどうかについて議論する。

オ1図



### 文 献

- (1). R.T.H. Collis, S.G. Fernald and J.E. Alder : *J. Applied Meteo.*, 7, 227-233, April 1968.
- (2). M.S. Dhanju and V.A. Sarabhai : *Phys. Rev.*, 19, 252 (1967).
- (3). S. Ruthberg, E. Dyring, S. Lindgren, B. Sporre and B. Östman : *Proc. 11th Int. Conf. on Cosmic Rays*, Budapest, 2, 241 (1969).

## II-47 気球による宇宙線短周期変動の観測 II

小玉正弘(理研)、境孝祐、玉井英次(日大習志野)

宇宙線短周期変動の存否を探る目的で1972年9月18日岩手県三陸町で実施された気球観測の結果について総合報告する。測定装置および記録方式は図1に示すとおりであるが

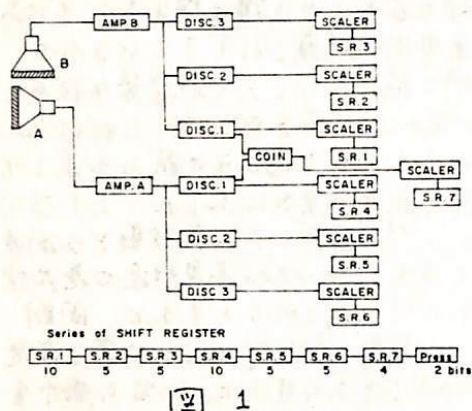


図 1

この中最低ディスクリレベルに当る  $A_1$  と  $B_1$  の 1 分値を用いて得たパワースペクトルを図2に示す。 $A_1$  に各種の周期変化が見られるが  $B_1$  でははつきりしない。しかし図2は飛行時間全体(～16時間)からのデータを同時に使用したものなので、時間的に確平均化された様子しか示さない。そこで18秒値を用いてダイナミックスペクトルを求めた。それによると、周期2～6分、振幅～2%の周期化がしばしば現れるが、 $B_1$  ではそれほど顕著ではない。図3・4にその若干例を示した。→

の区间に周期変化らしきものが見える。こゝで注目したいのは、同時に飛騨岳で観測された中間子強度にもそれらしきものが見える点である。しかしこれらの大部分はA型に顕著であることから、気球の回転による影響が考えられる。この効果を cut-off rigidity の差から計算してみると、(E+W) 方向と (N+S) 方向で丁度～2%の強度差が期待される。従って大部分はこの効果によると判断されるが、A, B 型に同時に現れた例とか、飛騨中間子との同時性を考えるとなお若干ほんものの短周期変動が残る可能性がある。

以上の他、気球飛行中の持器の温度変化、バラスト投下の宇宙線強度に及ぼす影響、気球移動による緯度効果、気圧の高精度測定法などについても述べる予定である。

なお、気球実験に当つては東大宇宙航空研の方々と高橋八郎氏に、data processing に当つては今井和貴、井上謙二氏に貢うところが大きく、厚くお礼申し上げる。

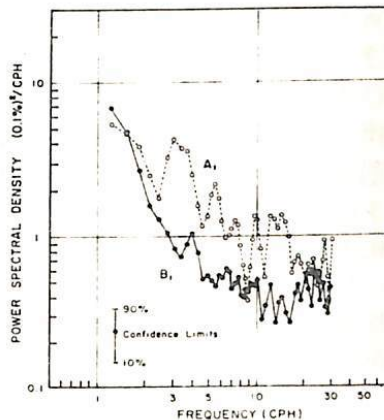


図 2

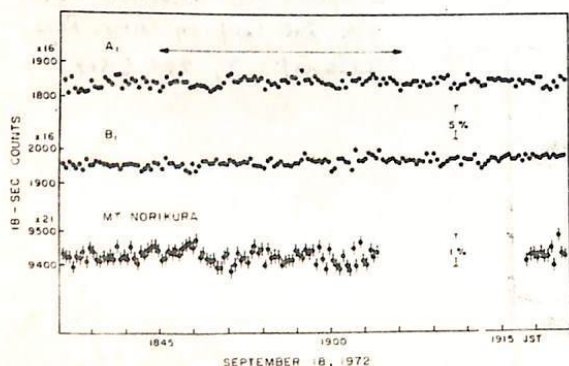


図 3

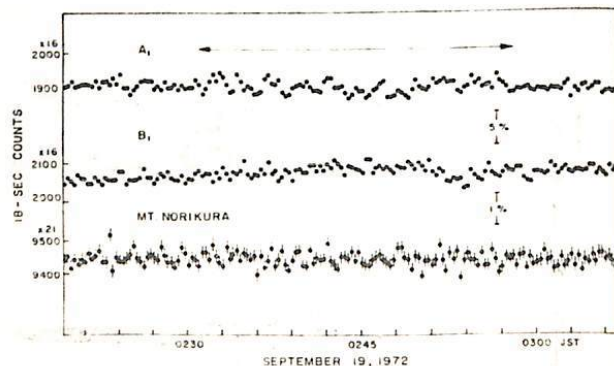


図 4

## II-48 宇宙線強度の Long-term Variation と 多重中性子スペクトル

小玉正弘(理研)

宇宙線強度の long-term 変化を多重中性子ごとに観測すれば、1ヶ月の観測データのみで、その modulation スペクトルをより ambiguity 少なく決定することができるこことを Syowa のデータによって既に示した。その際とくに平均多重度  $\bar{m}$  がスペクトル変化の fine structure を示す便利な量であることも示した。しかしこれまでの解析では、中性子の温度効果が long-term 変化の議論では決して無視できない量であることに留意しなかつた。たとえば冬の  $\bar{m}$  を

$$\bar{m}_w = 1.420$$

としよう。これは total event 数 = 1000

total count 数 = 1420

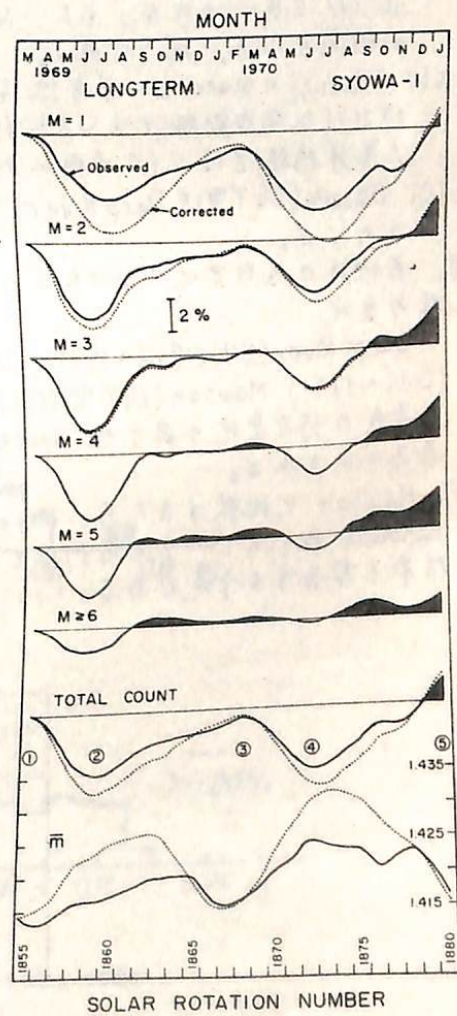
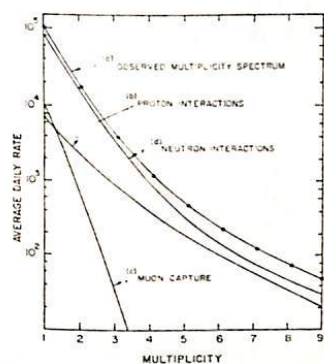
に当る。ところが夏の中性子強度は冬に比べて ~1% 減少する。そしてこの寄与は殆んど  $m=1$  に近くから夏の  $\bar{m}$  は

$$\bar{m}_s = \frac{1420 - 14.2}{1000 - 14.2} = 1.426$$

第1図 neutron, proton, muon interactions による Simpson 型中性子モニターでの multiplicity スペクトルの実験結果。

つまり  $\Delta\bar{m} = \bar{m}_s - \bar{m}_w \sim 0.006$  の量は、先に報告した  $\Delta\bar{m}$  の観測値 ~0.01 に比べて無視できない。今回はこの温度補正に考慮して若干の補足と訂正を与える。

中性子の温度効果は stopping muon を介して生ずるもので、理論的にも実験的にも muon のそれの ~1/5.5 とされている。一方 Syowa でランダム観測から 100mb での夏冬温度差は 35°C に達する。muon の温度効果係数は観測により 0.22%/°C と決定された。更に stopping muon 効果の多重度特性(第1図)を利用することによって、温度の逐日データを用い多重度別の温度補正が可能となる。結果は図2の実線で示したとおりで、 $m=1, 2$  では補正量が無視できない。 $\bar{m}$  の変化も大きく、スローの hump つまりスペクトル IV の hard 化がより一層明かになった。



147 2

宇宙線 $\frac{1}{3}$ 日変化について (V)

石田喜雄\*, 菅野常吉\*, 斎藤俊子\*\*  
福島大・教育\* 福島医大・教育\*\*

I. 前回までに、(a) 宇宙線 $\frac{1}{3}$ 日変化が存在すること、(b)多くの地点で、 $\frac{1}{3}$ 日変化の space での異方性は、平均として $\sim 1^h$  又は $\sim 5^h$  方向にあること、(c)  $\langle T_{mn3} \rangle_Y$  (年平均値) は太陽コロナ線強度 ( $I_{5303}$ ) (太陽面緯度) と大変良い相関があり、1962~1970の期間の Deep River (SN) は負相関であり、Mawson (IGY型) は正相関であること、(d) Deep River (SN) の  $\langle T_{mn3} \rangle_M$  (月平均値) の space での異方性は、太陽活動期には $\sim 5^h$  方向に、静穏期には $\sim 1^h$  方向にあること、等を報告した。

II. Ottawa (IGY型) の $\frac{1}{3}$ 日変化

1957~1971の期間の Ottawa のデータ解析より次のことが明らかになった。

(a)  $\langle T_{mn3} \rangle_Y$  と  $I_{5303}$  とは良い負相関 (偶然性 < 1% (有意) あり)。太陽面緯度で赤道附近よりは  $30^\circ \sim 10^\circ$  (N, S共に) の方が、また、Nよりは S の方が良い相関を示す。(図 1 参照)。

(b)  $\langle T_{mn3} \rangle_M$  の space での異方性は [1957~1961, 1967~1971] (太陽活動期) では $\sim 5^h$  方向に、[1962~1966] (太陽静穏期) では $\sim 1^h$  方向にある。(図 1 参照)。

(c) Ottawa (IGY型) も Deep River (SN) もほぼ似た傾向があった。

III. 各地点の $\frac{1}{3}$ 日変化の space での異方性の逐年変化

Deep River (SN) (1962~1971), Ottawa (IGY型) (1957~1971), Mawson (IGY型) (1957~1969) の各年の $\frac{1}{3}$ 日変化の異方性 (Space での) は表 1 に示される。

IV. Mawson と比較するため、Hermanus と Resolute Bay のデータを解析中で、その結果も報告する予定である。

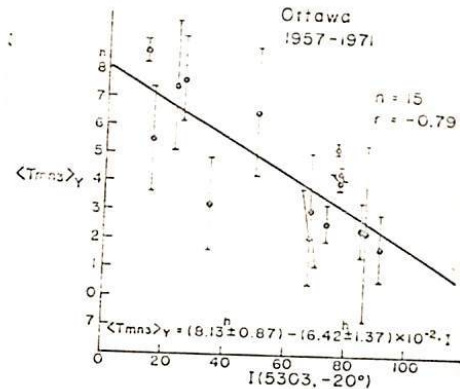


図 1  
表 1

Period	Numbers	Ottawa	
		Peak of $T_{mn3}$ distribution in space (h)	Anisotropy of $1/3$ diurnal variation in space (h)
1957	6	(3.5)	4.2
1958	12	5.1	5.0
1959	12	6.0	4.9
1960	12	5.4	5.5
1961	12	6.6	0.9
1962	9	① 1.1 ② 5.6	6.5
1963	12	① 0.8 ② 1.0	3.1
1964	12	2.6	7.9
1965	12	① 1.4 ② 4.5	5.1
1966	12	3.6	1.8
1967	12	6.2	6.4
1968	12	5.4	4.7
1969	9	6.2	4.2

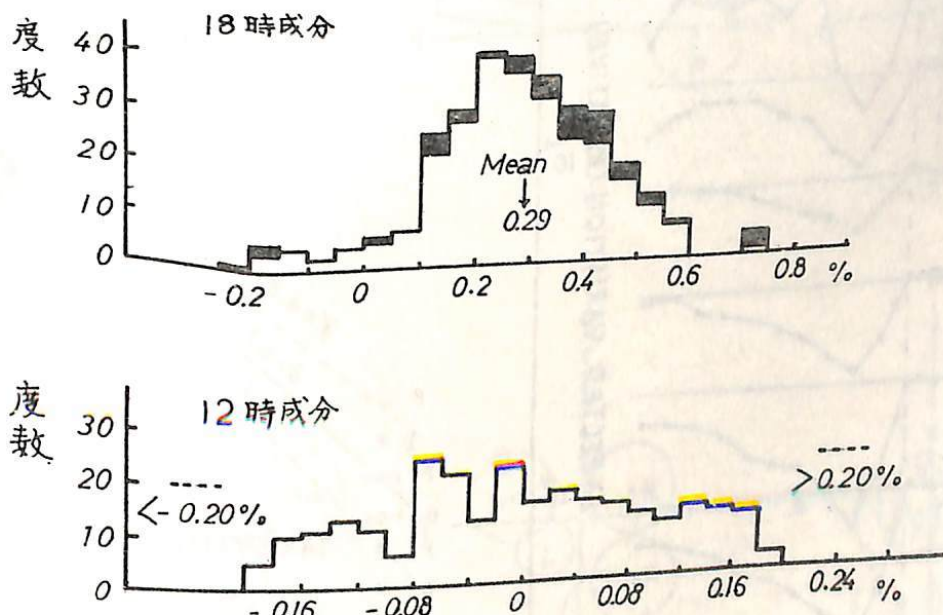
表 2

Anisotropy of $1/3$ diurnal variation in space (h)	Deep River (s)	Ottawa	Mawson
~ 5	1962 1963 ~ 1971	1957~1961 1967~1971	1957~1961
~ 1	1963 ~ 1967	1962~1966	1963~1969

須田 友重  
気象研究所

宇宙線日変化の太陽時 18 時成分 ( $A_{18}$ ) は、平衡状態を及ぼし、12 時成分 ( $A_{12}$ ) は非定常な成分をあらわすとみてよい。前回まで、これらの成分と惑星間空間の状態をあらわすものとして、 $\Sigma K_p$  や宇宙線強度 ( $I_p$ ) 等とり、相互の関係を調べて来た。18 時成分は、静穏時には、 $\Sigma K_p$  よりも  $I_p$  との相関がみられ、12 時成分は、つねに  $\Sigma K_p$  との相関がみられる傾向にあつたが、統計精度はよくなかつた。

下図は、各成分の度数分布で、18 時成分の星く塗つた所は  $|A_{18}| > 0.20\%$  のを示してある。12 時成分を  $|A_{12}| > 0.08$ ,  $< 0.08$  % に分け、又 18 時成分を  $0.2 < |A_{18}| < 0.4$  % とそれ以外のものに分けて、これらについて前記の統計を行つ。



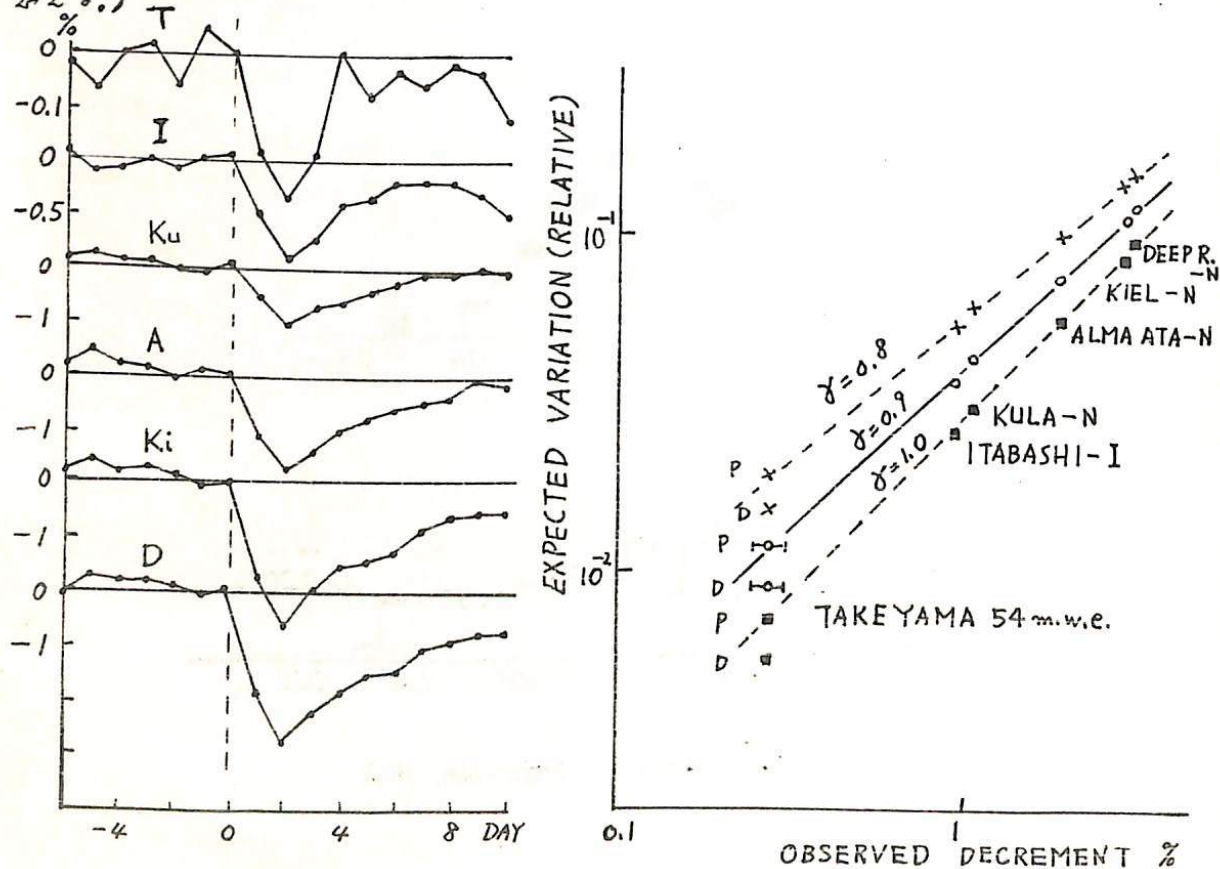
Deep River Mar.-Dec. 1964

## II-51 地下 54 m.w.e. における宇宙線嵐

三島 靖<sup>\*</sup>, 村上一昭, 和田稚美, 宮崎友喜雄  
(愛媛大理)  
(理化研究所)

三浦半島武山の地下 54 m.w.e.において、9 m<sup>2</sup> 二層のプラスチック・シンチレーターから成る宇宙線中間子計により観測が続けられている。計数はここで使用されてる鉛直方向成分については、約 40,000 counts/hr で、一例一例の宇宙線嵐時の減少量に比べて、一日平均値をとればとも統計誤差は充分小さくなるか、下図に示すように、数例以上の宇宙線嵐を平均すると、地下における宇宙線嵐の効果が明瞭に得られる。

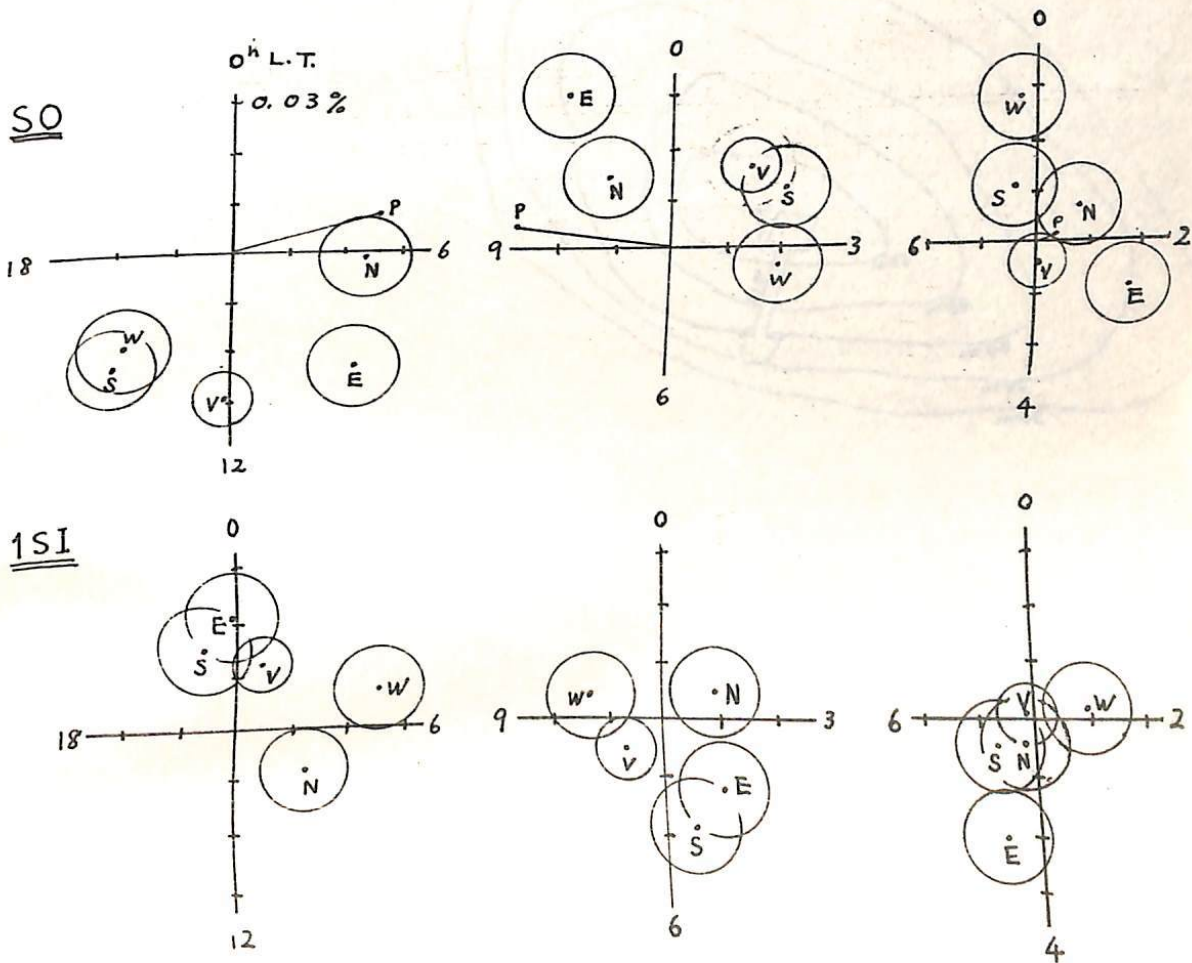
平均的と云ふのは次のように行なつた。Deep River の中性子モニターによる観測から典型的な Forbush Decrease (嵐時に余ヨリ率激変化のもの) を選び、Chree の方法により平均的と云ふ。結果は 1969 ~ 1971 年について下図に示された。1972 年につけても解析を行なうが、まだこの図には含まれてない。地下における減少量は Deep River 中性子のものの約 1/10 であるが、Variation Spectrum  $\varepsilon$  (Rigidity) $^{-\delta}$  に比例するとは定め、各地の変化量を併せて比べるもの如下右図で、ここで地下 54 m.w.e. の観測につけて Response Function として、Dorman は従つたもの (D) と Peacock は従つたもの (P) と両方につけられて示されている。その値として 0.8 ~ 1.0 として、又 100 GV 附近まで Cut off があるとすれば、地下での減少量を十分よく説明出来る。(又、更に検討を要するか、Dorman と Peacock を比べて Peacock の Response の方が、現在では適当であると思われる。)



村上一郎, 和田稚美, 三島 靖\*, 宮崎友吉雄  
(理研, 愛媛大理\*)

三浦半島武山の地下 54 m.w.e. において,  $9 \text{ m}^2 (1 \text{ m}^2 \times 9) =$  売アプラスチック・シンケーターから成る宇宙線中間子計により観測が続々とされており、それで示された日変化は、鉛直方向と天頂角  $30^\circ$  で東西南北とし、計 5 方向成分の結果についであるが、計数は、鉛直方向約  $40,000 / \text{hr}$ , 天頂角  $30^\circ$  で約  $15,000 / \text{hr}$  各方向である。武山の地下観測の日変化についての特徴は、上部の地表が水平に近く、各方向とも大体同じよう日変化  $1 \text{ GIDITY}$  の範囲を見てよいことである。このことは、例えば一次宇宙線の日変化分について、或  $3 \text{ RIGIDITY}$  を假定すれば、各方向のベクトルの相対関係が予想されるので、日変化の平均  $\text{RIGIDITY}$  を求める時は、方法が簡単である。

1970 年～1972 年の観測について、長島 (Rep. Ionosph. Space. Res., JAPAN, 25, 189, 1971) による解析方法を以て、各方向の相対関係から最小自乗法により、~~求められた~~ るのが異方性を報告する。(現在、この子稿には間に合わない。)



## II-53 長野県三郷地下トンネル (30 m. w. e.) における宇宙線強度の観測

森 場、安江新一、一三瀬匡聰<sup>\*</sup>、鷺坂修二、赤羽重信  
信大理、信太敬義<sup>\*</sup>

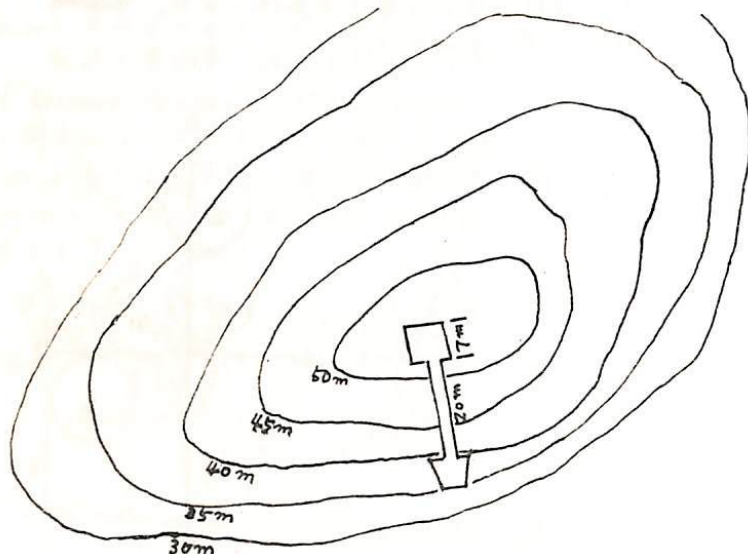
現在地下における精度よく宇宙線強度変化を観測するところが零星工事、Hobart 宇宙線国際会議においてもその重要性が指摘されている。

新しい観測室は  $7 \times 7 \times 5 \text{ m}^3$  で地下 30 m. w. e. の深さの地表である。観測室の上部の地形はほぼ円形で、地質は砂岩でありその比重は 2.2 である。

Telescope の面積は  $16 \text{ m}^2$  で Vertical 天頂角  $30^\circ, 60^\circ$  の E, W, S, N 及び EE, WW, SS, NN の 9 成分である。

観測は 4 月から  $8 \text{ m}^2$  Start し 8 月には  $16 \text{ m}^2$  を拡張する。更に将来は  $25 \text{ m}^2$  を拡張したい。Vertical 成分についての counting rate は  $5 \times 10^5 \text{ c}/\text{hr}$  で Neutron, Muon monitor と同等の強度をもつ。

今後は地形、観測装置の特性および得られた data について報告する予定である。



## II-54 地下 50 m.w.e.における宇宙線強度変化の観測(IV)

一元瀧田興<sup>\*</sup> 森 規<sup>\*\*</sup> 鶴坂修二<sup>\*\*</sup> 安江新一<sup>\*\*</sup>  
信太敬義<sup>\*</sup> 信太理<sup>\*\*</sup>

地下 50 m.w.e.に面積 2 倍の 5 方向 Muon-Telescope (V.E.W.N.S の 5 方向) を設置し、1971 年 4 月より観測を行つてリタ。この観測に伴い可り一次宇宙線の平均 Rigidity  $\approx 100 \text{ GeV}$  と考えられ、これ以下宇宙線の東方忙拡に 1 日変化の high cut-off rigidity と太陽活動との関係、半日変化のスベクトルの決定等には好都合である。今迄の解析から東方性の方向体、1 日変化については 16~17 時 (L.T.) 半日変化については 2~3 時 (L.T.) と得られ、スベクトル及び high cut-off rigidity についてはだ一テストでは統計的有意性が充分とは言かず、このことについては前回の学会で報告した。これは観測値の精度不足が最大理由と考えられ、今回延滞 2 年間のデーターを用いて解析を行。K. Dorman, Ahliwallia の response function を用いて best fit によれば、1 日変化、半日変化の東方性の方向はそれぞれ  $\approx 16$  時、1.5~2 時となる。1 バイオードテストに下方統計的有意性が不充分であり、この原因について現在検討中である。又気圧係数についても 16 ヶ月間のデーターを用いて決定したので報告の予定である。

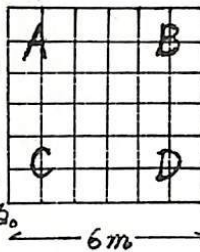
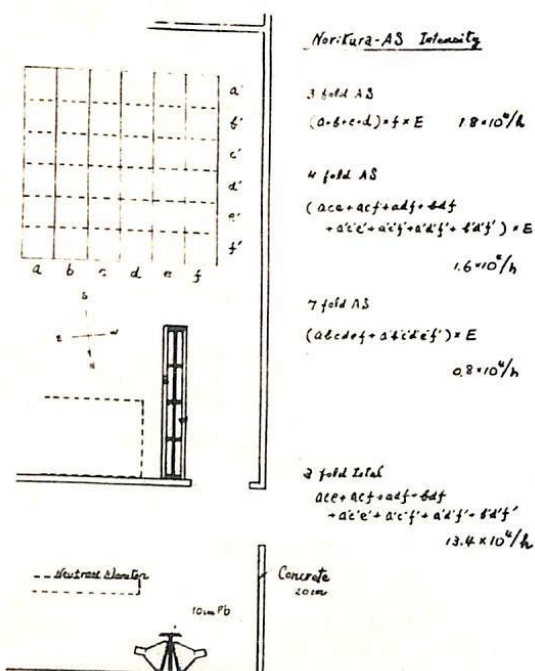
## 乗鞍における Small Air Shower の観測

長島一男 上野裕幸 藤本和彦 藤井善次郎 近藤一郎 柳原志津子  
名大理

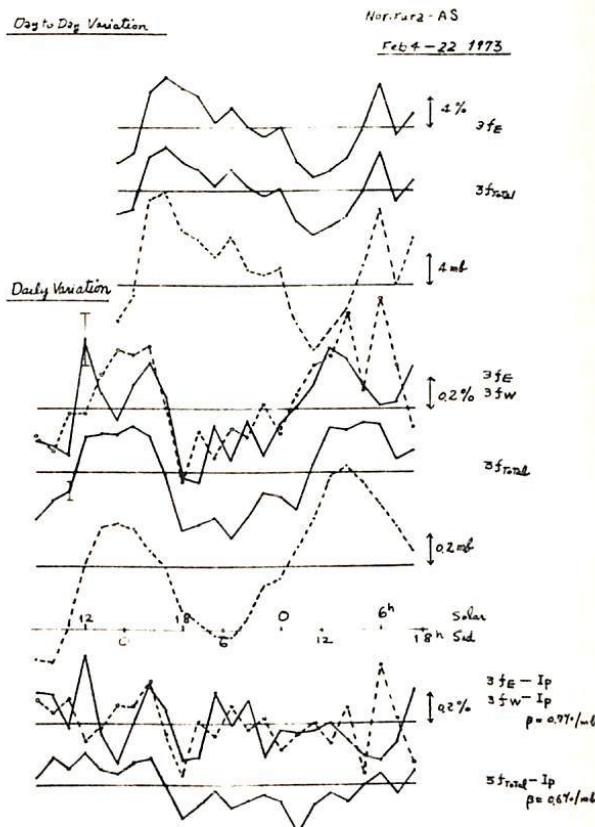
乗鞍岳において、Aug.'70 から右図のようないくつかの Small Air Shower の観測を統計しておあり、Aug.'70-Jul.'72, 2年間の DATA の解説結果を、図に示した。統計精度はかなりよいが、大気効果特に上層気温の問題が、依然として心配である。

この問題を、さけるための一方法として、異なる2方向からの斜シワードと同時に観測する計画（両者の差引によって大気効果の影響は、小さくなる）の予備実験を始めた。方法としては、鉛の壁を作り反対方向から来る空気シャワー中の電子を吸收させるものである。鉛の厚さ、検出器の配置をさめるテスト実験をして、左下図のような、予備実験の観測に入った。下図に各成分の Counting Rate 及び9日間の観測結果を示した。

気温効果をさける別の方法として、検出器を特別の配置にすると、気温効果係数が、非常に小さくなる空気シャワーの観測方法があり、これについても報告する。



Any 3 Fold Coin:  
 out of 4 Trays  
 (4 m<sup>2</sup> each)



長島一男, 上野裕幸, 藤本和彦, 近藤一郎, 藤井善次郎, 神原志津子  
名大理.

東京(山上) やよひ名古屋(地上) の多方向中间子計( $36 \text{ m}^2$ )の或る部分(area)を用い、2-fold 又は3-fold coincidence の events をとることによって小さな空気シャワーを観測している。これらの観測結果は Table I に示される。2-fold やよひ3-fold の event の中には、上層大気中の nuclear interaction からなる空気シャワー(AS)の外に、 $\mu$ -mesonに起因すると思われる空気シャワー(いわゆる Local Shower [LS])が含まれてゐるといふ。LS と AS の分離はそれらの S-dependence (tray の面積  $S \text{ m}^2$  に対する) の違いから求められる。床と地上やよひ山上の LS の Flux の ratio が  $\mu$  のそれと異なる事から、LS は  $\mu$  に起因してゐるものと考えられる。

以下は Local Shower の特徴について述べる。

- Table I にあらわす 2-fold と 3-fold の Flux の比から、LS の平均面積  $\Delta = 1/60 \text{ m}^2$  となる。
- LS の Decoherence Curve は  $d^{-2.5}$  となる。(平面上に並べられた tray 間の距離を  $d \text{ m}$  とし、この  $d$  を変化させ、2-fold と 3-fold の flux を測る)
- LS と  $\mu$  の Primary energy は、Forbush decrease の量、気压効果係数 ( $\beta \%/\text{mb}$ )、半日变化 Phase の estimate から、2-fold では約 80 GeV, 3-fold の event では約 200 GeV に対応してゐる。
- Fig. 1 に示されるように、LS には主に 2 つの現象が含まれてゐる。 $\mu$ -meson の flying decay の electron がつくシャワーと  $\mu$  の knock-on electron がつくシャワーである。これら 2 つの現象を解析し、LS の温度効果係数 ( $\alpha \%/\text{C}$ ) を求める  $\alpha > 0$  となる。このことは 2-fold, 3-fold ともに  $\mu$  の flying decay の e-shower の方がより多く測定されてゐる。

Table I

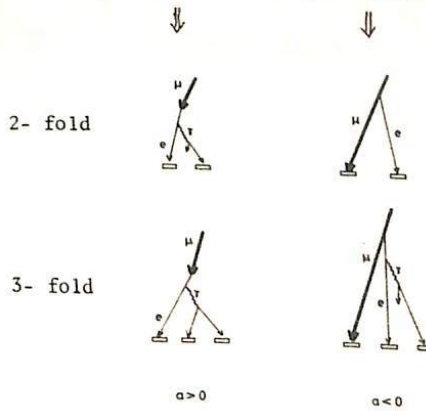
	Events	Area $\text{Si}\text{m}^2$	Total Flux $\times 10 \text{ c}/\text{h}$	Flux $\times 10 \text{ c}/\text{h}$		
				AS	LS	Accid.
NAGOYA	2-fold	6	2.5	1.4	0.95	0.15
	3-fold	6	0.76	0.52	0.24	0
NORIKURA	2-fold	6	11.5	9.6	2.1	0.6
	3-fold	6	6.0	4.4	0.6	0
	3-fold out of 4	4	4.5	3.8	0.7	0

$$\frac{F_{LS}(\text{Nori})}{F_{LS}(\text{Nago})} \approx \begin{cases} 2.2 \text{ (2-fold)} \\ 2.4 \text{ (3-fold)} \end{cases} \quad \sim 1.8$$

$$\frac{F_{AS}(\text{Nori})}{F_{AS}(\text{Nago})} \approx \begin{cases} 6.9 \text{ (2-fold)} \\ 8.5 \text{ (3-fold)} \end{cases} \quad \sim 8.6$$

Fig. 1

$$\text{Local Shower} = (\mu\text{-flying-decay}) + (\mu\text{-knock-on}) + \dots$$



## II-57 波世界中性子計データによる宇宙線3次元異方性の逐時解析

安江新一、森 覚、長島一男\*

信州大理

名大理\*

宇宙線3次元異方性の解析法 (Nagashima 及び Nagashima et al, 1972)<sup>1)</sup> を観察から Forbush decrease 等の現象の際の宇宙線空間分布の様子を逐時、求めることができたと考定された。昨年秋の学会では 1966 年 8 月の Forbush event 中の宇宙線3次元異方性を、波世界的宇宙線中性子強度のデータに基き毎 4 時間ごとに解析した結果について報告した。空間における異方性による地上の強度分布は、時刻 T, Station i では

$$I(T, i) = D_c^o(T, i) \quad \dots \text{(isotropic)} \quad \begin{matrix} \text{未知数} \\ r_0 \end{matrix} \\ + D_{i,0}(T, i) \quad \dots \text{(corotational)} \quad \begin{matrix} r \\ x, y \\ r_1 \end{matrix} \\ + \sum_{m=1}^2 \sum_{n=0}^N D_m^n(T, i) \quad \dots \text{(pitch angle)} \quad \begin{matrix} r_1, r_2, t_R, t_K \\ r_3, r_K \end{matrix}$$

と表わせると仮定している。

今回は

- i) 決められたパラメータの値に伴う誤差の estimation.
- ii) いくつかの event について共通した特徴が見られるとどうか。  
と/or その中心に解析を行った。これらの試みの結果について報告する。新たに解析を行った event は、

I. Mar. 20 ~ 26, 1966

II. Sep. 21 ~ 27, 1966

である。なおこのよる解説方法のテストとして、一定の大きさの異方性を空間に仮定し、各 Station の観測精度を考慮に入れたとき、この解説方法により異方性までの強度正確に求め得るかという Simulation の試みについても報告する予定である。

<sup>1)</sup> Nagashima, Nagashima et al. Rep. Ionos. Space Res. (1972) Part I ~ Part IV

II-58 宇宙線強度日変化の年周変化と三次元異方性

森 覚  
(信大 理)

長島および長島等<sup>1)</sup>は宇宙線強度日変化の年周変化を、三次元異方性から導かれた「特殊一日周変化  $D_2^1(t)$ 」成分の年周変動により、—地球上の太陽よりの公転による—合理的に解釈出来る二と半間子計算データを用いて見事に示した。  $D_2^m(t)$  の空間分布が定量的に追求され、般的  $D_2^m(K)$  に対する分布は、次式で示された。

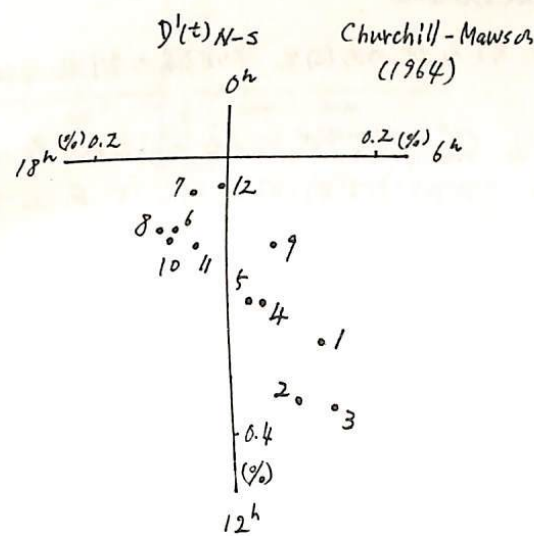
$$\begin{aligned} J(x, P) / J(P) &= \text{const.} + F_2(x) \cdot G(P) \\ &= \text{const.} - 2 \cdot 3 \cdot 10^{-3} P_2^0(\cos x) \cdot (\gamma_{80})^x \exp(2 - P/40) \end{aligned}$$

$$P_2^0(\cos x) = (Y_2)(3\cos^2 x - 1)$$

また  $x$  は宇宙線の入射方向を基準軸 ( $\theta_R = \pi/2$ : 建造面内あり, かつ  $\delta = -\pi/4$ :  $x$  の方向は  $y$  の反対方向) から測った左角を表す。まことに解析があり、 $\gamma$  展開式による同波数支局法 (frequency modulation method) によれば、拡張セルラ位置法 (FMSI) が、上記恒星時 (TAA) の導入は極めて意義深い。

我々は前回続<sup>2)</sup>。測定器の半径子計算データを用い、同様の解析を行い、結果がつま続的で日変化の般的年周変化を「特殊一日周変化  $D_2^1(t)$ 」成分の年周変動によるとして考察を破めた。且つ降  $D_2^1(t)$  成分を追跡し、他の日変化成分の寄与を出来ばり減少するが、南北両半球上共復興附近で般的年周変化の差をとり方法を用いた。対般的年周変化を表す図<sup>1</sup>を示す。図<sup>1</sup>は Churchill と Mawson の一日の変化を示す。

図1



(図中数字は月を表す)

表1

GROUP	Stations
I	Resolute Bay - Wilkes
II	Churchill - Mawson
III	Goose Bay - Sahe
IV	Calgary - Kergulen Is.
V	Deep River - Mt. Wellington

定期的および定量的解析結果について報告する。

II-59 惑星間空間における宇宙線の

Spherical Zonal Harmonic Components

高橋八郎, 矢作直弘, 長島一男  
岩手大. 理

惑星間空間に於る宇宙線の Spherical Zonal Components は  
次式によて与えられる:

$$D^o(t) = \sum_{n=0}^{\infty} D_n^o(t) = \sum_{n=0}^{\infty} \left\{ \gamma_n P_n^o(\cos \theta_R) \right\} C_n^o \quad \dots \dots \dots (1)$$

ここで、

$D_n^o(t)$ :  $n$ -th zonal harmonic component.

$P_n^o(\cos \theta_R)$ : spherical function by Schmidt.

$\theta_R$ : 赤道座標系に於ける北の方向と cosmic-ray anisotropy の  
reference axisとのなす角。

$$C_n^o = \frac{\int_{P_c}^{\infty} Y(P) \cdot G(P) \cdot L_n^o(\theta_J) \cdot dP}{\int_{P_c}^{\infty} Y(P) \cdot dP} \quad \dots \dots \dots (2)$$

$L_n^o(\theta_J) \equiv P_n^o(\cos \theta_J)$ : declination distribution.

$G(P)$ : differential rigidity spectrum.

$Y(P)$ : yield function.

$\theta_J$ : 赤道座標系に於ける北の方向と 宇宙線の到來方向との  
なす角。

(1) 式に於ける  $\gamma$ ,  $C_n^o$  は (2) 式による安江氏等の結果を  
用いた。採用した spectrum ( $G(P)$ ) は前回と同じである。私共は  
(1) 式を用いて 下記の期間に就いて解析し、報告する。

March 20 ~ April 11, 1966.

Aug. 29 ~ Sep. 11, 1966.

◎ Rot. Nr. 1821, 1822.

## II-60 宇宙線の異方性と惑星向空間磁場(II)

藤本和彦 藤井善次郎 上野裕平 正脇一計 長島一男

大理

宇宙線三次元異方性。Daily Basisに基づく解説から、一日毎の宇宙線の Reference axis の方向が決定される。

この Reference Axis は、 $\sim 0.5$  A.U. の scale の平均的な磁力線の方向を示すものである。

一方、Satellites に於て、惑星向空間の磁場の方向が直接測定される。

この直接測定された磁場の方向から、一日平均の磁力線の方向を求める。Reference axis の方向と比較される。

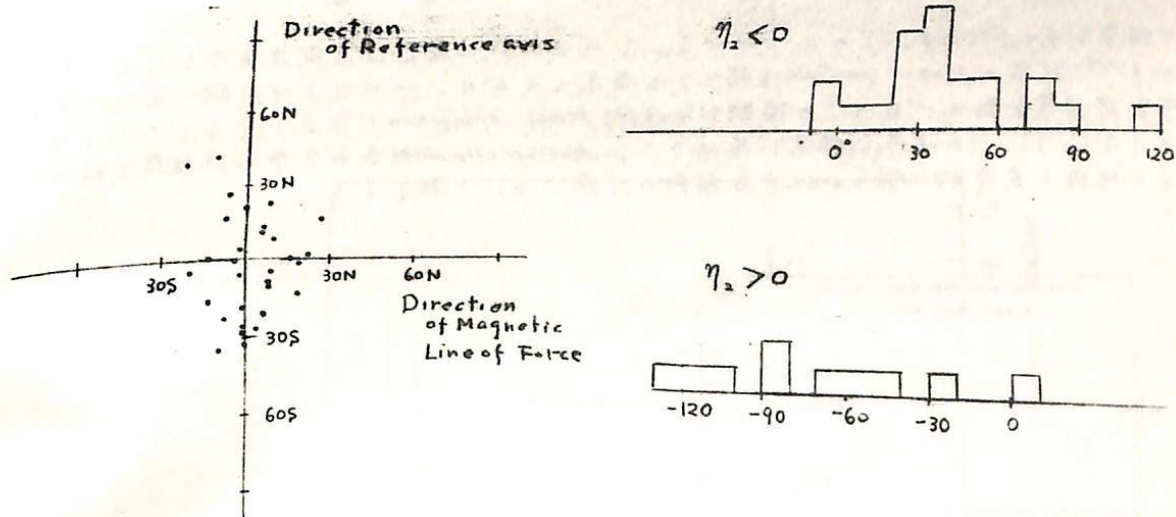
図1には Reference Axis と Solar ecliptic Longitude と磁力線の方向との相関図を示す。Longitude は角で Reference Axis と磁力線の方向との Difference E ヒストグラムである。

この結果は絶対に図2で Reference Axis と磁力線の方向との deviation が示されている。

( $\eta_2 < 0$  は Loss cone distribution type に対応し Reference axis は磁力線と平行)  
( $\eta_2 > 0$  は Density gradient type に対応し Reference axis は磁力線と直角となる)

図1

図2



Solar ecliptic coordinates

## II-61 Power Spectrum of the Cosmic Ray Intensity Variation

藤井善次郎、近藤一郎、長島一男  
名古屋大学理学部

飛騨高精度宇宙線計のデータによる宇宙線強度変動の power spectrum analysis の結果については、既に先の学会において報告した。<sup>1), 2)</sup> この解析は、宇宙線強度変動の power spectrum が周期数時間から～10分までにおいて、周波数  $f$  に対してほぼ  $f^{-1.4} \sim -1.7$  のスペクトラムを持つこと、また日変化の第3次までの higher harmonics を除いて有意な周期成分によるピークは認められないことを示した。宇宙線強度変動の power spectrum の周波数依存性は、他の解析からも同様な結果が示されている。<sup>3), 4)</sup> このスペクトラムによつて存在が示されている周期成分の成因について報告する。

Fig. 1 は報告<sup>2)</sup>で解析した期間における飛騨宇宙線計の垂直方向強度の日平均値の変動を示したものである。図で示されるような周期一日以上の長い周期変動は、一般には一日以下の周期の higher harmonics 成分を持つ。このような harmonic 成分の power spectrum に対する寄与を調べるために次の二つの仮想的な変動 A), B) を仮定し、それぞれの変動のモーフスペクトラムを求めシミュレーションを行なった。

$$A) \quad x_i = \begin{cases} 1 & (i = 1 \sim 600) \\ 0 & (i = 601 \sim 1200) \end{cases}$$

$$B) \quad x_i = \begin{cases} \frac{i}{600} & (i = 1 \sim 600) \\ \frac{(1200-i)}{600} & (i = 601 \sim 1200) \end{cases}$$

この結果を Fig. 2 に示す。この二つのシミュレーションの結果は高調波成分を含む一般的な変動が  $f^{-2}$  程度の power spectrum を持つことを示しており、一日以上の周期の変動の高調波が宇宙線強度変動の一日以下の周期における power spectrum に大きく寄与している可能性を示している。このような結果に基づき、power spectrum の表わす宇宙線強度変動の周期成分の成因を定量的に明らかにする解析の結果について報告する。

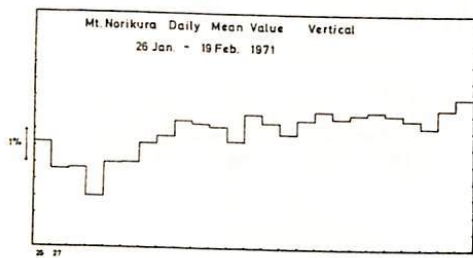


Fig. 1

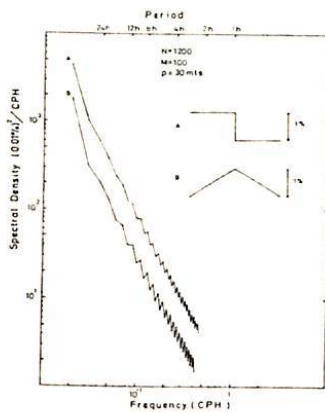


Fig. 2

### References

1. 藤井善次郎, 宇宙線研究, 16, 437 (1972)
2. 藤井善次郎, IASYシンポジウム第5回, 98 (1972)
3. Dhanju, M.S. and V.A. Sarabhai, Acta Phys. Acad. Sci. Hungaricae, 29, Suppl. 2, 237 (1970)
4. 森 覚, 宇宙線研究, 16, 441 (1972)

## 盛岡における宇宙線強度変化の観測

千葉敏躬, 高橋八郎, 小玉正弘  
(岩手大教育) (理研)

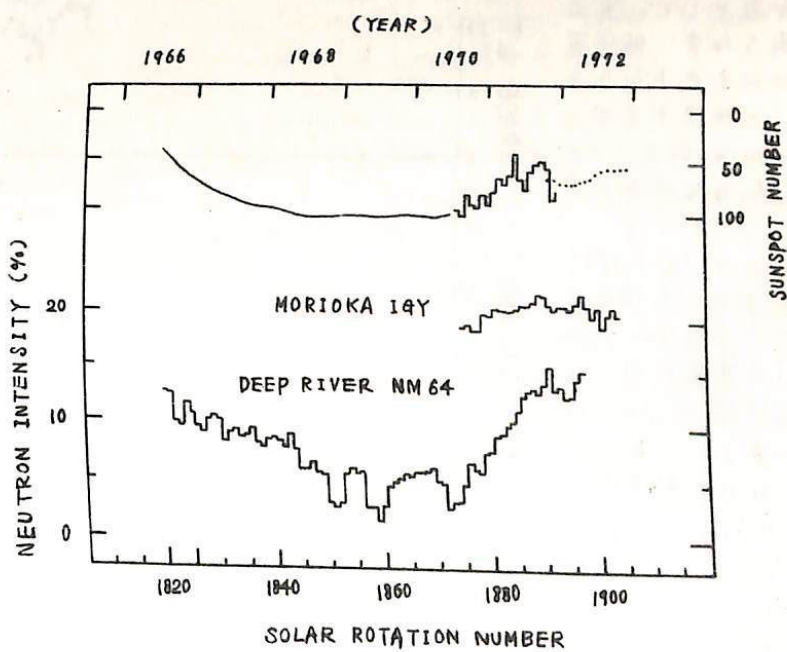
盛岡における IGY type neutron monitor による宇宙線中性子連続観測は, IAS Y 期間中の 1970 年 8 月から開始されてい。以降, 1972 年 12 月までの期間に得られた観測 data をもとに, 中性子強度の日平均値更には太陽自転周期毎のその平均値を算出し, 観測期間が丁度太陽活動の下降期にわたっていふといふ点に着目しつゝ, その期間の中性子強度の時間変化のたいたいの様相を調べてみた。

又, 盛岡におけるこの monitor の長期的な安定度の check もかねて, 上記期間にわたっての盛岡と Deep River におけるそれぞれの中性子強度の値とを比較し, 両 station の間の rigidity dependence のおよその値を算出した。更に, 盛岡と板橋との間ににおけるその値をも同様に, 1972 年 8 月上旬の宇宙線嵐の際の data を用いて求めてみた。

上記期間にわたって, 盛岡において観測された宇宙線中性子強度は, 1971 年末までほとんどに上昇しつづけ約 3% の変化がみられたが, 1972 年に至っては sunspot number が減少しつつあるにもかかわらず, 増加の傾向が認められなり(図参照)。

又, 盛岡と他の station との間で得られた rigidity dependence のおおよその値は次の通りである。

Deep River - 盛岡	$0.278 \pm 0.020$	(相関係数 0.895)
板橋 - 盛岡	$1.156 \pm 0.061$	( " 0.840 )



## II-63 1968年2月5, 6, 7日の宇宙線強度減少の解釈

和田雅美，奥谷晶子

理研

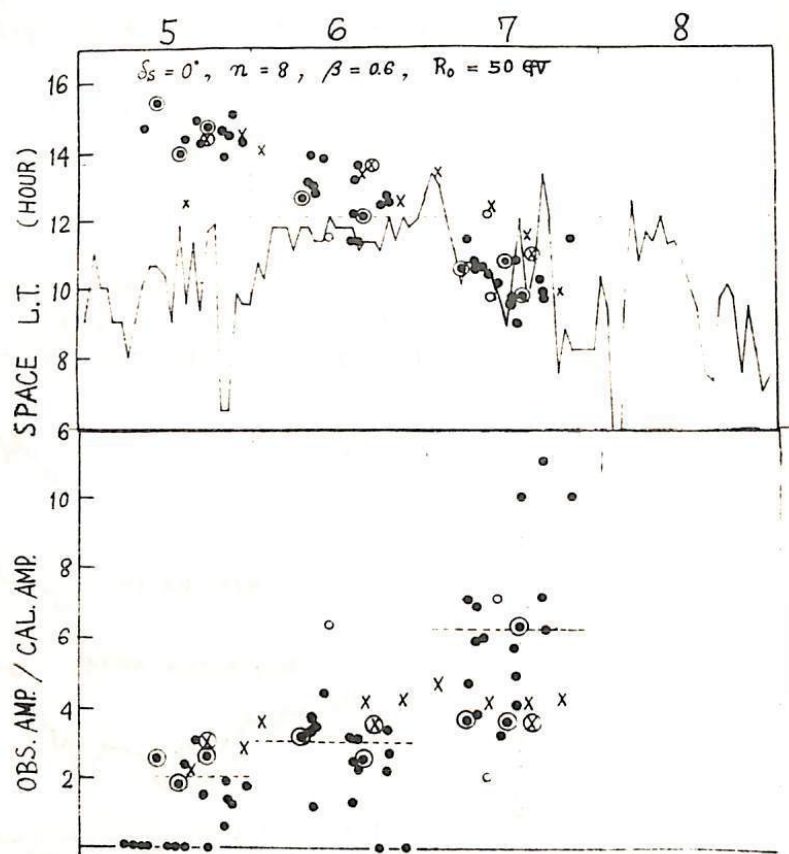
地方時に依存した  $1/3$  日位の短時間の宇宙線強度減少 (*loss cone*) が、1968年2月5, 6, 7日に1日1回づゝ、3日続いて観測された。data の解析結果については、既に(第51回)報告したので、今回はこの現象について考察したところを述べる。

space での *loss cone* は5日が  $15^h$  方向で、6日から7日にかけて漸次前進し、7日には  $10^h$  方向になったのに対し、space の磁場は、この3日間は  $10^h \pm 2^h$  の絶度方向で変らなかった (*inward sector*)。*loss cone* は、5日の午後から見られ、7日の振中が最大である。8日には見られない。この *loss cone* の状態を、磁場内での宇宙線の軌道に従って追跡して見る。初めの2月5日は *loss cone* の方向が磁力線に直角方向で太陽側なので、黄道面の北側に宇宙線密度の少ない所があったことに相当する。終りの7日は *loss cone* の方向が磁力線に平行であるから、磁力線に沿って、太陽側に sink があったことになる。6日は両者の中间である。*loss cone* の方向が、磁力線に直角方向から、平行方向まで、連続的に変わったということが問題である。この解釈として、2つの成分があり(例えば  $15^h$  と  $9^h$  方向成分)，その消長により合成したものが廻るように見えるとすると、時間巾が狭い( $60^\circ$ 位)のが難点となる。

しかし、2つの構造が同じ原因で起り、初めは前者、終りは後者の勢力が強くなるような空間の状態を考えればよさそうである。

一つの方法として、黄道面とある傾角をなす、低宇宙線密度のフロントのようなものを考えることができると、このように space 的なものかそれとか時間的なものか、まだ分らない。

尚、space の data (STAC-Bより)を見ると、太陽面では  $N 14^\circ$  付近に active region があった。この現象の見られる期間、地球近傍の space は比較的静かであって、直後に荒れる。これは、太陽から伝播してきた space の乱れが地球に達した時に、この現象が消えた様子を示す。乱れが太陽-地球間にあつた時に起つたと言える。但し、乱れが地球に達しても、等方成分の減少が起らなかった点が問題である。



和田雅美、小玉正弘、村上一昭  
理化系研究所

1972年7月末McMath Plage Region No.11976の太陽面回帰により、この太陽活動周期位相に珍らしく多くのカフレアをみた。(I)おそらく8月2日20時58分の3Bカフレア(E28)に対応すると思われる磁気嵐SSCが4日の0119, 0220UTにおいてあり、その附近から宇宙線強度の減少がはじまるところ。カフレアは3経度の観測点の時間変化を見ると、日変化が重なっており、見かけ上の減少開始時刻は所により一致しない。(II)4日12時前後の減少量は高緯度で約7%，中緯度(東京)で3%と小さなものである。(III)12時まで極地方でゆるやかな増加がおこるところ。極大時刻はSouth Poleの1400-1500UT, Tixie Bayの1500-1600, Syowaの1600-1700などと異なっている。増加量はSouth Pole(Cutoff = 0.11GV)の30%から、Syowa(0.42GV)の5%等とあり、Ottawa(1.08GV)では増加が見られるが、Uppsala(1.43GV)では無い。又増加に時間がかかり、ゆるやかに太陽宇宙線の増加とは性質が異なる。しかし、IMP衛星での $>10\text{ MeV} \sim >60\text{ MeV}$ 陽子強度の増加は、4日0640UT(E08)の3Bカフレアと共にはじまり、第1の極大が宇宙線と似た所にあるのは興味がある。(IV)4日おもより急激に減少がおこり、5日0000-0200は極小、そして約1時間で、減少前のレベルの中ば以上まで回復する現象は、その振幅とくじょう、早々変化とくじょう、宇宙線観測史上かつて見なかつたものである。観測所によつては、減少前数時間から極大があるが、主として東洋ゾーンであり、日変化、それも非常に大きき振幅のものであるといえる。5日の第1(0000-0200)の減少後の増加以後、又下がり、第2の極小があるが、この両極小のうち第1の方が一般に深く、しかし、低緯度中間子では逆に第1極小が浅いといふ。第1の極小のエネルギースペクトルは、高エネルギー側のcutがあると考えられる。なおmaxKindexが9.1-9.3磁気嵐のSSCが4日2054UTにおこるところ。又、太陽に向つて、地球より46°東で約0.8AUにあつたPioneer 9で5日0030UTに900から $>1000\text{ km/sec}$ へのinterplanetary shockを観測している。これは対応するカフレアは、先のIMPでの増加を示すものであろう。もう一つあれば、カフレア経度は地球に近く、従つて地球の方が太陽から遠いにむかへてゆくのであるが、早くこのshockを受けて、SSCを起したとしてもよからぬ。5日0200-0300宇宙線強度変化を5~10分毎でみると、Tixie Bayで $>15\%\text{/hr}$ , Tokyoで $>5\%\text{/hr}$ の回復率を示しておる、この時間とshockの時刻との対応がつかないが、どうにしもしく調べるべき問題である。(V)5日12時前後の回復は、少しあのForbush減少の回復とせられぬ。8月7日には8月3日~5日の中ばまで回復しきるが、8月3日のレベルに戻るには1日を要しておる。(VI)7日1534UT(W37)の3Bカフレアに伴ひ、小さながら典型的な太陽宇宙線現象が地上でみられた。(VII)9日には、8日2354UTのSSCに対応して小さな減少が観測された。

以上各種の現象の一部につき定量的取扱の結果について報告する。

すでに30日前後までのデータがWDC C2 for Cosmic Raysに集まつておる。時間変化を、観測点の地理的位置との関係でみるとおり、総合的に扱う。